

**Leandru-Gheorghe  
BUJOREANU**

**Constantin  
BACIU**

# **STUDIUL MATERIALELOR**

## **Teste și aplicații**

**EDITURA TEHNICĂ, ȘTIINȚIFICĂ ȘI DIDACTICĂ  
CERMI IAȘI  
2003**

# REGULAMENTARIE VERGADERING



Dedicăm această carte  
mamelor noastre:

**Elena-Nina**

și

**Măndița**

precum și memoriei  
taților noștri:

**Gheorghe**

și

**Constantin**



## Prefață

Inginerul (lat.: *ingenium* = spirit, talent, inteligență) este, încă din Antichitate, specialistul însărcinat cu concepția, execuția și conducerea lucrărilor tehnice. Cu alte cuvinte, din mintea inginerilor iau naștere construcții și mașini menite să ușureze viața semenilor lor.

La baza tuturor acestor realizări stau materialele, pe care inginerii trebuie să știe să le aleagă, să le verifice calitativ și chiar să le producă, dacă este cazul însă în primul rând trebuie să le cunoască...

De la piatra cioplita și până la cel mai nou și mai sofisticat polimer, materialele au jalonat istoria omenirii, dezvoltându-se odată cu aceasta. La ora actuală se consideră că există aproximativ 70.000 de aliaje metalice, polimeri și materiale naturale. Cunoașterea lor aprofundată, în cadrul învățământului tehnic superior, a impus împărțirea pe grupe de aplicații, repartizate facultăților de profil: materiale de construcții, materiale textile, materiale electrotehnice și electronice, materiale pentru construcția de mașini, etc.

Studiul materialelor este o disciplină tehnică obligatorie care se predă viitorilor ingineri, încă din primul an, în facultățile de inginerie mecanică. O cunoaștere insuficientă a materialelor, a legăturii dintre structura și proprietățile acestora, a modalităților de îmbunătățire a structurii și implicit a proprietăților face imposibilă utilizarea eficientă și monitorizarea comportării materialelor în aplicațiile inginerești.

La începutul mileniului al-III-lea, cadrul didactic titular la disciplina studiul materialelor este confruntat cu o triplă provocare: (i) cum să țină pasul cu ultimele descoperiri în domeniul materialelor (Știința materialelor este plasată, din punct de vedere al dinamicii de dezvoltare, între primele zece discipline pe plan mondial), (ii) cum să comprime materia pentru a încăpea în intervalul de timp oferit de programa analitică și (iii) cum să transmită informația studenților și să examineze cunoștințele lor într-un mod cât mai eficient.

Lucrarea de față, bazată pe aproape douăzeci de ani de experiență la Laboratorul de Studiul materialelor de la Facultatea de Știință și Ingineria Materialelor din cadrul Universității Tehnice „Gh. Asachi” din Iași, oferă o soluție pentru cea de-a III-a dilemă. Dacă sunt concepute ingenios (înănd cont de etimologia cuvântului inginer), testele grilă din primul capitol pot oferi un excelent mijloc de examinare a cunoștințelor. Pe de altă parte, oricât de ilustru ar fi titularul de curs, baza cunoștințelor tehnice se capătă tot în laborator. Pe aceste considerente, în capitolul al-II-lea sunt prezentate anexele a paisprezece lucrări de laborator, cu câte o parte scrisă și una desenată, precum și teste legate de aceste lucrări. Probele ilustrate în partea desenată a anexelor au fost amestecate în mod deliberat, pentru a determina studenții să învețe să aleagă schița sau micrografia specifică fiecărei probe. Testele sunt direct legate de lucrările de laborator și asigură atât fixarea cunoștințelor esențiale cât și verificarea obiectivă și operativă a modului în care au fost înșușite acestea. Capitolul al-III-lea prezintă 48 de aplicații ale noțiunilor din curs, oferind exemple grafice sau numerice ale datelor generale prezentate în acesta. Atât testele de la curs și laborator cât și aplicațiile sunt însotite de rezultatele corecte și respectiv de rezolvările corespunzătoare.

Fiind destinată studenților de la facultățile de Construcții de Mașini, Mecanică și Știință și Ingineria Materialelor, lucrarea de față reprezintă un material esențial pentru disciplina de Studiul materialelor.

Autorii

1. What is the difference between a primary and a secondary market?

A primary market is where new shares are issued by a company for the first time. It is also known as the 'issuance' market. In this market, the company issues shares to raise capital for its operations. The shares are sold directly by the company to investors.

A secondary market, on the other hand, is where existing shares are traded between investors. It is also known as the 'resale' or 'liquidity' market. In this market, the shares are bought and sold by different investors without involving the original company.

The primary market is typically used for initial public offerings (IPOs) and private placements, while the secondary market is used for trading listed stocks on exchanges like the NYSE or Nasdaq.

2. What is the difference between a stock market and a bond market?

A stock market is a platform where companies issue stocks to raise capital. Investors buy these stocks with the hope of making a profit through capital gains or dividends. The stock market is also known as the equity market.

A bond market, on the other hand, is a platform where companies or governments issue bonds to raise capital. Investors buy these bonds with the hope of receiving interest payments and principal repayment at maturity.

The stock market is typically used for long-term investments, while the bond market is used for short-term investments. The stock market is also riskier than the bond market because the value of stocks can fluctuate significantly over time.

3. What is the difference between a derivatives market and a futures market?

A derivatives market is a market where financial instruments called derivatives are traded. Derivatives are contracts whose value depends on the underlying asset, such as stocks, bonds, currencies, or commodities.

A futures market is a specific type of derivatives market where contracts for delivery of an asset at a future date are traded. Futures contracts are standardized and traded on exchanges like the NYMEX or CME.

## CUPRINS

Prefață	v
<b>1. TESTE PENTRU CURS</b>	1
1.1. Structura atomo-cristalină a materialelor	1
1.2 Cristalizarea primară a materialelor	7
1.3 Metode de punere în evidență a structurii	13
1.4 Prelucrarea materialelor prin deformare plastică	16
1.5 Teoria aliajelor	21
1.6 Structura și proprietățile aliajelor fier-carbon	29
1.7 Oțeluri și fonte aliate	36
1.8 Aliaje neferoase	40
1.9 Aliaje speciale	44
1.10 Materiale nemetalice	48
Răspunsuri	49
<b>2. ANEXE ȘI TESTE LA LUCRĂRILE DE LABORATOR</b>	51
2.1 Noțiuni generale de microscopie optică	51
2.2 Studiul macroscopic al materialelor metalice	55
2.3 Fractografia materialelor metalice	65
2.4 Analiza proprietăților mecanice de rezistență, ale materialelor, prin încercări mecanice	73
2.5 Microstructura de echilibru a aliajelor	79
2.6 Construirea și interpretarea diagramelor de echilibru binare	84
2.7 Microscopia metalografică a oțelurilor- carbon	94
2.8 Microscopia metalografică a fontelor obișnuite	101
2.9 Microscopia metalografică a oțelurilor și fontelor aliate	109
2.10 Microstructuri ale aliajelor pe bază de cupru	117
2.11 Microstructuri ale aliajelor pe bază de aluminiu, zinc, staniu și plumb	124
2.12 Microstructuri ale aliajelor tratate termic	131
2.13 Microstructuri ale aliajelor tratate termochimic și termofizic	140
2.14 Microstructuri ale aliajelor prelucrate prin turnare, deformare plastică, sudare și sinterizare	148
<b>3. APLICAȚII</b>	155
<b>BIBLIOGRAFIE</b>	198

10. The following table shows the number of hours worked by 1000 employees.

W. H. G. - 7. 1950. 1000 ft. S.E. of W. H. G. - 7. 1950. 1000 ft. S.E. of

10. The following table shows the number of hours worked by each employee in a company.

（二）在這裏，我們要進一步說明「社會主義」和「資本主義」的區別。

For more information about the study, please contact Dr. Michael J. Hwang at (319) 356-4000 or email at [mhwang@uiowa.edu](mailto:mhwang@uiowa.edu).

10. The following table shows the number of hours worked by each employee in a company.

10. The following table shows the number of hours worked by 1000 employees.

10. The following table shows the number of hours worked by 1000 employees in a company.

# 1. TESTE PENTRU CURS

## 1.1 Structura atomo-cristalină a materialelor

1. Substanța atomului este concentrată în:

- a) electroni
- b) norii electronicii
- c) nucleu
- d) substratul de valență

care are dimensiuni de ordinul a:

- w)  $10^{-2}$  m
- x)  $10^{-14}$  m
- y)  $10^{-10}$  m
- z) 10 m

2. Forța de interacțiune dintre 2 atomi ai unei molecule poate deveni teoretic infinită numai atunci când molecula este supusă la:

- a) compresiune
- b) tracțiune
- c) încălzire
- d) încovoiere

3. Atunci când 2 atomi se află în echilibru, la distanța  $r_0$ :

- a) forța lor de interacțiune este minimă
- b) energia lor de interacțiune este nulă
- c) forța lor de interacțiune este maximă
- d) energia lor de interacțiune este minimă

4. Într-un solid, cu o moleculă formată din 2 atomi, distanța interatomică:

- a) este fixă din cauza forțelor de interacțiune
- b) variază datorită agitației termice
- c) crește odată cu îmbătrânrile materialului
- d) scade la încălzire

5. Cationii sunt:

- a) elementele de acoperire a catodului unei baterii
- b) atomi ionizați ai metalelor
- c) atomi ionizați ai nemetalelor
- d) atomi ai gazelor rare

6. Într-un cristal de diamant există legături de tip:

- a) ionic
- b) covalent
- c) metalic
- d) Van der Waals

7. Electronii de valență nu se rotesc în jurul nucleului în cadrul legăturii:

- a) ionice
- b) covalente
- c) metalice
- d) de hidrogen

8. "Gazul electronic", întâlnit la metale, este:

- a) compus din toți electronii
- b) compus numai din electronii de valență
- c) cauza plasticității metalelor
- d) sarcina pozitivă a legăturii metalice

9. Formarea norului electronic nedirecțional, prezent în tot volumul corpului este tipică:

- a) cristalelor covalente
- b) cristalelor ionice
- c) metalelor
- d) polimerilor

10. Energia potențială a norului electronic nedirecțional din metale:

- a) scade brusc la limitele fizice ale metalului
- b) este constantă pe tot volumul metalului
- c) are maxime locale în nodurile rețelei cristaline
- d) are minime locale, în nodurile rețelei cristaline

11. Electronii au caracter:

- a) exclusiv corpuscular
- b) exclusiv ondulatoriu
- c) atât ondulatoriu cât și corpuscular
- d) electropozitiv

12. Energia cinetică ( $E_c$ ) a electronului variază în funcție de numărul de undă (K) după o funcție tip:

- a)  $E_c = mv^2/2$
- b)  $E_c = a K$
- c)  $E_c = a K^2$
- d)  $E_c = a/K$

13. Condiția de existență a conductivității electrice este:

- a) formarea zonelor permise parțial ocupate
- b) formarea zonelor interzise
- c) formarea zonelor permise complet ocupate
- d) prezența legăturii covalente

14. La încălzire, rezistivitatea electrică a unui material金属 obișnuit:

- a) scade
- b) crește
- c) rămâne constantă,
- d) devine nulă

deoarece:

- w) macromoleculele se înmoiaie, frânând trecerea electronilor accelerati
- x) apar impurități și incluziuni noi
- y) se formează rețeaua cristalină
- z) se întăresc ciocnirile dintre electronii accelerati și ionii rețelei

15. Metalul paramagnetic este:

- a) Cr
- b) Gd
- c) Ni
- d) Cu

16. Cele 4 metale feromagnetice sunt:

- a) Fe, Mg, Mn și Cr
- b) Fe, Ni, Cr și Gd
- c) Fe, Ni, Co și Gd
- d) Fe, Al, Mn, Cr

17. Cele mai răspândite elemente chimice din scoarța terestră sunt:

- a) Au și Ag
- b) Fe și Cu
- c) O și Si
- d) C și H

18. Rețeaua cristalină rezultă prin reproducerea în spațiu a:

- a) celulei elementare
- b) șirurilor reticulare
- c) cristalelor pure
- d) celulei primitive

19. În nodurile rețelei cristaline a metalelor se găsesc:

- a) celule primitive
- b) electroni
- c) anioni
- d) cationi

20. Celula elementară este:

- a) o formă liniie atomo – cristalină cu atomi numai în coluri
- b) cea mai simplă configurație care păstrează proprietățile materialului
- c) identică cu celula primitivă
- d) întotdeauna cubică

21. Celula elementară, cu toți parametrii de rețea egali și toate unghurile egale dar diferite de  $90^{\circ}$ , aparține sistemului:

- a) cubic
- b) ortorombic
- c) romboedric
- d) monoclinic

22. Celulele primitive cu toate cele trei constante de rețea ( $a$ ,  $b$  și  $c$ ) egale pot fi:

- a) hexagonale
- b) numai cubice
- c) triclinice
- d) cubice sau romboedrice

23. Celula primitivă a sistemului cristalin hexagonal este

- a) o prismă hexagonală
- b) un paralelipiped
- c) o prismă rombică
- d) un cub

24. Numărul maxim de celule primitive cărora le aparține simultan un atom aflat într-un colț al unei celule dintr-o rețea cristalină hexagonală este:

- a) 2
- b) 4
- c) 6
- d) 8

25. În centrul volumului unei celule elementare cfc se află:

- a) 1 atom
- b) 2 atomi
- c) 8 atomi
- d) nici un atom

26. Dintre următoarele celule elementare cea mai mare compactitate o are celula:

- a) cubică cu volum centralat
- b) ortorombică cu baze centrate
- c) cubică simplă
- d) hexagonală compactă

27. Un plan care intersectează axa  $0x$  în 1, axa  $0y$  în  $1/2$  și este paralel cu  $0z$  are indicii:

- a) (210)
- b) (120)
- c) [120]
- d) (102)

28. Direcția perpendiculară pe planul  $(1\bar{2}1)$  are indicii Miller:

- a) [121]
- b) [102]
- c) [121]
- d) [121]

29. Într-o celulă primitivă cubică, diagonala feței cubului care pornește din origine și este inclusă în planul  $x0y$  are indicii:

- a) [111]
- b) [100]
- c) [101]
- d) [110]

30. Proprietatea cea mai puternic afectată de prezența defectelor reticulare este:

- a) constanța elastică
- b) rezistența mecanică
- c) greutatea specifică
- d) temperatura de topire

31. Dacă într-un material există tensiuni interne, proprietatea cea mai puternic afectată va fi:

- a) densitatea
- b) conductivitatea termică
- c) temperatura de fierbere
- d) susceptibilitatea la coroziune

32. În cadrul defectelor cristalelor nu intră:

- a) vacanțele
- b) vibrațiile termice ale atomilor
- c) retasura
- d) tensiunile interne

33. Considerând că, din cauza vibrațiilor termice, un ion își părăsește locul pe care îl ocupa, într-un nod al rețelei cristaline, atunci poate lua naștere:

- a) un atom de substituție
- b) o vacanță
- c) o nouă rețea cristalină
- d) un nou element chimic

34. Existența vacanțelor este importantă pentru explicarea mecanismelor:

- a) rezistenței la coroziune
- b) memoriei mecanice
- c) difuziei
- d) solidificării

35. În centrul unei regiuni a rețelei cristaline, în care există tensiuni de comprimare, se găsește un defect reticular punctiform de tip:

- a) vacanță
- b) atom substituțional cu diametru mai mare decât atomii rețelei
- c) atom substituțional cu diametru mai mic decât atomii rețelei
- d) Schottky

36. Într-un cristal supus la forfecare la care circuitul Burgers se închide:

- a) nu există dislocație
- b) există o dislocație marginală
- c) există o dislocație elicoidală
- d) ia naștere un plan de alunecare

37. În zona ce înconjoară o dislocație marginală există tensiunile interne de:

- a) forfecare
- b) încovoiere
- c) torsiune
- d) întindere-comprimare

38. Vectorul Burgers ( $\vec{b}$ ) este paralel cu linia dislocației la:

- a) monocristale
- b) dislocațiile marginale
- c) dislocațiile elicoidale
- d) sursele de dislocații Frank-Read

39. Defectul reticular liniar care este înconjurat de tensiuni interne de forfecare se numește:

- a) dislocație elicoidală
- b) vacanță
- c) limită de grăunte
- d) dislocație marginală

40. Odată cu creșterea densității de dislocații poate să crească și:

- a) rezistența mecanică
- b) numărul de coordinație
- c) densitatea
- d) temperatura de topire

41. În cadrul limitelor de grăunți există:

- a) numai rețea cristalină perfectă
- b) numai cement amorf
- c) numai blocuri de mozaic
- d) rețea deformată, impurități și incluziuni

42. Atunci când sunt solicitate la temperatură ambiantă, majoritatea materialelor metalice se rup:

- a) intracristalin
- b) după planele de minimă densitate atomică
- c) intercristalin
- d) de-a lungul coloniilor de vacanțe

deoarece:

- w) au limite de grăunți fără zonă de trecere
- x) pe această direcție legăturile covalente sunt mai slabe
- y) sunt ferromagnetice
- z) au limite de grăunți cu zona de trecere

43. În cadrul aceluiași grăunte cristalin, subgrăunții audezorientări de ordinul:

- a) secundelor
- b) minutelor
- c) gradelor
- d) zecilor de grade

și dimensiuni de ordinul:

- w)  $10^{-10}$ - $10^{-8}$ m
- x)  $10^{-8}$ - $10^{-6}$ m
- y)  $10^{-6}$ - $10^{-4}$ m
- z)  $10^{-4}$ - $10^{-2}$ m

44. Formațiunile, din cadrul microstructurii, alcătuite din mai multe mii de celule elementare perfecte se numesc:

- a) blocuri de mozaic
- b) sublimite de grăunți
- c) limite de grăunți
- d) rețele cristaline

45. Ordinea de împachetare desemnată prin ABC este caracteristică celulei elementare:

- a) c.f.c.
- b) h.c.
- c) c.v.c.
- d) t.v.c

## 1.2 Cristalizarea primară a materialelor

46. Energia necesară distrugerii rețelei cristaline se numește:

- a) entropie de configurație
- b) căldură latentă de topire
- c) căldură latentă de solidificare
- d) căldură specifică

47. Cristalizarea se poate produce:

- a) la răcirea materialelor amorfice
- b) în timpul vaporizării
- c) exclusiv la răcire
- d) atât la răcire cât și la încălzire

48. Curbele de răcire în atmosferă, în condiții normale:

- a) au un punct de minim la temperatura ambiantă
- b) au formă liniară
- c) au un punct de maxim la temperatura ambiantă
- d) tind asimptotic la temperatura ambiantă

49. Pe o curba de răcire cu solidificare, porțiunea cristalizării izoterme se datorează:

- a) supraîncălzirii rețelei cristaline
- b) topirii germanilor de cristalizare
- c) căldurii latente de solidificare
- d) fenomenului de coalescență

50. Recalescența se datorează:

- a) cristalizării izoterme
- b) supraîncălzirii
- c) formării germanilor de cristalizare
- d) creșterii dendritelor

51. La creșterea gradului de subrăcire se poate produce:

- a) amorfizarea
- b) vaporizarea
- c) germinarea eterogenă
- d) topirea

52. Fie  $T_s$  temperatura de solidificare în condiții de echilibru.

Materialele metalice răcite brusc vor solidifica la temperaturi:

- a) mai mari decât  $T_s$
- b) egale întotdeauna cu  $T_s$
- c) mai mici decât  $T_s$
- d) egale cu temperatura de topire

53. Condiția de echilibru termodinamic este ca energia liberă să fie:

- a) nulă
- b) maximă
- c) minimă
- d) egală cu energia internă

54. Starea de echilibru termodinamic se caracterizează prin:

- a) entropie negativă
- b) energie liberă minimă
- c) energie liberă maximă
- d) energie internă minimă

55. Parametrul care permite determinarea stării de dezordine a unui sistem termodinamic se numește:

- a) energie liberă
- b) constanta lui Boltzman
- c) entropie
- d) căldură latentă de solidificare

56. La echilibru termodinamic entropia trebuie să fie:

- a) negativă
- b) minimă
- c) maximă
- d) egală cu energia internă

57. Un corp solid, încălzit peste temperatura sa de topire,  $T_s$ :

- a) nu poate exista în nici un fel de condiții
- b) există în stare de echilibru termodinamic
- c) poate exista numai în stare metastabilă
- d) suferă un proces de recristalizare

58. În condiții normale, față de temperatura de topire, temperatura de solidificare este:

- a) dublă
- b) mai mare
- c) egală
- d) mai mică

59. Pentru ca solidificarea să se producă, este necesar ca:

- a) topitura să fie răcită cu  $100^{\circ}\text{C}$  cu o viteză infinit mică
- b) topitura să fie menținută la  $T_s$  (temperatura de solidificare în condiții de echilibru)
- c) să fie asigurate suprarăcirea și energia de activare
- d) să nu existe germeni eterogeni de cristalizare

60. În timpul cristalizării, variația energiei interne ( $\Delta U$ ) la temperatura de solidificare în condiții de echilibru ( $T_s$ ) se consideră egală cu:

- a) entropia de configurație
- b) entropie de vibrație
- c) căldura latentă de solidificare
- d) căldura specifică la presiune constantă

care este:

- w) degajată
- x) absorbită
- y) transformată în lucru mecanic
- z) înmagazinată în rețeaua cristalină

61. În zona unei piese turnate, caracterizată prin capacitate și viteza de cristalizare foarte reduse, grăunții cristalini vor fi:

- a) columnari
- b) echișionali mici
- c) echișionali mari
- d) inexistenți

62. În zona grăunților columnari:

- a) capacitatea de cristalizare ( $Q_{cr}$ )
- b) viteza de cristalizare ( $V_{cr}$ )
- c) gradul de subrăcire ( $\Delta T$ )
- d) viteza de răcire

are valoare:

- w) maximă
- x) minimă
- y) constantă
- z) infinită

63. În urma cristalizării primare, a unui material obișnuit, se obțin grăunți echișionali în zona:

- a) crustei dure  
 b) de transcrystalizare  
 c) de minimă rezistență  
 d) influențată termic

64. Germinarea omogenă se produce numai la:

- a) topire  
 b) cristalizarea materialelor foarte pure  
 c) cristalizarea materialelor impure  
 d) răcirea materialelor amorfă

65. Degajarea căldurii latente de solidificare, din cadrul germinării omogene, este însoțită de:

- a) retopire  
 b) creșterea forței motrice de solidificare  
 c) scăderea forței motrice de solidificare  
 d) scăderea temperaturii materialului

66. La germinarea omogenă cresc doar germenii de rază:

- a) mai mică decât valoarea critică  
 b) mai mare decât valoarea critică  
 c) mai apropiată de distanța interatomică  
 d) egală cu cea atomică

67. La germinarea omogenă, creșterea gradului de subrăcire duce la:

- a) creșterea razei critice  
 b) scăderea razei critice  
 c) creșterea valorii critice a forței motrice  
 d) scăderea distanței interatomice

68. La germinarea omogenă, forța motrice critică,  $\Delta F_c$  depinde de tensiunea superficială, și de suprafața totală a germenilor de rază critică,  $S_c$  conform relației:

- a)  $\Delta F_c = 3 \sigma / S_c$   
 b)  $\Delta F_c = 1/3 \sigma S_c$   
 c)  $\Delta F_c = 1/3(\sigma + S_c)$   
 d)  $\Delta F_c = 3 \sigma S_c$

69. La germinarea eterogenă trebuie să existe:

- a) suprarăciri foarte accentuate  
 b) numai germenii proprii de cristalizare  
 c) substanțe topite extrapure  
 d) suprafețe suport preexistente

70. La începutul germinării eterogene, germenul nou-format este:

- a) o sferă  
 b) o prismă hexagonală  
 c) o calotă sferică  
 d) un cub perfect

71. Germinarea eterogenă nu se poate produce dacă unghiul de contact  $\theta$ , dintre lichid și germene, este:

- a)  $180^{\circ}$
- b)  $135^{\circ}$
- c)  $90^{\circ}$
- d)  $45^{\circ}$

72. Germinarea eterogenă se produce cu o energie de activare mai mică decât cea omogenă numai atunci când unghiul de contact  $\theta$  dintre lichid și germene, este:

- a) negativ
- b) multiplu de  $360^{\circ}$
- c) sub  $180^{\circ}$
- d)  $180^{\circ}$

73. Față de starea de agregare lichidă, centrele de cristalizare, care se formează la răcirea materialelor topite, au energia liberă:

- a) mai mică
- b) mai mare
- c) nulă
- d) egală

74. Centrele de cristalizare se transformă în germeni în urma:

- a) reducerii dimensiunii lor sub o valoare critică
- b) asigurării unui unghi de contact  $\theta$  sub  $180^{\circ}$
- c) degajării căldurii lor latente de solidificare
- d) formării dendritelor

75. Condiția necesară depunerii unui atom din topitură pe suprafața unui germene de cristalizare este:

- a) reducerea maximă a energiei sale libere
- b) atingerea frecvenței maxime de vibrație
- c) ocuparea unui nod al rețelei
- d) formarea crustei dure

76. Condiția ca, la sfârșitul cristalizării, grăunții cristalini să fie mici este ca:

- a) viteza de creștere să fie mare
- b) viteza de germinare să fie mare
- c) viteza de germinare să fie mică
- d) viteza de răcire să fie mică

77. La începutul creșterii unui germen cristalin, atomii se depun preponderent pe:

- a) brațele dendritelor
- b) pereții oalei de turnare
- c) planele cu densitatea atomică minimă
- d) planele cu densitatea atomică maximă

iar la sfârșitul creșterii, suprafețele cristalului vor fi paralele cu:

- w) limitele de grăunți
- x) planele cu densitatea atomică maximă
- y) axele principale ale dendritelor
- z) suprafața topiturii

78. La solidificarea unui lingou, prima dată se formează:

- a) zona cristalelor columnare
- b) zona cristalelor echiaxiale mari
- c) crusta dură
- d) partea superioară a lingoului

79. Condiția apariției zonei cristalelor columnare, la solidificarea unui lingou, este:

- a) prezența gradienților de temperatură
- b) formarea unui număr mare de germeni de cristalizare
- c) formarea cristalelor echiaxiale mari, din centrul lingoului
- d) contracția de la răcire

80. Cauza formării retasurii este:

- a) degajarea gazelor absorbite de topitură
- b) contracția de la răcire
- c) necorelarea secțiunilor
- d) absorbția impurităților pe interfața solid-lichid

81. Defectul de cristalizare primară numit:

- a) dislocație
- b) retasură
- c) segregatie
- d) suflură

constă dintr-o:

- w) structură dendritică
- x) fisură
- y) acumulare de tensiuni interne
- z) neomogenitate chimică

82. Suflurile sunt:

- a) amestecuri mecanice
- b) impurități solide
- c) soluții lichide
- d) gaze

care au fost imobilizate în materialul cristalizat din cauza:

- w) creșterii vâscozității
- y) cristalizării secundare
- y) exploziei „fulgilor de hidrogen”
- z) topirii sulfului

83. Defectul de cristalizare primară, care poate fi remediat prin deformare plastică, se numește:

- a) retasură axială
- b) suflură deschisă
- c) suflură închisă
- d) segregatie inferioară

84. Tensiunile interne de natură termică apar în piesele turnate la care:

- a) există diferențe mari de secțiune
- b) răcirea s-a efectuat cu viteză foarte redusă
- c) s-a aplicat o recoacere de omogenizare
- d) materialul a fost impur

85. Două stări alotropice ale aceluiași metal diferă prin:

- a) compoziția chimică
- b) numărul electronilor de valență
- c) sistemul de cristalizare
- d) masa atomică

86. Transformarea allotropică presupune o modificare a:

- a) rețelei cristaline
- b) volumului atomic
- c) stării de agregare
- d) compoziției chimice

87. Transformarea allotropică a  $\text{Sn}_\beta$  (alb, tvc) în  $\text{Sn}_\alpha$  (cenușiu, cub diamant) este însoțită de:

- a) contracție
- b) dilatare
- c) degajare de radiații
- d) pierderea magnetismului

### 1.3 Metode de punere în evidență a structurii

88. Structura reticulară se referă la:

- a) rețeaua cristalină
- b) învelișurile electronice
- c) grăunții cristalini
- d) numărul de faze

și se studiază prin:

- w) analiză fractografică
- x) încercări de duritate
- y) analiză roentgenostructurală
- z) încercări la tracțiune

89. Constituentii structurali se studiază în cadrul structurii:

- a) macroscopice
- b) microscopice
- c) reticulare
- d) atomice

90. În cadrul structurii microscopice nu se poate studia:

- a) structura nucleului
- b) forma grăunților cristalini
- c) forma subgrăunților cristalini
- d) blocurile de mozaic

91. În microscopia optică, puterea de mărire se poate majora prin:

- a) reducerea indicelui de refracție a mediului
- b) creșterea unghiului de deschidere a obiectivului
- c) mărirea lungimii de undă a radiației
- d) folosirea unui filtru roșu

92. În cadrul microscopiei electronice fasciculul de electroni accelerati este deviat cu ajutorul:

- a) bobinelor
- b) lentilelor
- c) oglinzilor
- d) prisme optice

93. Structura suprafetei unei probe, până la o anumită adâncime, se poate studia numai prin:

- a) analiză microscopică cu sondă de baleaj
- b) analiză magnetică
- c) analiză dilatometrică
- d) analiza termică diferențială

94. Aparatul care utilizează, ca element executiv, o micropârghie de nitrură de siliciu se numește:

- a) microprocesor
- b) microscop optic
- c) microscop electronic
- d) microscop cu forță atomică

95. Expresia corectă a legii lui Bragg este:

- a)  $d = \lambda/A$
- b)  $n\lambda = 2ds\sin\theta$
- c)  $f(\theta) = (2+\cos\theta)(1-\cos\theta)^2$
- d)  $\lambda = h/mv$

96. Metoda Laue utilizează o probă:

- a) policristalină și fascicul monocromatic de raze X
- b) policristalină și fascicul policromatic de raze X
- c) monocrystalină și fascicul policromatic de raze X
- d) monocrystalină și fascicul monocromatic de raze X

97. Difracția razelor X se face în mod obligatoriu pe probe monocristaline la:

- a) radioscopie
- b) metoda cristalului rotitor
- c) metoda pulberilor
- d) înregistrarea difractogramelor

98. La metoda cristalului rotitor, proba este:

- a) un monocristal
- b) un policristal
- c) un tub Röntgen
- d) un aliaj topit

iar imaginea se obține pe un film plasat:

- w) în fața unui ecran plan
- x) în spatele unui ecran conic
- y) în interiorul unei camere cilindrice
- z) în interiorul tubului Röntgen

99. Difractogramele se obțin cu ajutorul:

- a) luminii infraroșii
- b) luminii ultraviolete
- c) razelor X
- d) fasciculului de electroni

și apar sub formă de:

- w) spoturi dispuse în siruri orizontale
- x) spoturi dispuse după hiperbole
- y) maxime de difracție
- z) franje de interferență

100. Analiza dilatometrică se bazează pe măsurarea variațiilor de:

- a) greutate
- b) lungime
- c) intensitate de magnetizare
- d) rezistivitate

101. Termocuplul este:

- a) un ansamblu de 2 sârme sudate la un capăt
- b) un cuplu de forțe produse de dilatarea termică
- c) un inel care produce o tensiune
- d) un element de încălzire a lichidelor

102. Dilatometrul poate măsura contracția unui material obișnuit, lipsit de transformări allotropice, care se produce la:

- a) încălzire
- b) răcire
- c) fierbere
- d) recristalizare

103. La transformarea allotropică din timpul răciriilor,  $Fe_{\gamma}(cfc) \rightarrow Fe_{\alpha}(cvc)$ , se produce o:

- a) modificare a numărului de electroni de valență
- b) contracție
- c) dilatare
- d) transformare eutectică

deoarece:

- w) are loc cristalizarea primară
- x) se degajă o importantă cantitate de căldură
- y) celula cvc este mai compactă decât celula cfc
- z) celula cfc este mai compactă decât celula cvc

104. Analiza magnetică este utilizată la determinarea directă a:

- a) constantei rețelei cristaline
- b) căldurii specifice
- c) temperaturii de topire
- d) temperaturii Curie

105. La balanța termomagnetică, forța de atracție magnetică este echilibrată de o forță de natură:

- a) atomică
- b) electrică
- c) gravitațională
- d) elastică

106. Odată cu creșterea temperaturii, intensitatea de magnetizare a unui magnet permanent:

- a) crește
- b) scade
- c) rămâne constantă
- d) devine infinită

#### 1.4 Prelucrarea materialelor prin deformare plastică

107. Raportul dintre tensiunea tangențială,  $\tau$  și alunecarea specifică,  $\gamma$ , ( $G = \tau/\gamma$ ), reprezintă modulul de elasticitate:

- a) longitudinal
- b) de compresibilitate
- c) transversal
- d) neliniară

108. Deformațiile anelastice sunt o consecință a:

- a) frecările electrostatice
- b) frecările interne
- c) anizotropiei cristaline
- d) căldurii latente de solidificare

109. Deformațiile la care tensiunea este proporțională cu viteza de deformare se numesc:

- a) elastice
- b) anelastice
- c) plastice
- d) vâscoase

110. Monocristalele pot fi caracterizate prin:

- a) absența rețelei cristaline
- b) rețea cristalină perfectă
- c) limite de grăunți cu zonă de trecere
- d) limite de grăunți fără zonă de trecere

și se obțin prin:

- w) topire zonală
- x) solidificare ultrarapidă
- y) laminare la cald
- z) metalurgia pulberilor

111 Topirea zonală presupune topirea materialului de purificat:

- a) concomitent, în tot volumul
- b) numai la un singur capăt
- c) numai în zona centrală
- d) treptat, de la un capăt la altul,

urmărată de:

- w) solidificarea ultrarapidă
- x) solidificarea cu viteză infinit mică
- y) captarea impurităților pe interfața S/L
- z) turnarea materialului topit printr-un filtru ce captează impuritățile

112. Procesul de alunecare în monocristale se produce:

- a) concomitent, pe toate planele de alunecare
- b) alternativ, pe câte 10% din planele de alunecare
- c) numai pe aproximativ 1% din planele de alunecare
- d) întotdeauna pe 50 % din planele de alunecare

situată, față de axa tensiunii aplicate:

- w) la  $15^{\circ}$
- x) la  $45^{\circ}$
- y) paralel
- z) perpendicular

113. Alunecarea, din cadrul deformării plastice, presupune:

- a) ruperea definitivă a legăturilor interatomice
- b) ruperea temporară a legăturilor interatomice
- c) reorientarea rețelei cristaline
- d) lipsa frecării dintre planele atomice

și se produce:

- w) pe sistemele de alunecare
- x) de direcția de minimă densitate atomică
- y) pe axa tensiunii aplicate
- z) pe toate planele de alunecare

114. Sistemul de cristalizare cvc asigură o plasticitate mai ridicată decât sistemul cfc deoarece:

- a) celulei elementare îi aparțin mai mulți atomi
- b) conține plane cu densitate atomică mai mare
- c) conține mai multe sisteme de alunecare
- d) afirmația de mai sus este falsă

115. În urma deformării plastice prin intermediul maclării mecanice se obține:

- a) o rețea cristalină complet nouă
- b) aceeași rețea cristalină dar reorientată
- c) o schimbare a compoziției chimice
- d) o reducere a distanței interatomice

116. În cadrul unei curbe de rupere prin tracțiune a unui monocrystal, maclarea intervine:

- a) pe porțiunea elastică inițială
- b) pe palierul de curgere
- c) în momentul ruperii
- d) la sfârșitul descărcării

117. Pe curbele de rupere prin tracțiune, maclarea mecanică se recunoaște prin:

- a) apariția gătuirii
- b) apariția unor trepte pe suprafața monocristalelor
- c) aspectul tremurat (în „dinți de ferăstrău”) al palierului de curgere
- d) contracția transversală

118. Fenomenul de demaclare, observat la solicitarea la tracțiune a aliajelor martensitice cu memoria formei, constă din:

- a) formarea maclelor
- b) dispariția maclelor
- c) migrarea dislocațiilor
- d) recuperarea formei la descărcare

119. În cadrul deformării plastice a cristalelor reale, dislocațiile au rolul de a asigura:

- a) compactitatea planeelor de alunecare
- b) deplasarea asincronă a planeelor de alunecare
- c) deplasarea sincronă a planeelor de alunecare
- d) încălzirea materialului

120. O sursă Frank-Read generează dislocații prin:

- a) germinare și creștere
- b) conectarea la rețeaua electrică
- c) încălzirea materialului
- d) solicitare mecanică,

numai dacă:

- w) este atinsă temperatura de recristalizare
- x) se produce ruperea materialului
- y) raza de curbură scade sub jumătatea lungimii dislocației
- z) materialul este monocristalin

121. Dacă întâlnesc obstacole, în timpul migrării lor, dislocațiile se:

- a) îngrämadesc, mărind densitatea de dislocații
- b) transformă în frecare internă
- c) descompun, evitând obstacolele
- d) anulează

122. Policristalele se deformează începând cu grăunții orientați:

- a) paralel față de axa tensiunii aplicate
- b) la  $30^{\circ}$  față de axa tensiunii aplicate
- c) la  $45^{\circ}$  față de axa tensiunii aplicate
- d) perpendicular față de axa tensiunii aplicate

123. Deformarea plastică a cristalelor reale se realizează prin:

- a) rotirea tuturor grăunților cristalini
- b) alungirea limitelor de grăunți
- c) migrarea dislocațiilor în interiorul cristalelor
- d) păstrarea dimensiunii grăunților

124. Materialele policristaline se deformează mai mult dacă au:

- a) au granulație mai mică
- b) au granulație mai mare
- c) au mai multe incluziuni și impurități
- d) conțin mai multe faze metalografice

125. Pentru ca dislocația să se propage de la un grăunte cristalin la altul este necesar ca:

- a) cei doi grăunți să fie egali că mărime
- b) cei doi grăunți să aibă orientări apropiate
- c) deformarea sa se efectueze la temperaturi înalte
- d) cei doi grăunți să aparțină unor faze metalografice diferite

126. În urma ecruisării, grăunții cristalini ai fazelor plastice sună:

- a) fărâmițăi
- b) rotunjiți
- c) magnetizați
- d) alungiți

iar cei ai fazelor fragile sunt:

- w) fărâmițați
- x) rotunjiți
- y) magnetizați
- z) alungiți

127. Efectul ecrusării este:

- a) apariția ferromagnetismului
- b) formarea texturii de deformare
- c) modificarea tipului de rețea cristalină
- d) scăderea rezistenței mecanice

128. Unul dintre efectele ecrusării constă din:

- a) creșterea limitei de curgere
- b) scăderea limitei de rupere
- c) apariția găturii
- d) apariția curgerii

și este cauzată de:

- w) recristalizare
- x) schimbarea rețelei cristaline
- y) migrarea defectelor punctiforme
- z) frânarea deplasării dislocațiilor

129. Energia latentă de deformare provine din:

- a) lucrul mecanic consumat la deformarea plastică
- b) căldura latentă de solidificare
- c) tensiunile interne de natură termică
- d) agitația termică a atomilor rețelei cristaline

130. Difuzia atomică, din timpul încălzirii unui material ecrusat, este cauzată de:

- a) agitația termică
- b) forțele de legătură dintre atomi
- c) condiția de maximizare a energiei libere
- d) căldura latentă de topire

131. Din punct de vedere termodinamic, difuzia este cauzată de:

- a) căldura latentă de solidificare
- b) majorarea energiei interne
- c) maximizarea entropiei de configurație
- d) maximizarea energiei libere

132. În cadrul unei recoaceri de recristalizare intervine difuzia care este cu atât mai intensă cu cât:

- a) gradul de deformare plastică este mai ridicat
- b) densitatea de dislocații este mai redusă
- c) numărul de vacanțe este mai redus
- d) temperatura de topire este mai ridicată

133. Fluxul de difuzie ( $J$ ) este:
- - a) invers proporțional cu gradientul de concentrație ( $dc/dx$ )
  - b) egal cu coeficientul de difuzie ( $D$ )
  - c) opus fluxului de vacante
  - d) independent de agitația termică
134. Gradul critic de deformare corespunde:
- - a) limitei de rupere la tracțiune
  - b) granulației maxime la recristalizare
  - c) pragului de recristalizare
  - d) germinării maclelor mecanice
135. În cadrul recoacerii de recristalizare, materialul ecrusat este:
- - a) deformat plastic la cald
  - b) topit
  - c) încălzit peste pragul de recristalizare ( $T_{recr}$ )
  - d) încălzit și menținut până la apariția precipitatelor
136. Majoritatea materialelor se deformează mai ușor la cald deoarece:
- - a) o parte din material este topit
  - b) intervin mai multe mecanisme de deformare plastică
  - c) corporile calde au densități mai ridicate
  - d) scade agitația termică
137. Fibrajul de la deformarea plastică la cald este caracterizat prin:
- - a) grăunți cristalini alungați
  - b) șiruri de impurități
  - c) monocristale filiforme
  - d) absența impurităților
138. Microstructura unui material care a fost deformat plastic la cald prezintă:
- - a) grăunți alungați
  - b) sufluri închise
  - c) constituente în benzi
  - d) limite de grăunți cu contur sinuos

## 1.5 Teoria aliajelor

139. Sistemul de aliaje reprezintă:
- - a) o instalație în care se elaborează aliaje
  - b) toate aliajele formate cu anumiți compoziții
  - c) o zonă din sistemul periodic al elementelor care cuprinde metalele de uz tehnic
  - d) un ansamblu metalic alcătuit din elemente obținute din aliaje diferite

140. În metalografie, fazele reprezintă:
- a) constituenți strucțurali omogeni
  - b) constituenți strucțurali eterogeni
  - c) amestecuri mecanice
  - d) stări de agregare
141. Parametrul termodinamic dependent de concentrație este:
- a) energia internă la 0K
  - b) entropia de vibrație
  - c) căldura specifică
  - d) lucrul mecanic la presiune constantă
142. Când 2 elemente chimice, A și B, reacționează chimic, aliajul rezultat după topire-solidificare va fi de tip:
- a) amestec mecanic
  - b) compus intermetalic
  - c) soluție solidă
  - d) metal pur
143. Soluțiile solide sunt stabile termodinamic pe acele domenii de concentrație pe care energia liberă prezintă o variație:
- a) cu punct de inflexiune
  - b) liniară
  - c) cu punct de minim
  - d) hiperbolică
144. Soluțiile solide se caracterizează prin:
- a) concentrație fixă
  - b) concentrație variabilă
  - c) temperatură de topire fixă
  - d) sistem de cristalizare variabil
145. În general, soluțiile solide au rețea cristalină:
- a) diferită de cea a componenților
  - b) identică cu cea a solventului
  - c) diferită de cea a componentului mai greu fuzibil
  - d) identică cu cea a solvitului
- și rezistivitatea electrică:
- w) mai mare decât cea a componenților
  - x) mai mică decât cea a componenților
  - y) nulă
  - z) independentă de temperatură
146. Între Cu (cfc) și Zn (hc) se formează o soluție solidă:
- a) interstitială
  - b) de substituție, cu solubilitate totală
  - c) de substituție, cu solubilitate limitată
  - d) feromagnetică

147. Ferita alfa,  $F_a$ , este un constituent de tip:

- a) soluție solidă de substituție
- b) soluție solidă intersticială
- c) compus intermetalic electronic
- d) amestec mecanic eutectoid

148. Aliajele din care se fac rezistențele electrice trebuie să fie de tip:

- a) amestec mecanic
- b) metal pur
- c) soluție solidă
- d) compus intermetalic electrochimic

149. Compusii intermetalici pot produce o mărire a:

- a) plasticității
- b) turnabilității
- c) rezistenței mecanice
- d) sudabilității

aliajului numai dacă sunt:

- w) aglomerați la suprafață
- x) fin dispersați
- y) sub forma de ace
- z) dispuși intercristalin

150. Compusii intermetalici se caracterizează prin:

- a) concentrație fixă
- b) concentrație variabilă
- c) plasticitate ridicată
- d) temperatură de topire variabilă

151. Sulfura de fier este un compus intermetalic de tip

- a) electrochimic
- b) geometric intersticial
- c) geometric tip fază sigma
- d) electronic

152. Cementita este un compus intermetalic de tip:

- a) electrochimic
- b) geometric intersticial
- c) geometric tip fază Laves
- d) electronic

153. Compusul intermetalic format între elementele chimice Cr și Fe este:

- a) electrochimic
- b) geometric intersticial
- c) geometric tip fază  $\sigma$
- d) electronic

și se caracterizează prin:

- w) rețea cristalină simplă
- x) feromagnetism
- y) refractaritate
- z) plasticitate

154. Un sistem de aliaje cu solubilitate totală în solid trebuie să aibă, în stare lichidă:

- a) solubilitate totală
- b) solubilitate limitată
- c) insolubilitate
- d) tensiune superficială scăzută

155. Sistemele de aliaje care prezintă solubilitate limitată în stare lichidă au, în stare solidă:

- a) solubilitate totală
- b) solubilitate limitată și variabilă, în mod direct
- c) insolubilitate totală
- d) solubilitate limitată și variabilă, în mod retrograd

156. Sistemele de aliaje cu insolubilitate totală se formează între compoziți care au:

- a) rețele cristaline absolut identice
- b) densități mult diferite
- c) rezistențe de rupere asemănătoare
- d) temperaturi de topire foarte apropiate

157. În timpul solidificării, cristalele de soluție solidă:

- a) se îmbogățesc în component greu fuzibil
- b) devin mai sărace în component greu fuzibil
- c) se dizolvă
- d) cresc întotdeauna numai pe direcția de alunecare

158. Temperatura de topire a unui aliaj tip soluție solidă este dată de

- a) curba lichidus
- b) curba solidus
- c) temperatura de topire a componentului ușor fuzibil
- d) curba solvus

159. După răcirea rapidă din timpul solidificării, compozitia chimică a dendritelor se caracterizează prin:

- a) concentrație mai mare de element ușor fuzibil la interior
- b) concentrație mai mare de element ușor fuzibil la exterior
- c) uniformitatea concentrației pe întreg volumul
- d) concentrație mai mare de element greu fuzibil la exterior

160. Pe diagrama de echilibru a unui sistem de aliaje cu solubilitate limitată, bilaterală și variabilă, domeniul maxim de existență a

soluției solide  $\beta$ , ca fază aflată în stare liberă sau legată, este intervalul de concentrație:

- a)  $0 - c_\alpha$
- b)  $c_\alpha - c_\beta$
- c)  $c_{\alpha 1} - 100\%B$
- d)  $c_{\alpha 1} - c_\alpha$

161. Aliajul eutectic se caracterizează prin:

- a) topire pe un interval de temperatură
- b) topire incongruentă
- c) topire la temperatură constantă
- d) inexistența unei temperaturi de topire

162. Temperatura de topire a amestecului mecanic eutectic este:

- a) mai mare decât a compoziției
- b) mai mică decât a compoziției
- c) variabilă
- d) cuprinsă între temperaturile compoziției

163. Eutecticul figurează:

- a) pe diagrama de constituente structurale
- b) pe diagrama de faze
- c) în domeniul de solidificare
- d) sub liniile solvus

164. Pe diagrama de echilibru a unui sistem de aliaje cu solubilitate totală, regula pârghiei se poate aplica numai în:

- a) domeniul lichid
- b) intervalul de solidificare
- c) punctul de minim al curbei solidus
- d) domeniul solid

165. Într-un sistem de aliaje binare numărul maxim al fazelor metalografice aflate în stare de echilibru este:

- a) 2
- b) 1
- c) 4
- d) 3

166. Domeniile invariante din diagramele de echilibru ale sistemelor de aliaje binare sunt:

- a) intervalele de solidificare
- b) liniile perfect verticale
- c) liniile izoterme
- d) liniile inclinate

167. Aliajul de concentrație  $c = 70\%B$  este bifazic, fiind compus din soluțiile solide  $\alpha$  și  $\beta$ , cu concentrațiile de saturatie  $c_\alpha = 10\%B$  și  $c_\beta = 90\%B$ . Cantitatea procentuală de soluție solidă  $\alpha$  din aliaj este:

- a) 25 %  
 b) 50 %  
 c) 75 %  
 d) 100 %

168. Formarea compusului intermetalic cu topire congruentă este caracterizată, pe diagramele de echilibru, prin existența:

- a) unei porțiuni izoterme a curbei lichidus  
 b) unui punct de maxim al curbei lichidus  
 c) unei discontinuități pe curba lichidus  
 d) unui punct minim al curbei lichidus

169. Intervalul maxim de concentrație, pe care compusul intermetalic  $A_mB_n$ , cu insolubilitate totală, se observă în stare liberă, este:

- a) 0-100 % B  
 b) concentrația  $C_c$   
 c)  $C_{E_1} - C_{E_2}$   
 d) 0- $C_{E_1}$

170. Soluția solidă pe bază de compus intermetalic  $A_mB_n$  are rețeaua cristalină identică cu:

- a) componentul A  
 b) componentul B  
 c) compusul  $A_mB_n$   
 d) componentul greu fuzibil

171. La răcire, transformarea peritectică se produce:

- a) prin compunere de faze  
 b) prin descompunere de faze  
 c) pe un interval de temperatură  
 d) la temperatura de topire a componentului greu fuzibil

172. Faza obținută prin transformare peritectică:

- a) are topire congruentă  
 b) are topire incongruentă  
 c) este element chimic pur  
 d) este un amestec mecanic

173. Compusul intermetalic insolubil, C ( $A_mB_n$ ), format prin reacție peritectică, apare ca fază pe diagrama de echilibru a sistemului de aliaje:

- a) pe intervalul 0 -  $c_E$   
 b) pe intervalul  $c_E - 100 \% B$   
 c) numai la  $c_c$   
 d) la orice concentrație

174. Pe diagramele de echilibru, variația solubilității în stare solidă

este reprezentată prin liniile:

- a) izoterme
- b) solidus
- c) lichidus
- d) solvus,

care permit stabilirea concentrației;

- w) amestecului mecanic eutectoid
- x) fazei lichide
- y) soluției solide
- z) eutecticului

175. La răcire în condiții de echilibru, sub o curbă solvus va precipita:

- a) un eutectic
- b) o soluție solidă
- c) o picătură de fază lichidă
- d) un element chimic pur

176. Călirea de punere în soluție presupune încălzirea:

- a) peste curba lichidus
- b) peste curba solidus
- c) peste curba solvus
- d) sub curba solvus

urmată de menținere, răcire și îmbătrânire care au drept scop:

- w) mărirea plasticității
- x) mărirea rezistenței
- y) apariția feromagnetismului
- z) reducerea granulației

177. Eutectoidul se formează prin:

- a) cristalizare primară
- b) descompunerea unei soluții solide
- c) descompunerea unei faze lichide
- d) precipitare

178. Eutectoidul este:

- a) un compus intermetalic
- b) un amestec de faze solide
- c) o soluție solidă
- d) un amestec de fază lichidă și solidă

179. Călirea de tip martensitic, aplicată în scopul durificării materialelor, este tipică aliajelor cu:

- a) solubilitate variabilă în solid
- b) eutectic
- c) eutectoid
- d) insolubilitate totală

și trebuie urmată, pentru eliminarea tensiunilor de călire, de:

- w) recristalizare
- x) topire
- y) revenire
- z) îmbătrânire

180. Monotecticul este:

- a) un amestec de fază lichidă și solidă
- b) un amestec de faze lichide
- c) o soluție solidă
- d) un compus intermetalic

181. La răcire, transformarea monotectică reprezintă:

- a) descompunerea unei soluții lichide
- b) compunerea a două soluții solide
- c) descompunerea unei soluții solide
- d) precipitarea unui compus intermetalic

182. Sintecticul este:

- a) un amestec de faze solide
- b) o fază solidă care la încălzire se descompune în două faze lichide
- c) o fază solidă care la răcire se descompune într-o fază lichidă și una solidă
- d) un constituent polifazic

183. Transformarea sintectică, produsă la răcire, reprezintă:

- a) descompunerea unei soluții lichide
- b) compunerea a două soluții lichide
- c) o reacție de cristalizare secundară
- d) o precipitare de soluție solidă

184. Diagrama de echilibru cu 2 linii paralele aparține:

- a) unui sistem de aliaje cu eutectic
- b) unui sistem de aliaje cu solubilitate totală
- c) unui sistem de aliaje cu insolubilitate totală
- d) unui sistem de aliaje cu formare de soluții solide

185. Rezistența mecanică a eutecticului este:

- a) nulă
- b) mai mare decât rezistențele componenților
- c) intermediară între rezistențele componenților
- d) mai mică decât rezistențele componenților

186. Într-un sistem cu solubilitate totală rezistența electrică este:

- a) mai mare decât rezistențele componenților
- b) egală cu rezistența componentului ușor fuzibil
- c) mai mică decât rezistențele componenților
- d) nulă

187. Pentru a reduce duritatea unui aliaj tip soluție solidă pe bază de compus intermetalic se aplică o:

- a) călire
- b) deformare plastică la rece
- c) recoacere
- d) normalizare

188. Cea mai bună proprietate a aliajelor tip soluție solidă este:

- a) duritatea
- b) fluiditatea
- c) turnabilitatea
- d) plasticitatea la rece,

față de întreg sistemul de aliaje, cu eutectic și solubilitate limitată și variabilă, datorită:

- w) omogenității fazice
- x) solidificării izoterme
- y) segregăției dendritice
- z) intervalului redus de solidificare

189 Aliajele pentru turnătorie trebuie să conțină:

- a) un element chimic pur
- b) un eutectic
- c) un peritectic
- d) o soluție solidă

care asigură:

- w) contracție volumică maximă
- x) fluiditate maximă
- y) dispersarea microporozității
- z) granulație constantă

190. Cea mai mică valoare a contracției volumice o au aliajele cu structura formată din:

- a) soluție solidă pură
- b) eutectic pur
- c) soluție solidă+precipitat
- d) eutectic+soluție solidă+precipitat

### 1.6 Structura și proprietățile aliajelor fier-carbon

191. Limita teoretică dintre oțelurile-carbon și fontele albe este concentrația:

- a) de saturatie a feritei, 0,0218 %C
- b) de saturatie a austenitei, 2,11 %C
- c) cementitei, 6,67 %C
- d) perlitei, 0,77 %C

192. Austenita este o soluție solidă obținută prin dizolvarea carbonului în:

- a)  $Fe_a$
- b)  $Fe_\gamma$
- c) cementită
- d) ledeburită

și se obține printr-o transformare:

- w) monotectică
- x) eutectică
- y) eutectoidă
- z) peritectică

193. Eutectoidul otelurilor se numește:

- a) ferită
- b) perlită
- c) austenită
- d) ledeburită

194. Pe diagrama Fe- $Fe_3C$ :

- a) nu figurează grafit
- b) figurează grafitul
- c) nu figurează cementită
- d) nu există curbe solvus

195. Eutecticul fontelor albe se numește:

- a) cementită
- b) ferită
- c) ledeburită
- d) grafit lamellar

196. Grafitul este:

- a) un amestec mecanic eutectoid
- b) un element chimic pur
- c) o soluție solidă
- d) un compus intermetalic geometric,

care cristalizează în sistemul:

- w) cubic cu volum centrat
- x) cubic cu fețe centrate
- y) ortorombic
- z) hexagonal compact

197. Odată cu creșterea %C duritatea Brinell (HB) a otelurilor-carbon:

- a) scade hiperbolitic
- b) crește continuu
- c) scade liniar
- d) rămâne constantă,

datorită:

- w) scăderii cantității de cementită
- x) formării grafitului lamelar
- y) creșterii cantității de ferită
- z) creșterii cantității de cementită

198. Una dintre proprietățile tehnologice ale oțelurilor-carbon care crește odată cu creșterea % C este:

- a) sudabilitatea
- b) deformabilitatea
- c) aşchiabilitatea
- d) conductivitatea

199. Odată cu creșterea %C, forța coercitivă a oțelurilor-carbon:

- a) scade
- b) crește
- c) rămâne constantă
- d) atinge un punct de minim la 2,11 %C

200. Odată cu creșterea %C, plasticitatea ( $A_5$ ) a oțelurilor-carbon:

- a) variază sinusoidal
- b) crește
- c) scade
- d) rămâne constantă,

din cauza reducerii cantității de:

- w) grafit
- x) perlita
- y) cementită
- z) ferită

201. Prezența sulfului, în oțelurile-carbon este:

- a) utilă deoarece mărește plasticitatea
- b) total inutilă dar nu poate fi anihilată
- c) dăunătoare și se anihilează cu Mn
- d) cauzată de prezența suflurilor

202. În oțelurile-carbon prezența siliciului este utilă deoarece:

- a) anihilează oxigenul
- b) mărește aşchiabilitatea
- c) produce grafitizarea
- d) mărește plasticitatea

203. Prezența manganului în oțelurile-carbon este:

- a) pur întâmplătoare
- b) inutilă, fiindcă produce grafitizarea
- c) utilă, pentru desulfurare
- d) nedorită, deoarece mărește prea mult plasticitatea

204. Cauza fragilității poate fi:

- a) formarea unei soluții solide aliate
- b) formarea unui eutectic
- c) dispunerea fină și uniformă a oxizilor
- d) creșterea cantității de ferită

205. Ce oțelul-carbon se folosește la producerea țevilor?

- a) OT400
- b) OLT65
- c) OLC55
- d) OL52-1k

206. Care oțel-carbon nu trebuie tratat termic sau termochimic?

- a) OLC10
- b) OL60
- c) OLC55
- d) 13CrNi30

207. Care dintre următoarele mărci de oțeluri-carbon turnate în piese nu are garantată valoarea minimă a rezistenței la curgere ( $R_c$ )?

- a) OT700-1
- b) OT400-3
- c) OT450-2
- d) OT600-2

208. Pentru a înlocui sistemul de fixare a ușii aragazului veți confectiona niște șuruburi din oțel-carbon marca:

- a) OLC25ASR
- b) OL34q
- c) OLC35ASK
- d) R37

209. Dintre următoarele mărci de oțeluri-carbon, cea mai mare rezistență la coroziunea atmosferică o are:

- a) OL37
- b) RCA37
- c) R37
- d) RV52

210. Dintre oțelurile OCS58 și OSC11 cel mai tenace este:

- a) OSC11
- b) amândoua sunt la fel
- c) nici unul nu este tenace
- d) OCS58,

datorită:

- w) prezenței cementitei
- x) conținutului ridicat de sulf
- y) finisării granulației
- z) conținuturilor ridicate de sulf

211. Ce oțel-carbon va rezista la întindere la tensiunea de 385 MPa?

- a) AUT40
- b) R37
- c) RCB52
- d) OLT35

212. Care este materialul cel mai rezistent la rupere dintre:

- a) OLT35
- b) OL44
- c) OCS44
- d) AUT40

213. Pentru a confectiona o camă trebuie să alegeti materialul:

- a) fontă albă de maleabilizare
- b) OLC65A
- c) OL37
- d) OLC15,

pe care trebuie să-l supuneți unui tratament de:

- w) îmbătrânire
- x) cementare
- y) modificare chimică
- z) recoacere de grafitizare

214. Cea mai bună proprietate (caracteristică) a unui oțel-carbon cu 0,3 %S și 0,15 %P este:

- a) aşchiabilitatea
- b) deformabilitatea la rece
- c) feromagnetismul
- d) refractaritatea

215. Dintre următoarele mărci de oțeluri-carbon, cel mai mic conținut de siliciu trebuie să existe la:

- a) AUT20
- b) A3
- c) K52
- d) OLC65A

deoarece este un material:

- w) care trebuie supus unei recoaceri de grafitizare
- x) rezistent la coroziune, destinat temperaturilor înalte
- y) elastic, pentru arcuri
- z) moale, de ambutisare

216. Alegeti oțelul-carbon destinat fabricării unui ciocan dintre:

- a) OLC55A
- b) OSC7
- c) OCS58
- d) OL32

217. Care dintre următoarele mărci de oțeluri-carbon nu este hipoeutectoid?

- a) A1
- b) OL60
- c) OLC85A
- d) OSC7

218. În raport cu oțelurile-carbon fontele cu grafit au:

- a) greutate specifică mai mică
- b) rezistență la rupere mai mare
- c) sudabilitate superioară
- d) preț de cost mai ridicat

219. Față de oțelurile-carbon, fontele cu grafit prezintă:

- a) temperatură de turnare mai ridicată
- b) rezistență la oboseală mai mare
- c) aşchiabilitate superioară
- d) tenacitate mai ridicată

220. Din același aliaj topit, (conținând 3 %C și 1 %Si) se toarnă în condiții identice o bară (cu diametrul)  $\Phi 10$  și o bară  $\Phi 20$ , de lungimi egale. Cea mai dură va fi:

- a) cea mai groasă
- b) cea mai subțire
- c) nici una
- d) amândouă sunt la fel de dure,

deoarece:

- w) Si imprimă plasticitate
- x) se formează fontă cu grafit nodular
- y) Si reduce oxizii
- z) se formează fontă pestriță

221. Care este materialul cel mai dur, dintre:

- a) Fmn320
- b) Fonta albă hipoeutectică
- c) OSC13 recopă
- d) A1

222. Considerând că ați analizat la microscop două probe identice și ați identificat următorii constituenți:  $F_a$  și  $Gr_{lamellar}$  (proba I) și P și  $Gr_{lamellar\ fin}$  (proba II), stabiliți care dintre probe poate fi  $Fc250$ :

- a) proba I fiindcă este cea mai moale fontă cenușie standardizată
- b) nici una fiindcă nu conțin cementită liberă
- c) proba II, fiindcă este cea mai dură
- d) ambele, deoarece conțin  $F_a$

223. Pentru turnarea unui batifului de strung, se va alege materialul:

- a) OT450
- b) fontă albă de maleabilizare
- c) Fc400
- d) OLT45

224 Cea mai mare cantitate de fosfor o va avea marca de fontă:

- a) Fc400
- b) Fma470
- c) Fgn400-12
- d) OT550-1

225 Care dintre următoarele mărci de fontă conține grafit modificat?

- a) Fc100
- b) Fc150
- c) Fc200
- d) Fc250

226. Care dintre următoarele fonte maleabile conține cantitatea cea mai mare de perlită:

- a) Fma350
- b) Fmn370
- c) Fmp700
- d) Fgn700-2

227. Printr-o recoacere de grafitizare nu se poate obține:

- a) Fmn370
- b) Fma350
- c) Fmp550
- d) Fmp650

228. Care dintre următoarele fonte conține magneziu?

- a) Fc100
- b) Fmn320
- c) Fgn370-12
- d) Fmn350

229. Materialul corespunzător pentru confectionarea unui arbore supus la șocuri mecanice, care să reziste la o forță de întindere de 380 MPa, este:

- a) Fmn320
- b) Fc400
- c) Fma400
- d) Fgn370-17

230. Marca de fontă cu cea mai mare rezistență la oboseală este:

- a) Fc400
- b) Fma400
- c) Fc150
- d) Fgn400-12,

datorită formei grafitului care este:

- w) vermicular
- x) nodular
- y) lamelar grosolan
- z) lamelar fin

231. Cândărind, cu o balanță de precizie, 3 piese cu dimensiuni absolut identice, cea mai grea va fi cea confectionată din:

- a) fontă pestriță
- b) AUT12
- c) OSP14
- d) Fc400

### 1.7 Oțeluri și fonte aliate

232. Structura unui oțel aliat cu mult nichel va conține:

- a) ferită aliată
- b) austenită aliată
- c) ledeburită aliată
- d) grafit

233. Vanadiul, introdus în cantitate mare în compoziția chimică a unui oțel aliat, se va regăsi în microstructură sub formă de:

- a) carbură simplă
- b) compus electrochimic
- c) metal pur
- d) cementită aliată

234. În compoziția unui oțel aliat, cobaltul se va regăsi în:

- a) ferita aliată
- b) austenita aliată
- c) cementita aliată
- d) carbura de cobalt

235. Care dintre următoarele 4 elemente de aliere se va regăsi în structura unui oțel nemagnetic:

- a) Mn
- b) Cr
- c) B
- d) Si

236. Se consideră oțelurile aliate: I (cu Cr) și II (cu Ni), conținând fiecare câte 0,1 %C. Cel mai moale va fi:

- a) I
- b) II
- c) nici unul
- d) amândouă sunt la fel de dure,

deoarece:

- w) Cr și Ni produc grafitizarea
- x) conține F<sub>α</sub>aliată (cu rețea cvc)
- y) conține cementita
- z) conține A<sub>α</sub>aliată (cu rețea cfc)

237. Aluminul, introdus ca element de aliere, are efect:

- a) gamagen
- b) alfagen
- c) carburigen
- d) antigrafitizant

deoarece:

- w) formează o peliculă protectoare de Al<sub>2</sub>O<sub>3</sub>
- x) se dizolvă în austenită
- y) limitează creșterea austenitei, prin barieră de oxizi
- z) se combină chimic cu carbonul

238. Un oțel aliat, cu microstructura formată din carburi, poate avea în compoziția sa doar unul dintre următoarele elemente chimice:

- a) Ni
- b) W
- c) Pb
- d) Co

239. În compoziția chimică a cementitei aliante poate să apară:

- a) Cr
- b) Co
- c) Ti
- d) Ni

240. Carburile, din structura unui oțel aliat cu proporții reduse de bor, nichel, hafniu și crom, vor conține cu certitudine:

- a) B
- b) Ni
- c) Hf
- d) Cr

241. Principalele proprietăți ale carburilor sunt:

- a) tenacitatea și ductilitatea
- b) conductibilitatea electrică și termică
- c) duritatea și fragilitatea
- d) plasticitatea și calitățile antifricțiune

242. Tratamentul tipic aplicat oțelului aliat 38MoCrAl09 este:

- a) cementarea
- b) îmbunătățirea
- c) nitrurarea
- d) modificarea chimică

243. Marca de otel aliat 40Cr10 este:

- a) de arcuri
- b) de îmbunătățire
- c) de cementare
- d) refractar

244. Marca de otel aliat pentru arcuri este:

- a) 51VCr11
- b) OLC75A
- c) A3
- d) Rp3

245. Materialul care rezistă la cele mai scăzute temperaturi este:

- a) 12SiCrNi360
- b) 10Ni35
- c) 10CrMo10
- d) 09Mn16

246. Pentru sudarea unui rezervor de apă potabilă la Cabana Omu, materialul cel mai convenabil, atât economic cât și tehnic, este:

- a) OL37
- b) 09Mn16
- c) aluminiu extrapur
- d) T20Mn14

deoarece:

- w) aluminiul este foarte ieftin și ușor sudabil
- x) este un otel-carbon obișnuit care se poate suda ușor
- y) este pentru recipiente și rezistă la temperaturi scăzute
- z) este un otel de rulmenți

247. Șuruburile de fixare a capacului unui cazan de "abur viu" ( $450^{\circ}\text{C}$ ) trebuie confectionate din:

- a) T30MoCrNi14
- b) 24VMoCr12AS-K
- c) 21MoMnCr12q
- d) Rp9

248. Otelul aliat 200Cr120 este:

- a) de construcție
- b) austenitic
- c) de scule
- d) nemagnetic,

deoarece:

- w) conține 20 %C și 1,2 %Cr
- x) conține 2 %C și 12 %Cr
- y) 0,2 %C și 120 %Cr
- z) Cr formează austenita aliată

249. Precizați marca de oțel aliat care are cea mai mare tenacitate, dintre:

- a) RUL1
- b) 200Cr120
- c) 45VSiCrW20
- d) Rp10

250. Care dintre următoarele mărci de oțel aliat se folosește la confectionarea sculelor de deformare plastică la cald?:

- a) 117VCr6
- b) 20MnB5
- c) 40VMoCr52
- d) OSC11

251. Cuțitele unei tocătoare de pește în saramură, se pot face din:

- a) 40Cr130
- b) 117VCr6
- c) 105CrW20
- d) 12NiCr250

252. Identificați marca de oțel refractar dintre:

- a) T35CrNi370
- b) T130Mn135
- c) T30MoCrNi14
- d) 30VCrW82

253. Cel mai dur oțel aliat turnat este:

- a) T130Mn135
- b) T12TiMoNiCr175
- c) T40TiCrNi17
- d) T35CrNi370,

datorită:

- w) formării feritei aliate
- x) formării unui strat protector de oxizi
- y) ecrusării austenitei aliate
- z) carburilor de crom

254. O flanșă turnată din T130Mn135 trebuie prelucrată prin:

- a) rectificare
- b) strunjire cu răcire abundantă
- c) forjare la rece
- d) sudare

deoarece:

- w) materialul trebuie topit înaintea prelucrării
- x) este un oțel de construcție, deformabil
- y) este un oțel ecrusabil, foarte dur
- z) Mn mărește aşchiabilitatea

255. Prin alierea unei fonte cu 30 %Cr se obține:

- a) un oțel de scule
- b) o fontă maleabilă antifricțiune
- c) o fontă rezistentă la uzură
- d) un oțel austenitic

256. Care dintre următoarele materiale trebuie să reziste până la  $1000^{\circ}\text{C}$ :

- a) FaCr
- b) FrAl22
- c) AlCu2Mg1,5Ni
- d) 10Ni35

### 1.8 Aliaje neferoase

257. Plasticitatea aluminiului este fructificată prin fabricarea:

- a) conductorilor electrici
- b) magneților permanenți
- c) tuburilor de paste
- d) cuțitelor de strung

258. Printre proprietățile aluminiului se numără:

- a) feromagnetismul
- b) rezistența la coroziune
- c) fragilitatea
- d) duritatea

259. Aliajele Al-Mn care conțin compusul  $\text{Al}_6\text{Mn}$  în stare liberă, cristalizat primar, sunt:

- a) deformabile la rece
- b) de turnatorie
- c) deformabile la cald
- d) cu insolubilitate totală

260. Aliajul  $\text{AlCu4MgMn}$  se numește:

- a) duralumin
- b) silumin
- c) alamă
- d) babitt

și se folosește numai după:

- w) recoacere
- x) modificare chimică
- y) turnare în cochilă
- z) îmbătrâinire

261. Aliajul ATSi2, obținut prin turnare se numește:

- a) duralumin
- b) silumin
- c) aliaj pentru pistoane
- d) fontă maleabilă

și este supus, pentru îmbunătățirea proprietăților mecanice, unui tratament special numit:

- w) călire
- x) îmbătrânire
- y) ecruisare
- z) modificare chimică

262. Aliajul ATCu4Ni2Mg2 este utilizat pentru fabricarea:

- a) cuțitelor de strung
- b) pistoanelor de motoare
- c) lagărelor de alunecare
- d) magnetilor permanenți

263. Una dintre proprietățile caracteristice cuprului pur este:

- a) culoarea alb-argintie
- b) feromagnetismul
- c) plasticitatea
- d) raportul ridicat rezistență mecanică/densitate

264. Printre aplicațiile cuprului se numără:

- a) fabricarea manșoanelor la roțile de vagoane
- b) construcția rulmenților
- c) turnarea batiurilor mașinilor-unei
- d) schimbătoarele de căldură

265. Pentru a corespunde, din punct de vedere tehnic, conductorii electrici din cupru trebuie să fie:

- a) recopți
- b) ecrusați
- c) cementați
- d) în stare călită

266. Cuprul pur poate atinge o alungire la rupere de 40 % numai după:

- a) turnare
- b) laminare și recoacere
- c) călire
- d) sudare

267. Plasticitatea alamelor se datorează fazei:

- a)  $\alpha$  (c.f.c.)
- b)  $\beta$  (c.v.c.)
- c)  $\epsilon$  (h.c.)
- d)  $\gamma$  (cub complex)

268. Pentru confeționarea țevilor de radiatoare se utilizează aliajul:

- a) CuZn40
- b) CuZn30Al15Fe3Mn2
- c) CuZn32Pb2
- d) CuZn5,

deoarece:

- w) este deformabil și monofazic
- x) este deformabil și bifazic
- y) este de turnătorie
- z) este feromagnetic

269. Din aliajul CuZn30 se fabrică cu preponderență:

- a) plăci de pianine
- b) țevi de radiatoare
- c) cuțite de strung
- d) tuburi de cartușe

270. Pentru turnarea unui lagăr antifricțiune se folosește:

- a) o alamă de turnătorie
- b) o alamă deformabilă
- c) un bronz obișnuit bifazic
- d) un bronz cu aluminiu monofazic,

marca:

- w) CuSn14
- x) CuZn5
- y) CuZn39Al4Mn3Fe
- z) CuAl10Fe3

271. Bombardele medievale erau turnate dintr-un material identic cu aliajul:

- a) CuSn4Pb4Zn4
- b) CuSn14
- c) CuSn10Zn2
- d) CuPb20Sn5

272. Turnarea unei ancore pentru o navă de pescuit oceanic se face din:

- a) duralumin
- b) bronz cu aluminiu
- c) alamă de turnătorie
- d) bronz cu plumb

273. Aliajul monofazic CuAl8 are rețeaua cristalină de tip:

- a) c.v.c.
- b) h.c.
- c) c.f.c.
- d) cub complex

274. Turnarea coroanelor melcate se poate face folosind aliajul:

- a) CuZn40
- b) CuAl10Fe3T
- c) CuSn2
- d) CuPb25

275. Bronzul cu cele mai bune proprietăți antifrictiune este:

- a) CuSn14
- b) CuAl10Fe3
- c) CuPb25
- d) CuSn12Ni2,

datorită prezenței:

- w) nichelului
- x) fazei dure  $\delta$  ( $Cu_{31}Sn_8$ )
- y) eutectoidului ( $\alpha + \gamma_2$ )
- z) plumbului pur

276. Care dintre următoarele aliaje este o ALPACA:

- a) CuNi18Zn20
- b) CuZn37
- c) CuAl9Fe5Ni5T
- d) CuPb25

277. Fixarea și corectarea fracturilor se face cu tije ortopedice din:

- a) oțel-carbon
- b) aliaj de cupru
- c) aliaj de titan
- d) aliaj de plumb și staniu

278. Alegeți materialul pentru confectionarea unei elice de avion dintre:

- a) AlCu4MgMn
- b) TiAl6V4
- c) Y-PbSn6Sb6
- d) CuZn36Pb1

279. Cuplajele hidropneumatice, cu auto-strângere, ale conductelor de răcire ale avioanelor se fac din:

- a) Nitinol
- b) alb de titan
- c) Nitantium
- d) Nichelină

280. Aliajul ZnAl4Cu1 se numește:

- a) alamă
- b) babbitt
- c) duralumin
- d) zamak

și este utilizat pentru:

- w) fabricarea bilelor de rulmenți
- x) forjarea lamelor de buldozer
- y) tunarea sub presiune a pieselor mici
- z) turnarea elicelor de nave

281. Pentru presarea la cald a unui profil de mare stabilitate dimensională se utilizează aliajul:

- a) ZnAl4Cu1
- b) ZnCu1
- c) MgAl4Zn3
- d) AT Mg6

282. Dintre următoarele patru aliaje, cel mai ușor material deformabil este:

- a) MgAl3
- b) AlMg1
- c) MgAl9
- d) AT Cu4

283. Pentru tunarea unei piese ușoare, solicitată la oboseală, se folosește aliajul:

- a) MgAl3
- b) ZnAl4Cu1
- c) ATSi12CuMgNi
- d) MgAl4Zn3

284. Coeficientul redus de frecare, al aliajelor antifrictiune, este asigurat de:

- a) cristalele purtătoare
- b) matricea metalică
- c) plăcile de SnSb
- d) globulele de Pb<sub>3</sub>Ca

285. Pentru a realiza o lipitură se va folosi aliajul:

- a) Y-Pb98
- b) BSn64Pb183-185
- c) CuPb25
- d) ATNCu4Ni2Mg2

## 1.9 Aliaje speciale

286. Metode folosită pentru elaborarea pulberilor este:

- a) turnarea centrifugală
- b) atomizarea
- c) presarea în vid
- d) electroliza

287. În timpul consolidării, care se produce la presarea în matriță, particulele pulberii sunt supuse unui proces de:

- a) sudare sub presiune
- b) magnetizare
- c) recristalizare
- d) dizolvare

288. Sinterizarea constă din:

- a) încălzirea peste  $T_{recr}$
- b) topirea pulberii consolidate
- c) presarea în matriță
- d) turnarea unei rășini sintetice

289. Ca materiale antifricțiune poroase, pentru lagăre se folosesc:

- a) plăcuțele VIDIA
- b) ferodourile
- c) feritele
- d) bronzurile grafitate

290. Duritatea maximă, atinsă de plăcuțele VIDIA la  $1000^{\circ}\text{C}$  este:

- a) 120 HRC
- b) 65 HRC
- c) 100 HRC
- d) 10 HRC

291. Pseudoelasticitatea presupune:

- a) comportare perfect liniară la încărcare-descărcare
- b) o neliniaritate la descărcare
- c) apariția elasticității după rupere
- d) redobândirea formei calde la încălzire

292. Cauza memoriei mecanice a aliajelor cu memoria formei este:

- a) alunecarea planelor atomice pe direcțiile de alunecare
- b) o transformare allotropică la încălzire
- c) inducerea prin tensiune a unei transformări martensitice reversibile
- d) prezența transformărilor vâscoase

293. Cauza microstructurală a superelasticității este:

- a) alunecarea planelor atomice compacte
- b) reorientarea variantelor de martensită
- c) formarea martensitei în timpul încălzirii
- d) duritatea austenitei

294. Efectul simplu de memoria formei constă din:

- a) revenirea elastică la descărcare
- b) redobândirea formei calde prin încălzire
- c) formarea memoriei magnetice
- d) identificarea formei în care s-a efectuat ultima turnare

295. Condiția de existență a efectului de memoria formei este:

- a) producerea difuziei
- b) ecrusarea materialului
- c) transformarea martensitică reversibilă
- d) formarea eutecticului

296. Nu se poate obține EMF fără:

- a) alunecare pe planele atomice de maximă densitate
- b) posibilitatea imprimării formei reci
- c) o transformare martensitică ireversibilă
- d) intervenția difuziei atomice

297. Cauza memoriei termice este:

- a) rigiditatea superioară a austenitei
- b) duritatea mare a martensitei
- c) apariția difuziei atomice
- d) existența unei transformări magnetice

298. Efectul ce constă din redobândirea spontană a formelor rece și caldă la încălzire și respectiv răcire se numește:

- a) efect pseudoelastic
- b) efect simplu de memoria formei
- c) efect de memoria formei în dublu sens
- d) efect de amortizare a vibrațiilor

299. EMFDS este cauzat de:

- a) dislocațiile orientate, păstrate în austenită
- b) difuzia atomilor, în timpul transformării martensitice
- c) încălzirea în domeniul de solidificare
- d) germanii străini de cristalizare

300. Tratamentul termomecanic aplicat AMF pentru obținerea efectului de memoria formei în dublu sens se numește:

- a) călire
- b) deformare la cald
- c) modificare chimică
- d) educare

301. Dispozitivele de fixare pe bază de inele din AMF sunt aplicații:

- a) cu revenire liberă
- b) cu revenire reținută
- c) generatoare de lucru mecanic
- d) pseudoelastice,

care lucrează în domeniul:

- w) martensitic
- x) austenitic
- y) cristalizării primare
- z) de solidificare

302. Față de bimetaalele termostaticice, activatorii termici cu memoria formei dezvoltă:

- a) viteze de deplasare mai mici
- b) caracteristici mai liniare
- c) curse de 20 de ori mai mari
- d) forțe de cca. 200 de ori mai mici

303. Cea mai reușită aplicație existentă, a aliajelor cu memoria formei, o reprezintă:

- a) motoarele termice
- b) sârmele ortodontice
- c) lagărele antifricțiune
- d) filamentele becurilor cu incandescență

304. Printre aplicațiile AMF se numără:

- a) miezurile de transformatoare
- b) lamele de bărbierit
- c) plăcuțele aşchietoare
- d) amortizoarele seismice

305. Rețeaua cristalină a sticlelor metalice este:

- a) cubică
- b) hexagonală
- c) nu există,
- d) ortorombică

deoarece:

- w) au atomi numai în colțurile celulei elementare
- x) sunt amorfă
- y) sunt pe bază de  $\text{SiO}_2$
- z) au transformări allotropice

306. Sticlele metalice se obțin prin:

- a) laminare controlată
- b) răcire ultrarapidă
- c) sinterizare
- d) sudare în mediu inert

307. Cauza rezistenței ridicate la coroziune a sticlelor metalice este:

- a) puritatea materialului și stratul de oxizi depuși
- b) densitatea scăzută și tensiunile interne de comprimare
- c) existența unei transformări martensitice
- d) omogenitatea și lipsa defectelor reticulare

308. În raport cu oțelurile-carbon, sticlele metalice au:

- a) rezistență mecanică mai ridicată
- b) rezistență la coroziune inferioară
- c) călăritate îmbunătățită
- d) aşchiabilitate mai bună

309. Cele mai bune miezuri de transformatoare se fac din:

- a) tablă silicioasă
- b) sticle metalice feromagnetice
- c) aliaje Cu-Ni
- d) ferite moi,

deoarece:

- w) nichelul este feromagnetic
- x) prezintă rețea cubică, ceea ce imprima plasticitate
- y) nu au defecte de turnare dar au pori
- z) au histerezis magnetic redus

### 1.10 Materiale nemetalice

310. La materialele ceramice predomină:

- a) legătura covalentă
- b) legătura de hidrogen
- c) legătura metalică
- d) legătura Van der Waals,

care este cauza:

- w) plasticității la rece
- x) fragilității la temperatura ambiantă
- y) luciului metalic
- z) înaltei lor deformabilități plastice

311. Principala caracteristică a silico-aluminaților este:

- a) rezistența la șocuri
- b) conductivitatea electrică
- c) refractaritatea
- d) plasticitatea

312. Presarea izostatică uscată, a materialelor ceramice, presupune:

- a) presarea pulberilor într-o matră care nu are de loc lichid
- b) uscarea pulberilor datorită forței de presare
- c) aplicarea presiunii prin intermediul elastomerilor
- d) aplicarea presiunii cu o viteză infinit mică

313. Polietilena este un:

- a) polimer termoplastice
- b) polimer termorigid
- c) elastomer
- d) adeziv

314. O conductă de apă caldă se poate confectiona din:

- a) policlorură de vinil (PVC)
- b) polistiren expandat
- c) poliacrilonitrilbutadienstirena (ABS)
- d) polietilen tereftalat (PET)

315. Elastomerii sunt utilizabili numai:

- a) sub temperatura de vitrifiere
- b) peste temperatura de curgere
- c) între temperatura de vitrifiere și cea de curgere
- d) peste temperatura de recristalizare

316. Într-un polimer termoplastice amorf solicitat la întindere poate apărea defectul numit "craze" care constă din:

- a) un ansamblu de microcrăpături
- b) relaxarea tensiunii la alungire constantă
- c) o reacție de polimerizare prin condensare
- d) linie de minimă rezistență

317. Corpul navetei spațiale "Voyager" este construit dintr-un material compozit cu matricea din:

- a) aliaj de aluminiu și particule de  $\text{Al}_2\text{O}_3$
- b) răsină epoxidică și fibre de grafit amorf
- c) grafit și fibre de bor
- d) oțel refractar

318. Cea mai mare refractaritate o au materialele compozite cu matrice:

- a) polimerică termoplastica
- b) ceramică
- c) metalică
- d) polimerică termorigidă

319. Efectul durificator al fibrelor se produce numai dacă:

- a) lungimea fibrelor este mai mare decât lungimea critică
- b) lungimea fibrelor este mai mică decât lungimea critică
- c) fibrele sunt fabricate din același material cu matricea
- d) volumul ocupat de fibre este mai mic decât volumul critic

320. La încorporarea fibrelor în matrice este interzisă:

- a) crearea unei legături chimice fibre-matrice
- b) distribuția uniformă a fibrelor
- c) utilizarea lubrifiantilor
- d) alinierea fibrelor după o direcție comună

## Răspunsuri

### 1.1. Structura atomo-cristalină a materialelor

1 – c+x; 2 – a; 3 – d; 4 – b; 5 – b; 6 – b; 7 – b; 8 – b; 9 – c; 10 – d; 11 – c; 12 – c; 13 – a; 14 – b+z; 15 – a; 16 – c; 17 – c; 18 – d; 19 – d; 20 – b; 21 – c; 22 – d; 23 – c; 24 – c; 25 – d; 26 – d; 27 – b; 28 – a; 29 – d; 30 – b; 31 – d; 32 – c; 33 – b; 34 – c; 35 – b; 36 – a; 37 – d; 38 – c; 39 – a; 40 – a; 41 – d; 42 – a+z; 43 – c+y; 44 – a; 45 – a.

## 1.2 Cristalizarea primară a materialelor

46 – b; 47 – d; 48 – d; 49 – c; 50 – c; 51 – a; 52 – c; 53 – c; 54 – b; 55 – c; 56 – c; 57 – c; 58 – d; 59 – c; 60 – c+w; 61 – c; 62 – b+w; 63 – a; 64 – b; 65 – c; 66 – b; 67 – b; 68 – b; 69 – d; 70 – c; 71 – a; 72 – c; 73 – b; 74 – c; 75 – a; 76 – b; 77 – c+x; 78 – c; 79 – a; 80 – b; 81 – c+z; 82 – d+w; 83 – c; 84 – a; 85 – c; 86 – a; 87 – b.

## 1.3 Metode de punere în evidență a structurii

88 – a+y; 89 – b; 90 – a; 91 – b; 92 – a; 93 – a; 94 – d; 95 – b; 96 – c; 97 – b; 98 – a+y; 99 – c+y; 100 – b; 101 – a; 102 – b; 103 – c+z; 104 – d; 105 – c; 106 – b

## 1.4 Prelucrarea materialelor prin deformare plastică

107 – c; 108 – b; 109 – d; 110 – b+w; 111 – d+y; 112 – c+x; 113 – b+w; 114 – d; 115 – b; 116 – b; 117 – c; 118 – b; 119 – b; 120 – d+y; 121 – a; 122 – c; 123 – c; 124 – b; 125 – b; 126 – d+w; 127 – b; 128 – a+z; 129 – a; 130 – a; 131 – c; 132 – a; 133 – c; 134 – b; 135 – c; 136 – b; 137 – b; 138 – c.

## 1.5 Teoria aliajelor

139 – b; 140 – a; 141 – a; 142 – b; 143 – c; 144 – b; 145 – b+w; 146 – c; 147 – b; 148 – c; 149 – c+x; 150 – a; 151 – a; 152 – b; 153 – c+y; 154 – a; 155 – c; 156 – b; 157 – b; 158 – b; 159 – b; 160 – c; 161 – c; 162 – b; 163 – a; 164 – b; 165 – d; 166 – c; 167 – a; 168 – b; 169 – c; 170 – c; 171 – a; 172 – b; 173 – b; 174 – d+y; 175 – b; 176 – c+x; 177 – b; 178 – b; 179 – c+y; 180 – a; 181 – a; 182 – b; 183 – b; 184 – c; 185 – c; 186 – a; 187 – c; 188 – d+w; 189 – b+x; 190 – b.

## 1.6 Structura și proprietățile aliajelor fier-carbon

191 – b; 192 – b+z; 193 – b; 194 – a; 195 – c; 196 – b+z; 197 – b+z; 198 – c; 199 – b; 200 – c+z; 201 – c; 202 – a; 203 – c; 204 – b; 205 – b; 206 – b; 207 – a; 208 – c; 209 – b; 210 – d+y; 211 – c; 212 – c; 213 – d+x; 214 – a; 215 – b+z; 216 – b; 217 – c; 218 – a; 219 – c; 220 – b+z; 221 – b; 222 – c; 223 – c; 224 – a; 225 – d; 226 – c; 227 – b; 228 – c; 229 – c; 230 – d+x; 231 – b.

## 1.7 Oțeluri și fonte aliate

232 – b; 233 – a; 234 – b; 235 – a; 236 – b+z; 237 – b+y; 238 – b; 239 – a; 240 – c; 241 – c; 242 – c; 243 – b; 244 – a; 245 – b; 246 – b+y; 247 – b; 248 – c+x; 249 – c; 250 – c; 251 – a; 252 – a; 253 – a+y; 254 – a+y; 256 – c; 257 – b.

## 1.8 Aliaje neferoase

257 – c; 258 – b; 259 – b; 260 – a+z; 261 – b+z; 262 – b; 263 – c; 264 – d; 265 – a; 266 – b; 267 – a; 268 – d+w; 269 – d; 270 – c+w; 271 – c; 272 – b; 273 – c; 274 – b; 275 – c+z; 276 – a; 277 – c; 278 – b; 279 – a; 280 – d+y; 281 – b; 282 – a; 283 – d; 284 – b; 285 – b.

## 1.9 Aliaje speciale

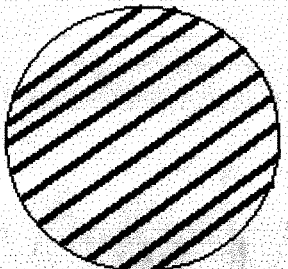
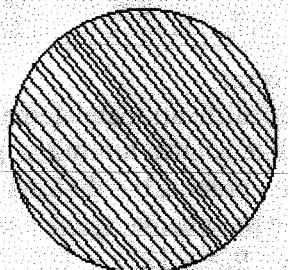
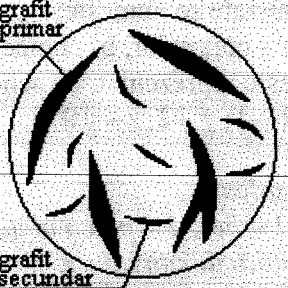
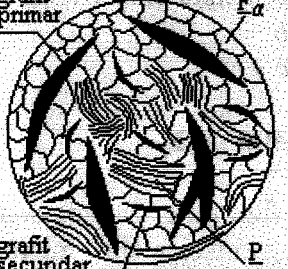
286 – b; 287 – a; 288 – a; 289 – d; 290 – b; 291 – b; 292 – c; 293 – b; 294 – b; 295 – c; 296 – b; 297 – a; 298 – c; 299 – a; 300 – d; 301 – b+x; 302 – c; 303 – b; 304 – d; 305 – c+x, 306 – b; 307 – d; 308 – a; 309 – b+z.

## 1.10 Materiale nemetalice

310 – a+x; 311 – c; 312 – c; 313 – a; 314 – c; 315 – c; 316 – a; 317 – b; 318 – b; 319 – b, 320 – c.

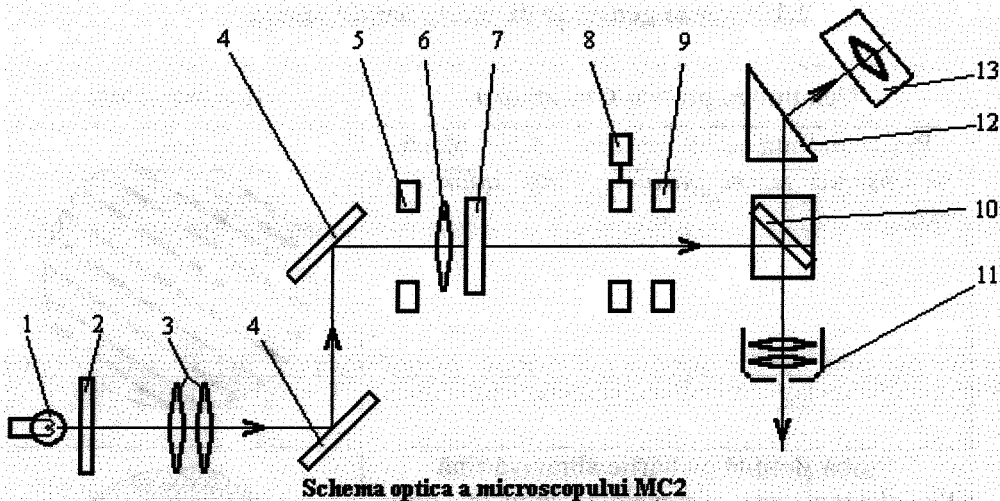
## 2. ANEXE ȘI TESTE LA LUCRărILE DE LABORATOR

### 2.1 Noțiuni generale de microscopie optică

Nr. probă	Denumirea probei/ Comentarii	Microstructura
1	Probă şlefuită cu hârtie abrazivă grosolană Se observă rizuri paralele, late, adânci și rare.	
2	Probă şlefuită cu hârtie abrazivă fină Se observă rizuri paralele, înguste, puțin adânci și dese.	
3	Probă lustruită Se observă lamele grosolane de grafit primar și fine de grafit secundar, deoarece după lustruire apar incluziunile nemetalice.	
4	Probă din fontă cenușie ferito-perlitică atacată chimic  Pe lângă lamele grosolane și fine de grafit primar respectiv secundar, se observă și structura masei (matricei) metalice compusă din grăunți cristalini albi, de ferită alfa ( $F_\alpha$ ) localizați în special în jurul lamelelor de grafit și insule cu structură lamelară fină, de perlită (P).	

## Testul nr.1

În figura de mai jos s-a ilustrat schema optică simplificată a microscopului metalografic MC2.



Schema optică a microscopului MC2

Se cere:

1. Identificați toate elementele reprezentate în schema optică 3p

2. Intensitatea luminii se poate regla cu ajutorul elementului numit:

a – prismă, b – diafragmă, c – ocular, 2p

care pe schema optică are numărul:

x – 9, y – 12, z – 4 2p

3. Elementul care împiedică suprapunerea imaginii filamentului peste cea a probei analizate se numește:

a – colimator, b – obiectiv, c – placă mată 2p

și este reprezentat, pe schema optică, prin numărul:

x – 1, y – 2, z – 10 1p

### Rezolvare

1. 1 – bec, 2 – placă mată, 3 – colimator, 4 – oglindă, 5 – diafragmă de camp, 6 – lentilă iluminatoare, 7 – filtru, 8 – placă rabatabilă pentru studiul în camp luminos-întunecat, 9 – diafragmă de apertura, 10 – oglindă semitransparentă, 11 – ansamblu obiectiv, 12 – prismă cu reflecție totală, 13 – ansamblu ocular.

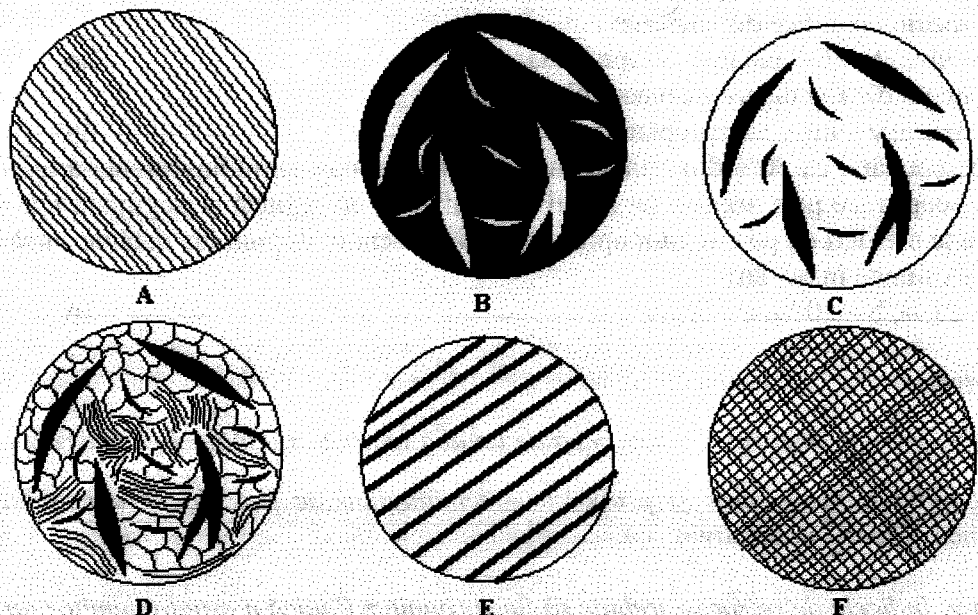
2. b + x

3. c + y

## Testul nr.2

În figura de mai jos sunt reprezentate unele momente din cadrul procesului de pregătire și analiză microscopică a unei probe. Se cere:

1. Care dintre cele șase micrografii reprezintă o prelucrare greșită? 1p



2. Care dintre cele 5 micrografii, rămase după eliminarea de la pct.1, nu a fost observată în câmp luminos? 1p
3. Așezați cele patru micrografii, rămase după eliminările de la pct.1 și 2, în ordinea succesiunii lor firești, identificând fiecare etapă în parte 4p
4. Care dintre cele patru etape identificate la punctul 3 este surprinsă în micrografia în câmp întunecat, identificată la pct. 2? 2p
5. Cum se numește proba analizată? 2p

#### *Rezolvare*

1. *F* deoarece păstrează urmele rizurilor de la prelucrarea anterioară.
2. *B*
3. *E* – șlefuire cu hârtie grosolană, *A* - șlefuire cu hârtie fină, *C* – lustruire, *D* – atac chimic.
4. *E*, proba lustruită a fost observată în câmp întunecat, în micrografia *B*
5. Fontă cenușie ferito-perlitică

#### **Testul nr.3**

1. Scrieți relația de calcul a puterii de separație în plan orizontal (d) și identificați parametrii acesteia. 2p
2. Pentru ca microscopul să mărească cât mai mult, lentilele sale trebuie să aibă o putere de separație:  
a – cât mai mică, b – cât mai mare, c – peste 1 mm 2p
3. Care dintre următoarele metode (câte una din fiecare sir) duce la creșterea puterii de mărire? (Această întrebare are legătură cu formula de la pct.1)

A) mediu cu indice de refracție:

e – subunitar, f – unitar, g – supraunitar;

2p

B) unghi de deschidere a obiectivului cât mai:

x – mare, y – mic, z – apropiat de  $45^{\circ}$

2p

4. Presupunând că 50% din lumina care cade pe oglinda semitransparentă a unui microscop trece prin aceasta iar restul este reflectat de oglindă și neglijând toate celelalte pierderi de pe circuitul optic, stabiliți procentul, din lumina dată de sursă, care va ajunge în ocular:

a – 25 %, b – 50 %, c – 75 %

2p

### Rezolvare

1.  $d = \frac{\lambda}{2n \sin \alpha}$  în care:  $\lambda$  – lungimea de undă a luminii,  $n$  – indicele de refracție a mediului dintre ocular și probă,  $\alpha$  – semiunghiul de deschidere a conului luminos al lentilei obiectiv

2. a

3. A) g. Indicele de refracție trebuie să fie supraunitar fiindcă  $n$  este la numitor iar  $d$  trebuie să fie cât mai mică

B) x. Unghiul de deschidere trebuie să fie cât mai mare din aceleași motive ca mai sus.

4. a

## 2.2 Studiu macroscopic al materialelor metalice

### A. Partea scrisă

Nr. crt.	Denumirea probei	Caracterizare suprafeței libere sau de rupere (casura)
0	1	2
<b>Studiul suprafețelor nepregătite</b>		
1	Fontă albă brută	Casura este de culoare alb-argintie, cu grăunți columnari grosolani, dispuși perpendicular pe suprafețele exterioare (după direcția gradientului termic). Pe suprafețele exterioare de turnare se observă sufluri deschise, cu pereții oxidați, unele prezentând „picături reci”. Aspectul grosolan al casurii arată că materialul este casant.
2	Fontă cenușie brută	Casura este de nuanță cenușie, cu grăunți echi axiali, strălucitori. Mărimea grăunților scade, în mod vizibil, de la interiorul spre exteriorul casurii, unde devin atât de fini încât nu se mai observă cu ochiul liber. În zonele lipsite de grăunți există segregări zonale ale carbonului grafit (neomogenități chimice). Pe suprafața inferioară de turnare se observă sufluri deschise, cu pereții oxidați.
3	Fontă pestriță	Casura îmbină caracteristicile fontei albe (la exterior, unde răcirea a fost mai rapidă) cu cele ale fontei cenușii (la interior, unde răcirea s-a produs mai lent din cauza masivității piesei). În casura principală se poate observa și o suflură închisă (cu pereți neoxidați) și o „picătură rece”. Pe suprafața de turnare superioară există sufluri deschise.
4	Fontă cenușie mecanică (de a-II-a fuziune)	Casura este de nuanță cenușie, cu grăunți echi axiali, strălucitori, foarte fini, la interior. Spre exterior grăunții sunt atât de mici încât nu se disting cu ochiul liber. Suprafețele exterioare de turnare au fost curățate (sablate). Nu se observă defecte macroscopice de turnare.
5	Bară din oțel turnat	Bara a fost crestată (se pot observa pozițiile succeseive ale pânzei ferăstrăului) pentru a ușura ruperea. Casura prezintă grăunți argintii, echi axiali, care devin foarte fini spre exterior. Rugozitatea ridicată a suprafeței exterioare indică turnarea în amestec de formare.

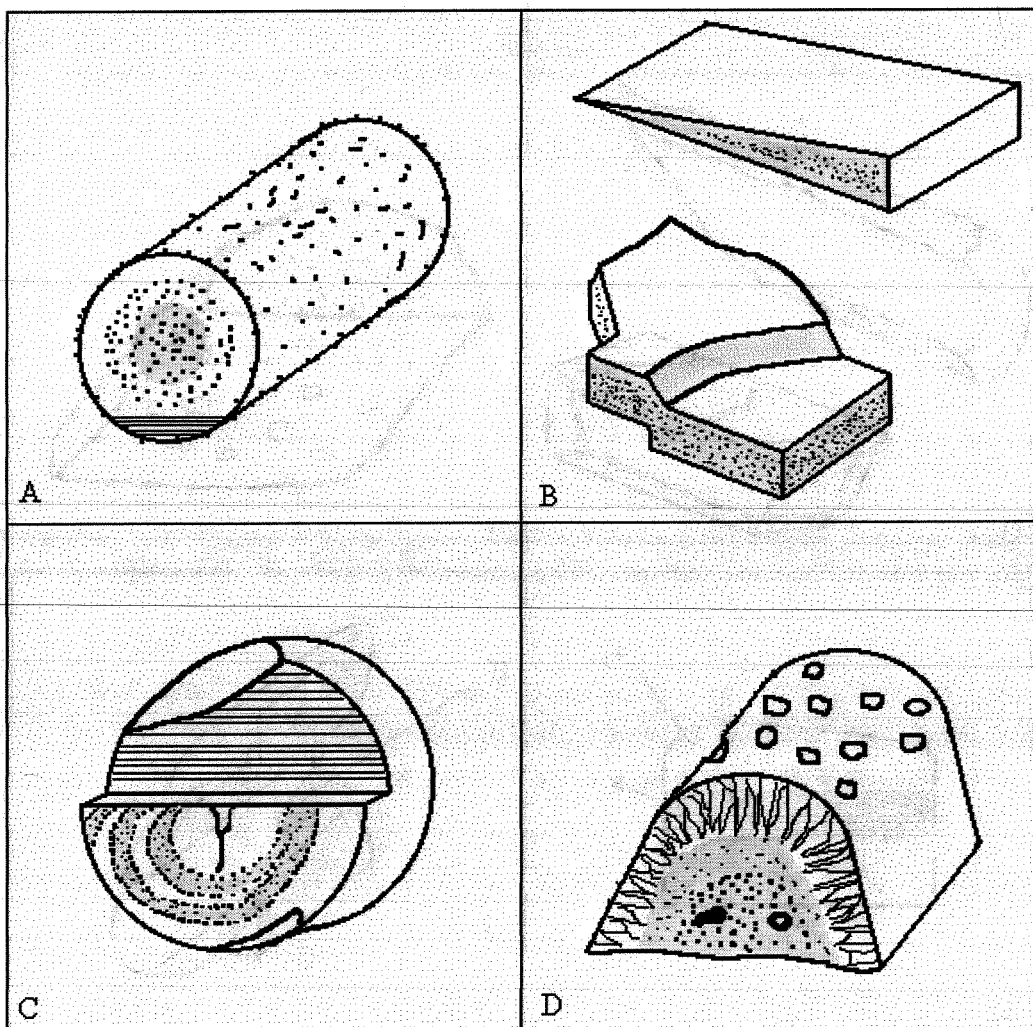
- A. Partea scrisă (continuare) -

0	1	2
6	Bară din oțel laminat	Bara a fost crestată adânc, pentru a permite ruperea prin soc la încovoiere. Tensiunea de rupere a produs aglomerări circulare ale grăunților echiaxiali strălucitorii. Aceștia sunt mai fini decât la bara turnată și din acest motiv materialul este mai puțin fragil. Suprafață exterioară de laminare este netedă.
7	Oțel fisurat la călire	Din cauza secțiunii transversale mari, transformarea structurală produsă la călire a fost neomogenă, producând fisurarea și spargerea piesei. Casurile de călire au aspect „catifelat”.
8	Zinc metalurgic	Casura este argintie, strălucitoare, cu grăunți columnari, dispuși perpendicular pe suprafețele de răcire. Aspectul neregulat al casurii indică fragilitatea zincului. La intersecția grăunților columnari, cu 2 orientări diferite, apare o zonă de minimă rezistență.
9	Cap de sablare cu uzură mecanică	Piesa a fost secționată mecanic. Canalul de trecere a jetului de nisip, utilizat pentru curățarea pieselor turnate (sablare), prezintă o suprafață de uzură (U) care a modificat cilindricitatea suprafeței interioare.
10	Cuzinet exfoliat	Suprafață activă a semicuzinetului, pe care a fost depus aliajul antifrictiune, s-a exfoliat parțial, ceea ce indică un început de gripare.
<b>Studiul suprafețelor pregătite</b>		
11	Silumin	Suprafață lustruită și atacată chimic prezintă formațiuni arborescente (dendrite) tipice turnării. Se poate observa o retasură axială (interioară) și o fisură provenită din retasura superioară (exterioră) de pe suprafață liberă.
12	Piesă cu fisuri de călire plecând din concentratorii de tensiuni	Suprafață lustruită relevă fisuri de călire care pornesc din muchiile (colțurile) ascuțite (concentratori de tensiuni). Trepte ascuțite ale fisurii principale (I) au generat fisurii secundare (II).
13	Piesă încărcată la sudură	După lustruire și atacat chimic se observă cele 3 zone caracteristice sudurii: a – zona materialului solidificat, b – zona influențată termic și c – zona materialului de bază.

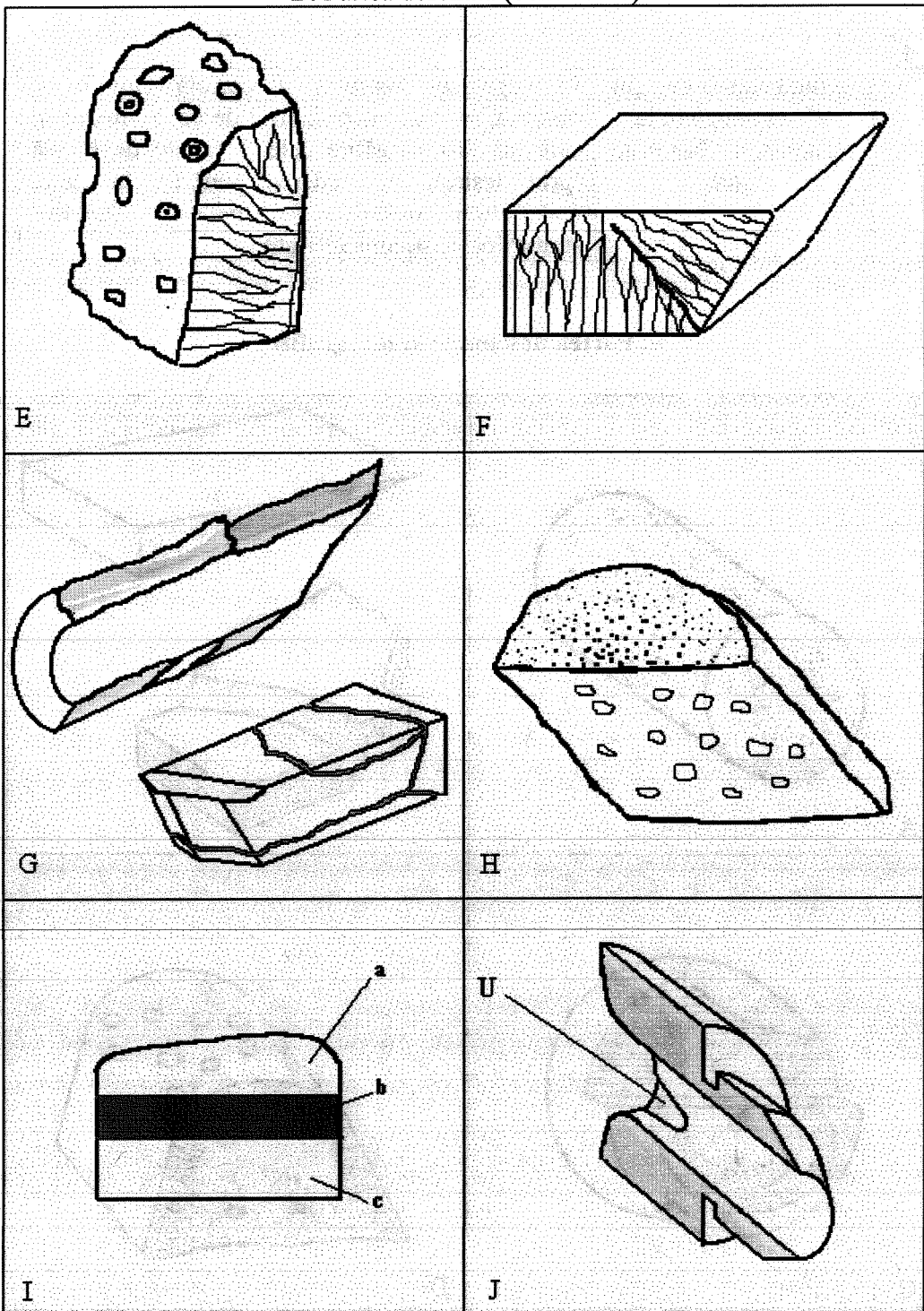
- A. Partea scrisă (continuare) -

0	1	2
14	Sudură cap-la-cap „în V”, cu umplere la rădăcină, a 2 benzi de oțel	Pe suprafață lustruită și atacată chimic se observă, în zona materialului de bază, modul în care au fost pregătite cele 2 capete de bandă (prin teșire), în vederea sudării. În zona materialului solidificat este evidențiat numărul straturilor de sudură aplicate.

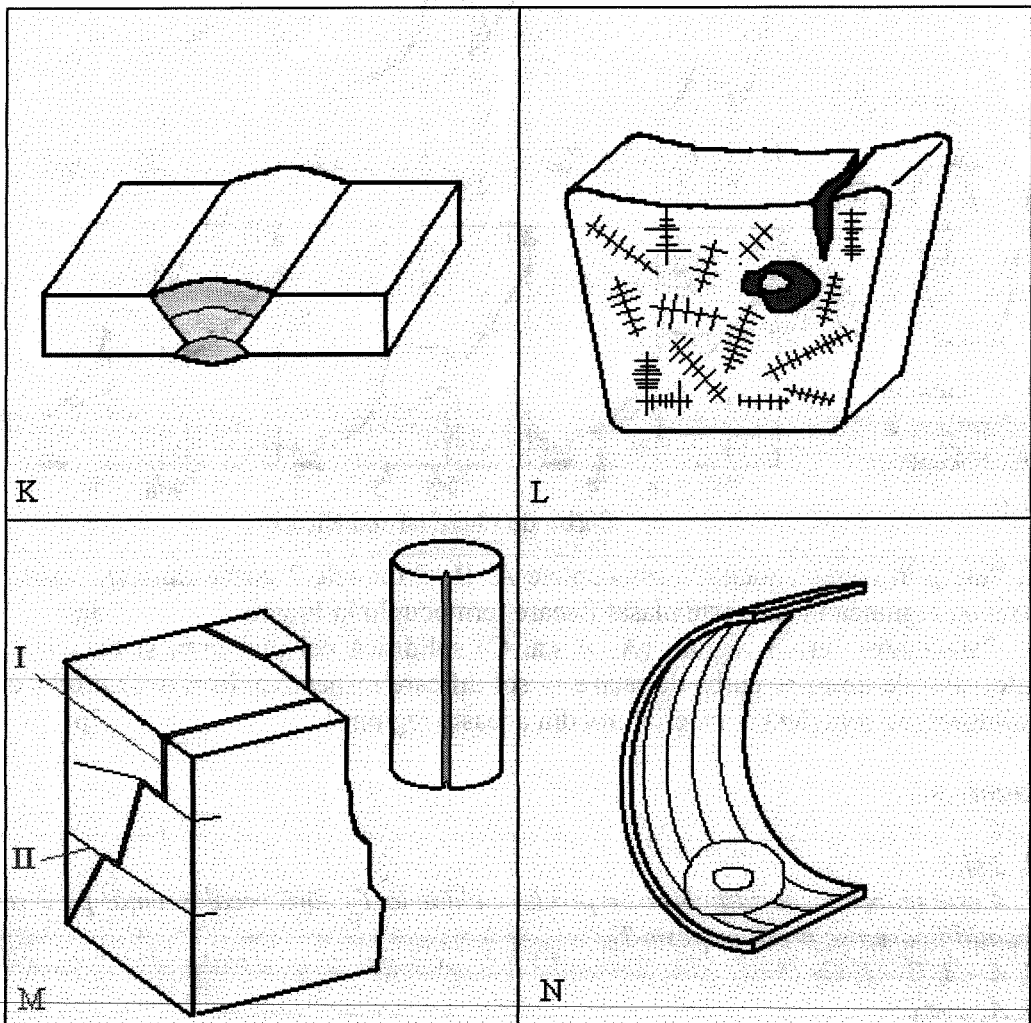
B. Partea desenată (Macrografii)



– B. Partea desenată (continuare) –



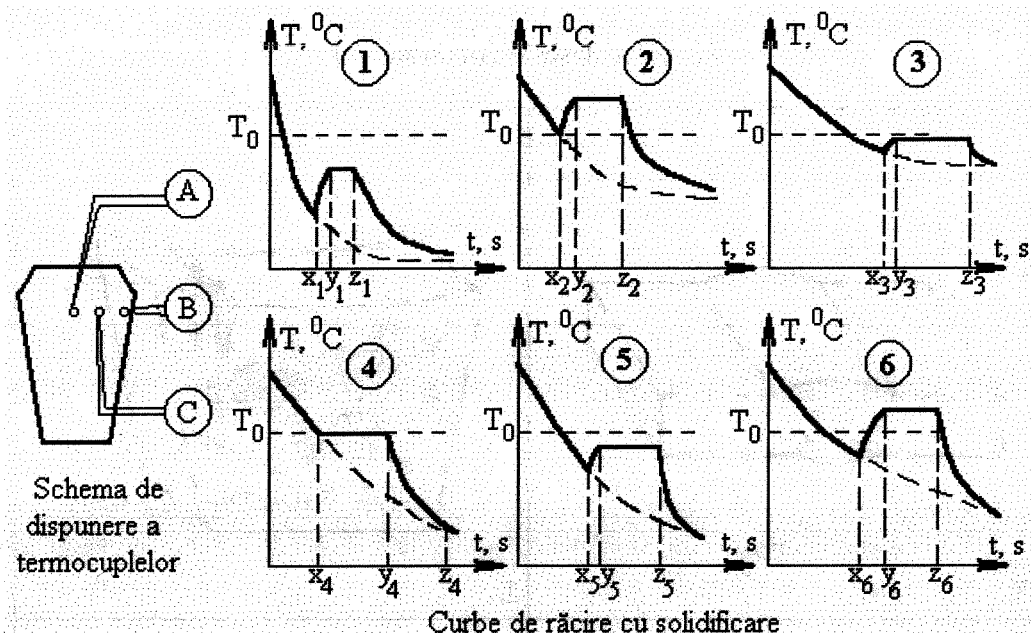
- B. Partea desenată (continuare) -



**Testul nr.1**

La turnarea unui lingou, dintr-un material de puritate tehnică cu temperatura de solidificare la echilibru  $T_0$ , se introduc 3 termocouple, notate A, B, C în schița din figura de mai jos, care măsoară scăderea temperaturii. Analizând cele 6 curbe de răcire cu solidificare, notate 1 – 6 pe diagrama de mai jos, se cere:

- Identificați curba care nu ține cont de condițiile reale de solidificare. 1p
- Dintre cele 5 curbe rămase, identificați-le pe cele care nu se pot obține în cazul de față. 2p
- Din ce motiv ați dat răspunsurile de la pct.a și b? 2p



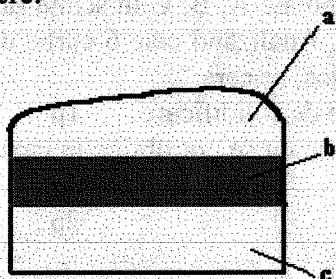
4. Puneți în corespondență termocouplele A, B, C cu cele 3 curbe rămase, ținând cont de regiunea în care este plasat fiecare termocuplu în lingou 3p
5. Care dintre cele 3 regiuni (A, B sau C) solidifică cel mai greu și care este intervalul de timp, pe curba de răcire cu solidificare respectivă, în care se produce solidificarea completă a materialului din această regiune? 2p

*Rezolvare*

1. 4  
2. 2 și 6  
3. 4 este teoretică, solidificarea se produce chiar la  $T_0$ , fără recalecență; pe 2 și 6 solidificarea se produce peste  $T_0$ .  
4. A – 3, B – 1, C – 5  
5. A;  $x_3-z_3$ .

### Testul nr.2

Se prezintă proba I, cu suprafață pregătită prin șlefuire, lustruire și atac chimic. Se cere:



- a. 1. Descrieți suprafața pregătită, identificând cele 3 zone distințe 3p  
2. Procedeul de prelucrare a probei a fost:  
a – turnarea, b – strunjirea, c – sudarea 2p  
3. Identificați zona care prezintă structura inițială a materialului, dinaintea prelucrării 2p

4. Ce zonă a fost obținută direct prin cristalizare primară?

3p

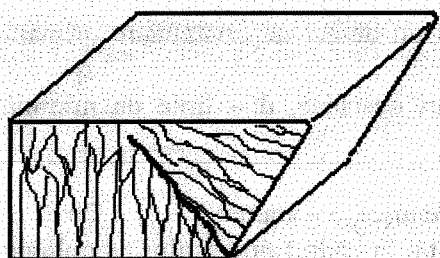
*Rezolvare*

*Este o probă încărcată la sudură.*

1. a – zona materialului solidificat, b – zona influențată termic, c – zona materialului de bază.
2. c.
3. c – zona materialului de bază.
4. a – zona materialului solidificat.

### Testul nr.3

Se dă proba de mai jos. Se cere:



1. Stabiliți materialul probei dintre:

a – oțel laminat, b – plumb, c – fontă cenușie, d – zinc, e – bronz 2p

2. Conform teoriei cristalizării primare, a lui G.Tamman, în casură se observă: 2p

a – grăunți globulari fini, b - grăunți globulari grosolani, c - grăunți columnari

3. Defectul de cristalizare primară vizibil în casură, observat în zona de intersecție a 2 gradienți termici, se numește:

a – retasură, b – segregătie, c – linie de minimă rezistență, d – suflură 2p

4. Pe schița casurii, marcați direcțiile gradienților termici pentru suprafețele inferioară și înclinață din stânga 2p

5. Precizați procedeul de obținere a materialului acestei probe:

a – laminare, b – sudare, c – turnare, d – lustruire și atac chimic 2p

*Rezolvare*

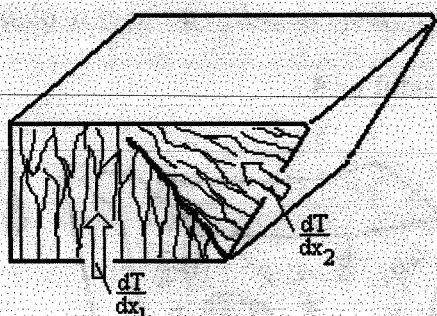
1. d

2. c

3. c

4. gradienții de temperatură sunt perpendiculari pe pereții piesei turnate

5. c



### Testul nr.4

Să se analizeze macroscopic probele B și H. Se cere:

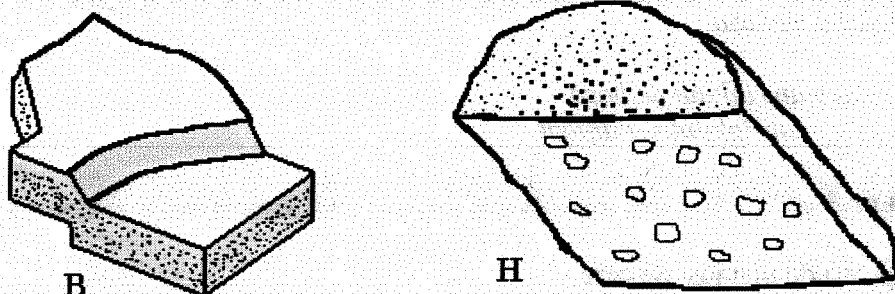
1. Metode de obținere a probelor a fost: 2p

a – turnarea, b – sinterizarea, c – tăierea cu fascicul laser, d – forjarea în matră

2. Stabiliți care este zona, rezultată în urma cristalizării primare, care se observă în ambele piese:

- a - zona grăunților globulari fini, b - zona grăunților globulari grosolani, c - zona grăunților columnari

2p



3. Pe suprafața uneia dintre probe, se observă un defect de cristalizare primară numit:

- a - retasură, b - sufluri închise, c - sufluri deschise, d - linie de minimă rezistență

4. Stabiliți materialul probelor:

- a - zinc, b - plumb, c - fontă albă, d - fontă cenușie, e - alamă

2p

5. Care dintre cele 2 probe se obține din celalaltă, în cadrul procesului tehnologic de fabricație?

2p

### Rezolvare

1. a

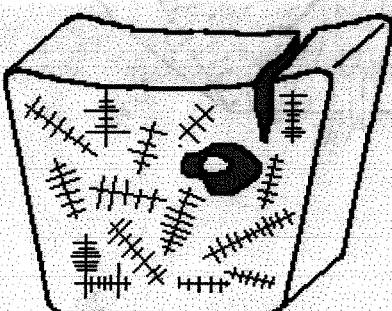
2. b

3. c (sufluri deschise pe suprafața inferioară a probei H)

4. d

5. B (fonta de a-II-a fuziune) se obține din H (fontă brută)

### Testul nr.5



Se dă proba L, cu o suprafață pregătită prin șlefuire, lustruire și atac chimic. Se cere:

1. Stabiliți materialul probei dintre:

- a - fontă cenușie, b - zinc, c - silumin,  
d - fontă albă

2p

2. Stabiliți metoda de obținere a probei dintre:

- a - turnare, b - laminare, c - sudare,  
d - tăiere cu flacără oxiacetilenică

1p

3. Pe suprafață pregătită se observă:

2p

a - linii de minimă rezistență, b - dendrite, c - sufluri închise, d - picături reci

4. Produsul metalurgic din care a fost debitată proba se numește:

1p

a – lingou, b – bară forjată, c – tablă zincată, d – piesă încărcată la sudură

5. Defectul de cristalizare primară observat pe una dintre suprafețele nepregătite se numește:

a – segregătie, b – retasură, c – dislocație, d – picătură rece  
și este datorat:

w – laminării la cald, x – uzurii mecanice, y – contracției de la răcire, z – neomogenității chimice

2p

2p

### Rezolvare

1. c

2. a

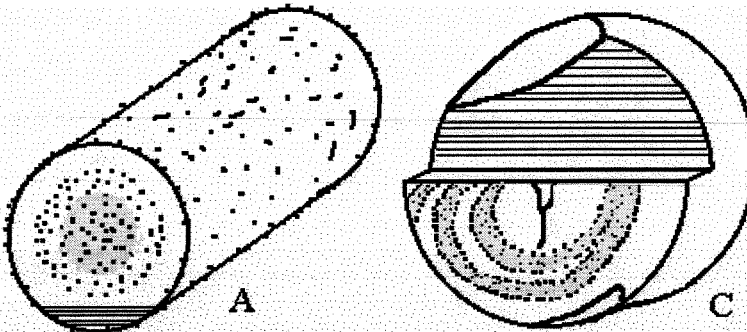
3. b

4. a

5. b + y

### Testul nr.6

Să se analizeze macroscopic probele A și C. Se cere:



1. Precizați materialul probelor dintre:

a – plumb, b – zinc, c – oțel, d – fontă albă

1p

2. Stabiliți metoda de obținere a probei A:

a – laminare, b – turnare, c – sudare, d – creștere epitaxială

1p

3. În casura probei A se observă:

a – grăunți echi axiali, b – grăunți columnari, c – lamele de grafit, d – limite de grăunți

2p

4. În orice casură, crusta dură este localizată:

a – la exterior, b – în centru, c – într-o zonă intermedie, d – în partea inferioară

1p

5. Identificați metoda de obținere a probei C:

a – turnare, b – laminare, c – sudare, d – sinterizare

2p

6. Dintre cele 2 probe analizate, cea mai fragilă este:

a – A, b – C, c – ambele sunt la fel de fragile, d – nici una căci amândouă sunt plastice,

2p

deoarece caracterul general al casurii este determinat de grăunți cristalini:

w – mai fini, x – mai grosolani, y – columnari, z – hexagonali

1p

*Rezolvare*

1. c
2. b
3. a
4. a
5. b
6.  $a + x$

## 2.3 Fractografia materialelor metalice

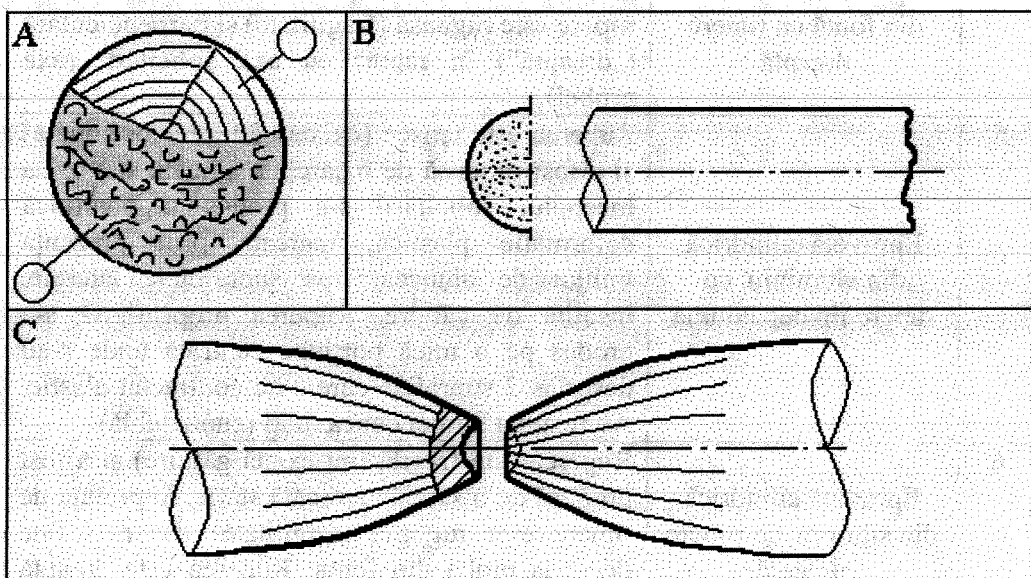
### A. Partea scrisă

Nr. crt.	Denumirea probei	Caracterizare suprafeței libere sau de rupere (casura)
0	1	2
1	Epruvetă cilindrică din oțel-carbon obișnuit, cu rupere tip con-cupă	Ruperea este tenace (există gătuire) și a fost produsă de o sarcină aplicată static. La începutul solicitării s-a produs alunecarea după suprafețele conice ale casurii. Ruperea propriu-zisă s-a produs în mod fragil, la sfârșitul solicitării, după suprafață rugoasă frontală dreaptă. Liniile de alunecare sunt vizibile pe suprafețele conice ale cupei (la interior) și conului (la exterior).
2	Epruvetă cilindrică din oțel aliat, cu rupere stelată	Ruperea este tenace (există gătuire) și a fost produsă de o sarcină aplicată static. Suprafața de rupere prezintă linii de alunecare dispuse radial (în stea).
3	Epruvetă cilindrică din bronz, cu rupere oblică	Ruperea este fragilă (nu există gătuire) și a fost produsă de o sarcină aplicată static. Suprafața de rupere are tendința de a fi înclinată la $45^{\circ}$ față de axa probei (axa tensiunii de întindere) și este rugoasă, evidențiind caracterul fragil al ruperii.
4	Epruvetă cilindrică din fontă cu rupere dreaptă	Ruperea este fragilă (nu există gătuire) și a fost produsă de o sarcină aplicată static. Suprafața de rupere este rugoasă (fragilitate) și perpendiculară („dreaptă”) în raport cu axa solicitării (axa probei).
5	Epruvetă cilindrică din aluminiu, cu rupere tip cupă dublă	Ruperea este tenace (există gătuire substanțială) și a fost produsă de o sarcină aplicată static. La începutul solicitării s-a produs o puternică deformație plastică, marcată prin prezența liniilor de alunecare pe suprafețele laterale, însorită de gătuire. Ruperea propriu-zisă s-a produs pe o mică porțiune centrală unde s-au desprins 2 suprafețe care s-au contractat elastic. Au rezultat 2 mici concavități (cupă dublă).
6	Epruvetă cilindrică din silumin, cu rupere dreaptă	Ruperea este fragilă (nu există gătuire) și a fost produsă de o sarcină aplicată static. Suprafața de rupere este rugoasă (fragilitate) dar mai fină decât la proba din fontă. Ruperea este dreaptă dar suprafața este neregulată.

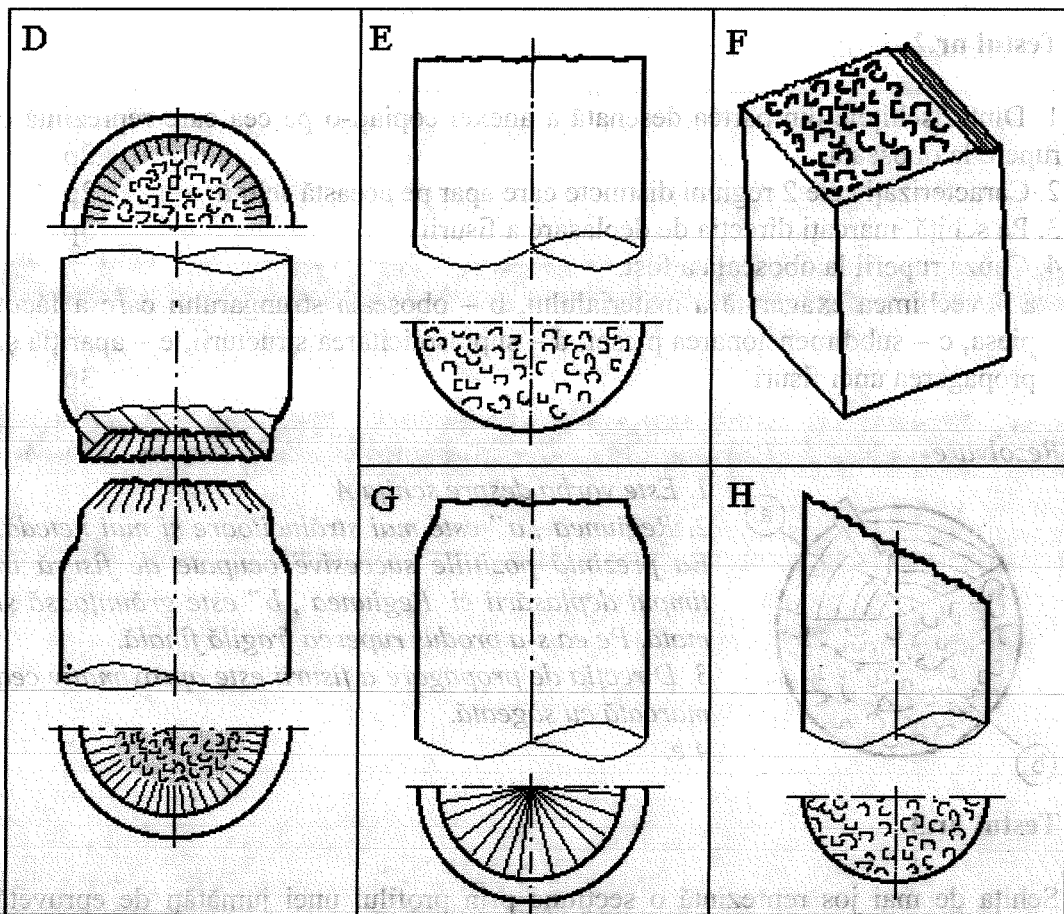
- Partea scrisă (continuare) -

7	Epruvetă paralelipipedică din oțel, crestată, cu rupere la încovoiere prin soc	Crestătura a fost practicată pentru a localiza suprafața de rupere. Ruperea este fragilă și a fost produsă de o sarcină aplicată dinamic. Suprafața de rupere este foarte rugoasă și denivelată, evidențiind caracterul fragil al ruperii.
8	Epruvetă cilindrică din oțel cu rupere la oboseală	Epruveta a fost supusă la încovoiere ciclică. Ruperea propriu-zisă s-a produs în mod fragil, datorită apariției și propagării unei fisuri care a redus continuu suprafața secțiunii portante. Pe suprafața de rupere se observă 2 zone distincte: a) zona netedă și strălucitoare, de deplasare a fisurii, pe care se disting pozițiile succesive ocupate de aceasta în timpul deplasării ei; b) zona grăunțoasă și mată pe care s-a produs ruperea fragilă finală, ca urmare a reducerii secțiunii portante sub valoarea critică.

**B. Partea desenată**



- B. Partea desenată, (continuare) -



**Testul nr.1**

Se dă epruvetele C, E și H, rupte prin tracțiune statică. Se cere să precizați:

1. Care epruvete s-au rupt fragil 2p
2. Care dintre epruvetele de la pct. 1 prezintă rupere oblică? 2p
3. Unghiul de înclinare pe care ar trebui să-l aibă suprafața de rupere a epruvetei de la pct. 2? 2p
4. Epruveta care s-a rupt tenace (ductil) 2p
5. Ruperea tipică a epruvetei de la pct. 4 se numește:  
a – con-cupă, b – cupă dublă, c – con-con, d – cvasifragilă 2p

*Rezolvare*

1. E și H

2. H

3.  $45^\circ$

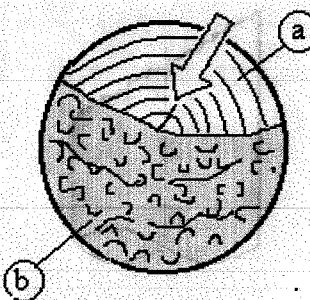
4. C

5. b

## Testul nr.2

1. Dintre schițele din partea desenată a anexei copiați-o pe cea care reprezintă o rupere la oboseală. 2p
2. Caracterizați cele 2 regiuni distincte care apar pe această schiță 2p
3. Pe schiță, marcați direcția de deplasare a fisurii 3p
4. Cauza ruperii la oboseală a fost:  
a – vechimea exagerată a materialului, b – oboseala strungarului care a făcut piesa, c – subdimensionarea piesei, d – suprasolicitarea structurii, e – apariția și propagarea unei fisuri 3p

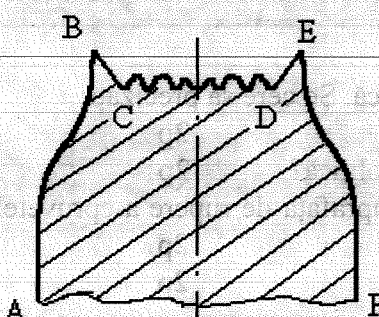
### Rezolvare



1. Este vorba despre schița A
2. Regiunea „a” este mai strălucitoare și mai netedă. Ea prezintă pozițiile succesive ocupate de fisură în timpul deplasării ei. Regiunea „b” este grăunțoasă și mată. Pe ea s-a produs ruperea fragilă finală.
3. Direcția de propagare a fisurii este aproximativ cea marcată cu săgeată.
4. e.

## Testul nr.3

Schița de mai jos reprezintă o secțiune prin profilul unei jumătăți de epruvetă ruptă prin tracțiune statică. Se cere să precizați:



6. Acest tip de rupere poate fi:

a – con-cupă, b – oblică, c – cvasifragilă, d – la oboseală

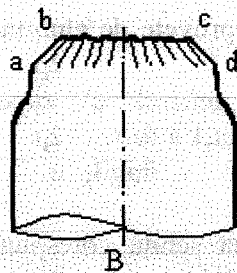
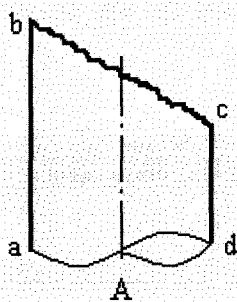
1p

1. Materialul epruvetei poate fi: 2p  
a – fontă, b – oțel-carbon obișnuit, c – plumb, d – aluminiu
2. Caracterul general al ruperii este: 1p  
a – tenace, b – fragil, c – pseudoelastic
3. Pe profilul secțiunii rupte apar 2 porțiuni, una conică și una rugoasă. Identificați-le 2p
4. Ce unghi de înclinare ar trebui, teoretic, să aibă porțiunea conică? 2p
5. Pe care dintre cele 2 porțiuni s-a produs ruperea propriu-zisă? 2p

## Rezolvare

1. b
2. a
3. BC + DE - conică: CD - rugoasă
4.  $45^\circ$
5. CD
6. a.

## Testul nr. 4



În cele 2 schițe alăturate s-au reprezentat profilele zonelor de rupere caracteristice unor epruvete solicitate la tracțiune statică. Se cere:

1. Care dintre cele 2 schițe reprezintă o rupere cu caracter general fragil? 2p
2. Schița precizată la pct. 1 corespunde unei epruvete confectionate din:
  - a – oțel-carbon obișnuit, b – bronz, c – aluminiu, d – plumb 2p
3. Caracterul general al ruperii reprezentată prin cea de-a-II-a schiță este: 1p
  - a – tenace, b – fragilă, la oboseală
4. Pe ce porțiune a profilului de rupere al schiței de la pct.3 s-a produs ruperea propriu-zisă? 2p
  - a – abcd, b – ab+cd, c – bc
5. Schița de la pct.3 este caracteristică pentru materialul:
  - a – fontă, b – oțel-carbon obișnuit, c – aluminiu, d – plumb 2p
6. Tipul ruperii reprezentată prin cea de-a-II-a schiță este: 1p
  - a – cupă dublă, b – oblică, c – con-cupă, d – fragil.

## Rezolvare

1. A
2. b
3. a
4. c
5. b
6. c.

## Testul nr. 5

Se dau probele F și G. Se cere:

1. Precizați proba care prezintă rupere fragilă 2p

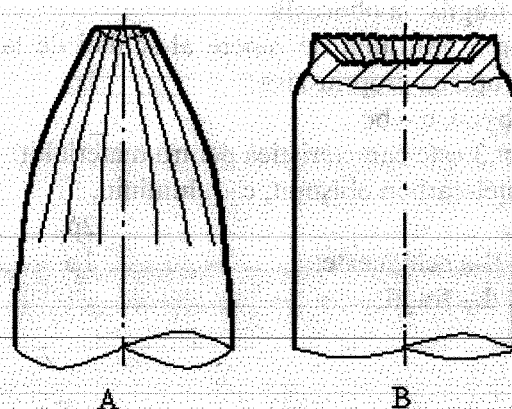
2. Ruperea de la pct.1 s-a produs prin: 2p  
 a – tracțiune, b – soc, c – oboseală
3. Caracterul ruperii de la pct.1 este evidențiat prin aspectul casurii (suprafața de rupere) care este: 2p  
 a – neted, b – cu 2 zone distincte, c – rugos
4. Caracterul general al ruperii la cea de-a-II-a probă a fost: 2p  
 a – tenace, b – fragil, c – la oboseală
5. Tipul ruperii de la pct.4 este: 2p  
 a – con-cupă, b – cupă dublă, c – stelată

### Rezolvare

1. F
2. b
3. c
4. a
5. c.

### Testul nr.6

1. Dintre schițele alăturate precizați care corespunde unei epruvete de aluminiu, ruptă prin solicitare statică 2p



2. Caracterul general al ruperii epruvetei de la pct.1 a fost: 2p  
 a – tenace, b – fragil, c – la oboseală
3. Ce de-a doua schiță corespunde ruperii materialului: 2p  
 a – aluminiu, b – oțel-carbon obișnuit, c – bronz, d – plumb
4. Ruperea epruvetei de la pct.3 s-a produs prin: 2p  
 a – soc, b – oboseală, c – tracțiune
5. Tipul ruperii epruvetei de la pct.3 poate fi: 2p  
 a – cupă dublă, b – oblică, c – concupă

### Rezolvare

1. A
2. a
3. b
4. c
5. c

## Testul nr.7

Se dă proba D. Se cere să precizați:

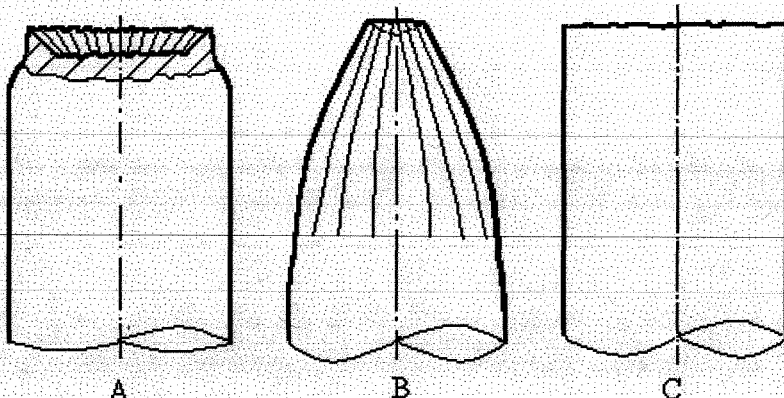
1. Caracterul general al ruperii a fost:  
a – fragil, b – tenace, c – la oboseală 2p
2. Ruperea s-a produs prin:  
a – tractiune, b – compresiune, c – şoc 2p
3. Materialul probei este:  
a – bronz, b – aluminiu, c – oțel-carbon obișnuit 2p
4. Profilul interior al cupei se caracterizează printr-un unghi de înclinare de:  
a –  $0^\circ$ , b –  $45^\circ$ ; c –  $30^\circ$  2p
5. Tipul ruperii poate fi:  
a – con-cupă, b – cupă dublă, c – dreaptă 2p

### Rezolvare

1. b
2. a
3. c
4. b
5. a

## Testul nr.8

Se dau schițele de mai jos. Se cere:



1. Precizați schița corespunzătoare profilului de rupere tipic fontei 2p
2. Tipul ruperii menționate la pct.1 a fost:  
a – oblică, b – stelată, c - dreaptă 2p
3. Caracterul general al ruperii a fost:  
a – la oboseală, b – fragil, c - tenace 2p
4. Dintre cele 2 schițe rămase identificați-o pe cea care corespunde ruperii oțelului-carbon obișnuit 1p
5. Ruperea oțelului-carbon obișnuit poate fi de tip: 2p

a – oblică, b – con-cupă, c – cupă dublă

6. Cea de-a treia schiță, rămasă după identificările de la pct.1 și 4, corespunde materialului:

a – aluminiu, b – bronz, c – plumb

### Rezolvare

1. C

2. c

3. b

4. A

5. b

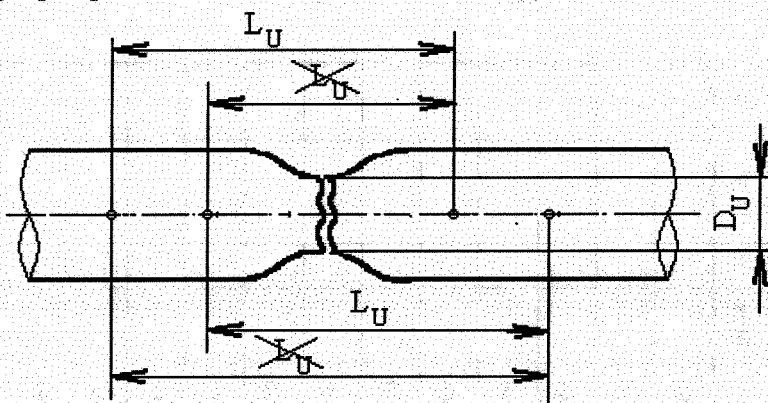
6. a

## 2.4 Analiza proprietăților mecanice de rezistență, ale materialelor, prin încercări mecanice

### I. Încercarea la tracțiune pe epruvete cilindrice

Nr. crt.	Material (marca)	Mar- caj	Date inițiale			Valori după rupere			Caracter. rezistență		Caracter. plasticitate	
			L <sub>0</sub>	D <sub>0</sub>	S <sub>0</sub> <sup>(2)</sup>	L <sub>U</sub> <sup>(1)</sup>	D <sub>U</sub> <sup>(1)</sup>	S <sub>U</sub> <sup>(2)</sup>	F <sub>C</sub>	F <sub>max</sub>	R <sub>C</sub>	R <sub>max</sub>
			mm	mm	mm <sup>2</sup>	mm	mm	mm <sup>2</sup>	N	MPa	MPa	%
1	Oțel-carbon (OL44)	5.1	50	10					24000	35500		
2	Oțel-carbon (OL44)	5.2	50	10					24000	35500		
3	Oțel-carbon (OL44)	5.3	50	10					25000	37500		
4	Oțel-carbon (OL44)	5.4	50	10					23500	34750		
5	Oțel-carbon (OL70)	5.5	50	10					-	54500		
6	Oțel-carbon (OL70)	5.6	50	10					28250	54000		
7	Oțel-carbon (OL70)	6.6	50	10					27500-	53500		
8	Oțel-carbon (OL70)	6.7	50	10					-	54000		
9	Oțel aliat (40Cr10)	5.9	50	10					62900	69000		
10	Aluminiu	1	50	10					5250	7500		
11	Aluminiu	3.2	50	10					5000	6600		
12	Cupru	3	50	10					-	23650		
13	Cupru	4	50	10					-	23750		
14	Bronz	2.3	50	10					2200	4400		
15	Bronz	6	50	10					19650	39250		

(1)  $L_U$  și  $D_U$  se măsoară cu o precizie de 0,1 mm. În cazul în care există mai mult de 2 marcaje, pe epruvetă, măsurătoarea se efectuează conform schiței de mai jos:



(2)  $S_0$  și  $S_U$  sunt ariile secțiunilor circulare transversale ale suprafetelor cilindrice de diametru  $D_0$  și respectiv  $D_U$ .

## II. Încercarea de duritate, metoda Brinell

Nr. crt.	Material (marca)	Marcaj	Condiții încercare			Valori măsurate <sup>(1)</sup>			Valori calculate <sup>(2)</sup>	
			D mm	F daN	t s	d <sub>1</sub> mm	d <sub>2</sub> mm	d <sub>3</sub> mm	d <sub>med</sub> mm	HB daN/mm <sup>2</sup>
0	1	2	3	4	5	6	7	8	9	10
1	Otel-carbon de calitate (OLC10)	1	10	3000	15					
2	Otel-carbon de calitate (OLC10)	2	5	1500	30					
3	Otel-carbon obișnuit (OL37)	4	10	3000	15					
4	Otel-carbon obișnuit (OL42)	7	10	3000	15					
5	Otel-carbon obișnuit (OL42)	8	5	1500	30					
6	Otel-carbon obișnuit (OL50)	10	10	3000	15					
7	Otel-carbon obișnuit (OL50)	11	5	1500	30					
8	Otel-carbon de scule (OSC12)	13	10	3000	15					
9	Otel-carbon de scule (OSC12)	14	5	1500	30					
10	Fontă cenușie (Fc150)	16	10	3000	15					
11	Fontă cenușie (Fc150)	17	5	1500	30					

## - II. Încercarea de duritate, metoda Brinell (continuare) -

0	1	2	3	4	5	6	7	8	9	10
12	Bronz obișnuit (CuSn14T)	19	10	1000	30					
13	Bronz obișnuit (CuSn14T)	20	5	250	30					
14	Aluminiu	22	10	1000	30					
15	Aluminiu	23	5	250	30					

<sup>(1)</sup>  $d_{1,2,3}$  se măsoară cu precizie de 0,01 mm

<sup>(2)</sup>  $d_{med}$  și  $d_{med}^2$  se calculează cu o precizie de 2 și respectiv 4 zecimale iar la calculul durității (HB) nu se fac aproximări (se păstrează cel puțin 2 zecimale).

### Testul nr.1

Determinați caracteristicile de tenacitate ( $A_5$  și  $Z$ ) ale epruvetei marcate 5.6, știind că dimensiunile ei inițiale au fost:  $L_0 = 50$  mm și  $D_0 = 10$  mm.

Se vor parcurge următoarele etape:

1. Se măsoară lungimea la rupere ( $L_U$ ) și a diametrului în zona gâtuită ( $D_U$ ) 2p
2. Formula de calcul a gâtuirii,  $A_5$  2p
3. Valoarea  $A_5$  2p
4. Formula de calcul a alungirii,  $Z$  2p
5. Valoarea  $Z$  2p

### Rezolvare

1. Dimensiunile medii sunt:  $L_U = 55,4$  mm,  $D_U = 5,3$  mm

$$2. A_5 = \frac{L_U - L_0}{L_0} \cdot 100$$

$$3. A_5 = \frac{55,4 - 50}{50} \cdot 100 = 10,8\%$$

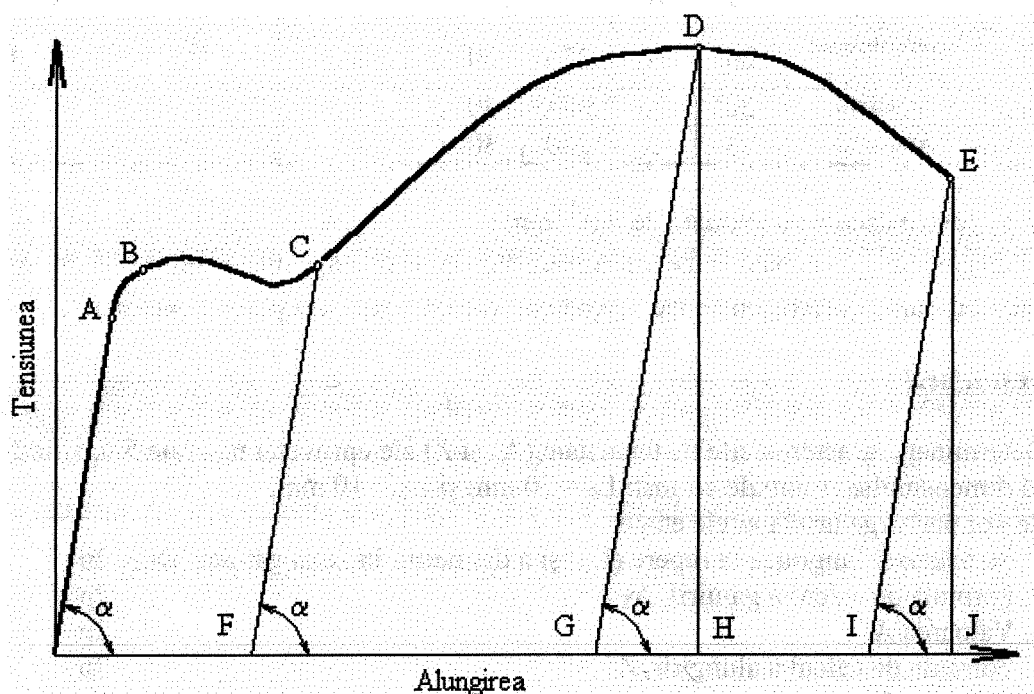
$$4. Z = \frac{S_U - S_0}{S_0} \cdot 100 = \frac{\frac{\pi}{4} D_0^2 - \frac{\pi}{4} D_U^2}{\frac{\pi}{4} D_0^2} \cdot 100$$

$$5. Z = (10^2 - 5,3^2) \cdot 100 = 72,91\%$$

### Testul nr.2

Curba de tracțiune statică din figura de mai jos a fost trasată pentru o epruvetă din cupru. Se dau 3 epruvete din același material, reprezentând: I-momentul inițial, II-momentul apariției gâtuirii și III-momentul final, de după rupere.

Știind că pe epruveta inițială s-au marcat 2 repere la  $L_0 = 50$  mm și că diametrul inițial era  $D_0 = 10$  mm, se cere:



- Identificați punctele de pe curbă care marchează stadiile corespunzătoare epruvetelor II și III de mai sus, înaintea descărcării 2p
- Identificați traiectoriile parcuse de cele 2 epruvete, din punctele identificate mai sus și până la relaxarea totală (pe abscisă) dacă solicitarea încetează 4p
- Măsuiați și calculați alungirile relative remanente ale celor 2 epruvete 2p
- Calculați gătuirea relativă corespunzătoare punctului de D din figura de mai sus, după descărcare 2p

#### Rezolvare

- II -D, III - E

- II: D-G; III: E-I

- Se măsoară  $L_U$  pentru epruvetele II și III. Valorile orientative sunt  $L_{UII} = 56,8$  mm și  $L_{UIII} = 58,8$  mm.

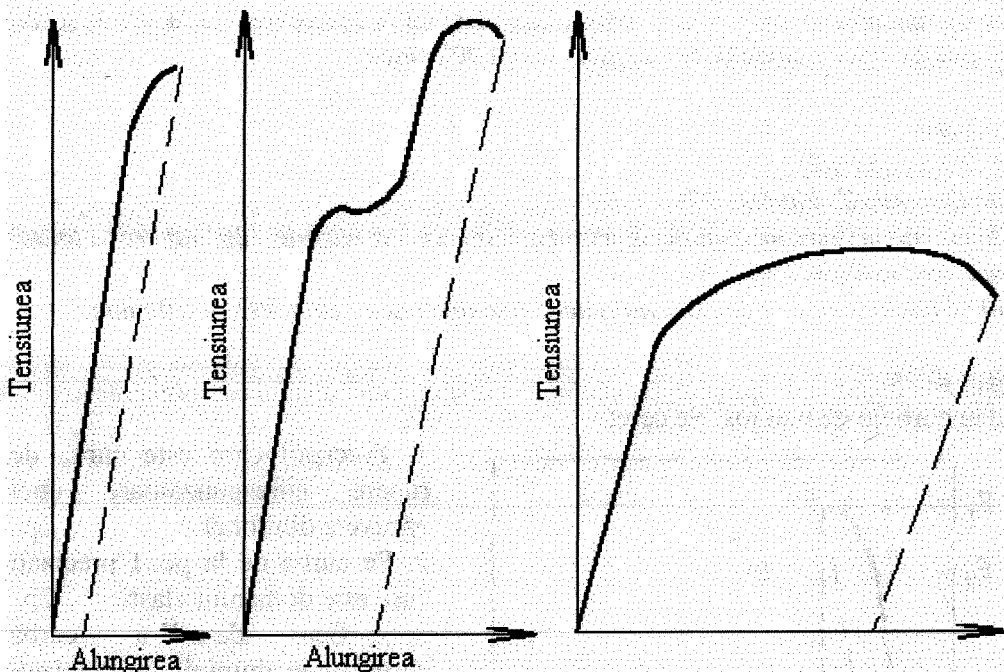
Se calculează alungirile la rupere:

$$A_{5II} = \frac{56,8 - 50}{50} \cdot 100 = 13,6\% \text{ și } A_{5III} = \frac{58,8 - 50}{50} \cdot 100 = 17,6\%$$

$$4. D_{UII} = 7,7 \text{ mm} \Rightarrow Z_{II} = \frac{D_0^2 - D_U^2}{D_0^2} \cdot 100 = \frac{10^2 - 7,7^2}{10^2} \cdot 100 = 40,71\%$$

### Testul nr.3

În schițele de mai jos s-au trăsăt 3 curbe de rupere prin tracțiune, noteate A, B și C. Se cere:



1. Puneti în corespondență cele 3 curbe, A, B și C, cu următoarele materiale:  
a – oțel-carbon, b – fontă, c - aluminiu 6p
2. Care dintre cele 3 materiale, a, b sau c, prezintă pe curba de tracțiune corespunzătoare fenomenul de curgere aparentă? 2p
3. Care este materialul cel mai fragil? 2p

#### Rezolvare

1. A – b, B – a, C - c
2. a
3. b

### Testul nr.4

Participați la un târg internațional, unde s-a anunțat descoperirea unor plăcuțe așchietoare mineralo-ceramice de o duritate excepțională. În sectorul „Scule Așchietoare” aveți surpriza să găsiți 3 firme care revendică invenția respectivă. Cele 3 firme garantează, pentru plăcuțele de fabricație proprie, următoarele durătăți: A – 105 HRC, B – 65 HRC, C – 90 HRC. Se cere să stabiliți:

1. Care dintre cele 3 firme dă un rezultat fals și din ce motiv? 2p

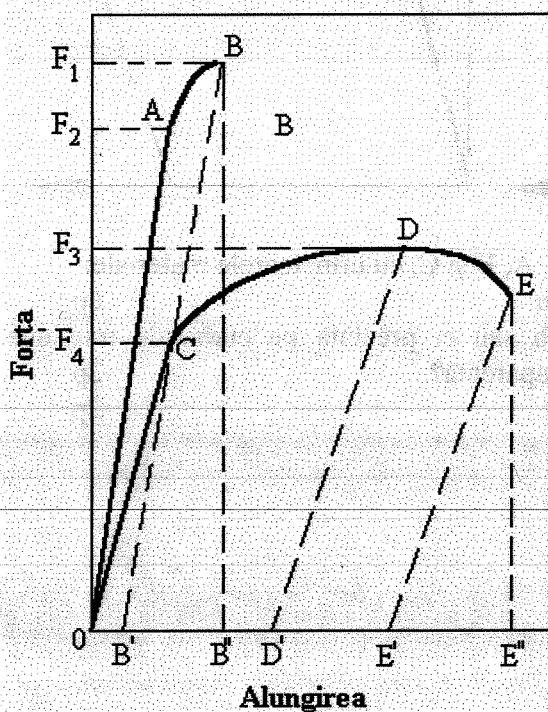
2. De la care dintre cele 3 firme trebuie să achiziționați plăcuțe, în vederea așchierii unor piese din oțel călit energetic (max. 67HRC) și din ce motiv? 4p
3. Cu ce fel de penetrator și cu ce forță de apăsare totală puteți verifica valoarea durității plăcuțelor achiziționate? 2p
4. Pe ce distanță se va produce deformarea plastică la încercarea de la pct.3, știind că o unitate convențională de lungime este 0,002 mm? 2p

### Rezolvare

1. A deoarece  $HRC < 100$
2. De la firma C, fiindcă  $HRC > 67$
3. Penetratorul este un con de diamant cu unghiul la vârf de  $120^{\circ}$  iar forța totală de apăsare este de 150 daN
4.  $90 = 100 - e \Rightarrow e = 10$ . Distanța de deformare va fi:  $10 \cdot 0,002 = 0,02 \text{ mm}$

### Testul nr. 5

Se dau curbele de mai jos. Se cere:



1. Precizați care este curba de rupere corespunzătoare unei epruvete din fontă 2p
2. Pe curba de la pct.1 precizați care este domeniul elastic 2p
3. Cea de-a-II-a curbă corespunde aluminiului. Precizați punctele în care s-au produs gătuirea și ruperea 2p
4. Ce segment de pe abscisa corespunde alungirii epruvetei din aluminiu, dacă aceasta a fost descărcată imediat după ce s-a produs gătuirea? 3p
5. Știind că secțiunea inițială a epruvetei de aluminiu este  $S_0$ , exprimați rezistența la rupere a epruvetei ( $R_m$ ) în funcție de datele din figură. 1p

### Rezolvare

1.  $OAB$
2.  $OA$
3.  $D$  – gătuirea;  $E$  – ruperea
4.  $OD'$
5.  $R_m = \frac{F_3}{S_0}$ .

## 2.5 Microstructura de echilibru a aliajelor

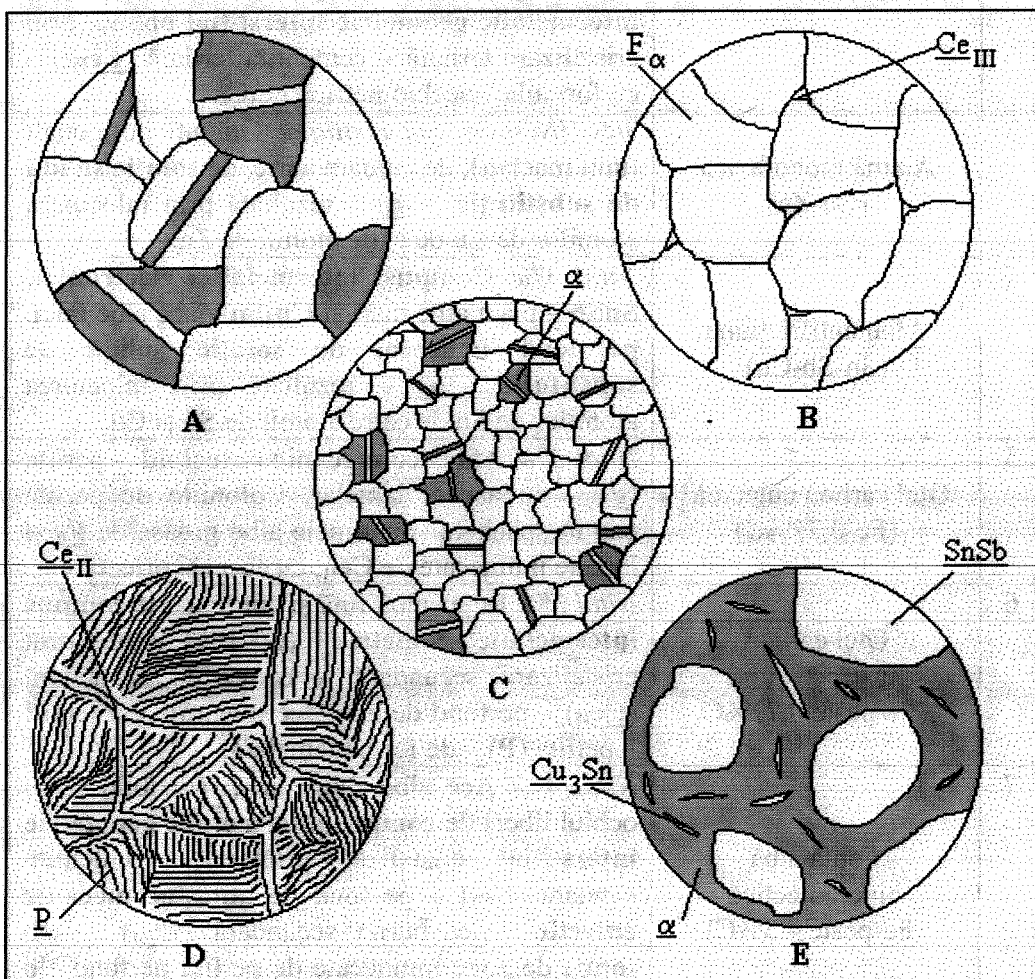
### A. Partea scrisă

Nr. crt.	Denumirea probei	Atac chimic/ Descrierea micrografiei (constituenți metalografici)
0	1	2
1	Cupru electrolytic	<i>30%HNO<sub>3</sub> în apă distilată/ Grăunți poligonali de element chimic pur – cupru – de culoare roșiatică, cu macle de recoacere.</i>
2	Fier tehnic pur ARMCO (American Rolling Mill Company)	<i>Nital 3% (3% HNO<sub>3</sub> în alcool/ Grăunți poligonali de culoare deschisă de soluție solidă intersticială rezultată prin dizolvarea carbonului în golarile rețelei cristaline a fierului alfa – ferita alfa (<u>F<sub>a</sub></u>). Pe limite, în zonele de intersecție a cel puțin 3 grăunți, există precipitate de compus intermetalic geometric intersticial obținut prin cristalizare ternară – cementita tertiară (<u>C<sub>em</sub></u>) – cu formula stoechiometrică Fe<sub>3</sub>C.</i>
3	Alamă monofazică (Cu-Zn)	<i>30%HNO<sub>3</sub> în apă distilată/ Grăunți poligonali (unii maclați), de culoare aurie, de soluție solidă de substituție – (<u>α</u>) – rezultată prin înlocuirea atomilor de Cu de către atomii de Zn.</i>
4	Aliaj antifricțiune (Sn-Sb-Cu)	<i>Nital 3% Compuși intermetalici electronic: SnSb – plăci albe mari și Cu<sub>3</sub>Sn – ace albe mici, pe fond întunecat de soluție solidă de substituție – <u>α</u> – rezultată prin înlocuirea atomilor de Sn de către atomii de Sb și Cu.</i>
5	Oțel carbon eutectoid (Fe-0,77%C)	<i>Nital 3% Amestec mecanic eutectoid – perlita (<u>P</u>) – cu aspect lamellar. Coloniile de perlă conțin „pachete” de lamele albe groase de <u>F<sub>a</sub></u> și lamele întunecate de <u>C<sub>em</sub></u>, cu aceeași orientare.</i>
6	Oțel carbon hipereutectoid (Fe-peste 0,77%C)	<i>Nital 3% Rețea albă fină și continuă de compus intermetalic geometric intersticial obținut prin cristalizare secundară – cementita secundară (<u>C<sub>em</sub></u>) – pe fond de amestec mecanic eutectoid – perlita (<u>P</u>) – de formă lamellară.</i>
7	Fontă albă hipereutectică (Fe-peste 4,3%C)	<i>Nital 4% Ace albe foarte mari (vizibile și cu ochiul liber) de compus intermetalic geometric intersticial cristalizat primar – cementita primară (<u>C<sub>em</sub></u>) – pe fond de amestec mecanic eutectic – ledeburită secundară (<u>L<sub>em</sub></u>) – sub formă de zone întunecate de perlă pe fond alb de cementită secundară.</i>

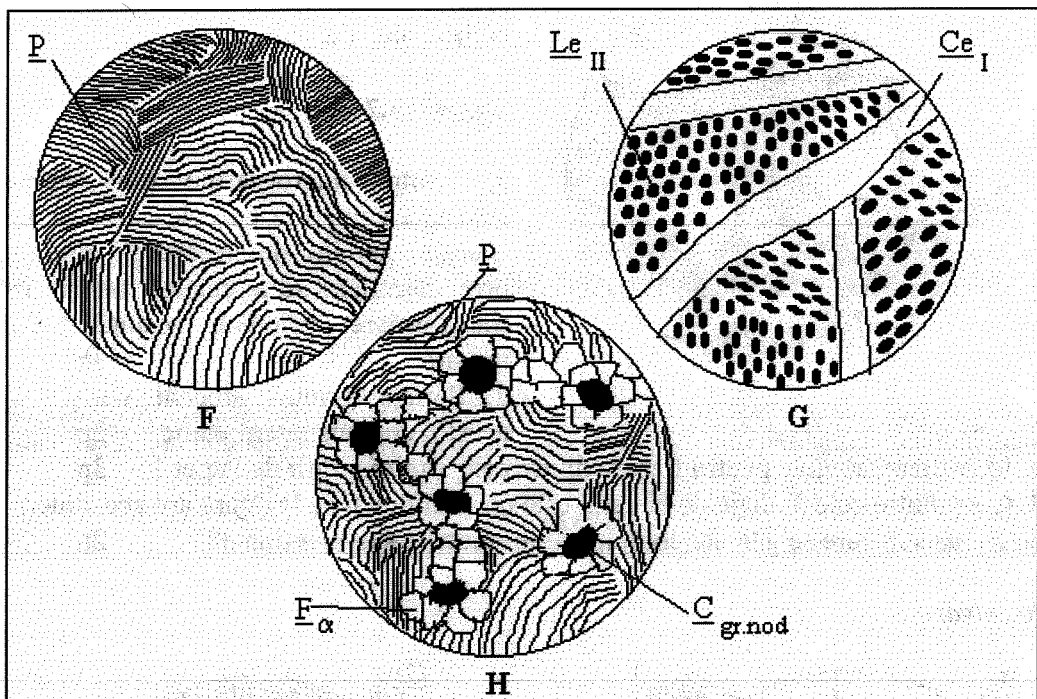
- Partea scrisă (continuare) -

0	1	2
8	Fontă ferito-perlitică cu grafit nodular	Nital 4% / Formațiuni globulare întunecate de element chimic pur ( $C_{gr.nod.}$ ) – carbon în starea alotropică grafit – înconjurate de grăunți poligonali de culoare deschisă, soluție solidă interstitială – ferita alfa ( $Fe_\alpha$ ) pe un fond întunecat de amestec mecanic eutectoid – perlita ( $P$ ) – de formă lamelară.

B. Partea desenată



- Partea desenată (continuare) -

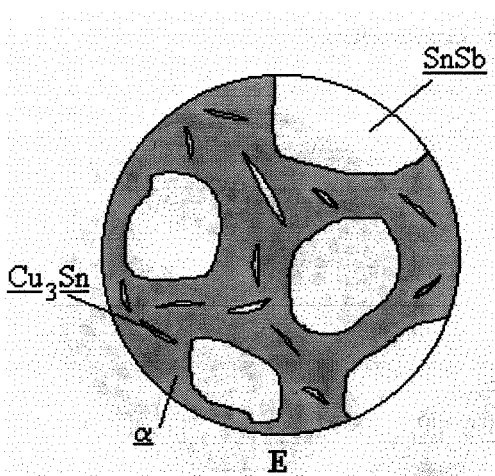


**Testul nr.1**

1. Dintre micrografile din partea desenată copiați-o pe cea care conține 2 constituENți metalografici tip compus intermetalic. Se cere: 2p
2. Tipul compușilor intermetalici este: 1p
  - a – electrochimic, b – geometric, c - electronic
3. Materialul acestei probe este: 1p
  - a – alamă, b – aliaj antifriciune, c – fontă albă hipereutectică, d – fier pur
4. Pe micrografia desenată la pct.1 apare și al treilea constituent metalografic care este: 2p
  - a – o soluEie solidă, b – un amestec mecanic, c – un nemetal pur
5. FaEă de constituentul metalografic identificat la pct.4, compușii intermetalici sunt: 2p
  - a – mai moi, b – mai duri, c – mai radioactivi, d – cu aceleAe caracteristici
6. PrecizaEi cel puEn 3 elemente chimice care fac parte din compoziEia materialului probei. 2p

**Rezolvare**

1. Este vorba de micrografia E, singura cu 2 compuși intermetalici definiEi
2. c

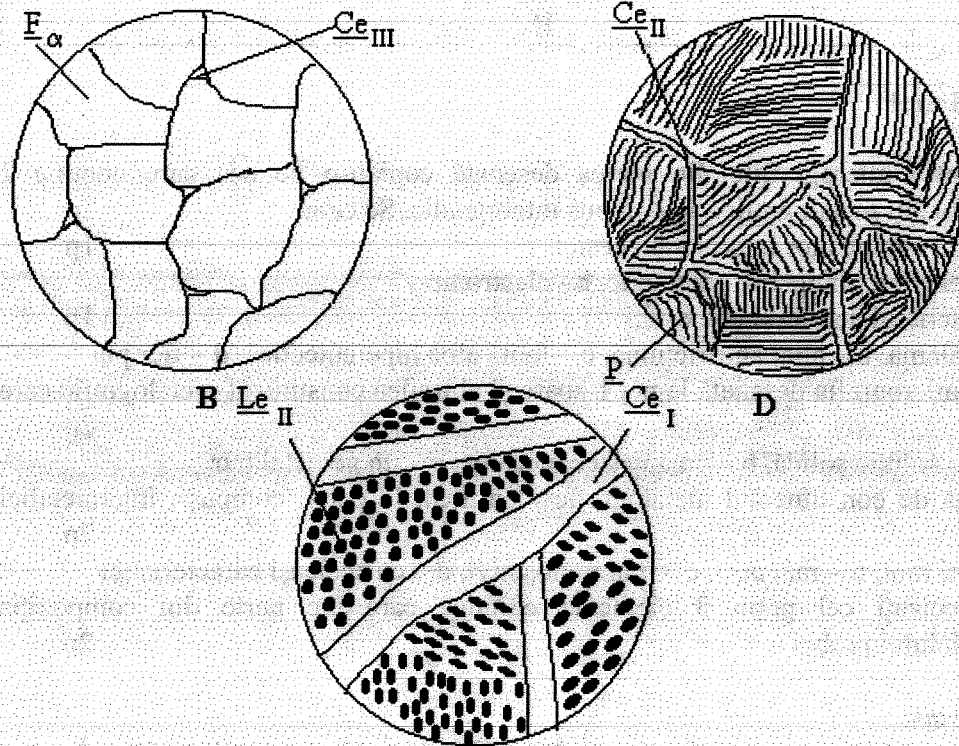


3. b
4. a
5. b
6.  $\text{Sn} - \text{Sb} - \text{Cu}$

### Testul nr.2

1. Dintre micrografile din partea desenată copiați-le pe cele care conțin același compus intermetalic, obținut prin căte unul din cele 3 tipuri de transformare: primară, secundară și terțiară 3p
2. Scrieți formula stoechiometrică a acestui compus intermetalic 2p
3. Identificați aliajele pentru fiecare dintre cele 3 micrografe de la pct.1 3p
4. Care dintre cele 3 aliaje de la pct.3 este cel mai dur și ce legătură are acest lucru cu forma sub care se găsește compusul intermetalic sus-menționat? 2p

### Rezolvare



1. Micrografilele B, D și G

2.  $Fe_3C$

3. B – Fier tehnic pur, D – oțel-carbon hipereutectoid, G – fontă albă hipereutectică

4. Fonta albă hipereutectică este cea mai dură fiindcă are în microstructura sale ace foarte mari de cementită, cristalizată primar, care au avut timp să crească.

### Testul nr. 3

1. Copiați microstructura unei fonte ferito-perlitice cu grafit nodular. 2p

Se cere să precizați:

2. Ce fel de constituent metalografic apare în micrografie? 2p

a – un amestec mecanic eutetic, b – un nematic pur, c – un compus intermetalic, d – un metal pur

3. Constituentul metalografic căruia îi este caracteristică formula stoichiometrică  $Fe_3C$ ? 2p

a – ferita, b – perlita, c – ledeburita, d – cementita

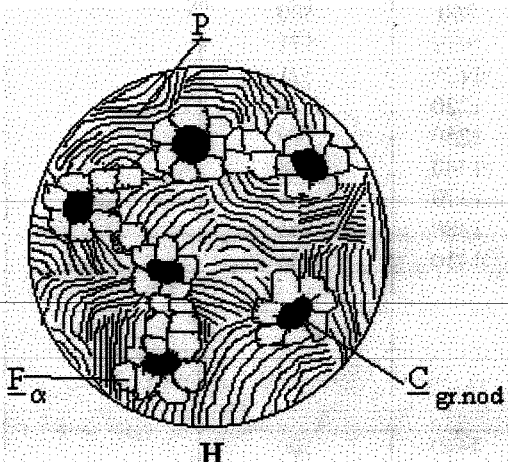
4. Constituentul metalografic precizat la pct. 3 există în micrografia analizată în componență: 2p

a – feritei, b – perlitei, c – grafitului nodular, d – nu există,

sub formă de:

2p

w – atomi dizolvăți interstitial, x – rețea cristalină complexă, y – lamele, amestecate mecanic, z – lamele de grafit



### Rezolvare

1. Este vorba despre micrografia H

2. b (carbonul grafit nodular)

3. d

4. b (perlita este un amestec mecanic)  
+ y (în perlită lamelele albe, groase, de ferită sunt amestecate în mod alternativ cu lamelele întunecate, subjiri, de cementită)

## 2.6 Construirea și interpretarea diagramelor de echilibru binare

### I. Diagrama Ag-Cu

- 1) Se alege originea, în partea stângă a formatului de hârtie milimetrică, la  $500^{\circ}\text{C}$  pe ordonată și 0 secunde pe abscisă.
- 2) Se marchează, pe ordonată, câte  $10^{\circ}\text{C}$  la fiecare 4 mm, până la depășirea temperaturii de topire a cuprului ( $T_{\text{topire Cu}} = 1083^{\circ}\text{C}$ ).
- 3) Se marchează pe abscisa primei diagrame din stânga, care conține curbele de încălzire cu topire, câte 100 secunde la fiecare 10 mm, până la depășirea duratei de înregistrare a ultimei curbe (2860 s).
- 4) În partea dreaptă a formatului de hârtie milimetrică, se marchează abscisa diagramei de fază a sistemului Ag-Cu, măsurând de la dreapta la stânga o porțiune de 100 mm.
- 5) Pe această porțiune se marchează mai întâi 0 în partea stângă și 100 %Cu în partea dreaptă și apoi, la scară, toate concentrațiile celor 6 aliaje pentru care s-au făcut determinările (7; 14; 27; 39,9; 73 și 95 %Cu). Se marchează la scară temperaturile de topire ale argintului ( $T_{\text{topire Ag}} = 960,6^{\circ}\text{C}$ ) și ale cuprului ( $1083^{\circ}\text{C}$ ) pe ordonatele de la 0 și respectiv 100% Cu.
- 6) Se trasează curbele de încălzire cu topire conform datelor de mai jos:

Timp, s	Temperatura, $^{\circ}\text{C}$	% Cu	Timp, s	Temperatura, $^{\circ}\text{C}$	% Cu
0	1	2	3	4	5
0	500		960	500	
40	529		1080	571	
70	560		1170	671	
80	560		1220	779	
110	631		1250	779	
150	700		1340	828	
220	789		1370	866	
300	854	7	1380	866	27
370	894		1410	886	
380	894				
410	914				
420	940				
430	940				
450	957				
480	500		1440	500	
610	586		1540	557	
700	700		1620	629	
720	779		1680	714	
750	779	14	1700	779	
840	829		1770	779	
880	877		1850	823	
900	917				
910	917				
930	934				

- Diagrama Ag-Cu (continuare) -

<b>0</b>	<b>1</b>	<b>2</b>	<b>3</b>	<b>4</b>	<b>5</b>
1920	500		2400	500	
2040	571		2550	600	
2150	686		2610	714	
2180	779		2630	779	
2210	779		2660	779	
2280	843	73	2750	857	95
2310	909		2800	957	
2320	909		2820	1029	
2330	926		2830	1029	
2360	943		2840	1043	
			2860	1057	

- 7) Se notează, de sus în jos, palierele de pe curbele de topire (corespunzătoare temperaturilor scrise cu caractere italice), în ordinea  $a_i$ ,  $b_i$  și eventual  $c_i$  pentru fiecare aliaj  $i$  și se transleză pe diagrama de echilibru până în dreptul concentrației aliajului  $i$ , pentru fiecare dintre cele 6 aliaje în parte.
- 8) Se trasează diagrama de echilibru, conform modului de lucru din referat (linia lichidus unește cele două temperaturi de topire prin intermediul punctelor critice  $a_i$ , linia solidus realizează același lucru prin intermediul punctelor  $b_i$  iar liniile solvus unesc concentrațiile de saturatie cu solubilitățile de la  $500^{\circ}\text{C}$ , eventual prin intermediul punctelor  $c_i$ ).
- 9) Curbele solvus se trasează știind că, la  $500^{\circ}\text{C}$ , solubilitatea cuprului în  $\alpha$  este 6 %Cu iar în  $\beta$  de 98 %Cu. Concentrațiile de saturatie ale celor două soluții solide,  $\alpha$  și  $\beta$ , sunt de 14 și respectiv 95 %Cu.

## II. Diagrama Pb-Sb

- 1) Se alege originea, în partea stângă a formatului de hârtie milimetrică, la  $100^{\circ}\text{C}$  pe ordonată și 0 secunde pe abscisă.
- 2) Se marchează, pe ordonată, câte  $20^{\circ}\text{C}$  la fiecare 10 mm, până la depășirea temperaturii de topire a stibiului ( $630^{\circ}\text{C}$ ).
- 3) Se marchează pe abscisa primei diagrame din stânga, care conține curbele de încălzire cu topire, câte 100 secunde la fiecare 10 mm, până la depășirea duratei de înregistrare a ultimei curbe (2920 s).
- 4) În partea dreaptă a formatului de hârtie milimetrică se marchează abscisa diagramei de fază a sistemului Pb-Sb, măsurând de la dreapta la stânga o porțiune de 100 mm.
- 5) Pe aceasta porțiune se marchează mai întâi 0 în partea stângă și 100 %Sb în partea dreaptă și apoi, la scară, toate concentrațiile celor 6 aliaje pentru care s-au făcut determinările (3,5; 10; 13; 40; 95 și 97 %Sb). Se marchează la scară temperaturile de topire ale plumbului ( $T_{\text{topire Pb}} = 327^{\circ}\text{C}$ ) și ale stibiului ( $630^{\circ}\text{C}$ ) pe ordonatele de la 0 și respectiv 100% Sb.
- 6) Se trasează curbele de încălzire cu topire conform datelor de mai jos:

Temp, s	Temperatura, °C	%Sb	Temp, s	Temperatura, °C	% Sb
50	100		1250	100	
100	177		1300	142	
150	238		1350	174	
170	246		1400	200	
200	246		1450	222	
220	260		1500	240	
250	284		1520	246	
270	313	3,5	1550	246	40
280	313		1600	270	
300	342		1650	304	
310	350		1700	360	
			1720	400	
			1730	416	
			1740	416	
			1750	426	
			1760	434	
350	100		1800	100	
400	152		1850	160	
450	194		1900	194	
500	224		1950	222	
550	246		2000	246	
580	246		2030	246	
600	251		2050	255	
620	258	10	2100	287	95
630	265		2150	326	
640	265		2200	379	
650	280		2250	439	
660	300		2300	500	
			2350	571	
			2380	616	
			2390	616	
			2410	630	
700	100		2450	100	
750	132		2480	170	
800	156		2540	220	
850	174		2550	220	
900	190		2610	260	
950	206		2650	300	
1000	220		2660	320	
1050	232		2670	320	
1100	242	13	2730	370	97
1120	246		2770	420	
1190	246		2800	460	
1200	250		2830	510	
1210	254		2850	550	
1220	260		2870	594	
			2890	622	
			2900	622	
			2920	640	

- 7) Se notează, de sus în jos, palierele de pe curbele de topire (corespunzătoare temperaturilor scrise cu caractere italice), în ordinea  $a_i$ ,  $b_i$  și eventual  $c_i$  pentru fiecare aliaj  $i$  și se transleză pe diagrama de echilibru până în dreptul concentrației aliajului  $i$ , pentru fiecare dintre cele 6 aliaje în parte.
- 8) Se trasează diagrama de echilibru, conform modului de lucru din referat (linia lichidus unește cele două temperaturi de topire prin intermediul punctelor critice  $a_i$ , linia solidus realizează același lucru prin intermediul punctelor  $b_i$  iar liniile solvus unesc concentrațiile de saturatie cu solubilitățile de la  $100^{\circ}\text{C}$ , eventual prin intermediul punctelor  $c_i$ ).
- 9) Curbele solvus se trasează știind că, la  $100^{\circ}\text{C}$ , atât solubilitatea stibiului în plumb cât și a plumbului în stibiu sunt nule (0 %Sb și respectiv 100 %Sb). Concentrațiile de saturatie ale celor două soluții solide,  $\alpha$  și  $\beta$ , sunt de 3,5 și respectiv 97 %Sb.
- 10) În final, se completează domeniile de echilibru fazic cu constituenții corespunzători.

### III. Diagrama Pb-Sn

- 1) Se alege originea, în partea stângă a formatului de hârtie milimetrică, la  $0^{\circ}\text{C}$  pe ordonată și 0 secunde pe abscisă.
- 2) Se marchează, pe ordonată, câte  $10^{\circ}\text{C}$  la fiecare 8 mm, până la depășirea temperaturii de topire a plumbului ( $T_{\text{topire Pb}} = 327^{\circ}\text{C}$ ).
- 3) Se marchează pe abscisa primei diagrame din stânga, care conține curbele de răcire cu solidificare, câte 100 secunde la fiecare 10 mm, până la depășirea duratei de înregistrare a ultimei curbe (2830 s).
- 4) În partea dreaptă a formatului de hârtie milimetrică se marchează abscisa diagramei de fază a sistemului Pb-Sn, măsurând de la dreapta la stânga o porțiune de 100 mm.
- 5) Pe această porțiune se marchează mai întâi 0 în partea stângă și 100 %Sn în partea dreaptă și apoi, la scară, toate concentrațiile celor 6 aliaje pentru care s-au făcut determinările (10; 19; 30; 61,9; 80 și 97,5 %Sn). Se marchează la scară temperaturile de topire ale plumbului ( $327^{\circ}\text{C}$ ) și ale staniului ( $T_{\text{topire Sn}} = 232^{\circ}\text{C}$ ) pe ordonatele de la 0 și respectiv 100% Sn.
- 6) Se trasează curbele de răcire cu solidificare conform datelor din tabelul de mai jos.
- 7) Se notează, de sus în jos, palierele de pe curbele de topire (corespunzătoare temperaturilor scrise cu caractere italice), în ordinea  $a_i$ ,  $b_i$  și eventual  $c_i$  pentru fiecare aliaj  $i$  și se transleză pe diagrama de echilibru până în dreptul concentrației aliajului  $i$ , pentru fiecare dintre cele 6 aliaje în parte.
- 8) Se trasează diagrama de echilibru, conform modului de lucru din referat (linia lichidus unește cele două temperaturi de topire prin intermediul punctelor critice  $a_i$ , linia solidus realizează același lucru prin intermediul punctelor  $b_i$  iar liniile solvus unesc concentrațiile de saturatie cu solubilitățile de la  $0^{\circ}\text{C}$ , eventual prin intermediul punctelor  $c_i$ ).

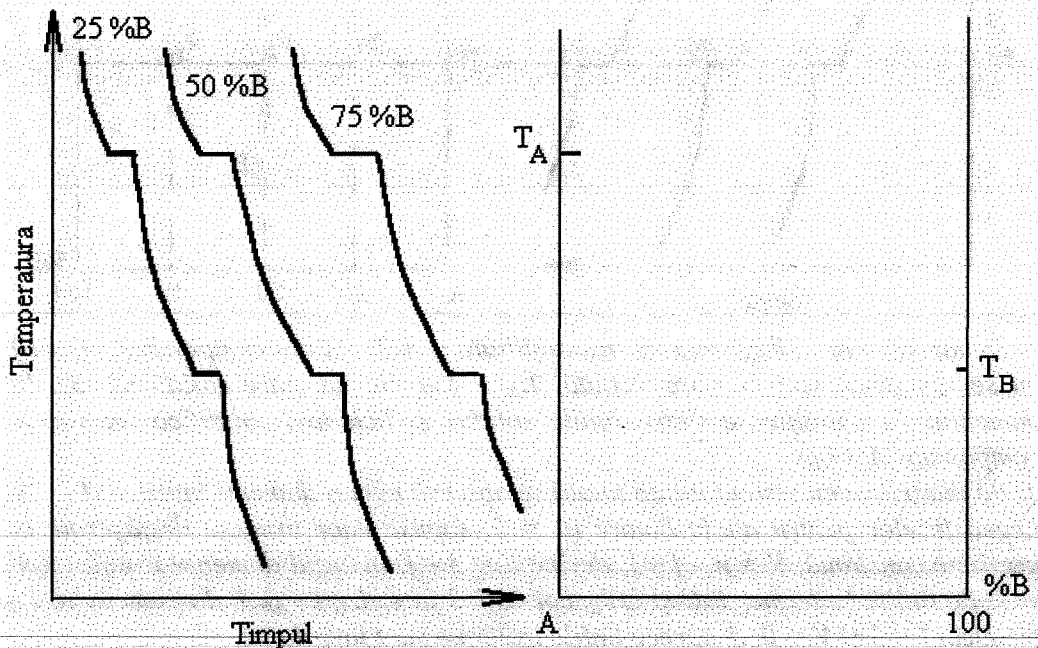
Temp, s	Temperatura, °C	% Sn	Temp, s	Temperatura, °C	% Sn
0	327		1500	232	
30	308		1520	207	
40	308		1540	182	
70	295		1620	182	
100	278		1630	150	
110	278		1650	117	
150	248		1680	85	
180	225		1730	53	
200	197	10	1780	27	
220	175		1840	0	
250	150				
280	125				
290	125				
320	100				
400	50				
500	0				
550	310		1900	250	
560	300		1910	232	
580	289		1920	216	
590	289		1930	216	
610	270		1950	200	
630	250		1970	182	
650	225		2030	182	
660	200	19	2060	157	80
670	182		2100	130	
710	182		2140	100	
730	145		2200	70	
760	125		2240	47	
880	40		2280	24	
910	19		2340	0	
970	0				
1000	310		2400	250	
1020	294		2420	231	
1050	279		2430	231	
1090	265		2450	206	
1100	265		2480	182	
1120	238		2520	182	
1140	213		2560	157	
1150	200		2590	132	
1160	182	30	2630	106	97,5
1210	182		2670	80	
1220	163		2700	60	
1240	136		2740	38	
1280	100		2790	13	
1310	75		2830	0	
1360	50				
1400	25				
1480	0				

9) Curbele solvus se trasează știind că, la  $0^{\circ}\text{C}$ , solubilitatea staniului în  $\alpha$  este de 2 % Sn și în  $\beta$  este nulă (100 %Sn). Concentrațiile de saturatie ale celor două soluții solide,  $\alpha$  și  $\beta$  sunt de 19 și respectiv 97,5 %Sn.

10) În final, se completează domeniile de echilibru fazic cu constituenții corespunzători

### Testul nr. 1

Aplicând metoda grafică obțineți diagrama de echilibru a sistemului de aliaje A-B, pentru care s-au trasat, în figura de mai jos, curbele de răcire cu solidificare corespunzătoare celor 3 compoziții chimice specificate pe fiecare curbă. Cu  $T_A$  și  $T_B$  s-au notat temperaturile de topire ale celor 2 compoziții.



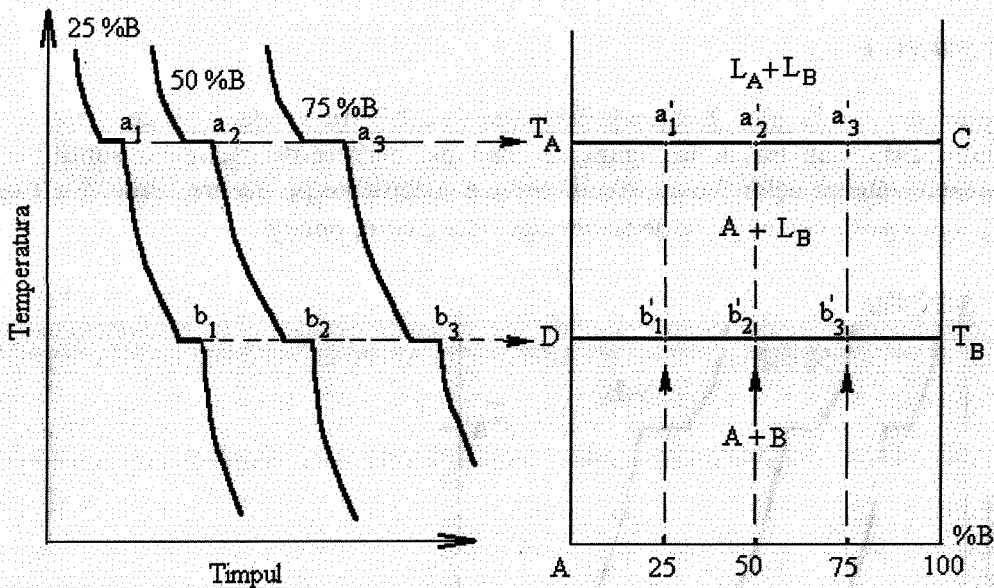
Se vor parcurge următoarele etape:

1. Translarea punctelor critice pe diagrama de echilibru 3p
2. Obținerea liniilor lichidus și solidus și identificarea lor 3p
3. Notarea constituenților fazici pe diagramă 2p
4. Aplicarea legii fazelor în domeniile de stabilitate a constituentilor 2p

### Rezolvare

1. Pe curbele de răcire cu solidificare, se notează cu  $a_{1,2,3}$  palierele de sus și cu  $b_{1,2,3}$  cele de jos. Fiecare palier se translată pe diagrama de echilibru până în dreptul concentrației aliajului respectiv, rezultând punctele critice  $a'_{1,2,3}$  și  $b'_{1,2,3}$ .

2. Linia lichidus unește  $T_A$  cu  $T_B$  prin intermediul punctelor critice  $a'_1,2,3$ , deci conform reprezentării de mai jos, ea este  $T_A C T_B$ . Linia solidus este  $T_A D T_B$  deoarece unește cele 2 temperaturi prin intermediul punctelor  $b'_1,2,3$ .



3. Deoarece este o diagramă cu insolubilitate totală, cei doi compoziții ( $A$  și  $B$ ) nu se amestecă nici în stare lichidă ( $L_A + L_B$ ) nici în stare solidă ( $A+B$ ). În domeniul de solidificare (între liniile solidus și lichidus) solidifică un singur component ( $A+L_B$ ).

4. Pe diagrama cu insolubilitate totală se observă numai domenii bifazice ( $f = 2$ ). Legea fazelor pentru aliaje binare ( $n = 2$ ) supuse unor procese desfășurate la presiune constantă,  $V = n - f + 1$ , devine  $V = 3 - f$ . În cazul domeniilor bifazice  $V = 1$ . Pe liniile izoterme,  $T_A C$  și  $D T_B$ , coexistă 3 faze:  $L_A$ ,  $L_B$  și  $A$  și respectiv  $A$ ,  $L_B$  și . Deci  $f = 3$  și  $V = 0$ , deoarece liniile izotermă sunt invariante.

## Testul nr.2

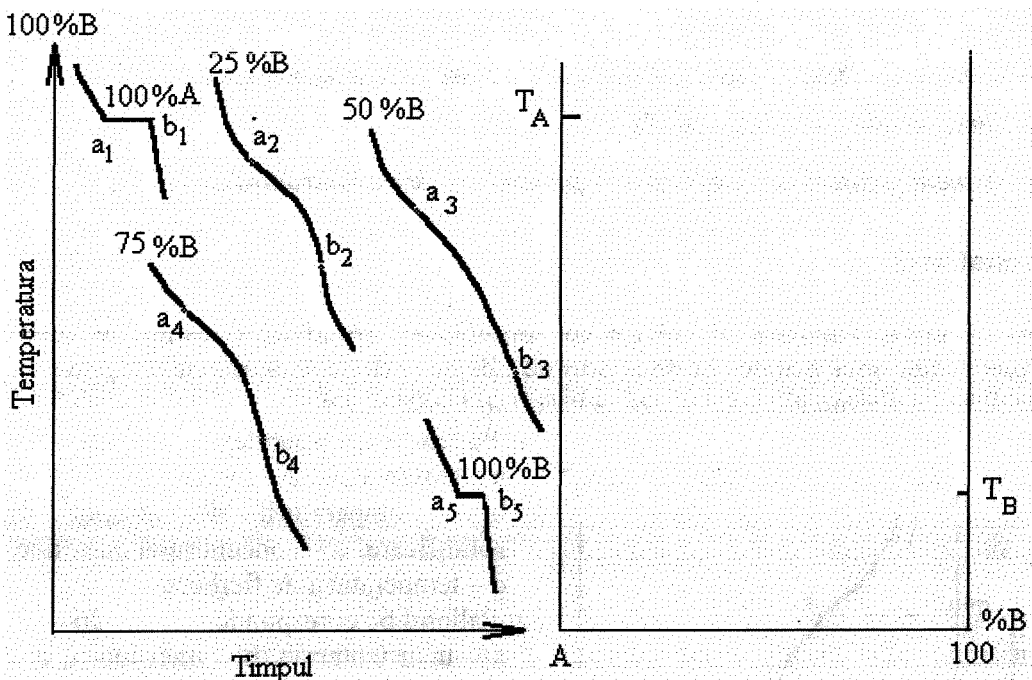
În figura de mai jos s-au trase 5 curbe de răcire cu solidificare, pentru 5 concentrații de aliaje aparținând sistemului A-B. Se cere:

1. Să se aplique metoda grafică obținându-se diagrama de echilibru termodinamic a sistemului de aliaje A-B și să se completeze domeniile de stabilitate cu constituenții metalografic corespunzători 3p

2. Precizați tipul diagramei obținute:

a – cu insolubilitate totală, b – cu solubilitate totală, c – cu eutectic, d – cu peritectic 1p

3. Aplicați legea fazelor direct pe domeniile diagramei 2p



4. Pe diagrama obținută identificați linia solidus

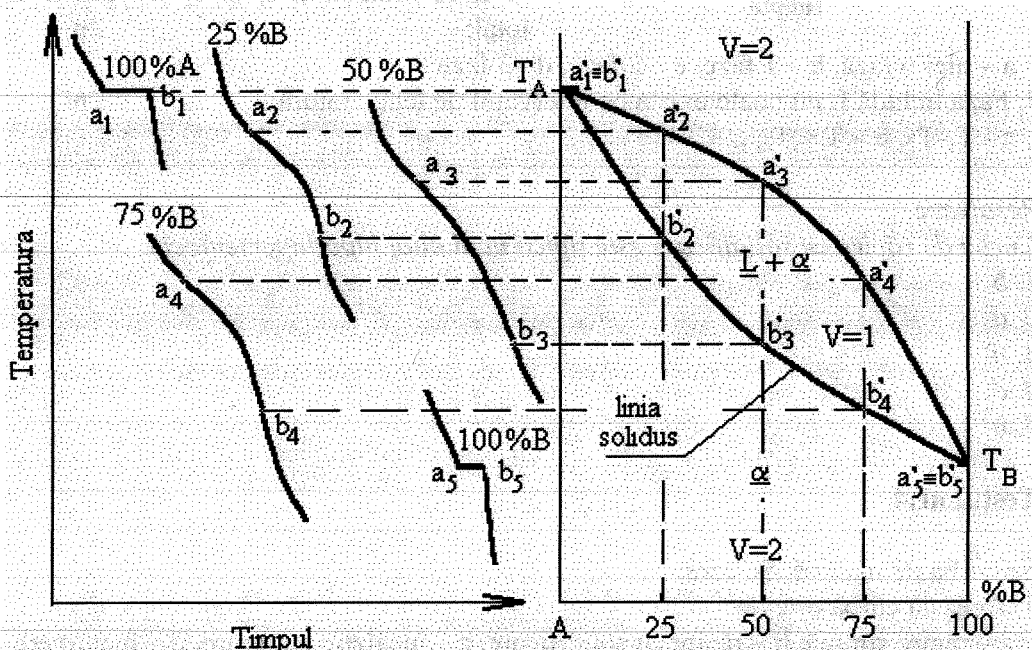
1p

5. Identificați punctul, de pe diagrama de echilibru, până unde trebuie încălzit aliajul A-50% B pentru a-și pierde consistența solidă?

3p

### Rezolvare

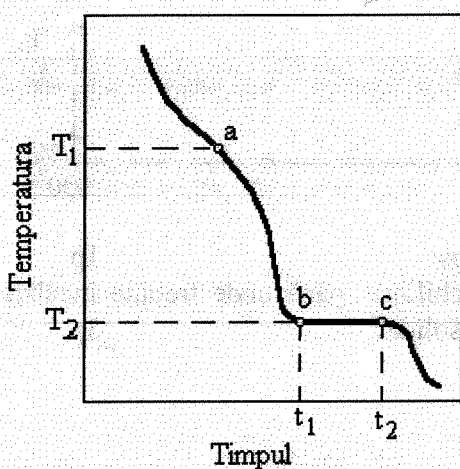
I.



2. b
3. În domeniul bifazic (de solidificare)  $V = 1$  iar în cele monofazice  $V = 2$
4. Linia solidus este  $T_A b_2' b_3' b_4' T_B$
5. Primele picături de lichid apar în punctul  $b_3'$  de pe linia solidus.

### Testul nr.3

Se dă curba alăturată, de răcire cu solidificare. Știind că o astfel de curbă corespunde unui anume tip de sistem de aliaje, A-B, în legătură cu diagrama de echilibru a acestui sistem, se cere să precizați următoarele:



1. Punctul a corespunde: 2p  
a – temperaturii de topire,  
b – temperaturii de început de solidificare, c – concentrației eutectice,  
d – temperaturii de fierbere
2. Palierul bc corespunde: 2p  
a – unei izoterme, b – unei topiri, c – unui început de solidificare, d – unei curbe solvus
3. Între temperaturile  $T_1$  și  $T_2$  vor exista fazele: 2p  
a –  $\alpha + L$ , b –  $\alpha + \beta$ , c –  $L_A + L_B$ ,  
d –  $A + B$
4. Între momentul  $t_1$  și  $t_2$  (co)există în total: 2p  
a – nici o fază, b – 1 fază, c – 2 faze, d – 3 faze
5. Faza lichidă L nu poate exista pe intervalul de temperatură: 2p  
a -  $T_1 - T_2$ , b -  $T < T_2$ , c -  $T > T_1$

### Rezolvare

Curba de răcire cu solidificare este tipică unui aliaj hipo(hiper)eutectic.

1. b
2. a
3. a
4. d
5. b

### Testul nr.4

Se curba de mai jos. Se cere:

1. Această curbă este de: 2p  
a – răcire simplă, b – răcire cu solidificare, c – încălzire cu topire, d – menținere

2. Ea se poate obține în cazul unui aliaj dintr-un sistem cu: 2p

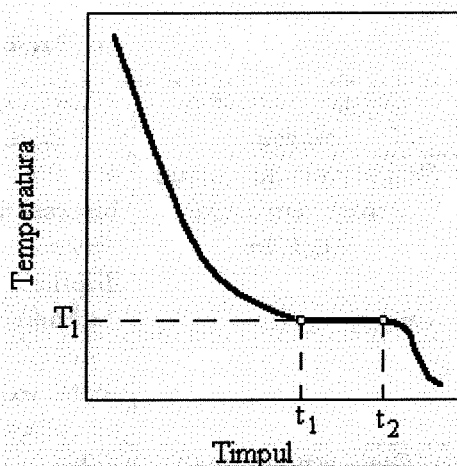
a – solubilitate totală, b – element chimic pur, c – solubilitate limitată în stare lichidă, d – monotectic

3. Faza lichidă există până în momentul: 3p

a –  $t_1$ , b –  $t_2$ , c – numai între  $t_1$  și  $t_2$ , d – pe toată durata fenomenului

4. Faza solidă poate fi: 3p

a – o soluție solidă, b – un precipitat format sub curba solvus prin cristalizare secundară, c – un element pur sau un amestec mecanic eutetic



#### Rezolvare

1. b

2. b

3. a

4. c

#### Testul nr. 5

Se dă curba alăturată, de topire cu solidificare. Se cere:

1. Curba corespunde unui aliaj: 2p

a – cu solubilitate totală, b – tip amestec mecanic eutetic pur, c – cu insolubilitate totală, d – hipoeutectic

2. Faza lichidă există la temperatura T:

a –  $T > T_1$ , b –  $T < T_2$ , c –  $T > T_2$  2p

3. Punctul b reprezintă: 3p

a – începutul solidificării, b – sfârșitul reacției peritectice, c – temperatura de topire eutecticului, d – sfârșitul solidificării

4. Punctul a aparține: 3p

a – linie solidus, b – linie solvus, c – linie lichidus, d – concentrației eutectice

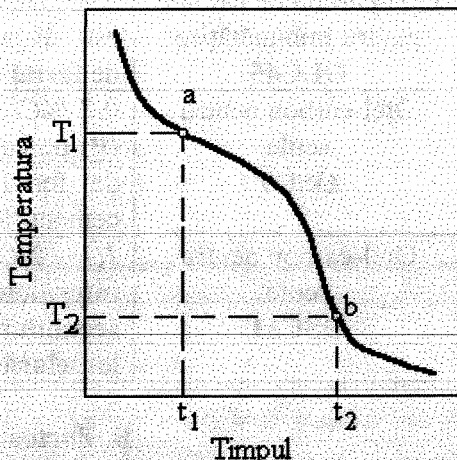
#### Rezolvare

1. a

2. c

3. d

4. c

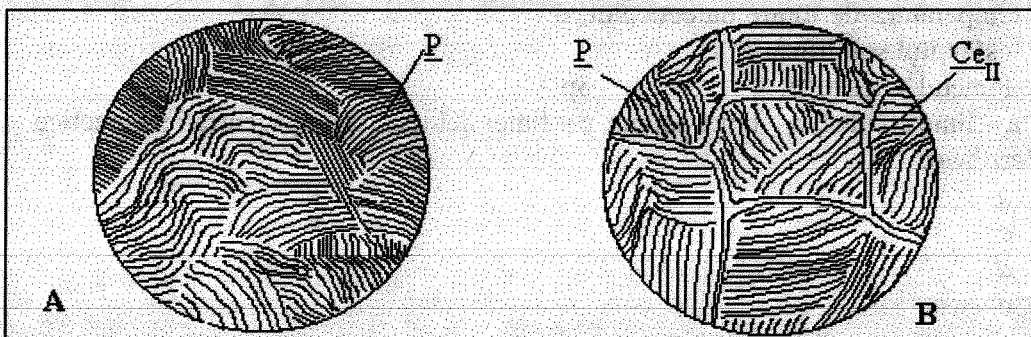


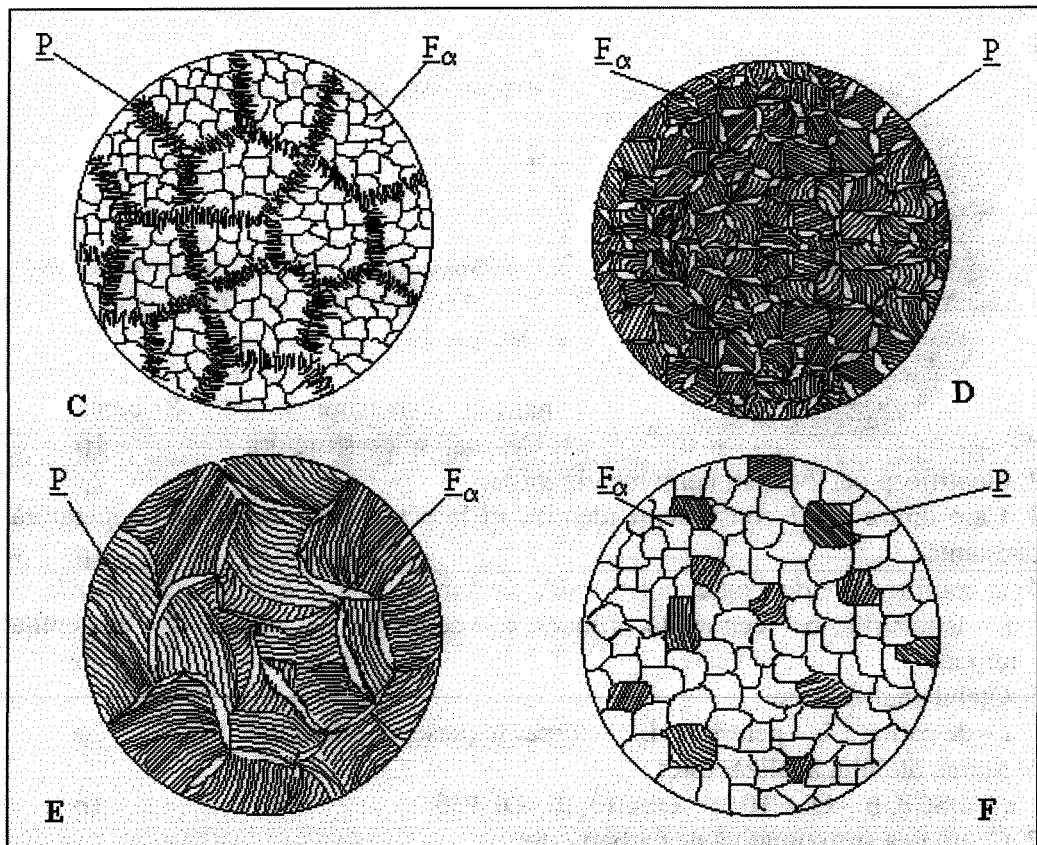
## 2.7 Microscopia metalografică a oțelurilor- carbon

### A. Partea scrisă

Nr. crt.	Denumirea probei marca	Cantitatea aproximativă de carbon/ Descrierea micrografiei (constituenți metalografici)
1	Oțel-carbon de calitate pentru cementare <b>OLC10</b>	0,1 %C/ Grăunți poligonali de soluție solidă intersticială (ferita alfa = $F_a$ ), de culoare deschisă. Din cauza orientării cristalografice diferite, unii grăunți au fost coroatați mai puternic și apar mai întunecați. Amestecul mechanic eutectoid (perlita = P) este în cantitate foarte redusă și apare sub formă de insule izolate de culoare întunecată.
2	Oțel-carbon turnat <b>OT450</b>	0,2-0,3 %C/ Pe fondul grăunților poligonali, de culoare deschisă, de ferită alfa ( $F_a$ ), este dispusă o rețea întunecată de perlă (P).
3	Oțel-carbon obișnuit obținut prin deformare plastică <b>OL60</b>	0,4 %C/ Pe un fond de perlă lamellară (P) este dispusă o rețea grosolană, cu ochiuri mici, de ferită alfa ( $F_a$ ).
4	Oțel-carbon de calitate pentru îmbunătățire <b>OLC45</b>	0,45 %C/ Pe un fond de perlă lamellară (P) este dispusă o rețea grosolană, cu ochiuri mari, de ferită alfa ( $F_a$ ).
5	Oțel-carbon pentru scule <b>OSC7</b>	0,7 %C/ Câmp de colonii de perlă lamellară (P) pe care se pot distinge lamelele albe groase de ferită alfa și cele întunecate subțiri de cementită secundară
6	Oțel-carbon pentru scule <b>OSC11</b>	1,1 %C/ Rețea albă fină de compus intermetalic geometric intersticial (cementita secundară = $Ce_{II}$ ) pe un fond de perlă lamellară (P)

### B. Partea desenată





### Testul nr.1

Se dă proba E. Se cere:

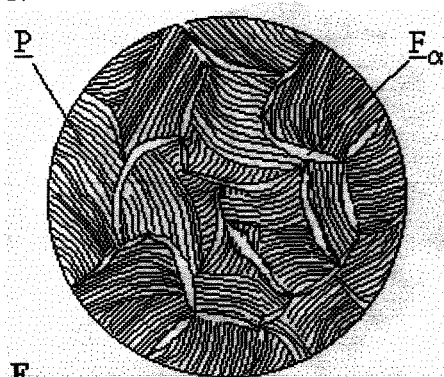
1. Desenați microstructura 1p
2. Identificați constituenții metalografici 2p
3. Precizați tipul oțelului-carbon:
  - a – hipoeutectoid, b – eutectoid, c – hipereutectoid, d - eutectic
4. Identificați marca oțelului dintre:
  - a – OLC10, b – OT450, c – OL60, d – OLC45
5. După destinație, acestui oțel-carbon este:
  - a – de construcție, b – de scule, c – de rulmenți, d – refractar
6. Ce informație oferă marca identificată la pct.4 despre oțelul analizat?
  - a –  $R_m > 60$  daN/mm<sup>2</sup>, b – conține ~ 0,45 %C, c - conține ~ 0,1 %C, d - conține ~ 4,5 %C
7. Considerând că proba a fost răcitată lent, din domeniul austenitic, prima dată s-a format:

a – martensita, b – perlita, c – ferita, d – cementita

2p

### Rezolvare

1.



2. Ferita alfa și perlita

3. a

4. d

5. a

6. b

7. c (ferita alfa este constituent proeutectic)

### Testul nr. 2

Analizați microscopic proba F. Se cere:

1. Desenați microstructura 1p

2. Identificați cei 2 constituenți metalografici 2p

3. Care dintre cei 2 constituenți identificați la pct.2 se formează la temperatură constantă? 1p

4. În conformitate de diagrama Fe-Fe<sub>3</sub>C, acest material ar mai trebui să conțină: 2p

a – ledeburita, b – cementită primară, c – cementită secundară, d – cementită tertiară

5. Oțelul analizat este: 2p

a – de calitate, b – pentru țevi, c – turnat în piese, d – de scule

6. Marca oțelului analizat este: 1p

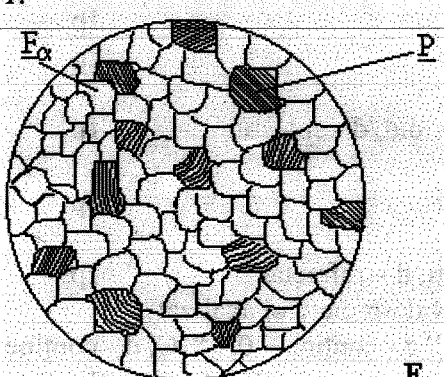
a – OSC8, b – OLC10, c – OSC13, d – OLT35

7. Cantitatea aproximativă de carbon este: 1p

a – 1,3 %, b – 1 %, c – 0,1 %, d – 35 %

### Rezolvare

1.



2. Ferita alfa și perlita

3. Perlita

4. d

5. a

6. b

7. c

### Testul nr. 3

Analizați microscopic proba D. Se cere:

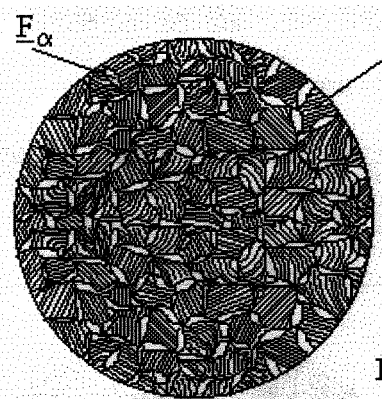
1. Desenați microstructura 1p

2. Identificați cei 2 constituenți metalografici 2p

3. Tipul oțelului este:

- a – martensitic, b – hipoeutectoid, c – eutectoid, d - hipereutectoid 2p
4. Marca oțelului dintre:  
a – OLT65, b – OCS52, c – OL60, d – OLC45 2p
5. După destinație, acestui oțel-carbon este:  
a – de construcție, b – de scule, c – inoxidabil, d – manganos 1p
6. Care este ultima operație metalurgică la care a fost supus oțelul analizat:  
a – strunjirea, b – turnarea, c – sudarea, d – laminarea 2p

### Rezolvare



- 1.
2. Ferita alfa și perlita
3. b
4. c
5. a
6. d

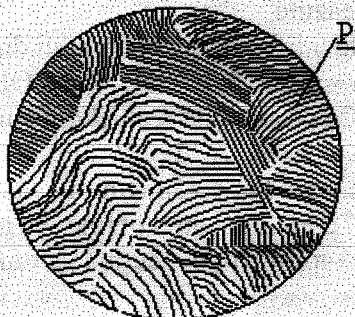
### Testul nr. 4

Analizați microscopic proba A. Se cere:

1. Desenează microstructura 1p
  2. Constituentul metalografic observat este:  
a – omogen, b – eterogen 1p
- și este de tip:
- w – element chimic pur, x – soluție solidă, y – amestec mecanic, z – compus intermetalic 1p
3. Identificați marca oțelului dintre:  
a – OL60, b – OSC7, c – OLC45, d – OT450 1p
4. După destinație, este un oțel:  
a – feritic, b – austenitic, c – de construcție, d – de scule 2p
5. În conformitate cu marca identificată la pct.3, cantitatea aproximativă de carbon conținută de oțelul analizat este:  
a – 70 %C, b – 7 %, c – 0,7 %, d – 0,07 % 2p
6. Conform diagramei Fe-Fe<sub>3</sub>C, constituentul metalografic observat în microstructura oțelului s-a format la:  
a – 727<sup>0</sup>C, b – 912<sup>0</sup>C, c – 1148<sup>0</sup>C, d – 1538<sup>0</sup>C 2p

### Rezolvare

- 1.
2. b + y
3. b
4. d
5. c
6. a



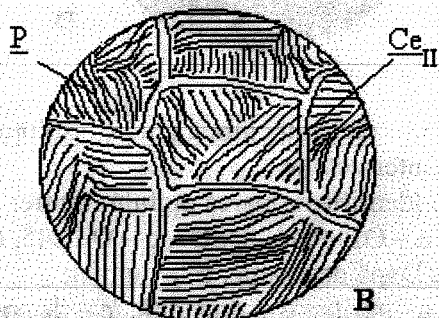
## Testul nr. 5

Analizați microscopic proba B. Se cere:

1. Desenați microstructura 1p
2. Identificați cei 2 constituenți metalografici 2p
3. Precizați tipul oțelului-carbon analizat:  
a – hipoeutectoid, b – eutectoid, c – hipereutectoid, d – hipereutectic 1p
4. După destinație, acest oțel-carbon este:  
a – de construcții, b – de scule, c – pentru arcuri, d – refractar 1p
5. Identificați marca oțelului dintre:  
a – OSC7, b – OLC45, c – OL37, d – OSC11 2p
6. Din simbolizarea oțelului, se cunoaște că:  
a – are  $R_m > 37 \text{ daN/mm}^2$ , b – conține  $\sim 1,1\% \text{C}$ , c – are  $R_m > 11 \text{ daN/mm}^2$ ,  
d – conține  $\sim 45\% \text{C}$  1p
7. Presupunând că proba a fost răcitată lent, din domeniul austenitic, primul constituent format a fost:  
a – ferita, b – perlita, c – cementita, d – martensita 2p

Rezolvare

- 1.
2. *Cementita secundară și perlita*
3. c
4. b
5. d
6. b
7. c



## Testul nr. 6

Analizați microscopic proba C. Se cere:

1. Desenați microstructura 1p
2. Identificați cei 2 constituenți metalografici 2p
3. Prelucrarea finală a acestui oțel-carbon a fost:  
a – călirea, b – sudarea, c – turnarea, d – deformarea plastică 1p
4. Destinația acestui oțel-carbon este:  
a – de construcții, b – de scule, c – pentru rulmenți, d – pentru temperaturi scăzute 1p
5. Identificați marca oțelului dintre:  
a – OLC10, b – OL44, c – OLT35, d – OT450 1p
6. Ce proprietate rezultă din simbolizarea oțelului:  
a – are  $R_m > 35 \text{ daN/mm}^2$ , b – are  $R_m > 450 \text{ N/mm}^2$ , c – conține  $\sim 0,45\% \text{C}$ ,  
d – are  $R_m < 450 \text{ N/mm}^2$  2p
7. Ce produs puteți obține din acest oțel fără a-i modifica compozitia?  
a – rulment, b – cuțit de strung, c – rezervor WC, d – electrod de sudură 2p

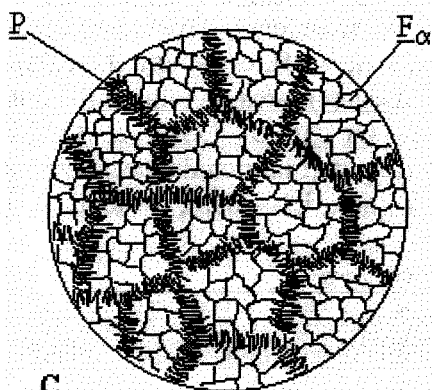
### Rezolvare

- 1.
2. Ferita alfa și perlita
3. c
4. a
5. d
6. b
7. c

### Testul nr.7

Se marca de oțel-carbon OCS58. Se cere:

1. Este un oțel-carbon de:  
a – construcție, b – scule, c – rulmenți, d – nitrurare 1p
2. Microstructura de echilibru a acestui oțel conține:  
a –  $F_\alpha + P$ , b –  $F_\alpha + P + Ce_{III}$ , c –  $P + Ce_{II}$ , d –  $Le_{II} + Ce_I$ ,  
deoarece este:  
w – hipoeutectic, x – hipereutectoid, y – eutectic, z – eutectoid 2p
3. La ce proprietate se referă numărul 58 din simbolizare ?  
a – %C x 10, b – %C x 100, c – anul fabricației, d – R<sub>m</sub> 2p
4. Din acest oțel se pot fabrica:  
a – confecții sudate, b – rulmenți, c – came, d – țevi 1p
5. Caracteristica acestui oțel este:  
a – rezistența la cald, b – turnabilitatea, c – granulația fină, d – rezistența la uzură 2p



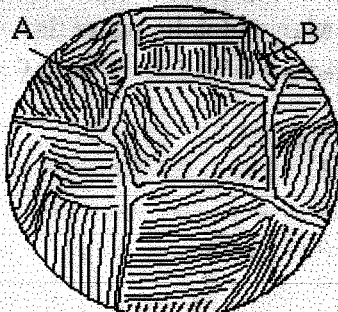
### Rezolvare

1. a
2. b + x
3. d
4. a
5. c

### Testul nr. 8

Oțelul din micrografia alăturată conține 2 constituenți care au aspect de: rețea albă fină – A și colonii lamelare – B. Se cere să precizați:

1. După structura de echilibru, oțelul este: 1p  
a – hipoeutectoid, b – hipereutectoid, c – eutectoid
2. Considerând că A este foarte dur și ținând cont de aspectul său, atunci el poate fi:  
a –  $F_\alpha$ , b –  $Ce_{II}$ , c – P, d –  $Le_{II}$  2p
3. Constituentul B este:



- a – P, b – C<sub>grafit</sub>, c – F<sub>a</sub>, d – Ce<sub>I</sub> 2p
4. La răcire lentă, din domeniul austenitic, prima dată s-a obținut constituentul:  
a – A, b – B, c – ambii, în același timp 2p
5. Alegeți marca oțelului-carbon analizat dintre:  
a – OLC10, b – OSC7, c – OSC11, d – OT450 1p
6. Ce puteți fabrica din acest oțel, fără modificarea compoziției chimice?  
a – arcuri, b – dălti, c – țevi, d – rame sudate 2p

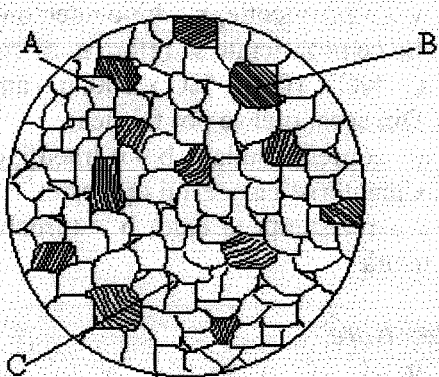
### Rezolvare

1. b
2. b
3. a
4. a
5. c
6. b

### Testul nr. 9

Se dă micrografia alăturată, a unui oțel-carbon care conține constituenții metalografici A, B și C. Se cere să precizați:

1. Tipul oțelului:  
a – hipoeutectic, b – hipoeutectoid,  
c – eutectic, d – eutectoid 1p
2. Constituentul alb (A), sub formă de grăunți poligonali, este:  
a – F<sub>a</sub>, b – C<sub>eII</sub>, c – P, d – Ce<sub>I</sub> 1p
3. Zonele lamelare de constituent B corespund:  
a – perlitei, b – cementitei, c – fosforului, d – austenitei 2p
4. Constituentul C, aflat în proporție foarte mică, se numește:  
a – Ce<sub>I</sub>, b – Ce<sub>II</sub>, c – Ce<sub>III</sub>, d – C<sub>gr.lamellar</sub> 2p
5. La răcire foarte lentă, ultimul constituent format este:  
a – A, b – B, c – C, d – grafit 3p
6. Marca oțelului poate fi:  
a – OLC45, b – OLC10, c – OL60, d – OSC11 1p



### Rezolvare

1. b
2. a
3. a
4. c
5. c
6. b

## 2.8 Microscopia metalografică a fontelor obișnuite

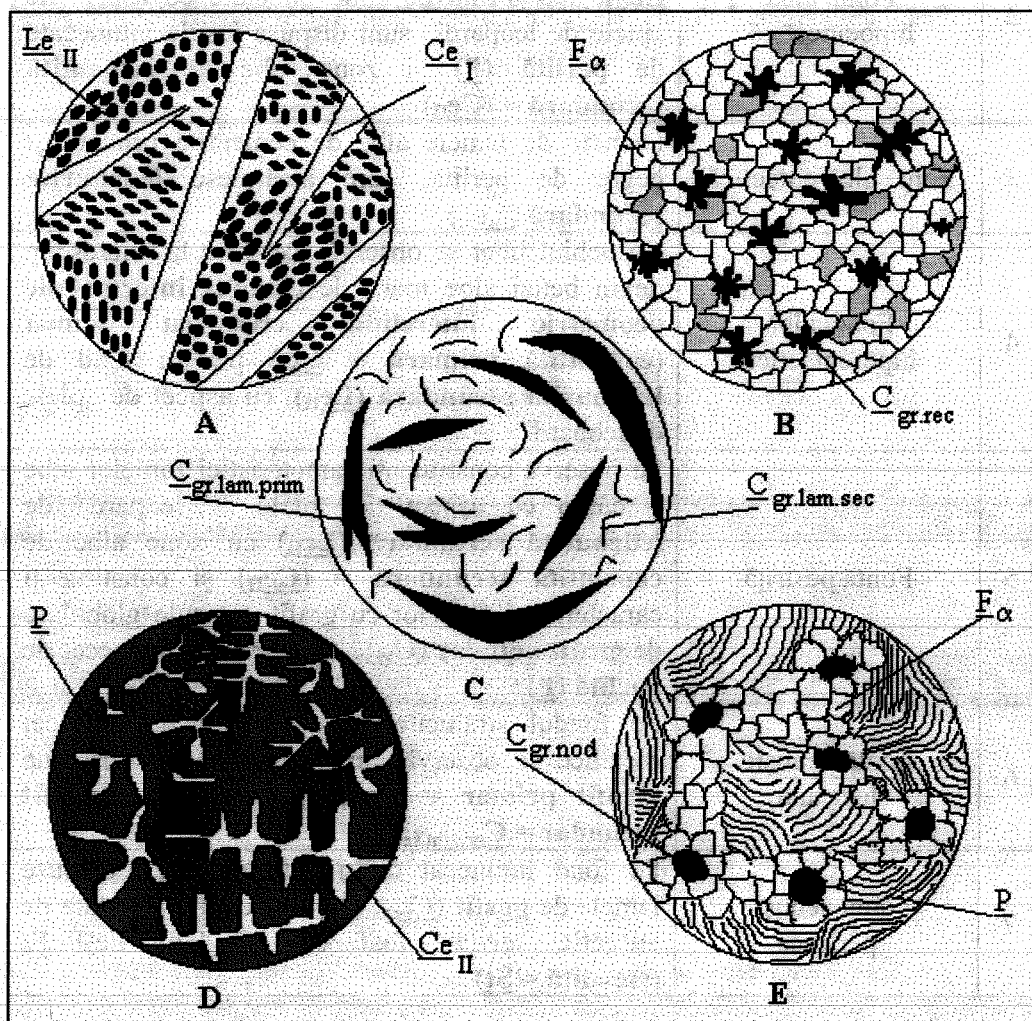
### A. Partea scrisă

Nr. crt.	Denumirea probei	Descrierea micrografiei (constituenți metalografici) Reactiv: NITAL 4%
0	1	2
1	Fontă albă de maleabilizare	Pe un fond întunecat de amestec mechanic eutectoid ( <b>perlită = P</b> ) este dispusă o rețea albă dendritică de compus intermetalic geometric interstațional cristalizat secundar (cementită secundară = <b>C<sub>eII</sub></b> )
2	Fontă albă hipoeutectică	Pe un câmp de amestec mechanic eutectic cristalizat secundar ( <b>ledeburită secundară = L<sub>eII</sub></b> ), sub formă de zone punctate cu aspect de „piele de leopard”, sunt dispuse insule întunecate de perlită ( <b>P</b> ) și zone albe de cementită secundară = ( <b>C<sub>eII</sub></b> )
3	Fontă albă eutectică	Pachete de lamele albe de cementită primară și negre de perlită, care alcătuiesc ledeburita secundară ( <b>L<sub>eII</sub></b> )
4	Fontă albă hipereutectică	Cu ochiul liber se observă ace, care la microscop devin benzi albe mari, de compus intermetalic geometric interstațional cristalizat primar (cementită primară = <b>C<sub>eI</sub></b> ) pe un fond de ledeburită secundară ( <b>L<sub>eII</sub></b> ), cu aspect de „piele de leopard”.
5	Fontă pestriță	Se observă constituenți caracteristici fontelor albe – câmp cu aspect de „piele de leopard” de ledeburită secundară ( <b>L<sub>eII</sub></b> ) cu zone albe de cementită secundară = ( <b>C<sub>eII</sub></b> ) și constituenți caracteristici fontelor cu grafit – insule globulare de grafit nodular ( <b>C<sub>gr.nodular</sub></b> ) pe fond întunecat de perlită ( <b>P</b> )
6	Fontă cenușie lustruită	Pe fondul strălucitor care corespunde matricei metalice se observă lamele întunecate grosolane (grafit primar = <b>C<sub>gr.lam.prim.</sub></b> ) sau fine (grafit secundar = <b>C<sub>gr.lam.sec.</sub></b> )
7	Fontă cenușie perlitică	Pe fond întunecat de perlită ( <b>P</b> ) sunt dispuse lamele de grafit ( <b>C<sub>gr.lam.</sub></b> ) și zone albe punctate de eutectic ternar fosforos de $Fe_3C + Fe_3P + F_a$ (steadită = <b>St</b> )

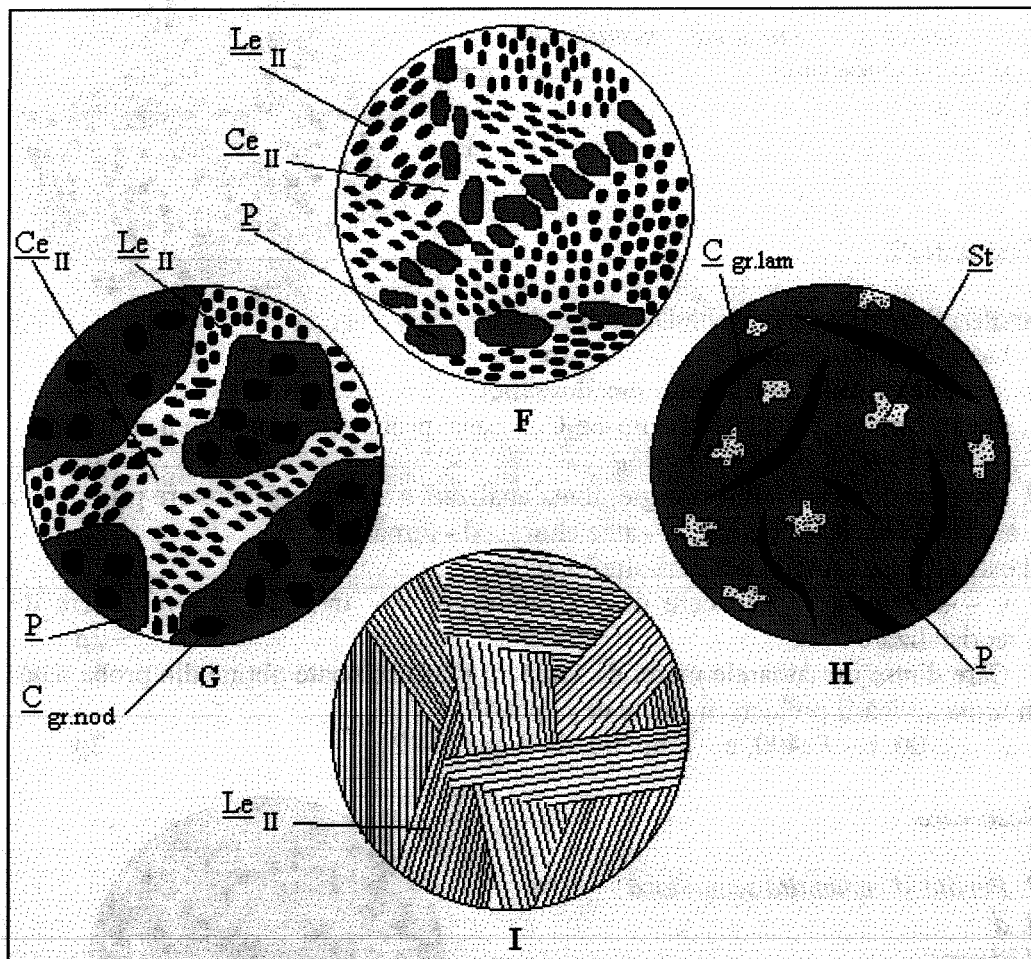
- A. Partea scrisă (continuare)-

0	1	2
8	Fontă ferito-perlitică cu grafit nodular	<p><b>Carbonul grafit nodular (<math>C_{gr.nod}</math>)</b> este dispus în zonele albe, de grăunți poligonali, de <b>soluție solidă intersticială</b> de carbon dizolvat în fier alfa (<b>ferita alfa = <math>Fe_\alpha</math></b>) care sunt înconjurate de colonii de <b>perlită (P)</b></p>
9	Fontă maleabilă cu miez negru	<p>Pe un fond alcătuit din grăunți poligonali albi (dintre care unii mai închiși la culoare din cauza atacului chimic selectiv, datorat diferențelor de orientare cristalografică) de <b>ferită alfa (<math>Fe_\alpha</math>)</b> sunt dispuse cuiburi de <b>grafit de recoacere (<math>C_{gr.rec}</math>)</b></p>

B. Partea desenată



- B. Partea desenată (continuare)-



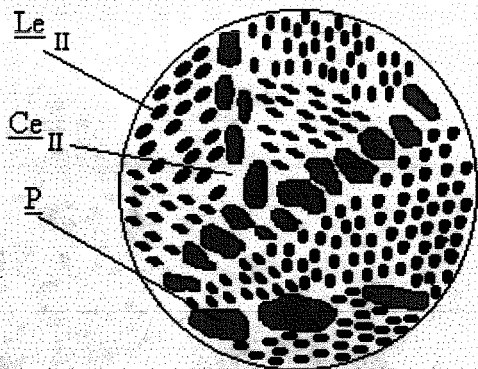
**Testul nr.1**

Analizați metalografic proba F. Se cere:

1. Desenați micrografia 1p
2. Identificați cei 3 constituenți metalografici 3p
3. După aspectul în casură, proba analizată este o fontă:  
a – argintie, b – albă, c – cu grafit, d – pestriță 1p  
iar după compoziția chimică este:  
w – hipoeutectică, x – eutectică, y – hipereutectică, z – martensitică 1p
4. Procedeul metalurgic prin care a fost elaborată proba este:  
a – atacul chimic, b – strunjirea, c – turnarea, d – laminarea 2p
5. Ce produs se poate obține din acest tip de fontă?  
a – lamă de ras, b – piatră de moară, c – rulment, d – potcoavă 2p

### Rezolvare

- 1.
2. Cementită secundară, perlita și ledeburită secundară
3.  $b + w$
4. c
5. b



### Testul nr. 2

Analizați metalografic proba D. Se cere:

1. Desenați micrografia 1p
2. Identificați cei 2 constituenți metalografici 2p
3. În conformitate cu diagrama Fe-Fe<sub>3</sub>C, această probă ar trebui să mai conțină:  
a - Fe<sub>3</sub>C, b - Ce<sub>I</sub>, c - Ce<sub>II</sub>, d - Le<sub>II</sub> 1p

4. Din punct de vedere metalurgic, fonta analizată a suferit o prelucrare prin:  
a - laminare, b - strunjire, c - atac chimic, d - turnare 2p

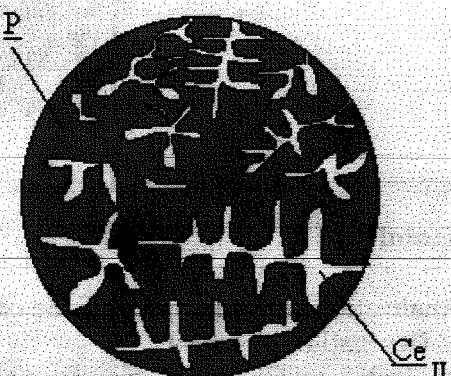
și este destinată unei prelucrări ulterioare de:

w - sudare, x - recoacere de maleabilizare, y - trefilare, z - recoacere de recristalizare 2p

5. Care dintre următoarele mărci de fontă cu grafit se poate obține din proba dată, în urma aplicării prelucrării finale de la pct.4?  
a - Fc100, b - Fc400, c - Fmp500, d - Fgn400-12 2p

### Rezolvare

- 1.
2. Perlita și cementită secundară
3. d
4. d + x
5. c



### Testul nr. 3

Analizați metalografic proba E. Se cere:

1. Desenați micrografia 1p
2. Identificați cei 3 constituenți metalografici 3p

3. După aspectul în casură, proba analizată este o fontă:  
a - albă, b - cu grafit, c - pestriță, d - maleabilă 1p

iar după structură este:

w - feritică, x - ferito-perlitică, y - perlitică, z - austenitică 1p

4. Care dintre următoarele mărci de fontă poate fi proba analizată?

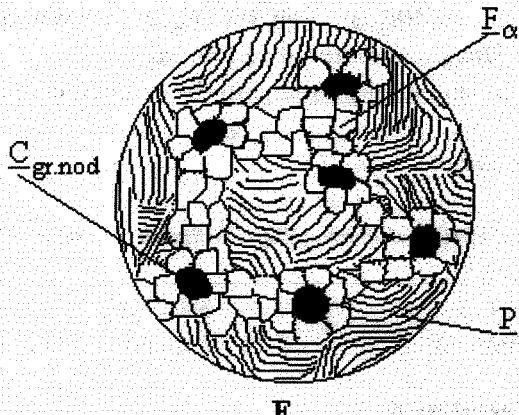
a - Fc 200, b - FrAl 22, c - Fma 350, d - Fgn 500-7 2p

5. Ce produs se obține, în mod curent, din acest tip de fontă? 2p

a – țeavă de radiator, b – cilindru de laminor, c – arbore cotit, d – cutit de strung

#### Rezolvare

- 1.
2. Perlita, ferită alfa și carbon grafit nodular
3.  $b + x$
4.  $d$
5.  $c$



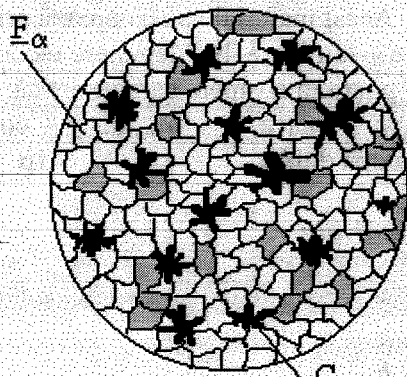
#### Testul nr.4

Analizați metalografic proba B. Se cere:

1. Desenați micrografia 1p
2. Identificați cei 2 constituenți metalografici 2p
3. Dintre constituenții identificați la pct.2, elementul chimic pur este: 1p  
a – cuprul, b – fierul alfa, c – carbonul, d – cementita,  
care s-a obținut sub formă de: 1p  
p – lamele grosolane, q – lamele fine, r – grăunți poligonali, s – cuiburi,  
în urma unei prelucrări speciale numită: 1p  
w – recoacere, x – îmbătrânire, y – revenire, z – sinterizare
4. Marca probei analizate poate fi:  
a – Fmn 370, b – Fmp 600, c – Fma 350, d – Fgn 370-17, 2p  
ceea ce înseamnă că are: 2p  
w –  $R_m = 17 \text{ MPa}$ , x –  $R_m < 350 \text{ N/mm}^2$ , y –  $\sim 17\% \text{C}$ , z –  $R_m > 370 \text{ N/mm}^2$

#### Rezolvare

- 1.
2. Ferită alfa și carbon grafit de recoacere (în cuiburi)
3.  $c + s + w$
4.  $a + z$



#### Testul nr. 5

Analizați metalografic proba H. Se cere:

1. Desenați micrografia 1p
2. Identificați cei 3 constituenți metalografici 2p
3. După aspectul în casură, proba analizată este o fontă:  
a – albă, b – pestriță, c – cu grafitt nodular, d – cu grafitt lamelar 2p  
iar după structură este:  
w – feritică, x – ferito-perlitică, y – perlitică, z – martensitică 2p

4. Marca fontei analizate poate fi:  
a – Fc 400, b – Fgn 400-12, c – Fmp 650, d – Fc 100

2p

5. Din acest material se fabrică:  
a – magneti permanenti, b – sârmă, c – ciocane, d – ceaune

1p

### Rezolvare

- 1.
2. Perlita, carbon grafit lamellar și steadită
3. d + y
4. a
5. d

### Testul nr.6

Analizați metalografic proba C, care nu a fost atacată chimic. Se cere:

1. Desenați micrografia 1p
2. Formațiunile întunecate care se observă în micrografie sunt:

a – cuiburi de grafit, b – plăci de cementită, c – lamele de grafit, d – dislocații

3. Aliajul analizat aparține sistemului:

a – Fe – C<sub>gr</sub>, b – Fe-Fe<sub>3</sub>C, c – Cu-Zn, d – Pb-Sb

4. Fonta analizată este:

a – albă, b – cenușie, c – cu grafit nodular, d – cu grafit în cuiburi

5. Marca fontei analizate poate fi:

a – Fgn 400-12, b – Fmn 370, c – Fc 400, d – Fc 100

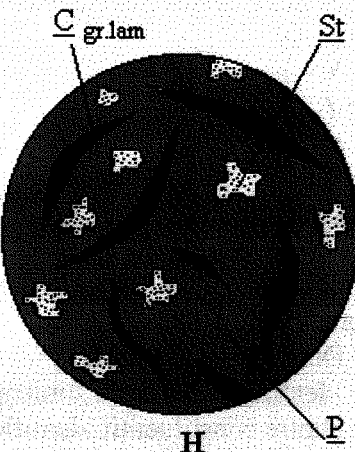
6. Acest material se elaborează prin:

a – laminare, b – depunere electrohidraulică, c – turnare, d - strunjire

și prezintă o rupere caracteristică:

w – tenace, x – fragilă, y – con-cupă, z – cupă dublă

1p



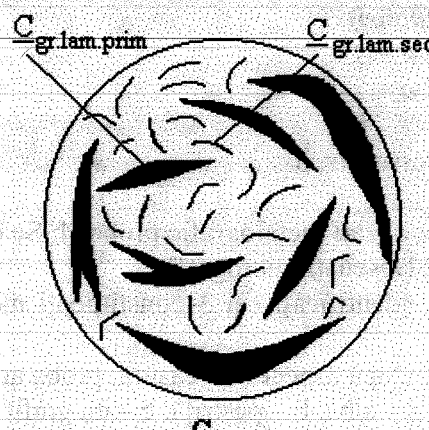
### Rezolvare

- 1.
2. c
3. a
4. b
5. d
6. c + x

### Testul nr. 7

Analizați metalografic proba A. Se cere:

1. Desenați micrografia 1p



2. Identificați cei 2 constituenți metalografici 2p
3. După aspectul în casură, proba analizată este o fontă:  
a – neagră, b – albă, c – pestriță, d – cu grafit 1p  
iar după compoziția chimică este:  
w – hipoeutectică, x – eutectică, y – hipereutectică, z – ledeburitică 1p
4. Benzile albe mari, vizibile și cu ochiul liber, corespund constituentului metalografic numit:  
a – ferită, b – perlită, c – carbon grafit, d – cementita 2p  
și au fost obținute prin:  
w – cristalizare primară, x – descompunere eutectică, y – cristalizare secundară, z – topire zonală 2p
5. Singura metodă de elaborare a acestui material este:  
a – sudarea, b – laminarea, c – turnarea, d – strunjirea 1p

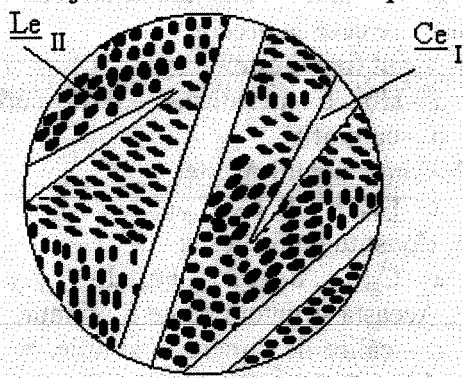
### Rezolvare

- 1.
2. *Ledeburita secundară și cementita primară*
3. *b + y*
4. *d + w*
5. *c*

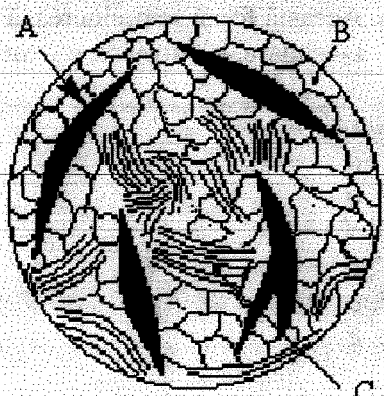
### Testul nr. 8

Se prezintă micrografia de mai jos, a unei fonte care prezintă 3 constituenți: A – lamele grosolane întunecate, B – grăușii albi poligonali și C – zone lamelare de culoare închisă. Se cere să precizați:

1. Sistemul de aliaje la care aparține fonta:  
a – Fe – Fe<sub>3</sub>C, b – Fe- C<sub>gr.</sub>, c – Al-Si,  
d – Cu-Sn 1p
2. Constituentul A este: 1p  
a – element chimic pur, b – soluție solidă,  
c – compus intermetalic, d – amestec mecanic  
și se numește:  
w – carbon grafit, x – ferită alfa, y – perlită,  
z – cementita 1p
3. Constituentul B este:  
a – Fe<sub>a</sub>, b – Ce<sub>II</sub>, c – P, d - Le<sub>II</sub> 1p
4. Marca fontei analizate poate fi:  
a – Fgn 370-17, b – Fmn 370, c – Fc 200, d – Fmp 450 2p
5. Din acest material se pot prelucra cu succes:  
a – brice, b – batiuri, c – arcuri, d – țevi 2p
6. Constituentul C este:



A



A

B

C

a - Le<sub>II</sub>, b - Ce<sub>II</sub>, c - Fe<sub>a</sub>, d - P

2p

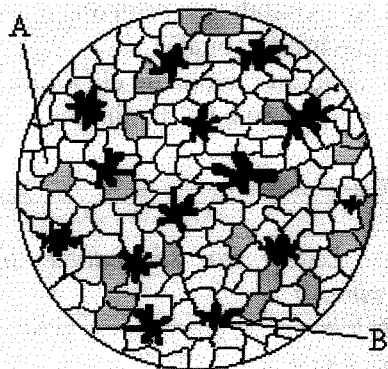
*Rezolvare*

1. b
2. a + w
3. a
4. c
5. b
6. d

**Testul nr. 9**

Se prezintă micrografia alăturată a unei fonte care prezintă 2 constituenți strucțurali, notați A și B. Se cere să precizați:

1. Tipul fontei este: 1p  
a - albă, b - perlitică, c - ferito-perlitică,  
d - cu grafit
2. Constituentul A este: 2p  
a - Fe<sub>a</sub>, b - P, c - C<sub>gr.lam.</sub>, d - Le<sub>II</sub>
3. Constituentul B este: 2p  
a - C<sub>gr.lam.</sub>, b - P, c - Fe<sub>a</sub>, d - C<sub>gr.rec.</sub>
4. Această structură poate fi obținută numai după o: 2p  
a - călire de punere în soluție, b - recoacere de maleabilizare, c - modificare chimică, d - sinterizare
5. Marca fontei analizate poate fi: 1p  
a - Fc 150, b - Fgn 400-12, c - Fmn 320, d - Fmp 600
6. Această fontă se prelucrează de obicei prin: 2p  
a - sudare, b - forjare, c - turnare, d - laminare



*Rezolvare*

1. d
2. a
3. d
4. b
5. c
6. c

## 2.9 Microscopia metalografică a oțelurilor și fontelor aliate

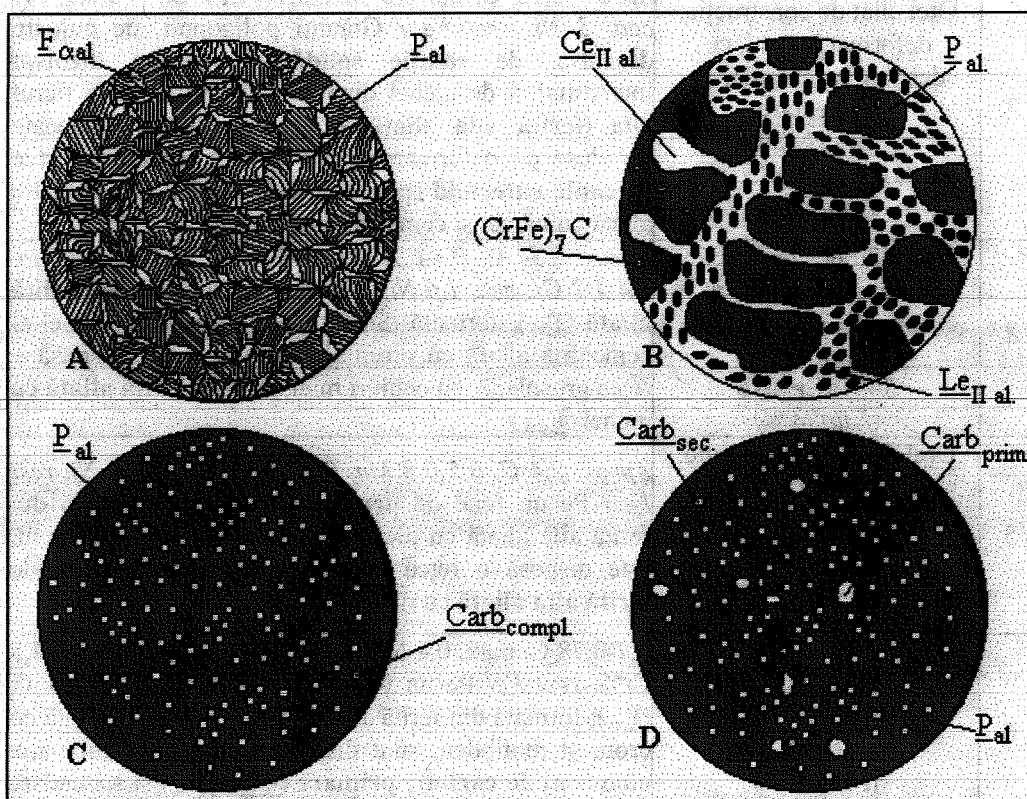
### A. Partea scrisă

Nr. crt.	Denumirea probei Marca (reactiv chimic)	Compoziție chimică, %/ Descrierea micrografiei (constituenți metalografici)
0	1	2
1	Oțel inoxidabil cu crom și nichel <b>5TiNiCr180</b> (Villela)	<i>Aprox. 0,05 C, 2 Mn, 1 Si, 8,5-10,5 Ni, cca. 18 Cr, rest Fe/ Grăunți poligonali, unii maclați, de culoare deschisă, de soluție solidă de carbon dizolvat interstitial și de nichel dizolvat substituțional în fierul gama (austenită aliată = <math>A_{al}</math>) și formațiuni globulare precipitate, de carbură de crom (Carb<sub>Cr</sub>)</i>
2	Oțel refractar <b>T20SiNiCr250</b> (H <sub>2</sub> O <sub>2</sub> )	<i>Aprox. 0,2 C, 2,1 Si, 14,7 Ni, 24 Cr, rest Fe/ Structură dendritică de turnare, formată din austenită aliată cu nichel (<math>A_{al}</math>) de culoare închisă și rețea albă de soluție solidă de crom dizolvat substituțional în fierul alfa (ferită alfa aliată = <math>F_{al}</math>), pe care se observă limitele grăunților de austenită</i>
3	Oțel aliat de construcție, deformat la cald, cu destinație generală, de cementare <b>13CrNi30</b> (4% HNO <sub>3</sub> în alcool = Nital 4%)	<i>Aprox. 0,13 C, 0,3-0,6 Mn, 0,17-0,37 Si, 0,6-0,9 Cr, cca. 3 Ni, rest Fe / Grăunți poligonali, de culoare deschisă, de soluție solidă de carbon dizolvat interstitial și de nichel dizolvat substituțional în fierul alfa (ferită alfa aliată = <math>F_{al}</math>) și șiruri întunecate (produse de deformarea plastică la cald) de amestec mecanic eutectoid (perlită aliată = <math>P_{al}</math>) de ferită alfa aliată cu nichel și cementită aliată cu crom</i>
4	Oțel aliat de construcție, deformat la cald, cu destinație generală, de îmbunătățire <b>34MoCrNi16</b> (Nital 4%)	<i>Aprox. 0,34 C, 0,4-0,7 Mn, 0,17-0,37 Si, 0,15-0,3 Mo, 1,4-1,7 Cr, cca. 1,6 Ni, rest Fe / Pe un fond de perlită aliată (<math>P_{al}</math>), formată din ferită alfa aliată cu nichel și cementită aliată cu crom și molibden, este dispusă o rețea grosolană, cu ochiuri mici, de ferită alfa aliată cu nichel (<math>F_{al}</math>)</i>
5	Oțel aliat de construcție, deformat la cald, cu destinație generală, de îmbunătățire <b>40Cr10</b> (Nital 4%)	<i>Aprox. 0,4 C, 0,5-0,8 Mn, 0,17-0,37 Si, cca. 1 Ni, rest Fe / Pe un fond de perlită aliată (<math>P_{al}</math>), formată din ferită alfa aliată cu nichel și cementită aliată cu crom, este dispusă o rețea grosolană, cu ochiuri mari, de ferită alfa aliată cu nichel (<math>F_{al}</math>)</i>
6	Oțel aliat pentru scule așchieatoare (rapid) <b>Rp 3</b> (Nital 4%)	<i>0,7-0,78 C, max. 0,4 Mn, max. 0,45 Si, 0,6 Mo, 3,8-4,5 Cr%, rest Fe/ Pe un fond întunecat de perlită aliată (<math>P_{al}</math>), formată din ferită alfa aliată și cementită aliată cu crom și molibden, sunt dispuse formațiuni globulare, albe mari de carbură primare (Carb<sub>prim.</sub>) și secundare carbură secundare (Carb<sub>sec.</sub>) de crom și molibden</i>

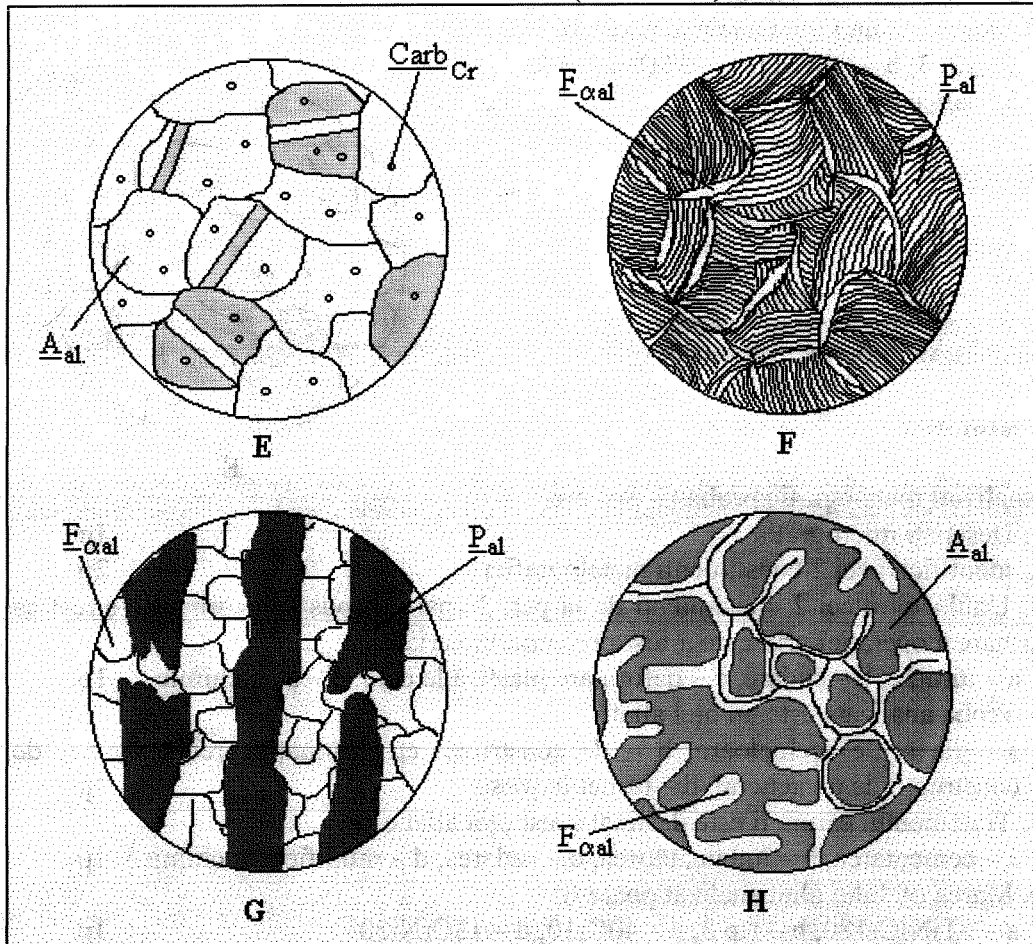
**- A. Partea scrisă (continuare)-**

<b>0</b>	<b>1</b>	<b>2</b>
7	<p>Oțel aliat de construcție, deformat la cald, cu destinație precizată (de rulmenți)</p> <p><b>RUL 1</b> <i>(Nital 4 %)</i></p>	<p>0,95-1,1 C, 0,2-0,45 Mn, max. 0,17-0,37 Si, 1,3-1,65 Cr%, rest Fe/ Pe un fond întunecat de perlă aliată (<b>P<sub>al</sub></b>), formată din ferită alfa aliată și cementită aliată cu crom, sunt distribuite uniform formațiuni globulare, albe mari de carburi complexe (<b>Carb<sub>compl.</sub></b>)</p>
8	<p>Fontă albă hipoeutectică, aliată cu crom, rezistență la uzură</p> <p><b>FaCr</b> <i>(Nital 4 %)</i></p>	<p>2,1-2,3 C, 0,6-0,8 Mn, max. 0,6 Si, 18-21 Cr, rest Fe/ Pe un fond cu aspect tipic „în piele de leopard” de amestec mecanic eutectic de perlă aliată și cementită primară aliată cu crom (ledeburită secundară aliată = <b>Le<sub>al</sub></b>), există zone albe de compus intermetalic geometric interstațional de fier și crom combinate chimic cu carbonul (cementită secundară aliată = <b>C<sub>en</sub></b>) și insule întunecate mari, cu dispunere dendritică, de perlă aliată (<b>P<sub>al</sub></b>), pe care se disting globule albe foarte mici de carburi complexe de crom, <math>(\text{CrFe})_7\text{C}</math></p>

**B. Partea desenată**



- B. Partea desenată (continuare)-



**Testul nr.1**

Analizați metalografic proba E. Se cere:

1. Desenați micrografia 1p
2. Știind că este un oțel aliat cu aprox. 9,5 %Ni și 18 %Cr și că acțiunea nichelului este predominantă, atunci faza majoritară (matricea) este:  
a – ferita, b – austenita, c – ledeburita, d – cementita 1p
- iar formațiunile globulare sunt:  
w – noduli de grafit, x – oxizi, y – carburi de crom, z – carburi de nichel 1p
3. Benzile paralele care apar pe constituentul predominant sunt: 2p  
a – blocuri de mozaic, b – dislocații, c – defecte de împachetare, d – macle
4. Principala caracteristică a oțelului aliat analizat este: 2p  
a – duritatea, b – rezistența la coroziune, c – magnetismul, d – sudabilitatea
5. Acest oțel aliat este destinat:  
a – sculelor aşchietoare, b – rulmentilor, c – magnetilor permanenți,

d – carcaselor de ceasuri

2p

6. Marca oțelului aliat analizat poate fi:

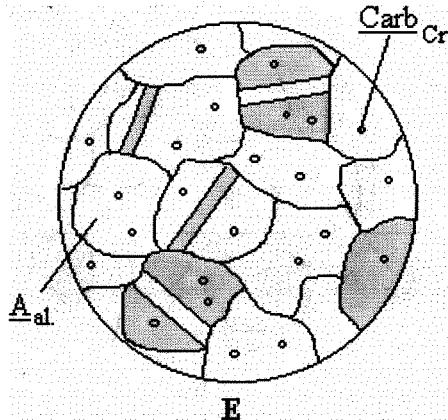
- a – Rp 3, b – OSC 11, c – 5TiNiCr180,  
d – AlCu4MgMn

1p

### Rezolvare

- 1.
2.  $b + y$
3.  $d$
4.  $b$
5.  $d$  (este nemagnetic)
6.  $c$

### Testul nr.2

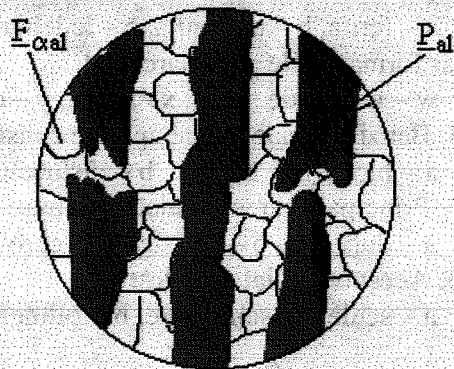


Analizați metalografic proba G. Se cere:

1. Desenați micrografia 1p
2. Identificați cele 2 constituente metalografice 2p
3. Unul dintre cele 2 constituente de la pct. 2 apare dispus sub formă de șiruri ca urmare a operației prin care a fost prelucrat materialul:  
a – turnare, b – sudare, c – deformare plastică la cald, d – atac chimic 1p
4. Proba analizată este un oțel aliat:  
a – de scule așchietoare, b – de construcții cu destinație precizată, c – de construcții de uz general, d – turnat în piese 1p
5. Tratamentul căruia îi este destinat acest oțel aliat este:  
a – cementarea, b – îmbunătățirea, c – sudarea, d – modificarea chimică 1p
6. Marca oțelului aliat analizat poate fi:  
a – 5TiNiCr180, b – Rp 3, c – 40Cr10, d – 13CrNi30 1p
7. Acest oțel conține aproximativ:  
a – 0,05 %C, b – 3 %C, c – 0,4 %C, d – 0,13 %C 1p  
și este aliat cu:  
p – W, q – Ni, r – Cr, s – Mo 1p  
în proporție aproximativă de:  
w – 18 %, x – 20 %, y – 3 %, z – 0,05 % 1p

### Rezolvare

- 1.
2. Ferită alfa aliată și perlita aliată
3. c
4. c
5. a
6. d
7.  $d + q + y$



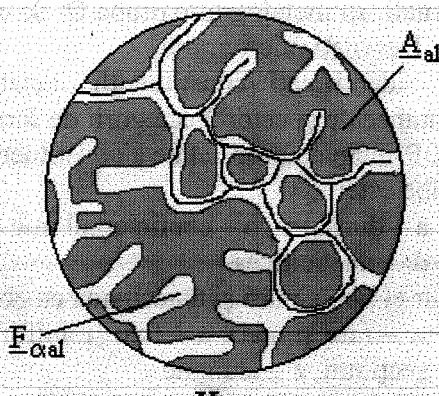
### Testul nr.3

Analizați metalografic proba H. Se cere:

1. Desenați micrografia 1p
2. Identificați cei 2 constituenți metalografici 2p
3. Căruia, dintre cei 2 constituenți identificați la pct. 2, i se datorează faptul că proba este nemagnetică? 1p
4. Cărui element de aliere i se datorează prezența în microstructură a constituentului identificat la pct. 3? a –Ni, b –Cr, c – Si, d – 40Cr10 2p
5. Proba analizată este un oțel aliat:  
a – de scule așchietoare, b – de scule de măsurat, c – de construcții de uz general, d – cu proprietăți speciale 1p
6. Marca aliajului analizat poate fi:  
a – 5TiNiCr180, b – T20SiNiCr250, c – 200Cr120, d – 40Cr10 1p
7. Piesa din care a fost tăiată proba analizată este:  
a – partea activă a unui macaz de cale ferată, b – berbecul unui ciocan de forjare liberă, c – o rolă transportoare a țevilor laminate la cald, d – un rulment de înaltă turărie 1p  
și a fost prelucrată prin:  
w – turnare, x – sinterizare, y – laminare, z – sudare 1p

#### Rezolvare

- 1.
2. Austenită aliată și ferită alfa aliată
3. Austenitei
4. a
5. d
6. b
7. c + w



### Testul nr. 4

Analizați metalografic proba A. Se cere:

1. Desenați micrografia 1p
2. Identificați cei 2 constituenți metalografici 2p
3. Care dintre cei 2 constituenți de la pct.2 conține nichel dizolvat în rețeaua cristalină? 1p
4. Proba analizată este un oțel aliat:  
a – de scule așchietoare, b – de construcții cu destinație precizată, c – de construcții de uz general, d – cu proprietăți speciale 1p
5. Tratamentul care trebuie aplicat acestui oțel aliat se numește:  
a – cementare, b – îmbunătățire, c – topire, d – sudare 1p

6. Marca oțelului aliat analizat poate fi:  
 a – 5TiNiCr180, b – 34MoCrNi16, c – RUL 1, d – Rp 3

1p

7. Conținutul aproximativ de carbon al oțelului este:  
 a – 0,05 %C, b – 0,34 %C, c – 0,13 %C, d – 1,2 %C

1p

iar principalul element de aliere este:

p – W, q – Ni, r – Cr, s – Mo

1p

care se găsește într-o cantitate aproximativă de:

w – 18 %, x – 1,6 %, y – 20 %, z – 3 %

1p

### Rezolvare

1.

2. Ferită alfa aliată și perlită aliată

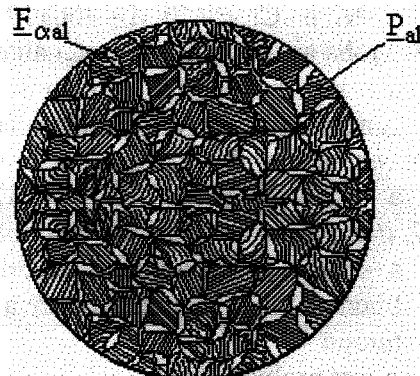
3.  $F_{\text{aal}}$  fiindcă principala tendință a nichelului este dizolvarea în fier

4. c

5. b

6. b

7.  $b + q + x$



A

### Testul nr.5

Analizați metalografic proba D. Se cere:

1p

1. Desenați micrografia

2. Identificați constituenții metalografici care corespund matricei metalice întunecate și celor 2 categorii de formațiuni globulare albe

3p

3. Principala proprietate a constituentului reprezentat prin formațiunile globulare albe este:

a – duritatea, b – coeficientul mic de frecare, c – conductivitatea electrică,  
 d – plasticitatea

2p

dar el poate mări și tenacitatea cu condiția ca formațiunile globulare să fie cât mai:

w – rare și mari, x – fine și uniform distribuite, y – fine și aglomerate în centrul secțiunii, z – alungite

2p

4. Proba analizată este un oțel aliat:

a – de scule aşchieitoare, b – de construcții cu destinație precizată, c – de nitrurare, d – cu proprietăți magnetice speciale

1p

5. Marca oțelului aliat analizat poate fi:

a – 5TiNiCr180, b – Rp 3, c – CuZn37, d – 13CrNi30

1p

### Rezolvare

1. Micrografia D, din partea desenată, corespunde oțelului Rp 3

2. Matricea metalică întunecată este perlita aliată iar formațiunile globulare albe sunt carburi primare (cele mari) și secundare (cele mici)

3.  $a + x$   
4.  $a$   
5.  $b$

### Testul nr. 6

Analizați metalografic proba C. Se cere:

1. Desenați micrografia 1p

2. Matricea metalică întunecată corespunde:

a – feritei, b – austenitei, c – perlitei,

d – cementitei

1p

iar formațiunile globulare albe sunt:

w – noduli de grafit, x – oxizi, y – carburi,

z – insule de ferită 1p

3. Știind că oțelul conține 0,95-1,1 C și că principalul element de aliere este cromul, acesta se va regăsi în microstructură sub formă de:

a – element chimic pur, b – dizolvat în austenită, c – dizolvat în ferită,

d – carburi complexe

1p

4. Proba analizată este un oțel aliat:

a – de construcții de uz general, b – de construcții cu destinație precizată, c – rezistent la coroziune, d – de scule așchietoare 2p

din care se fabrică, cu precădere:

w – cuțite de strung, x – magneti permanenti, y – tacâmuri, z – rulmenți 2p

5. Marca oțelului aliat analizat poate fi:

a – RUL 1, b – OSC 11, c – CuZn37, d – 5TiNiCr180

2p

### Rezolvare

- 1.
2.  $c + y$
3.  $d$
4.  $b + z$
5.  $a$

### Testul nr. 7

Analizați metalografic proba B. Se cere:

1. Desenați micrografia 1p

2. Identificați cei 4 constituente metalografici

2p

3. Aliajul analizat este:

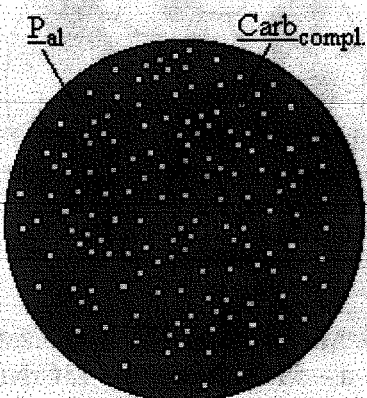
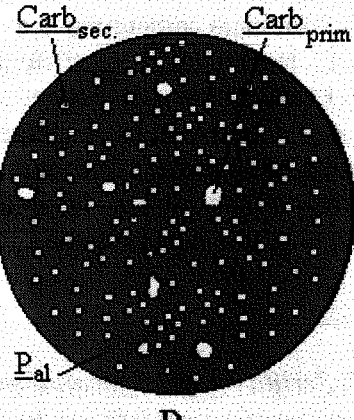
a – un oțel, b – o fontă, c – o alamă, d – un silumin

1p

4. Principalul element de aliere este:

a – plumbul, b – nichelul, c – cromul, d – siliciul

2p



5. Principala caracteristică a aliajului analizat este:

a – tenacitatea, b – rezistența la uzură, c – sudabilitatea, d – plasticitatea 2p

6. Elementul de aliere identificat la pct.3 are efect:

a – globulizant, b – gamagen, c – carburigen, d – grafitizant 1p

și din acest motiv s-a obținut:

w – o fontă albă, x – o fontă cenușie, y – un oțel inoxidabil austenitic, 1p

z – un aliaj antifricțiune

### Rezolvare

1.

2. Perlită aliată, cementită secundară aliată, ledeburită secundară aliată și carburi complexe de fier și crom

3. b

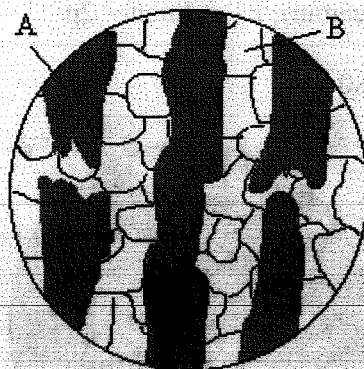
4. c

5. b

6. c + w

### Testul nr.8

Se microstructura de mai jos care conține 2 constituente și corespunde unui oțel aliat. Se cere să precizați:



1. Categoria oțelului este: 2p

a – de construcții de uz general, b – de construcții cu destinație precizată, c – de scule așchietoare, d – cu proprietăți speciale

2. Prelucrarea finală a materialului a fost:

a – turnarea, b – deformarea plastică la rece, c – deformarea plastică la cald, d – sudarea

2p

3. Constituentul A este: 2p

a –  $\text{Fe}_{\text{al}}$ , b –  $\text{P}_{\text{al}}$ , c –  $\text{A}_{\text{al}}$ , d –  $\text{C}_{\text{grafit}}$

4. Constituentul B este: 2p

a –  $\text{Fe}_{\text{al}}$ , b –  $\text{P}_{\text{al}}$ , c –  $\text{A}_{\text{al}}$ , d –  $\text{C}_{\text{grafit}}$

5. Marca oțelului aliat analizat poate fi:

a – 5TiNiCr180, b – 13CrNi30, c – 40Cr10, d – RUL 1 2p

### Rezolvare

1. a

2. c

3. b

4. a

5. b

## 2.10 Microstructuri ale aliajelor pe bază de cupru

### A. Partea scrisă

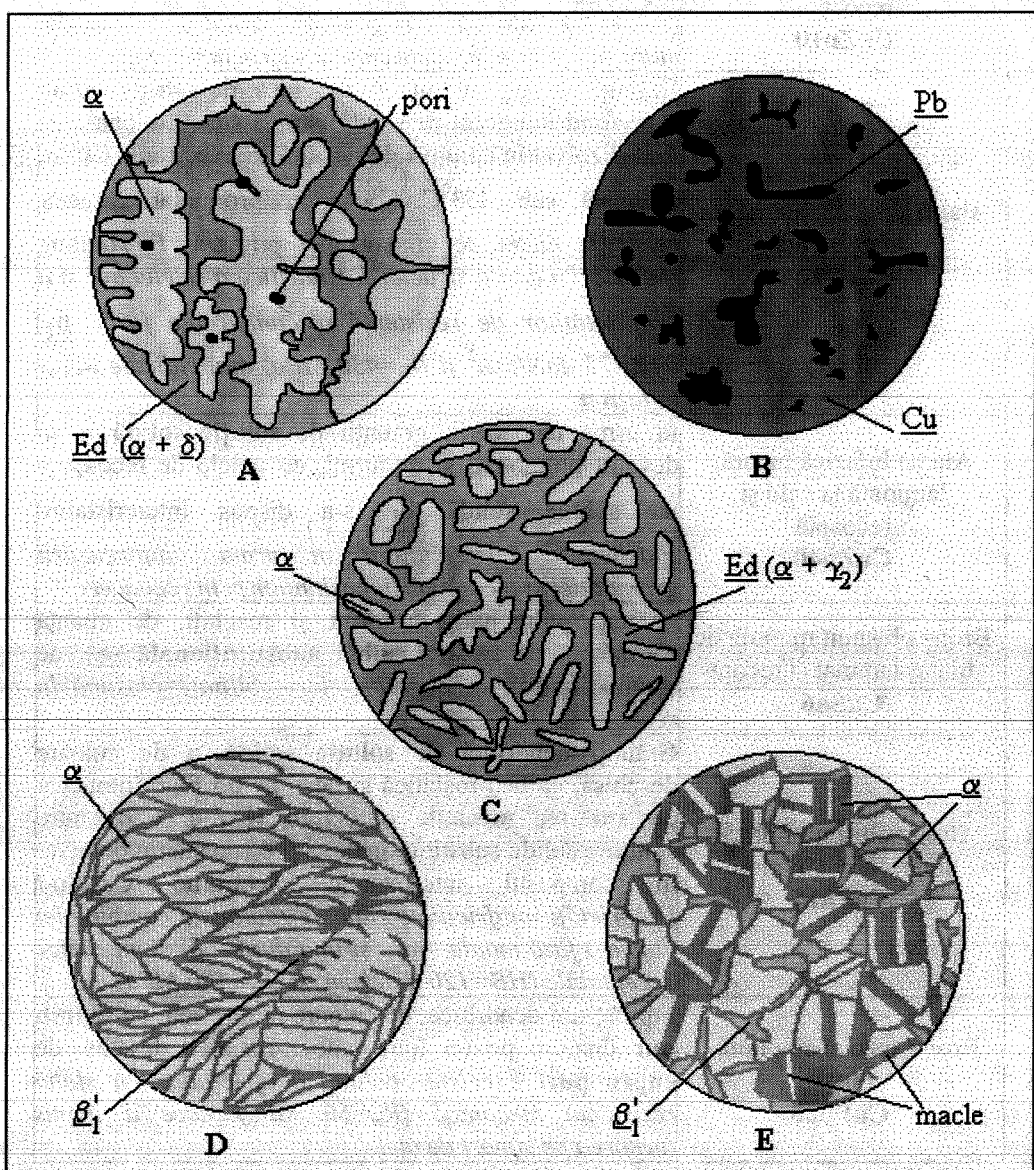
Atac chimic: 30 % HNO<sub>3</sub> în apă distilată

Nr. crt.	Denumirea probei Marca	Descrierea micrografiei (constituenți metalografici)/ Proprietăți
0	1	2
1	Alamă monofazică binară, laminată la rece și recoaptă <b>CuZn10</b>	Grăunți poligonali și uniformi, cu macle de recoacere, de soluție solidă substituțională de zinc dizolvat în cupru ( $\alpha$ ), de culoare galben-aurie/ <i>Bună plasticitate</i> ( $A_5=40\%$ ) datorată omogenității fazice și numărului mare de sisteme de alunecare din structurile c.c.f.
2	Alamă bifazică binară, în stare turnată <b>CuZn40</b>	Grăunți alungiți de culoare deschisă, de soluție solidă $\alpha$ pe fond întunecat de soluție solidă substituțională de zinc dizolvat în compusul intermetalic electronic CuZn, ordonată sub 453°C ( $\beta_1$ ), cu pronunțat caracter dendritic dictat de cristalizarea primară/ <i>Plasticitate redusă, din cauza structurii dendritice a rețelei cvc și a proprietăților de rezistență mecanică ale fazei <math>\beta_1</math> (HB=75 daN/mm<sup>2</sup> și R<sub>m</sub>=430 MPa) mai ridicate decât la faza <math>\alpha</math></i>
3	Alamă bifazică binară, laminată la cald și recoaptă <b>CuZn40</b>	În urma recoacerii, grăunții de soluție solidă $\alpha$ au devenit poligonali și uniformi, cu macle de recoacere iar soluția solidă $\beta_1$ s-a dispus intercristalin/ <i>Plasticitate îmbunătățită, în urma uniformizării granulației și a eliminării tensiunilor prin recoacere</i>
4	Bronz obișnuit monofazic binar, laminat și recopărt <b>CuSn6</b>	Grăunți poligonali, uniformi și maclați, de nuanță cărămizie, de soluție solidă substituțională ( $\alpha$ ), de staniu dizolvat în cupru/ <i>Deformabilitate plastică la rece</i>
5	Bronz obișnuit bifazic binar, turnat în piese <b>CuSn14</b>	Grăunți dendritici de soluție solidă $\alpha$ de culoare deschisă, galben-roșiatică și pori, pe un fond întunecat de amestec mecanic eutectoid ( $Ed=\alpha + \delta$ ) între soluțiile solide substituționale $\alpha$ și $\delta$ (de staniu dizolvat în compusul intermetalic electronic Cu <sub>3</sub> Sn <sub>8</sub> )/ <i>Proprietăți antifricțiune ridicate (datorate combinației dintre o fază moale – <math>\alpha</math> – și una dură – <math>\delta</math>) și mecanice acceptabile (HB=120 daN/mm<sup>2</sup> și R<sub>m</sub>=400 MPa)</i>
6	Bronz special cu plumb, turnat <b>CuPb25</b>	Formațiuni dendritice, de culoare întunecată, de plumb pur dispuse pe un fond galben-roșiatic deschis, de cupru pur/ <i>Excelente calități antifricțiune dar slabă rezistență mecanică (R<sub>m</sub>=60 MPa) care a impus turnarea pe suport de otel</i>

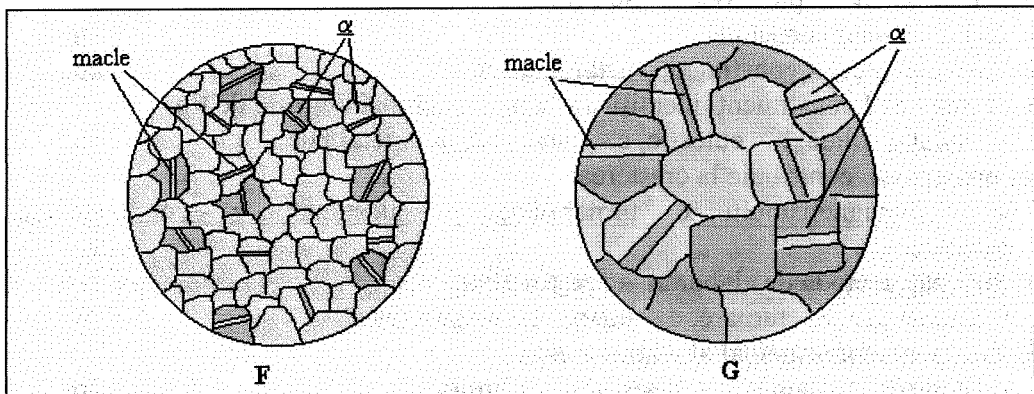
- A. Partea scrisă (continuare)-

0	1	2
7	Bronz special cu aluminiu aliat cu fier, laminat la cald și recopț <b>CuAl10Fe3</b>	Grăunți alungiți, cu capete rotunjite, de soluție solidă substituțională ( $\alpha$ ), de aluminiu și fier dizolvate în cupru, pe un fond întunecat de amestec mecanic eutectoid ( $Ed = \alpha + \gamma_2$ ). Deformabilitate plastică la cald, proprietăți antifricțiune acceptabile și foarte bună rezistență la coroziune

B. Partea desenată



- B. Partea desenată (continuare)-



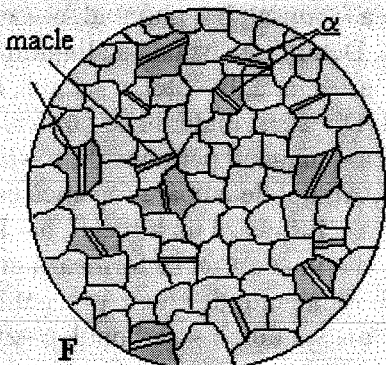
**Testul nr.1**

Analizați microscopic proba F. Se cere:

1. Desenați microstructura 1p
2. Se observă un singur constituent metalografic care este:  
a – un element chimic pur, b – o soluție solidă interstitială, c – o soluție solidă de substituție, d – un compus intermetalic electrochimic, 1p  
rezultat prin:  
w – combinarea chimică a Cu cu Zn, x – dizolvarea Cu în Zn, y – dizolvarea Zn în Cu, z – amestecarea mecanică a Cu cu Zn 1p
3. Acest material se poate prelucra prin:  
a – deformare plastică la rece, b – călire martensitică, c – cementare, d – nitrurare, 2p
4. Una dintre proprietățile materialului analizat este: 1p  
a – duritatea, b – călibilitatea, c – feromagnetismul, d – rezistență la coroziune
5. Marca aliajului poate fi:  
a – CuPb25, b – OL44, c – CuZn10, d – CuZn40 , 2p
6. Microstructura observată la acest aliaj apare numai după:  
a – turnare, b – recoacere, c – deformare plastică la rece, d – călire 2p

*Rezolvare*

- 1.
2. c + y
3. a
4. d
5. c
6. b



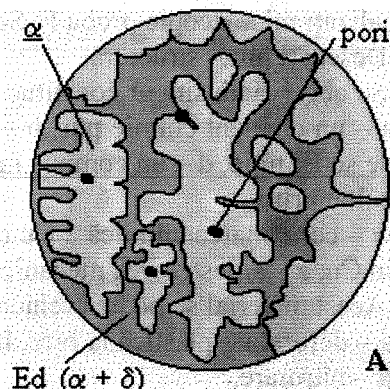
## Testul nr.2

Analizați microscopic proba A. Se cere:

1. Desenați microstructura 1p
2. Identificați cei 2 constituenți metalografici 2p
3. Dintre cei 2 constituenți identificați la pct.2, cel mai dur este de tip:  
a – soluție solidă, b – eutectic, c – eutectoid, d – metal pur 1p  
iar prezența sa contribuie la creșterea:  
w – feromagnetismului, x – turnabilității, y – plasticității, z – conductivității electrice 1p
4. Precizați metoda de elaborare a acestui aliaj:  
a – sinterizare, b – turnare, c – sudare, d – forjare liberă 2p
5. Componentul principal al aliajului este:  
a – cuprul, b – staniul, c – fierul, d – aluminiul 1p
6. Marca aliajului poate fi:  
a – CuZn10, b – Y-Sn83, c – OLC10, d – CuSn14, 2p

Rezolvare

- 1.
2. Soluție solidă a, de staniu dizolvat substituțional în cupru și amestec mecanic eutectoid Ed al soluțiilor solide a și δ (de staniu dizolvat substituțional în compusul intermetalic electronic  $Cu_3Sn_8$ )
3.  $c + x$
4. b
5. a
6. d



## Testul nr. 3

Analizați microscopic proba B. Se cere:

1. Desenați microstructura 1p
2. Precizați care este componentul principal al aliajului:  
a – cuprul, b – plumbul, c – zincul, d – fierul 1p
3. Denumirea uzuală a aliajului este:  
a – alamă, b – oțel, c – fontă, d – bronz 1p
4. Din acest material se fabrică, în mod curent:  
a – magneti permanenți, b – lagăre de alunecare, c – dălti, d – rulmenți 2p
5. Aliajul de culoare roșiatică este depus pe un suport de oțel deoarece:  
a – formează un bimetal, b – îl plăchează anticoroziv, c – este prea moale, d – în acest fel se formează un nou aliaj 1p
6. Elementul de aliere, prezent în microstructură sub formă de metal pur, este:  
a – staniul, b – carbonul, c – zincul, d – plumbul 1p

iar prezența lui are rolul de-a contribui la:

- w – creșterea durității, x – micșorarea frecării, y – îmbunătățirea plasticității,  
z – eliminarea impurităților

1p

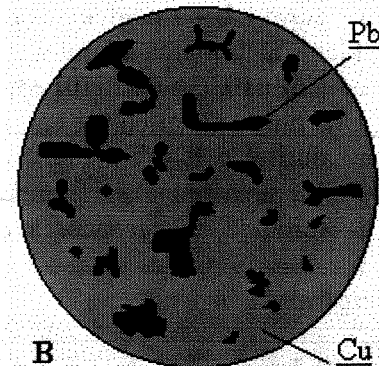
7. Marca aliajului poate fi:

- a – CuPb25, b – CuSn14, c – Fc100, d – CuZn10 ,

2p

*Rezolvare*

- 1.
2. a
3. d
4. b
5. c
6. d + x
7. a



#### Testul nr.4

Analizați microscopic proba G. Se cere:

1. Desenați microstructura 1p
2. Știind că este un bronz obișnuit binar și ținând cont că se observă un singur constituent metalografic, identificați compoziția chimică a aliajului dintre:  
a – Sn-10 %Cu, b – Cu -6 %Sn, c – Cu -14 %Sn, d – Cu-40 %Zn 2p
3. Tipul constituentului metalografic din microstructură este:  
a – o soluție solidă, b – compus intermetalic, c – element chimic pur,  
d – amestec mecanic, 2p

iar categoria sa este:

- w – intersticială, x – de substituție, y – electronic, z – eutectoid 2p
4. Pentru a se obține microstructura acestui aliaj este necesară o prelucrare de:  
a – turnare, b – sudare, c – laminare, d – strunjire 1p
  - urmată de un tratament de:  
w – călire, x – cementare, y – recoacere, z – îmbătrânire 1p

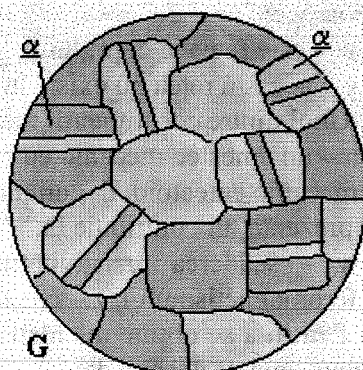
5. Marca aliajului poate fi:

- a – CuZn10, b – CuSn14, c – CuZn40, d – CuSn6 ,

1p

*Rezolvare*

- 1.
2. b
3. a + x
4. c + y
5. d



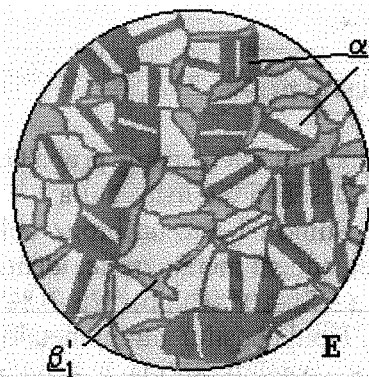
#### Testul nr. 5

Analizați microscopic proba E. Se cere:

1. Desenați microstructura 1p
2. Identificați cei 2 constituenți metalografici 2p
3. Componentul principal al aliajului este:  
a – cuprul, b – zincul, c – staniul, d – aluminiul 1p
4. Elementul principal de aliere este:  
a – cuprul, b – zincul, c – staniul, d – aluminiul 1p
5. Identificați marca aliajului dintre:  
a – CuZn10, b – CuAl10Fe3, c – CuSn14, d – CuZn40, 1p
6. Una dintre proprietățile caracteristice aliajului este:  
a – duritatea, b – feromagnetismul, c – rezistența la coroziune, d – porozitatea 2p
7. Prelucrarea finală a aliajului a fost:  
a – turnarea, b – recoacerea, c – laminarea la rece, d – sudarea 2p

### Rezolvare

- 1.
2. Soluțiile solide  $\alpha$  (de zinc dizolvat substituțional în cupru) și  $\beta'_1$  (de zinc dizolvat substituțional în compusul intermetalic electronic CuZn) dispusă intercristalin 1p
3. a
4. b
5. d
6. c
7. b



### Testul nr.6

Analizați microscopic proba C. Se cere:

1. Desenați microstructura 1p
2. Care dintre cei 2 constituenți metalografici, observați în microstructura probei, are rețea cristalină cvc?  
a – amestecul mecanic eutectoid, b – soluția solidă, c – amândoi, d – nici unul  
deoarece:  
w – este rețeaua cuprului, x – prin amestecare mecanică rezultă rețeaua cvc,  
y – această rețea nu există în cazul de față, z – sunt amorfi 1p
3. Unul dintre constituenții metalografici este:  
a – un amestec mecanic eutectic, b – o soluție solidă intersticială, c – un amestec mecanic eutectoid, d – un monotectic 1p
- și prezența lui contribuie la:  
w – scăderea rezistențității electrice, x – reducerea frecării, y – apariția feromagnetismului, z – creșterea turnabilității 1p
4. Pentru a se obține microstructura aliajului, desenată la pct.1, materialul trebuie supus unei prelucrări de:

- a – laminare, b – sudare, c – turnare, d – strunjire 1p  
 urmată de un tratament de:  
 w – călire, b – recoacere, c – modificare chimică, d – nitrurare 1p
5. Componentul principal al aliajului este: a – zincul, b – cuprul, c – staniul, d – aluminiul 1p  
 iar principalul element de aliere este:  
 w – cuprul, x – zincul, y – staniul, z – aluminiul 1p
6. Marca aliajului poate fi: a – CuZn10, b – CuSn6, c – CuPb25, d – CuAl10Fe3 1p

### Rezolvare

- 1.
2.  $d + y$
3.  $c + z$
4.  $a + b$
5.  $b + z$
6.  $d$

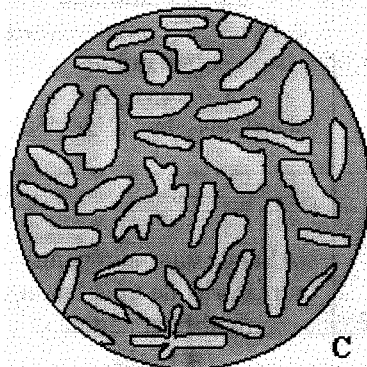
### Testul nr. 7

Se dă proba D, care este o alamă. Se cere:

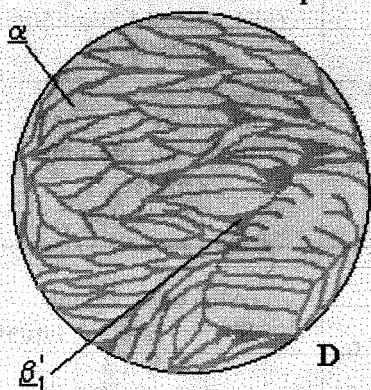
1. Desenați microstructura 1p
2. Identificați cele 2 constituente metalografice 2p
3. Care dintre este cel mai dur și ce legătură are acest lucru cu rețeaua lui cristalină? 2p
4. Marca aliajului poate fi:  
 a – CuZn10, b – CuZn40, c – CuPb25, d – CuSn6 , 1p
5. Principalul element de aliere este:  
 a – cuprul, b – staniul, c – zincul, d – aluminiul 2p
6. Piesa din care a fost debitată proba este:  
 a – un cui, b – o placă așchiezătoare, c – o bucsă turnată pentru robinet de apă potabilă, d – un magnet permanent 2p

### Rezolvare

- 1.
2. Soluțiile solide  $\alpha$  (pe bază de cupru) cu disponere dendritică, după turnare și  $\beta'_1$  (pe bază de compusul intermetalic electronic CuZn)
3.  $\beta'_1$  din cauza rețelei CVC cu puține sisteme de alunecare
4. b
5. c
6. c



C



D

## 2.11 Microstructuri ale aliajelor pe bază de aluminiu, zinc, staniu și plumb

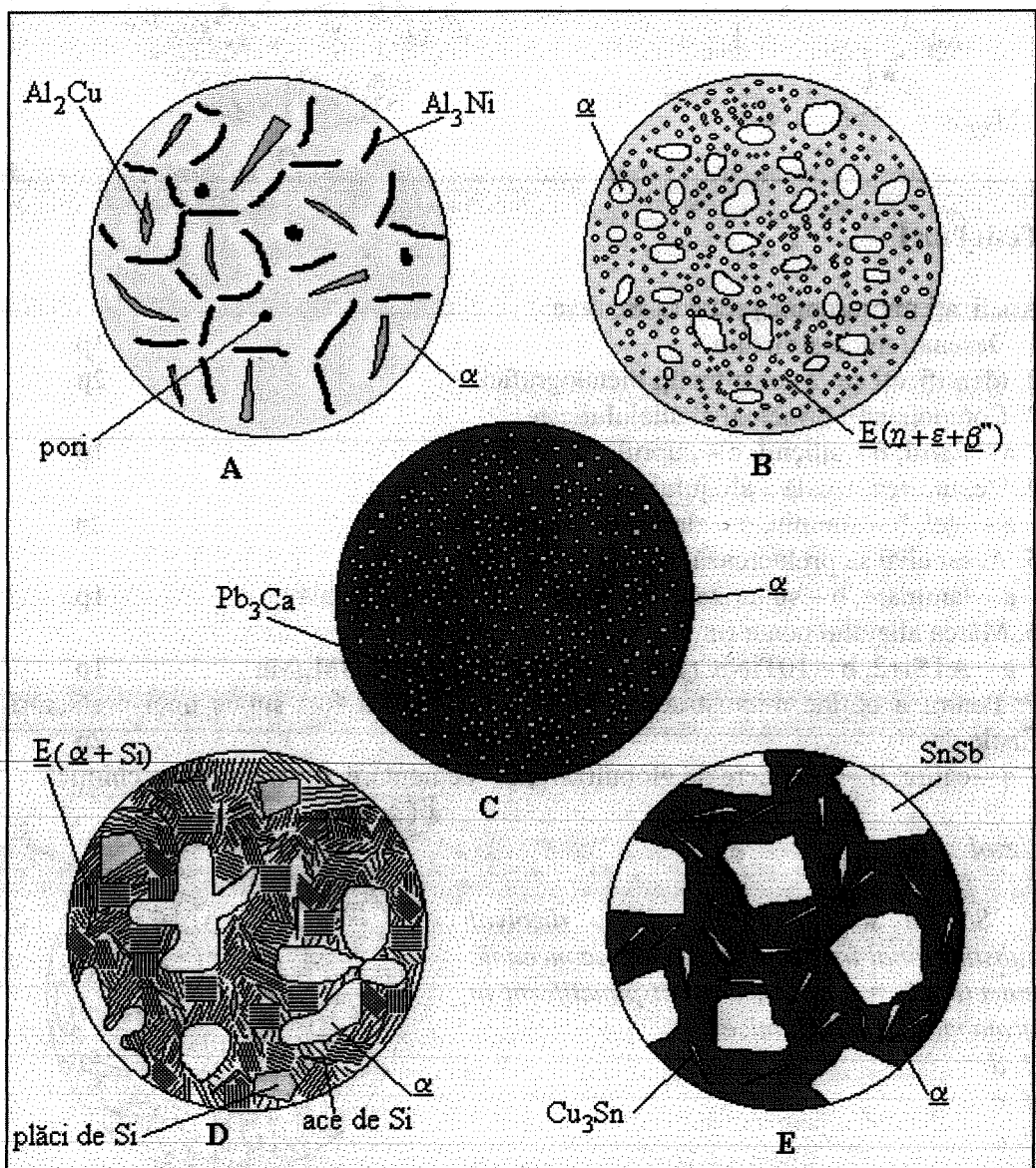
### A. Partea scrisă

Nr. crt.	Denumirea probei Marca (Comp. chimic, %)	Atac chimic/ Descrierea micrografiei (constituenți metalografici)/ Utilizări
0	1	2
1	Aliaj de aluminiu deformabil, complex, călit și îmbătrânit <b>AlCu4MgMn</b> (Al-4,2Cu-0,7Mn-0,6Mg-0,5Si)	$10gNaOH + 100cm^3$ apă distilată la $70^\circ C$ / Într-o matrice metalică argintie, de soluție solidă ( $\alpha$ ) obținută prin dizolvarea substituțională a Cu, Mg și Mn în rețeaua Al, se găsesc compuși intermetalici de culoare întunecată, precipitați sub formă de rețea fină discontinuă ( $Al_2Cu$ ) sau de particule dispersate ( $Mg_2Si$ )/ Pieze din industria aeronaumatică
2	Aliaj de aluminiu pentru turnătorie, de tip silumin, modificat parțial <b>ATSi12</b> (Al-12Si)	$10gNaOH + 100cm^3$ apă distilată/ În matricea metalică formată din amestecul mecanic eutectic ( $E = \alpha + Si$ ) denaturat (acicilar), o parte dintre plăcile și ácele de Si pur, primar, (structură hipereutectică) au fost înlocuite de soluția solidă $\alpha$ (structură hipereutectică) de Si dizolvat substituțional în Al, prezentă în unele locuri sub formă de formațiuni dendritice albe/ Aplicabilitatea redusă, din cauza neterminării modificării chimice
3	Aliaj de aluminiu pentru turnătorie, de tip silumin, modificat total <b>ATSi12</b> (Al-12Si-0,05Na)	$10gNaOH + 100cm^3$ apă distilată/ Grăunți albi, cu capete rotunjite de soluție solidă $\alpha$ într-o matrice de amestec mecanic eutectic ( $E = \alpha + Si$ ) devenit punctiform în urma modificării (structură hipoeutectică finisată)/ Pieze turnate, ușoare, cu bună plasticitate ( $A_5 = 8\%$ ) și rezistență mecanică acceptabilă ( $R_m = 200 MPa$ )
4	Aliaj de aluminiu complex, pentru turnătorie <b>ATNCu4Ni2Mg2</b> (Al-4,5Cu-2Ni-1,7Mg-0,8Fe-0,8Si-0,6Mn)	Neatacat chimic/ Pori de turnare și compuși intermetalici, dispusi sub formă de ace de culoare alb-roz pal ( $Al_2Cu$ ) sau sub formă de rețea incompletă întunecată ( $Al_3Ni$ ) pe un fond argintiu de soluție solidă complexă ( $\alpha$ ) pe bază de Al/ Pistoane auto, turnate în amestec de formare
5	Aliaj Zn-Al-Cu (Zamak) turnat sub presiune <b>ZnAl4Cu1</b> (Zn-4Al-1Cu)	Nital 3 %/ Grăunți rotunjiți, de culoare deschisă, de soluție solidă $\eta$ , de Cu dizolvat substituțional în Zn, pe un fond de eutectic ternar ( $E = \eta + \beta + \epsilon$ ) globular/ Pieze complexe mici, turnate sub presiune
6	Aliaj antifricțiune Sn-Sb-Cu (Babbit), turnat <b>Y-Sn83</b> (Sn-11Sb-6Cu)	Nital 3 %/ MATRICEA METALICĂ = soluție solidă complexă ( $\alpha$ ) de Sb și Cu dizolvate substituțional în Sn. CRISTALELE PURTĂTOARE = compuși intermetalici sub formă de plăci albe mari ( $SnSb$ ) și de ace albe mici ( $Cu_3Sn$ )/ Turnarea de lagăre antifricțiune ușor fuzibile

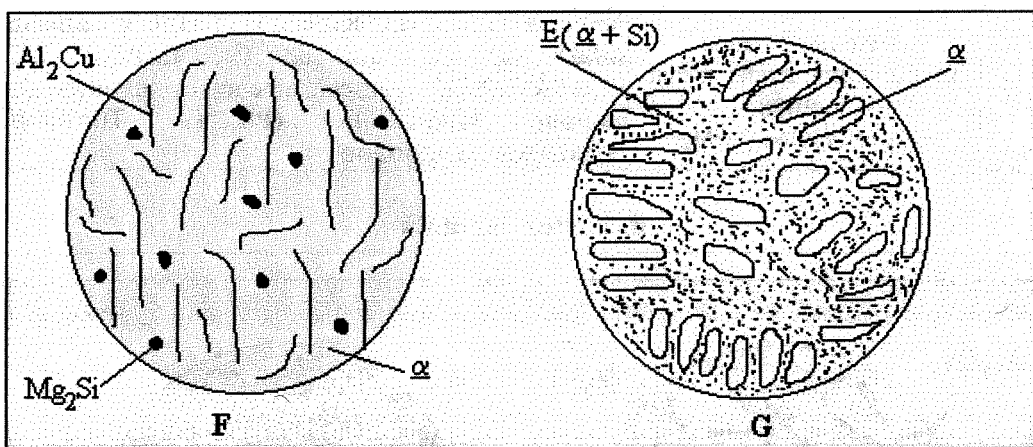
- A. Partea scrisă (continuare)-

0	1	2
7	Aliaj antifricțiune Pb-Ca (Bahnmetall), turnat <b>Y-Pb98</b> (Pb-0,65Ca-0,6Na-0,25Mg)	Neatacat chimic/ MATRICEA METALICĂ = soluție solidă ( $\alpha$ ) pe bază de Pb. CRISTALELE PURTĂTOARE = particule albe mici și uniforme ale compus intermetalic ( $Pb_3Ca$ )/ Turnarea cuzineteilor de vagoane

B. Partea desenată



- B. Partea desenată (continuare)-



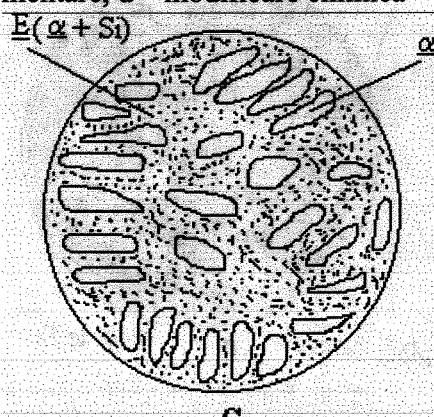
**Testul nr.1**

Analizați microscopic proba G. Se cere:

1. Desenați microstructura 1p
2. Identificați cei 2 constituenți metalografici 2p
3. Componentul principal al aliajului este:  
a – fierul, b – siliciul, c – cuprul, d – aluminiul 1p
4. Denumirea uzuală a aliajului este:  
a – oțel, b – silumin, c – alamă, d – duralumin 2p
5. Acest aliaj se prelucrează în mod ușual prin:  
a – laminare, b – sinterizare, c – turnare, d – topire zonală 1p
6. Marca aliajului poate fi:  
a – ATSi12, b – 10TiNiCr180, c – Y-Sn83, d – AlCu4MgMn 1p
7. Pentru a obține microstructura analizată, aliajul a fost supus unei prelucrări finale de:  
a – călire, b – recoacere de globulizare, c – cementare, d – modificare chimică 2p

**Rezolvare**

- 1.
2. Soluție solidă ( $\alpha$ ) de siliciu dizolvat substituțional în aluminiu și amestec mecanic eutectic ( $E = \alpha + Si$ ), devenit punctiform în urma modificării chimice
3. d
4. b
5. c
6. a
7. d



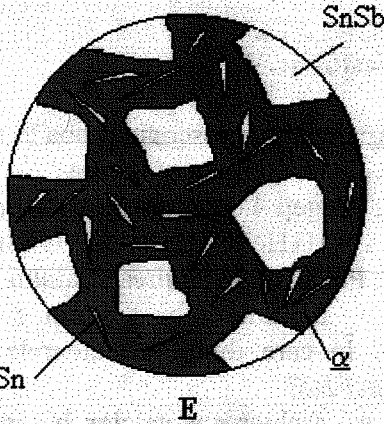
## Testul nr.2

Analizați microscopic proba E. Se cere:

1. Desenați microstructura 1p
2. Identificați cei 3 constituenți metalografici 3p
3. Știind că microstructura se compune dintr-o matrice metalică și din cristale purtătoare, specificați care sunt proprietățile mecanice specifice fiecărei 2p
4. Care este metoda de prelucrare a acestui aliaj?  
a – sudare, b – sinterizare, c – turnare, d – laminare 1p
5. Identificați marca aliajului dintre:  
a – ATSi12, b – Y-Pb98, c – Y-Sn83, d – ZnAl4Cu1 1p
6. Acest material se utilizează, cu predilecție, pentru confectionarea:  
a – tablei laminate, b – plăcuțelor aşchietoare, c – sabotilor de frână,  
d – lagărelor antifricțiune 2p

### Rezolvare

- 1.
2. Matricea metalică este soluția solidă ( $\alpha$ ) de stibiu și cupru dizolvate substituțional în staniu iar cristalele purtătoare sunt compuși intermetalici de culoare albă care apar sub formă de plăcile mari (SnSb) și de ace mici ( $Cu_3Sn$ )
3. Matricea metalică ( $\alpha$ ) este moale, cu coeficient mic de frecare iar cristalele  $Cu_3Sn$  purtătoare sunt dure
4. c
5. b
6. d



## Testul nr.3

Analizați microscopic proba C. Se cere:

1. Desenați microstructura 1p
- 2.. Componentul principal al aliajului este:  
a – plumbul, b – staniul, c – calciul, d – fierul 1p
3. Matricea metalică este:  
a – grafitul, b – un amestec mecanic eutectic, c – o soluție solidă, d – un compus intermetalic 1p
4. Formațiunile globulare din microstructură au formula chimică:  
a –  $Fe_2O_3$ , b –  $Pb_3Ca$ , c – SnSb, d –  $Al_2Cu$  2p
5. Metoda uzuială de prelucrare a acestui aliaj este:  
a – forjarea la cald, b – laminarea, c – electroliza, d – turnarea 2p

6. Marca aliajului analizat poate fi:

- a – Y-Sn83, b – CuZn10, c – Y-Pb98, d – ZnAl4Cu1

1p

7. Destinația acestui aliaj o reprezintă confectionarea de:

- a – lagărelor antifricțiune, b – magneti permanenti, c – plăcuțe așchieetoare,  
d – filtre pentru fluide

2p

#### Rezolvare

1.

2. a

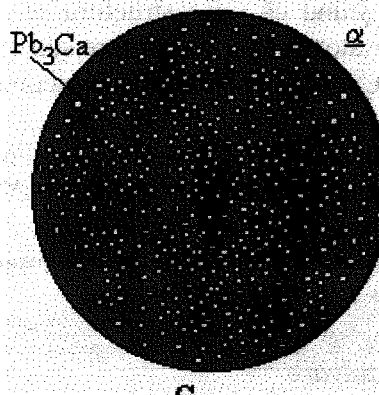
3. c

4. b

5. d

6. c

7. a



#### Testul nr. 4

Analizați microscopic proba F. Se cere:

1. Desenati microstructura

1p

2. Alegeti 4 componente din compozitia chimica a aliajului, dintre:

2p

- a – H+He+C+O, b – Fe+C+Si+Mn, c – Cu+Zn+Sn+Al, d – Al+Cu+Mg+Mn

3. Precizați denumirea aliajului dintre:

- a – duralumin, b – silumin, c – zamak, d – bronz

1p

4. În care dintre urmatoarele domenii se utilizează cu predilecție materialul analizat?

- a – așchierarea metalelor, b – industria aeronaumatică, c – tratarea apei grele,  
d – fabricarea magnetilor permanenti

2p

5. Care dintre urmatoarele perechi de proprietati sunt caracteristice materialului analizat?

- a – magnetism+supraconductibilitate, b – duritate+fragilitate, c – rezistență  
mechanică+greutate specifică redusă, d – punct de topire ridicat+coefficient redus  
de dilatare termică

2p

6. Marca aliajului analizat poate fi:

- a – OLC45, b – Y-Sn83, c – AlCu4MgMn, d – ATSi12

2p

#### Rezolvare

1.

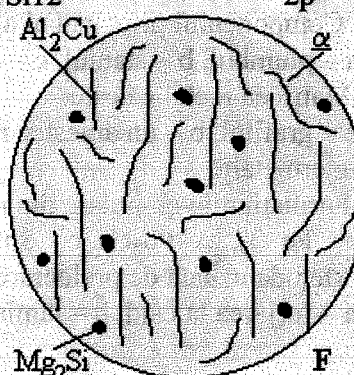
2. d

3. a

4. b

5. c

6. c



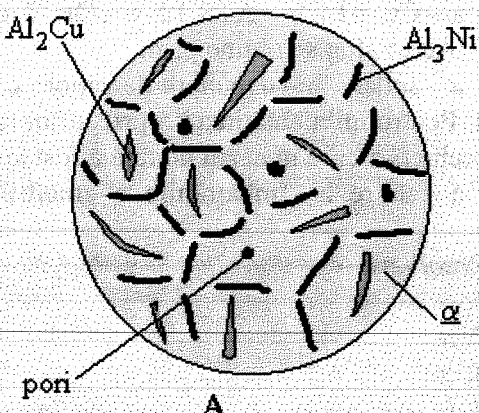
## Testul nr.5

Analizați microscopic proba A. Se cere:

1. Desenați microstructura 1p
2. Proba analizată este un aliaj al cărui component de bază este:  
a – fierul, b – cuprul, c – aluminiul, d – nichelul 1p
3. Matricea metalică este compusă din:  
a – un metal pur, b – o soluție solidă, c – un compus intermetalic, d – un amestec mecanic eutectic 1p
4. Cei 2 compuși intermetalici observați în microstructură sunt:  
a –  $\text{Al}_2\text{Cu} + \text{Al}_3\text{Ni}$ , b –  $\text{Fe}_3\text{C} + \text{FeO}_2$ , c –  $\text{SnSb} + \text{Cu}_3\text{Sn}$ , d –  $\text{Al}_2\text{Cu} + \text{Mg}_2\text{Si}$  2p
5. Marca aliajului analizat poate fi:  
a –  $\text{AlCu4MgMn}$ , b –  $\text{ATSi12}$ , c –  $\text{Y-Sn83}$ , d –  $\text{ATNCu4Ni2Mg2}$  2p
6. Aliajul este destinat fabricării:  
a – cuțitelor de strung, b – pistoanelor de motoare termice, c – lagărelor de alunecare, d – garniturilor de etanșare pentru fluide 2p
7. Acest aliaj a fost obținut prin:  
a – turnare, b – deformare plastică, c – sinterizare, d – sudare 2p  
folosind:  
w – un laminor, x – amestec de formare, y – o presă de sinterizare, z – un tun electronic 2p

### Rezolvare

- 1.
2. c
3. b
4. a
5. d
6. b
7. a + x



## Testul nr.6

Analizați microscopic proba B. Se cere:

1. Desenați microstructura 1p
2. Componentul principal al aliajului este:  
a – plumbul, b – zincul, c – aluminiul, d – fierul 1p  
iar principalul element de aliere este:  
w – cuprul, x – fierul, y – zincul, z – aluminiul 1p
3. Acest aliaj se obține prin:  
a – turnare, b – deformare plastică, c – sinterizare, d – atac chimic 2p
4. Matricea metalică a aliajului este un constituent metalografic tip:  
a – amestec mecanic, b – compus intermetalic, c – soluție solidă, d – metal pur 2p

și rolul său este de a contribui la creșterea:

2p

w – turnabilității, x – rezistivitatea electrică, y – călărității, z – durată

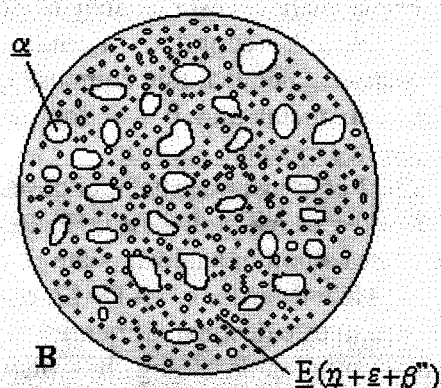
5. Marca aliajului analizat poate fi:

a – AlCu4MgMn, b – ATNCu4Ni2Mg2, c – Y-Sn83, d – ZnAl4Cu1

1p

#### Rezolvare

- 1.
2.  $b + z$
3.  $a$
4.  $c + w$
5.  $d$



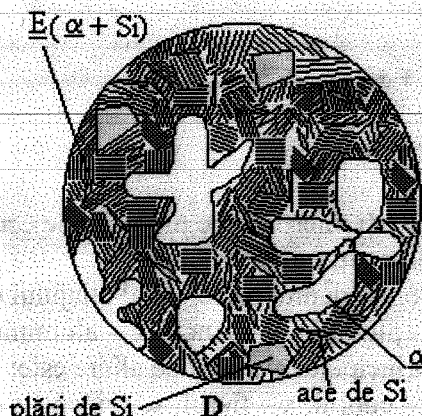
#### Testul nr. 7

Analizați microscopic proba D. Se cere:

1. Desenati microstructura 1p
2. Precizați sistemul de care aparține aliajul analizat:  
a – Al-Si, b – Cu-Zn, c – Fe-C, d – Zn-Al 1p
3. Denumirea uzuală a aliajului este:  
a – alamă, b – silumin, c – duralumin, d – oțel 2p
4. Marca aliajului poate fi:  
a – CuSn14, b – ATS12, c – OL37, d – Y-Sn83 2p
5. Acest aliaj se obține prin:  
a – sudare, b – depunere de vaporii, c – deformare plastică, d – turnare 2p
6. Pentru îmbunătățirea proprietăților mecanice, aliajele de acest tip se supun unei prelucrări care în cazul de față a fost aplicată doar parțial. Este vorba despre:  
a – călire, b – îmbătrânire, c – modificare chimică, d – cementare 2p

#### Rezolvare

- 1.
2.  $a$
3.  $b$
4.  $b$
5.  $d$
6.  $c$



## 2.12 Microstructuri ale aliajelor tratate termic

### A. Partea scrisă

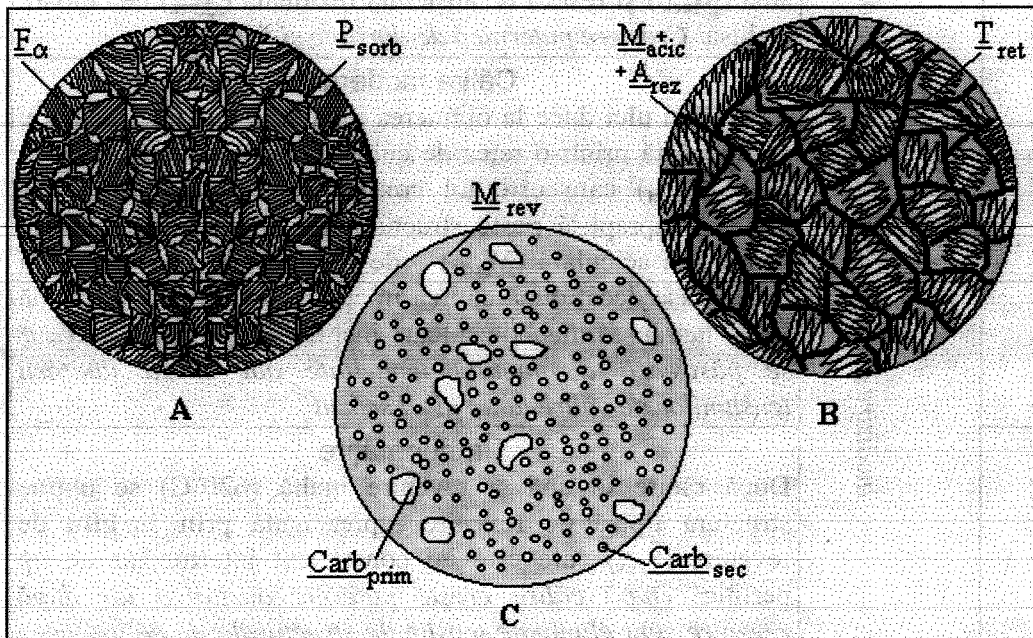
Atac chimic: Nital 3 %, putere de mărire ~500:1 (obiectiv 40x)

Nr. crt.	Denumirea probei Parametrii de incălduire	Denumirea tratamentului Descrierea modului de răcire și a micrografiei rezultante (constituenți metalografici)/ Proprietăți
0	1	2
1	OLC60 <i>Încăldire la 820°C și menținere pentru omogenizarea temperaturii</i>	Recoacere completă Răcirea odată cu cupitorul, cu cca. $10^0\text{C/h}$ , duce la apariția structurii hipoeutectoide de echilibru, formată dintr-un fond de perlă lamelară ( <b>P</b> ) și o rețea albă grosolană de ferită alfa ( <b>F<sub>a</sub></b> )/ <i>Crește plasticitatea materialului</i>
2		Normalizare Răcirea în aer duce la apariția unei structuri la limita stării de echilibru, reprezentată prin perlă sorbitică ( <b>P<sub>sorb</sub></b> ) și prin finisarea rețelei de ferită alfa ( <b>F<sub>a</sub></b> )/ <i>Cresc tenacitatea și rezistența mecanică, datorită finisării granulației</i>
3		Călire energetică Răcirea în apă (călirea) duce la formarea structurii martensitice, compusă din pachete de martensită aciculară albă ( <b>M<sub>acic</sub></b> ) și resturi de austenită reziduală ( <b>A<sub>rez</sub></b> ) de culoare închisă/ <i>Creștere puternică de duritate și fragilitate</i>
4		Călire moderată Răcirea în ulei duce la obținerea unei structuri intermediare, reprezentată printr-o rețea de culoare neagră de troostită de călire ( <b>T<sub>ret</sub></b> ) care este un constituent intermediar de tip perlitic, suprapusă peste structura martensitică formată din martensită aciculară ( <b>M<sub>acic</sub></b> ) – de culoare albă și dimensiuni mai reduse decât după călirea în apă – și austenită reziduală ( <b>A<sub>rez</sub></b> ) netransformată de culoare închisă/ <i>Crește duritatea dar se păstrează o anumită tenacitate din cauza limitării tensiunilor de călire la un nivel scăzut</i>
5		Îmbunătățire După răcire în apă și revenire înaltă ( $620^0\text{C}$ ) se obține structura tipică de revenire reprezentată prin sorbita de revenire ( <b>S<sub>rev</sub></b> ) care este un constituent intermediar de tip perlitic/ <i>După călire crește puternic duritatea iar după revenire sunt eliminate tensiunile structurale de călire, ceea ce duce la creșterea elasticității și tenacității</i>

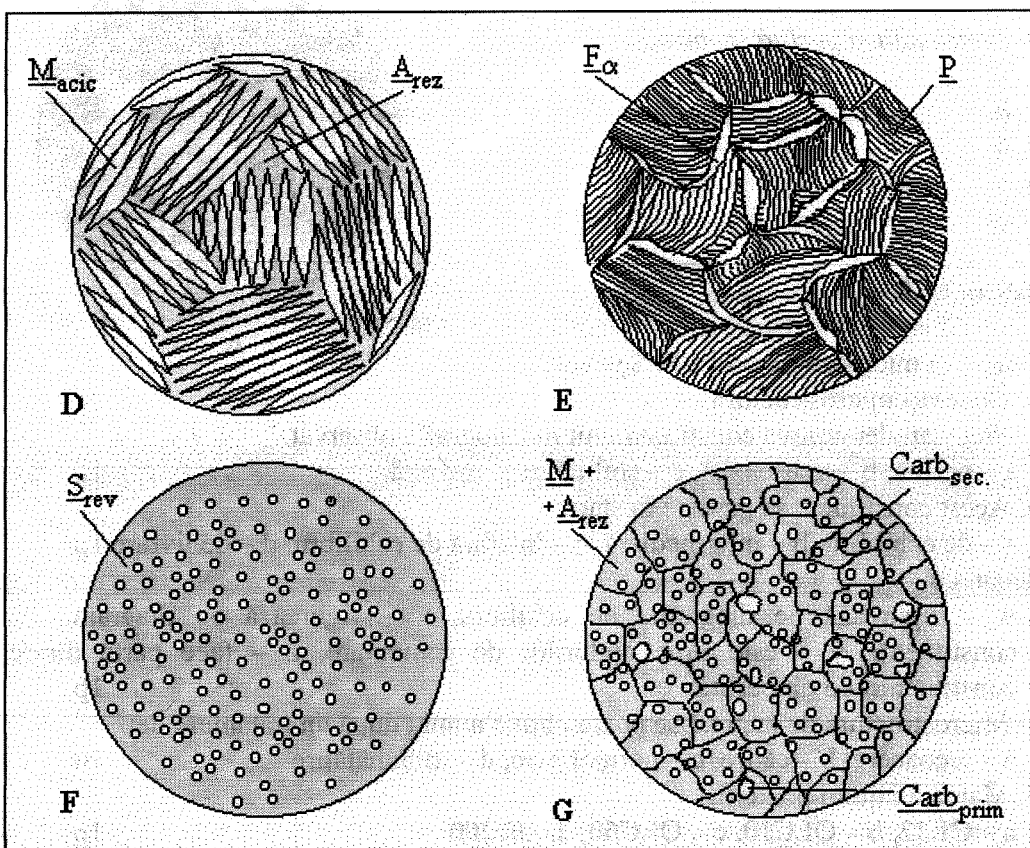
- A. Partea scrisă (continuare)-

0	1	2
6	Rp3 <i>Încălzire la 1280°C (pentru dizolvarea carburilor) și menținere pentru omogenizarea temperaturii</i>	<b>Călire în ulei</b> Răcirea în ulei a oțelurilor aliante permite apariția structurii de călire la viteze mai mici decât la oțelurile-carbon. Matricea, formată din <b>martensită (<math>M</math>)</b> și <b>austenită reziduală (<math>A_{rez}</math>)</b> , a fost atacată incomplet pentru a păstra contrastul imaginii, permitând evidențierea limitelor foștilor grăunți de austenită. Se observă formațiuni globulare albe mari, de <b>carburi primare (<math>\text{Carb}_{\text{prim}}</math>)</b> și mici, de <b>carburi secundare (<math>\text{Carb}_{\text{sec}}</math>)</b> . <i>Creștere puternică de duritate și fragilitate</i>
7		<b>Călire și revenire înaltă</b> Răcirea în ulei, urmată de revenire înaltă (560°C), duce la obținerea unei matrice formată exclusiv din <b>martensită de revenire (<math>M_{\text{rev}}</math>)</b> de culoare întunecată. <b>Carburile primare (<math>\text{Carb}_{\text{prim}}</math>)</b> și <b>secundare (<math>\text{Carb}_{\text{sec}}</math>)</b> și-au mărit dimensiunile/ <i>Eliminarea tensiunilor interne și dispariția resturilor de austenită reziduală duc la o creștere substanțială de elasticitate și tenacitate</i>

B. Partea desenată



- B Partea desenată (continuare) -



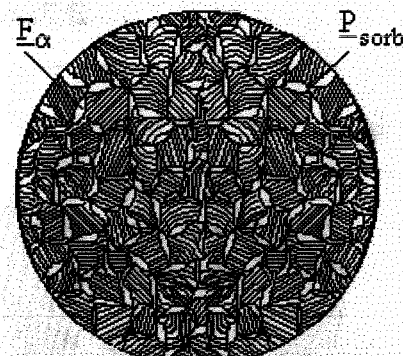
**Testul nr.1**

Analizați microscopic proba A. Se cere:

1. Desenați microstructura 1p
2. Identificați cele 2 constituente metalografice 2p
3. Știind că structura de echilibru a acestui oțel prezintă o rețea albă grosolană, stabiliți ce tratament termic a fost aplicat materialului, dintre:  
a – călire, b – revenire, c – normalizare, d – recoacere 2p
4. Răcirea din cadrul tratamentului termic de la pct.3 s-a aplicat în:  
a – apă, b – aer, c – ulei, d – cuptor 1p
5. După acest tratament, starea materialului este:  
a – în afară de echilibru, b – intermediară, c – de echilibru, d – lichidă 1p
6. Marca aliajului poate fi:  
a – OL37, b – OSC7, c – RUL1, d – OLC60 1p
7. Scopul tratamentului aplicat este:  
a – mărirea tenacității, b – mărirea durății, c – micșorarea coeficientului de frecare, d – eliminarea tensiunilor de călire 2p

### Rezolvare

- 1.
2. Ferită alfa și perlită sorbitică
3. c
4. b
5. b
6. d
7. a



A

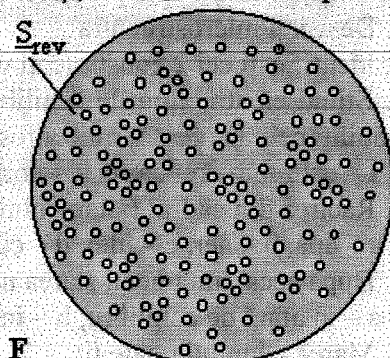
### Testul nr.2

Analizați microscopic proba F. Se cere:

1. Desenați microstructura 1p
2. Precizați denumirea constituentului metalografic observat:  
a – perlită, b – martensită, c – sorbită, d – troostită 1p
3. Acest constituent se găsește în stare:  
a – de echilibru, b – intermediară, c – în afară de echilibru, d – de livrare 1p  
deoarece:  
w – figurează pe diagrama de echilibru, x – figurează pe diagrama de constituenți, y – este tipic oțelurilor de cementare, z – face parte dintră constituenții de tip perlitic 1p
4. Microstructura de la pct.1 se poate obține numai după un tratament de:  
a – recoacere, b – călire, c – normalizare, d – îmbunătățire 1p
5. Marca aliajului poate fi:  
a – OL32, b – OLC10, c – OLC60, d – Fc200 1p
6. Prin tratamentul de la pct.4 a fost îmbunătățită:  
a – elasticitatea, b – conductivitatea, c – fragilitatea, d – refractaritatea 2p
7. La ce fel de piese se aplică, în mod curent, tratamentul de la pct.4?  
a – cuțite de strung, b – arcuri, c – magneti permanenti, d – cuie 2p

### Rezolvarea

- 1.
2. c
3. b + z
4. d
5. c
6. a
7. b



F

### Testul nr.3

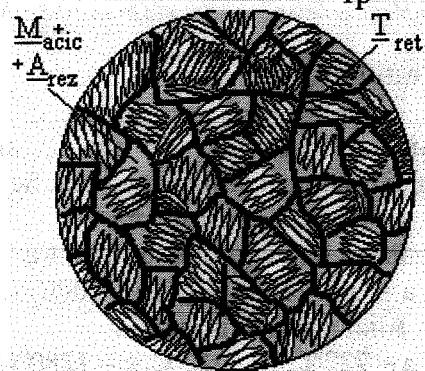
Analizați microscopic proba B. Se cere:

1. Desenați microstructura 1p

2. Identificați cei 3 constituenți metalografici 3p
3. Constituentul intermedian de tip perlitic din microstructură este: 1p  
a – perlită, b – sorbită, c – troostită, d – bainită  
iar constituenții în afară de echilibru sunt:  
w – ferita și cementita, x – sorbita și troostita, y – bainita și martensita, z – martensita și austenita 1p
4. Tratamentul termic care a fost aplicat piesei se numește: 1p  
a – recoacere, b – normalizare, c – îmbunătățire, d – călire
5. Răcirea din cadrul tratamentului termic de la pct. 4 s-a făcut: 1p  
a – în cuptor, b – în aer, c – în ulei, d – în apă
6. Care dintre următoarele mărci de oțel-carbon poate fi cea a probei? 1p  
a – OLC60, b – OL60, c – 40Cr10, d – 200Cr120
7. Ce proprietate s-a îmbunătățit prin tratamentul de la pct. 4? 1p  
a – plasticitatea, b – rezistența mecanică, c – conductivitatea electrică, d – rezistența la coroziune

#### Rezolvare

- 1.
2. Troostită, martensită și austenită reziduală
3. c + z
4. d
5. c
6. a
7. b



B

#### Testul nr. 4

Analizați microscopic proba D. Se cere:

1. Desenați microstructura 1p
2. Precizați denumirea constituentului metalografic observat sub formă de ace mari albe: 1p  
a – martensită, b – bainită, c – troostită, d – sorbită
3. Acest constituent se găsește în ce stare? 1p  
a – pură, b – de echilibru, c – intermediară, d – în afară de echilibru
4. Tratamentul termic aplicat piesei a presupus încălzirea în domeniul: 1p  
a – de solidificare, b – perlitic, c – austenitic, d – feritic,  
răcirea în:  
p – apă, q – ulei, r – aer, s – cuptor 1p
- și se numește:  
w – modificare chimică, x – revenire, y – călire, z – cementare, 1p
5. Scopul aplicării acestui tratament este: 1p  
a – modificarea compoziției chimice, b – creșterea proprietăților de rezistență mecanică, c – mărirea volumului, d – reducerea coeficientului de frecare

6. Marca probei analizate poate fi:

- a – OLC10, b – OL34, c – OLC60, d – OSC11

1p

7. Pe lângă efectul precizat la pct.5, formarea constituentului nominalizat la pct. 2 are ca efect secundar:

- a – creșterea plasticității, b – apariția tensiunilor structurale, c – descompunerea perlitei, d – grafitizarea

1p

### Rezolvare

1.

2. a

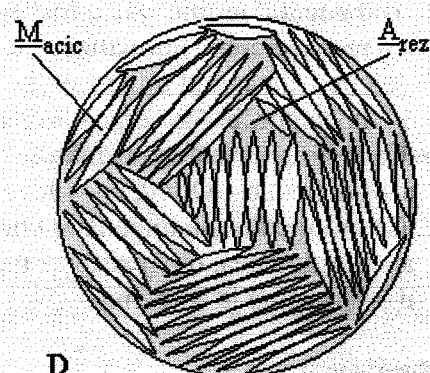
3. d

4. c + p + y

5. b

6. c

7. b



### Testul nr.5

Analizați microscopic proba C, care este un oțel aliat de scule așchieitoare, supus unui tratament termic complex. Se cere:

1. Desenați microstructura

1p

2. Precizați marca aliajului dintre:

- a – OSC11, b – Rp3, c – 200Cr120, d – RUL1

1p

3. Aliajul a fost încălzit la:

- a –  $727^{\circ}\text{C}$ , b –  $912^{\circ}\text{C}$ , c –  $1280^{\circ}\text{C}$ , d –  $1538^{\circ}\text{C}$ ,

1p

în scopul:

- g – topirii, h – descompunerii carburilor, i – formării perlitei, j – apariției stării paramagnetice

1p

și răcit în:

- p – apă, q – ulei, r – aer, s – cuptor

1p

deoarece:

w – este necesară o de răcire cât mai energetică, x – în felul acesta se obține starea de echilibru termodinamic, y – la oțelurile aliate martensita se formează la răcirile mai puțin energice, z – s-a urmărit formarea constituentelor intermediare de tip perlitic

1p

4. După răcire, aliajul tratat prezintă inconvenientele:

- a – este prea moale, b – conține sufluri, c – prezentei segregărilor dendritice,

1p

- d – prezentei tensiunilor interne

și din acest motiv a fost încălzit la:

- p –  $50^{\circ}\text{C}$ , q –  $560^{\circ}\text{C}$ , r –  $727^{\circ}\text{C}$ , s –  $820^{\circ}\text{C}$ ,

1p

în cadrul unui tratament termic final numit:

- w – revenire, x – cementare, y – recoacere, z – îmbătrânire

1p

5. Matricea metalică a probei analizate este formată din:

a – martensită de călire, b – martensită de revenire, c – austenită reziduală,  
 d – ferită aliată

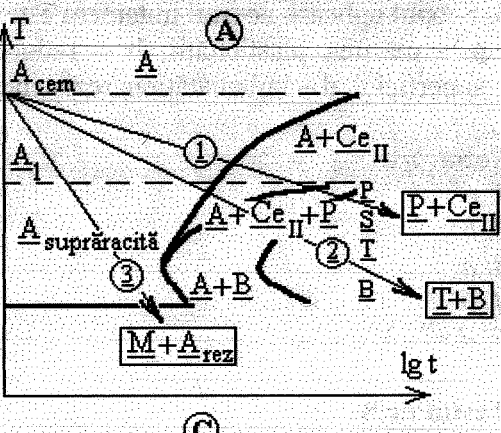
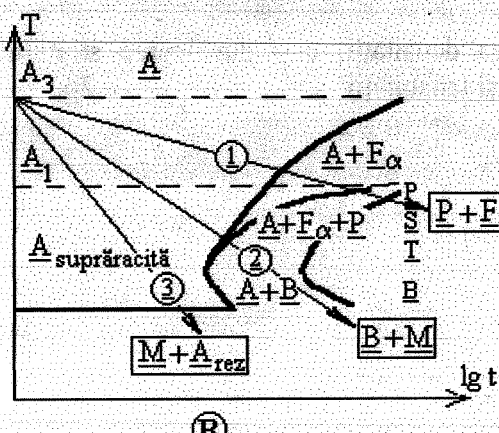
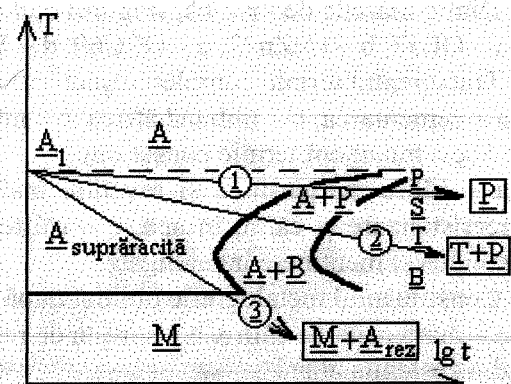
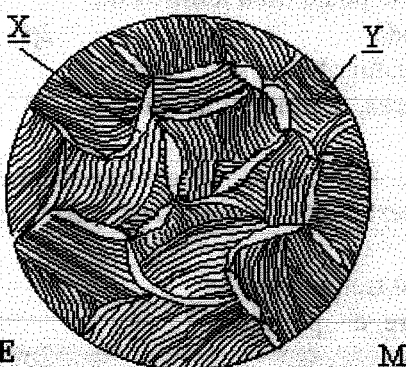
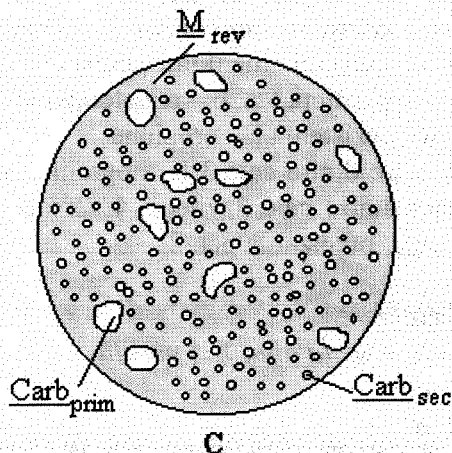
1p

### Rezolvare

- 1.
2. b
3.  $c + h + q + y$
4.  $d + q + w$
5. b

### Testul nr.6

Proba E, pentru care s-a ilustrat micrografia în schiță de mai jos, reprezintă un oțel-carbon de calitate, aflat în stare de echilibru termodinamic. Știind că pe aceeași schiță s-au prezentat 3 termograme de tratament termic, conținând curbe TTT, pentru mai multe tipuri de oțeli, dintre care o singură variantă corespunde prelucrării la care a fost supusă proba, se cere:



1. Identificați cele 2 constituente metalografice, notați cu X și Y

2p

2. Considerând că prelucrarea anterioară a fost laminarea la cald, precizați denumirea tratamentului termic aplicat probei: 2p  
 a – călire, b – normalizare, c – recoacere completă, d – revenire
3. În urma tratamentului termic de la pct.2 a crescut:  
 a – plasticitatea, b – rezistența mecanică, c – conductivitatea electrică,  
 d – rezistența la coroziune 2p
4. Care dintre cele 3 termograme, A, B sau C, corespunde oțelului analizat și cu care dintre cele 3 viteze, 1, 2 sau 3, a fost răcit acesta, în cadrul tratamentului termic precizat la pct. 2 4p

#### *Rezolvare*

1. X = ferită alfa, Y = perlită
2. c
3. a
4. termograma B și viteză de răcire 1

#### **Testul nr.7**

1. Dintre mărcile de mai jos, singurul oțel care se poate trata termic este:  
 a – OL37, b – CuZn37, c – OLC60, d – Y-Sn83 2p
2. Tratamentul termic complet, caracteristic acestui oțel-carbon este:  
 a – cementarea, b – îmbunătățirea, c – nitrurarea, d – îmbătrânirea 2p
3. Acest tratament termic constă din:  
 a – călire martensitică și revenire înaltă, b – încălzire peste temperatura de recristalizare și călire în apă, c – călire superficială, d – încălzire peste curba solidus și menținere îndelungată 2p
4. Constituentul metalografic obținut după acest tratament este:  
 a – martensita de călire, b – sorbita de revenire, c – perlita sorbitică,  
 d – austenita aliată 2p
5. Scopul aplicării acestui tratament este:  
 a – mărirea plasticității, b – reducerea densității, c – durificarea stratului superficial, d – îmbunătățirea rezistenței și tenacității 2p

#### *Rezolvare*

1. c
2. b
3. a
4. b
5. d

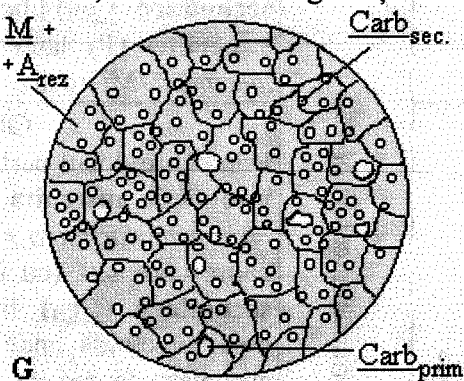
#### **Testul nr.8**

Analizați microscopic proba G (Rp3 călit), care a fost atacată incomplet. Se cere:

1. Desenați microstructura 1p
2. Identificați matricea metalică și formațiunile globulare albe mari și mici de pe aceasta 3p
3. Aliajul a fost încălzit la:  
 a –  $560^{\circ}\text{C}$ , b –  $727^{\circ}\text{C}$ , c –  $912^{\circ}\text{C}$ , d –  $1280^{\circ}\text{C}$ , 1p  
 în scopul:  
 g – eliminării tensiunilor, h – descompunerii carburilor, i – formării perlitei,  
 j – formării martensitei 1p  
 și răcit în:  
 p – apă, q – ulei, r – aer, s – cuptor 1p  
 pentru a se obține:  
 w – austenită, x – sorbită, y – grafit lamelar, z – martensită 1p
4. Pe lângă constituentul metalografic care reprezintă principalul produs de călire, microstructura conține resturi (reziduuri) de:  
 a – austenită, b – ferită, c – cementită, d – perlită 1p  
 a cărei prezență este ilustrată și prin existența: 1p  
 w – maclelor, x – lamelelor de grafit, y – suflurilor, z – limitelor de grăunți

#### Rezolvare

- 1.
2. Matricea = martensită + austenită reziduală. Globulele albe mari = carburi primare, globulele albe mici = carburi secundare
3.  $d + h + q + z$
4.  $a + z$



## 2.13 Microstructuri ale aliajelor tratate termochimic și termofizic

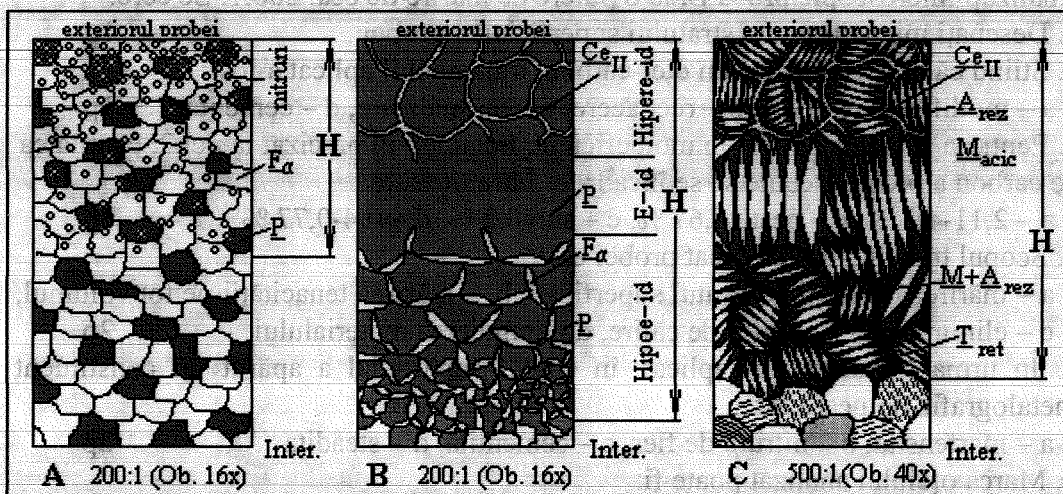
### A. Partea scrisă

Nr. crt.	Tipul tratamentului Atac chimic	Marca sau starea aliajului Descrierea fenomenelor produse și a micrografiei rezultante (constituenți metalografici)/ Proprietăți
0	1	2
1		<p style="text-align: center;"><b>OLC 15 cementat</b></p> <p>Carbonul a difuzat pe adâncimea „H” unde apar aspecte de oțel-carbon hipereutectoid, eutectoid și hipoeutectoid. Spre interiorul probei, la adâncimi mai mari decât „H”, apare aspectul obișnuit al unui oțel-carbon cu ~ 0,15 %C, care conține insule de perlită (P) și grăunți echiaxiali de ferită alfa (<math>F_a</math>). Stratul cementat are proprietăți mecanice superioare datorită prezenței cementitei secundare (<math>C_{en}</math>) libere, sub formă de rețea <math>\Rightarrow</math> crește duritatea și a perlitei (P) lamelare în cantitate mare <math>\Rightarrow</math> crește rezistența mecanică. Microstructura observată este de echilibru.</p>
2	Tratamente termochimice/ Nitral 3 %	<p style="text-align: center;"><b>OLC 20 cementat și călit</b></p> <p>Prin călire, locul perlitei este luat de <b>martensită (M)</b> care apare însotită de <b>austenita reziduală (<math>A_{rez}</math>)</b> și care este mult mai dură <math>\Rightarrow</math> crește duritatea stratului superficial. Nefiind vorba despre o călire completă (cu încălzire peste <math>A_{fem}</math>) rețeaua de <b>cementită secundară (<math>C_{en}</math>)</b> liberă nu dispără, după călire, din zona hipereutectoidă unde s-a format după cementare. La adâncimi apropiate de cea de cementare, „H”, viteza de răcire a devenit mai mică decât viteza critică de călire și austenita s-a transformat într-un constituent intermediar de tip perlitic – <b>troostita (T)</b> – care apare sub formă de rețea neagră, dispusă intercrystalin. Interiorul piesei rămâne hipereutectoid, cu structură de supraîncălzire tip Widmannstätten (apropiată de cea de echilibru) din cauza grosimii reduse a peretelui.</p>
3		<p style="text-align: center;"><b>21MoMn12 normalizat și nitrurat</b></p> <p>Baza microstructurală a probei este hipoeutectoidă, fiind formată din grăunți de ferită alfa (<math>F_a</math>) și insule de perlită (P) lamelare, ambele de mărime redusă. Nitrurile, de culoare albă și formă globulară, apar în stratul exterior, marcând adâncimea de pătrundere a azotului (mult mai mică decât cea a carbonului). Deoarece nu apare rețeaua de cementită secundară, stratul superficial este forte dur dar și tenace</p>

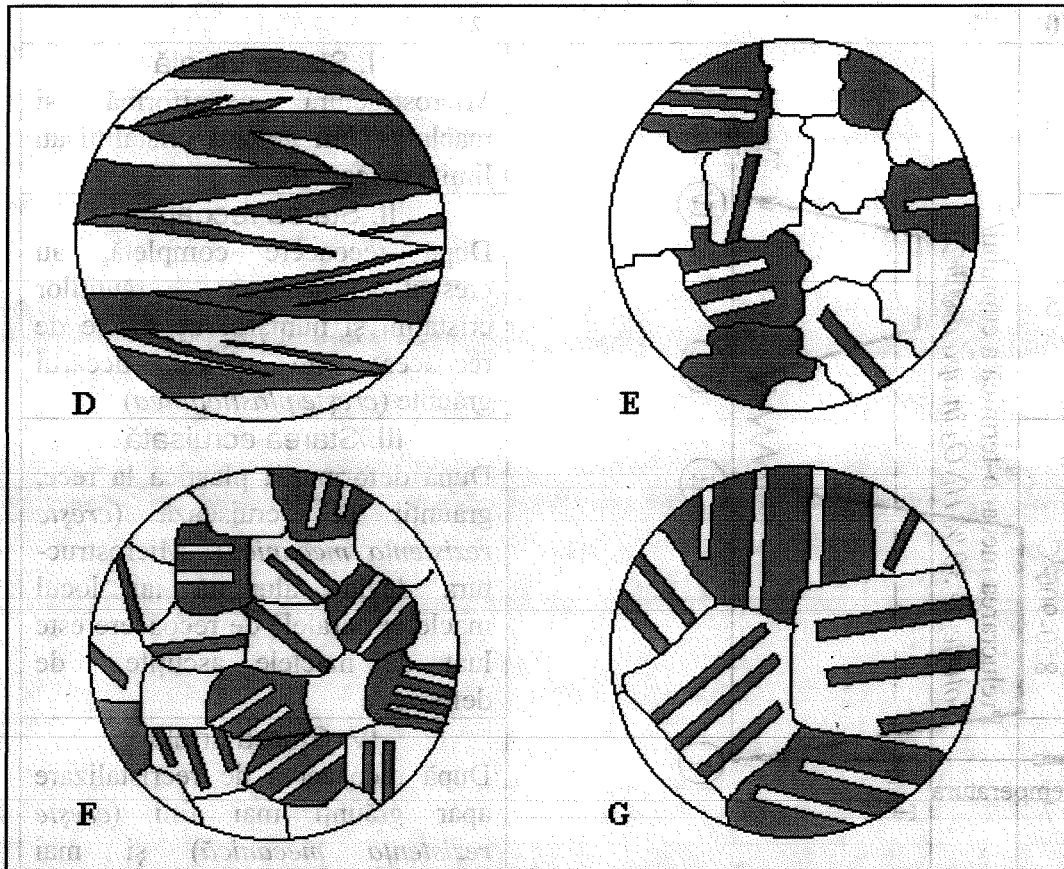
## - A. Partea scrisă (continuare)-

0	1	2
<p>relucrarea medano-termică a cuprului/ Soluție de 30 % <math>HNO_3</math> în apă distilată</p> <p>Temperatura</p> <p>T<sub>recr</sub></p> <p>Timpul</p> <p>I</p> <p>II</p> <p>III</p> <p>IV</p>		<p><b>I. Starea inițială</b> Microstructură neuniformă și maclată. Unii grăunți cristalini au limite neregulate</p> <p><b>II. Starea recoaptă</b> După recoacere completă, au crescut mărimea grăunților cristalini și numărul de macle de recoacere din cadrul fiecărui grăunte (<i>crește plasticitatea</i>)</p> <p><b>III. Starea ecrusată</b> După deformarea plastică la rece, grăunții se ecruisează (<i>crește rezistența mecanică</i>). Microstruc- tura devine alungită iar locul maclelor paralele de recoacere este luat de maclele ascuțite de deformare</p> <p><b>IV. Starea finală</b> După recoacerea de recristalizare apar grăunți mai fini (<i>crește rezistența mecanică</i>) și mai uniformi (<i>crește izotropia</i>)</p>

## B. Partea desenată



- B Partea desenată (continuare) -



**Testul nr.1**

Analizați microscopic proba B, la o putere de mărire de cca. 200:1. Se cere:

1. Desenați microstructura stratului superficial al probei 1p

2. Știind că materialul este un oțel-carbon, tratamentul aplicat a fost:

a – modificare chimică, b – recoacere, c – normalizare, d – cementare 1p

3. Pentru a se putea aplica, în mod eficient, tratamentul precizat la pct.2, cantitatea de carbon a probei trebuie să se încadreze între limitele:

a – 2,11-4,3 %, b – peste 6,67 %, c – sub 0,2 %, d – 0,4-0,77 % 1p

4. Scopul tratamentului aplicat probei este:

a – mărirea durătății pe stratul superficial, b – mărirea tenacității pe tot volumul, c – eliminarea tensiunilor de călire, d – înmuierea materialului 2p

5. În urma tratamentului aplicat, în stratul superficial a apărut un constituent metalografic nou care este:

a – martensita, b – nitrura de fier, c – cementita, d – steadita 2p

6. Marca oțelului analizat poate fi:

a – OL32, b – OLC15, c – OLC60, d – OSC11 1p

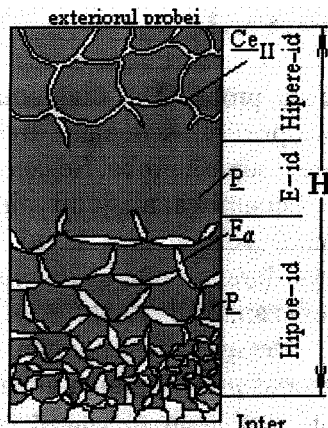
7. Proba auto din care a fost prelevată proba este:

- a – un arbore cotit, b – un cuzinet, c – un sabot de frână, d – o camă

2p

### Rezolvare

- 1.
2. d
3. c
4. a
5. c
6. b
7. d



### Testul nr.2

Proba A, pe care trebuie să-o analizați microscopic la

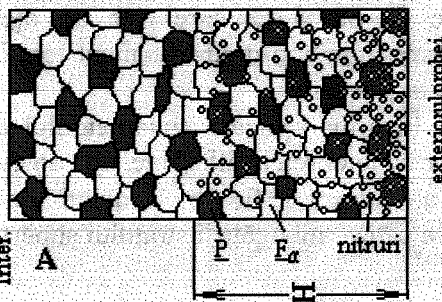
o putere de mărire de cca. 200:1, reprezintă un oțel

aliaj hipoeutectoid supus unui tratament termic și apoi unui termochimic. Se cere:

1. Desenați microstructura în stratul superficial 1p
2. Precizați marca aliajului știind că prin tratamentul termochimic aplicat, stratul superficial s-a îmbogățit în azot  
a – OL32, b – 21MoMnCr12, c – 200Cr120, d – OSC11 1p
3. Știind că în masa materialului tratat s-a obținut o structură intermediară, precizați denumirea tratamentului termic aplicat:  
a – călire, b – recoacere, c – revenire, d – normalizare 1p
4. Deoarece piesei analizate i s-a aplicat un tratament termochimic numit:  
a – nitrurare, b – călire superficială, c – cementare, d – cromare 1p  
au apărut compuși ai azotului numiți:  
p – carburi, q – nitrozamide, r – nitruri, s – oxizi 1p  
care, în stratul superficial, au dus la îmbunătățirea:  
w – aşchiabilității, x – plasticității, y – duritatei, z – deformabilității 1p
5. Care dintre următoarele substanțe a fost folosită ca mediu de tratament termochimic?  
a – gazul metan, b – apă, c – hidrogenul, d – amoniacul 2p
6. Proba analizată a fost debitată dintr-o piesă numită:  
a – ferodou, b – magnet permanent, c – roată dințată, d – bornă electrică 2p

### Rezolvare

- 1.
2. b
3. d
4. a + r + y
5. d



6. c

### Testul nr.3

Se dă proba D și diagrama alăturată, care prezintă schematic tratamentul la care a supusă proba. Se cere

- Denumirea aliajului din care este făcută proba analizată este:

- a – duraluminiu, b – cupru,
- c – zamak, d – oțel

2p

- Denumirea operației complete, descrisă prin diagrama din anexă este:

- a – prelucrare mecano-termică, b – călire, c – cementare, d – sinterizare

- Desenati microstructura probei și precizați denumirea formațiunilor microstructurale care apar pe aceasta sub formă de mici benzi alungite, cu un capăt ascuțit:

- a – macle de recoacere, b – macle de deformare, c – segregării, d – oxizi

- Identificați etapa, de pe diagrama din anexă (notată A-D) care corespunde stării materialului analizat.

- Ultima operație mecanică la care a fost supusă proba analizată a fost:

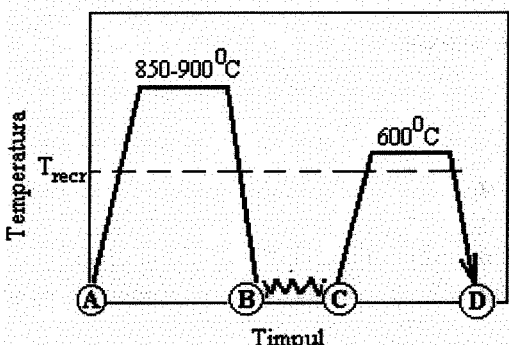
- a – recoacerea, b – sudarea, c – recristalizarea, d – deformarea plastică

- În urma aplicării operației precizate la pct.5, s-a îmbunătățit:

- a – rezistența mecanică, b – plasticitatea, c – maleabilitatea, d – conductivitatea electrică

### Rezolvare

- b
- a
- b
- C
- d
- a



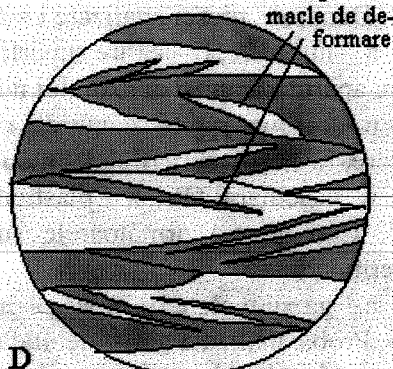
### Testul nr.4

Se dă proba C, care este un oțel-carbon de calitate, supus unui tratament termochimic și unui tratament termic. Analizând microstructura probei în stratul tratat, se cere:

- În urma aplicării tratamentului termochimic, la exteriorul probei apare, sub formă unei rețele albe fine, un constituent metalografic nou denumit:

- a – nitrura de fier, b – cementită, c – oxid de fier, d – ledeburită

din cauza îmbogațirii stratului superficial cu:



w – carbon, x – azot, y – oxigen, z – fier 1p

2. Marca oțelului analizat este:

a – OLC45, b – RUL1, c – OT450, d – OLC20 1p

3. Mediul în care s-a aplicat tratament termochimic a fost:

a – amoniacul, b – oxigenul, c – gazul metan, d – apa 1p

4. Apariția în stratul superficial a constituentului precizat la pct.1 contribuie la îmbunătățirea:

a – plasticității, b – duritatei, c – elasticității, d – rezistenței la coroziune 1p

5. În urma aplicării tratamentului termochimic, s-a obținut o structură:

a – de echilibru, b – intermediară, c – în afară de echilibru, d – în blocuri de mozaic 2p

6. După tratamentul termochimic, oțelul a mai fost supus unui tratament termic de:

a – recoacere, b – călire, c – normalizare, d – îmbătrânire 2p

care a avut drept scop:

w – eliminarea tensiunilor de cementare, x – mărirea plasticității, y – compactizarea materialului, z – mărirea duritatei 1p

### Rezolvare

1. b + w

2. d

3. c

4. d

5. a

6. b + z

### Testul nr.5

Se dă diagrama alăturată și probele E și G care trebuie analizate microscopic. Se cere:

1. Denumirea materialului probei analizate este:

a – babbitt, b – fontă, c – cupru, d – silumin 2p

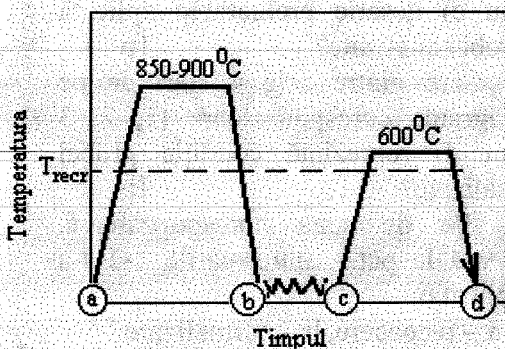
2. Precizați denumirea operației complete, descrisă prin diagrama din anexă:

a – prelucrare mecano-termică, b – călire, c – îmbunătățire, d – cementare 2p

3. Prin comparație, stabiliți stările consecutive de pe diagramă (notate a-d) ce caracterizează probele E și G analizate 2p

4. Probei G i s-a aplicat o:

a – călire, b – normalizare, c – recoacere, d – revenire,



1p

în urma căreia a crescut:

w – duritatea, x – plasticitatea, y – rezistența la coroziune, z – conductivitatea termică

5. Intre stările B și C, de pe diagramă, se efectuează o:

a – recoacere, b – deformare plastică la rece, c – revenire, d – călire,

iar temperatura variază în timp din cauza:

w – recristalizării, x – recalenșenței, y – degajării căldurii latente de solidificare,

z – frecările interne

### Rezolvare

1. c

2. a

3.  $E = a$ ,  $G = b$

4.  $c + x$

5.  $b + z$

### Testul nr.6

Se dau: proba F, care a suferit un tratament termomecanic complet și cele 3 diagrame alăturate. Se cere:

1. Desenați microstructura

2. Materialul probei analizate este:

a – cuprul, b – oțelul, c – fonta albă, d – siluminul

3. Care dintre cele 3 diagrame (a, b sau c) descrie prelucrarea aplicată probei analizate?

4. Care dintre cele 4 stări de pe diagrama corespunzătoare (1, 2, 3 sau 4) reprezintă condiția probei analizate?

5. Pe diagrama corespunzătoare, aleasă la pct.3, între stările 1-2 s-a aplicat o:

a – recoacere, b – normalizare,

c – călire, d – revenire

care a urmărit îmbunătățirea: 1p

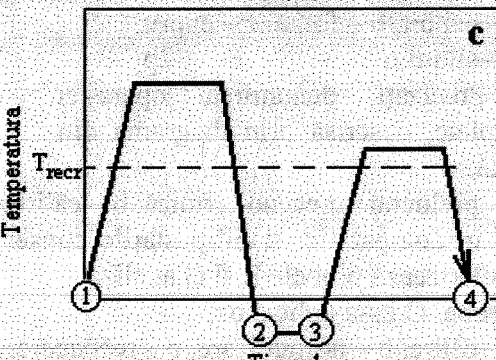
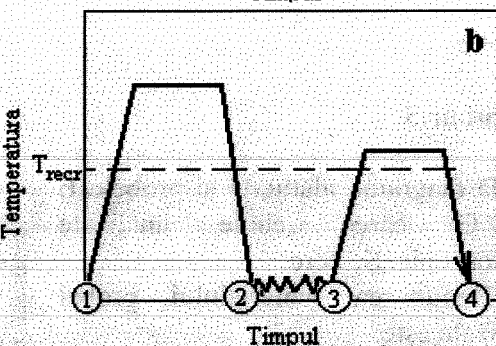
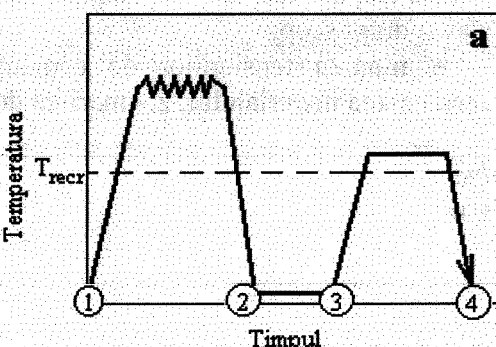
f – duritatei, g – plasticității,

h – refractarității, i – așchiabilității

deoarece între 2-3 s-a aplicat o:

k – călire, l – deformare plastică,

m – revenire, n – menținere



care a avut ca efect mărirea:

- p – tenacității, q – rezistenței mecanice, r – conductivitatei electrice,  
s – izotropiei

1p

6. Tratamentul final, aplicat între stările 3-4, este o:

- a – recoacere completă, b – revenire joasă, c – recoacere de recristalizare,  
d – îmbătrânire

1p

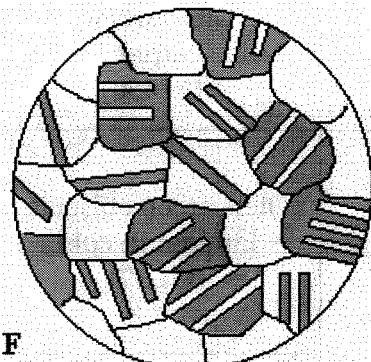
care are drept scop:

- w – obținerea fibrajului de deformatie, x – durificarea stratului superficial,  
y – îndepărțarea impurităților, z – finisarea și uniformizarea granulației

1p

### Rezolvare

- 1.
2. a
3. b
4. 4
5.  $a + g + l + q$
6.  $c + z$



## 2.14 Microstructuri ale aliajelor prelucrate prin turnare, deformare plastică, sudare și sinterizare

### A. Partea scrisă

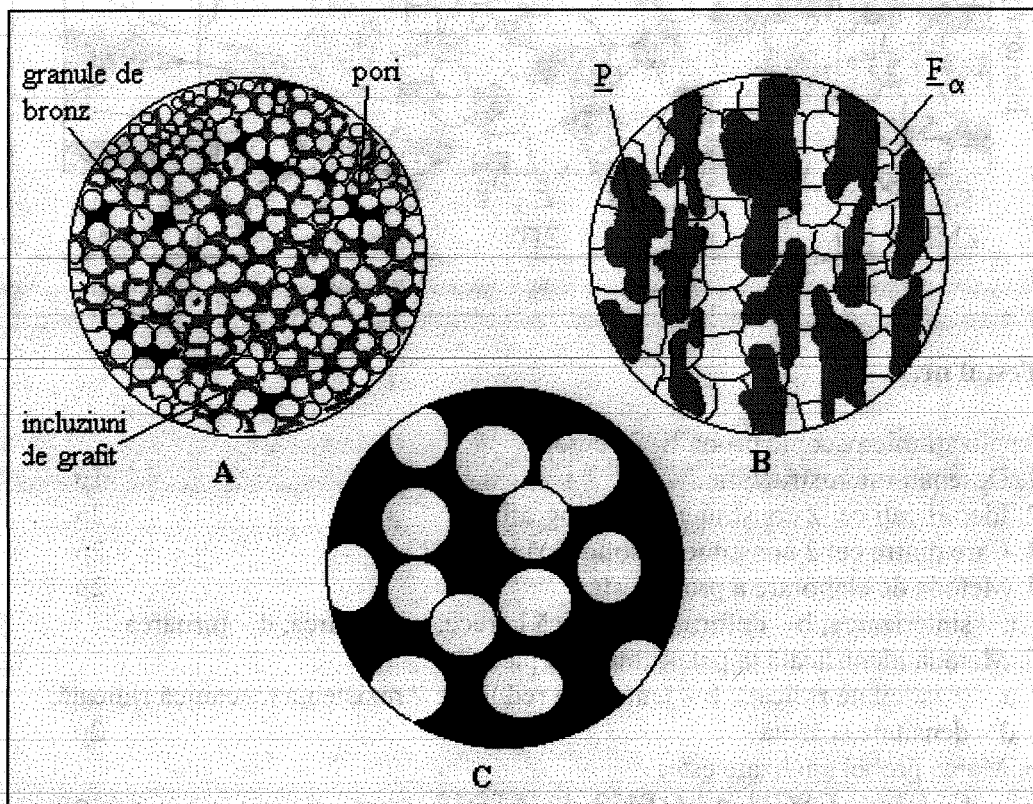
Atac chimic: Nital 3 %

Nr. crt.	Denumirea probei, prelucrarea (marca)	Descrierea micrografiei (constituenți metalografici)/ Proprietăți rezultate (cauza)
0	1	2
1	Oțel-carbon, turnat (OT450)	Grăunți poligonali grosolani, cu margini sinuoase, de ferită alfa ( $F_a$ ) de culoare deschisă și ramificații dendritice întunecate de perlită ( $P$ )/ <i>Tenacitate redusă (din cauza granulației mari)</i>
2	Oțel-carbon obișnuit, laminat la cald (OL37)	Grăunți poligonali, recristalați, de $F_a$ și șiruri, dispuse pe direcția laminării, de $P$ care, fiind un amestec mecanic, este insensibilă la recristalizare (constituent în benzi)/ <i>Rezistență mecanică ridicată, pe direcția laminării (datorită fibrajului perlitei)</i>
3	Oțel-carbon de calitate, sudat electric cu material de adaos (OLC25)	ZMS – zona metalului solidificat este reprezentată prin subzona materialului de adaos (SMA) cu structura cristalizată primar/ <i>Duritate ridicată</i> ; ZIT – zona influențată termic conține subzonele: <ul style="list-style-type: none"> <li>– S.Supr. – subzona de supraîncălzire, cu grăunți caracteristici (Widmannstätten) de <math>F_{aw}</math> și insule grosolane de <math>P</math>/ <i>Tenacitate redusă</i></li> <li>– S.Norm. – subzona de normalizare, care are atât grăunți de <math>F_a</math> cât și insule de <math>P</math> de dimensiuni reduse/ <i>Rezistență mecanică și tenacitate ridicate</i></li> <li>– S.Rec.Incompl. – subzona transformărilor cu recristalizare incompletă, cu grăunți de <math>F_a</math> și insule de <math>P</math> având mărime neuniformă</li> <li>– S.Rec.Compl. – subzona transformărilor cu recristalizare completă, cu grăunți de <math>F_a</math> și insule de <math>P</math> având mărime mai uniformă decât inițial, în materialul de bază/ <i>Bune proprietăți mecanice</i>;</li> </ul> ZMB – zona materialului de bază corespunde unui oțel-carbon obișnuit, deformat plastic la cald cu grăunți poligonali recristalați de $F_a$ și $P$ în benzi

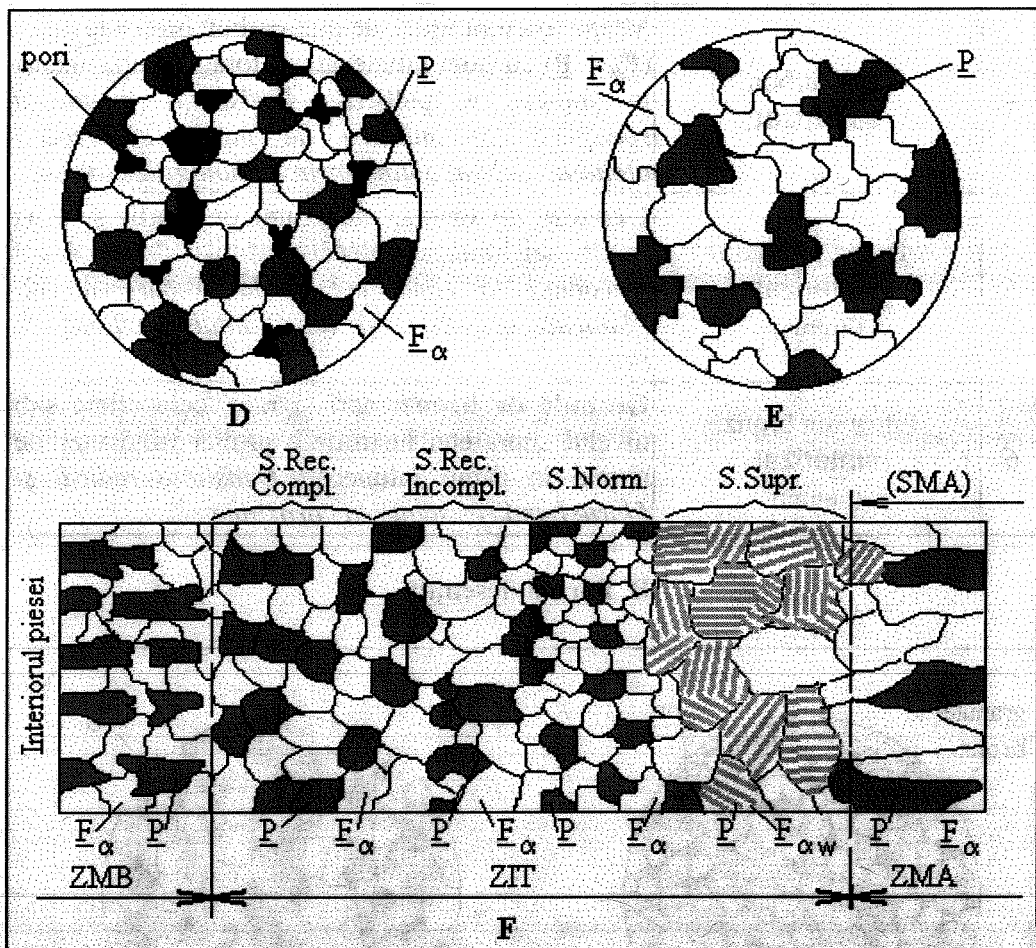
- A. Partea scrisă (continuare)-

0	1	2
4	Otel-carbon, sinterizat	Microstructură tipică de oțel-carbon hipoeutectoid, ( $F_\alpha + P$ ) cu pori întunecați, datorăți compactizării incomplete a pulberii/ Rezistență mecanică specifică, pe unitatea de masă, superioară oțelului-carbon, obținut prin tehnologiile clasice
5	Bronz grafitat, sinterizat (lustruit)	Granule de bronz, incluziuni de grafit și pori (mult mai întunecați decât grafitul)/ Foarte bună rezistență la coroziune și la frecare umedă (datorită grafitului și lubrifiantului reținut de pori)
6	Filtru din bronz, sinterizat (lustruit)	Granule de bronz mari și rare, cele aflate sub nivelul suprafeței lustruite a probei fiind vizibile numai în câmp întunecat/ Densitate redusă și foarte bună rezistență la coroziune

B. Partea desenată



- B Partea desenată (continuare) -



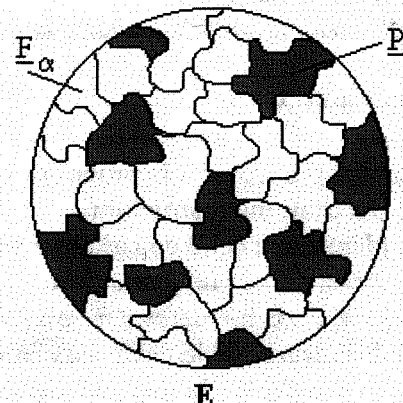
**Testul nr.1**

Analizați microscopic proba E. Se cere:

1. Desenați microstructura 1p
2. Identificați cei 2 constituenți metalografici 2p
3. Care dintre cei 2 constituenți solidifică primul? 2p
4. Metoda de elaborare a probei este: 2p
  - a – sinterizarea, b – deformare plastică la rece, c – sudarea, d – turnarea
5. Metoda identificată la pct. 4 imprimă piesei: 2p
  - a – plasticitate ridicată, b – tenacitate redusă, c – rezistență mecanică ridicată,
  - d – densitate scăzută
6. Marca probei analizate este: 1p
  - a – OL50, b – OSC11, c – OT450, d – ATS12

### Rezolvare

- 1.
2. Ferită alfa și perlita
3. Ferita alfa (constituent proeutectoid)
4. d
5. b
6. c



### Testul nr.2

Se dă proba F, care a rezultat prin îmbinarea a 2 semifabricate laminate și care trebuie analizată microscopic. Se cere să precizați:

1. Metoda prin care a fost realizată îmbinarea 1p
2. Denumirea celor 3 zone caracteristice care apar la acest tip de îmbinare 3p
3. Care dintre cele 3 zone de mai sus a solidificat ultima? 1p
4. În care, dintre cele 3 zone de mai sus, microstructura semifabricatelor îmbinate a suferit cele mai mari modificări? 1p
5. Desenați micrografia zonei de la pct. 4 și identificați cele 4 subzone din compoziția ei 2p
6. Dintre subzonele de la pct.5, identificați-le pe cele care au suferit tratamente termice complete 1p
7. Dintre subzonele identificate la pct.6 stabiliți care are cea mai mare rezistență mecanică 1p

### Rezolvare

1. Sudarea
2. Zona metalului solidificat, zona influențată termic, zona materialului de bază
3. Zona metalului solidificat

#### 4. Zona influențată termic

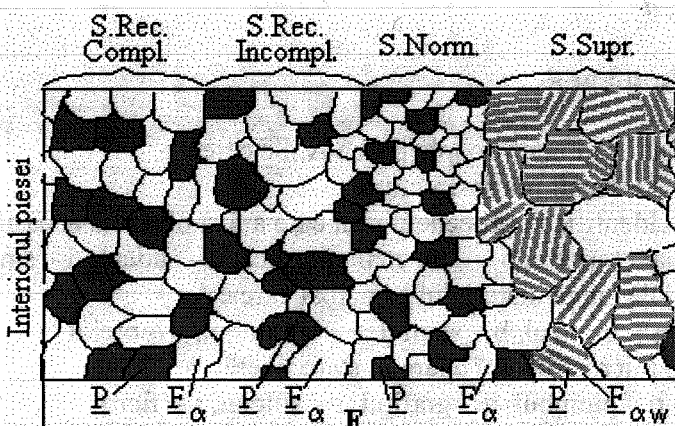
5. S.Supr.=subzona de supraîncălzire;

S.Norm.=subzona de normalizare;

S.Rec.Incompl.=sub-zona transformărilor cu recristalizare incompletă;

S.Rec.Compl.= sub-zona transformărilor cu recristalizare completă;

6. S.Norm. (normalizare) și S.Rec.Compl. (recoace-



*re de recristalizare)*

*7 S.Norm. (datorită granulației fine)*

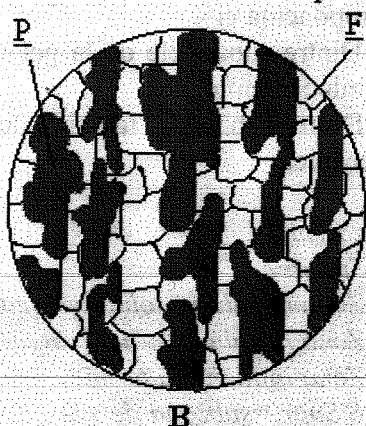
### Testul nr.3

Analizați microscopic proba B. Se cere:

1. Desenați microstructura 1p
2. Identificați cei 2 constituenți metalografici 2p
3. Proba a fost prelucrată prin:
  - a – sudare, b – deformare plastică, c – sinterizare, d – turnare
4. Prelucrarea de la pct.3 s-a efectuat:
  - a – la cald, b – la rece, c – după topire, d – la 100 atm
5. Din ce motiv unul dintre constituenții identificați la pct.2 s-a obținut sub formă de șiruri? 2p
6. Care poate fi marca probei analizate:
  - a – OT350, b – Fgn400-12, c – OL37, d – CuSn14
7. Precizați proprietatea materialului care s-a îmbunătățit în urma prelucrării aplicate:
  - a – plasticitatea, b – conductivitatea electrică, c – duritatea stratului superficial, d – rezistența mecanică

#### Rezolvare

- 1.
2. Ferita alfa și perlita
3. b
4. a
5. Fiindcă este un amestec mecanic iar acesta, neavând rețea cristalină proprie, este insensibil la recristalizare
6. c
7. d



### Testul nr.4

Analizați microscopic proba A. Se cere:

1. Desenați microstructura 1p
  2. Identificați procedeul prin care a fost obținută această probă:
    - a – turnare, b – deformare plastică, c – sudare, d – sinterizare
  3. Pe lângă materialul principal care este:
    - a – bronzul, b – staniul, c – siluminul, d – oțelul
- în microstructură apare în stare liberă:
- p – plumbul, q – grafitul, r – siliciul, s – fierul
- care are rolul de a: 2p

w – mări duritatea, x – mări densitatea, y – micșora frecarea, z – reduce plasticitatea

2p

4. Din acest material se poate fabrica în mod ușual:

a – un cuțit de strung, b – o șină de tren, c – un lagăr de alunecare, d – o țeavă laminată

2p

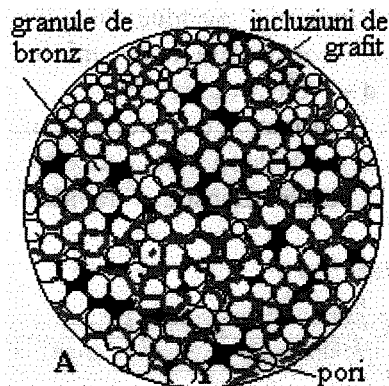
### Rezolvare

1.

2. d

3. a + q + y

4. c



### Testul nr.5

Analizați microscopic proba C. Se cere:

1. Desenati microstructura

1p

2. Această probă a fost obținută prin:

a – topire zonală, b – sinterizare, c – sudare, d – laminare

1p

3. Porozitatea materialului este:

a – 0 %, b – sub 5 %, c – 10-20 %, d – peste 30 %

2p

4. Materialul probei este:

a – plumbul, b – fonta, c – bronzul, d – oțelul

2p

5. Câmpul întunecat observat în microstructura probei corespunde:

a – perlitei, b – golorilor, c – grafitalui, d – stratului cementat

2p

6. Din acest material se confectionează:

a – burghie, b – garnituri de etanșare, c – lame de bărbierit, d – filtre pentru lichide

1p

7. Granulele observate în microstructura probei au fost obținute prin:

1p

a – măcinare, b – recoacere de maleabilizare, c – modificare chimică, d – sudare

### Rezolvare

1.

2. b

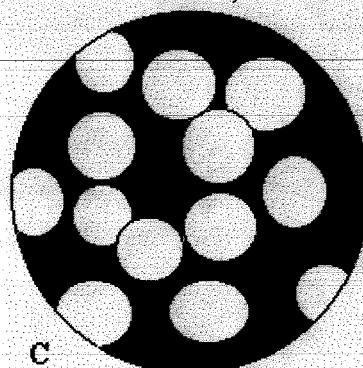
3. d

4. c

5. b

6. d

7. a



### Testul nr.6

Analizați microscopic proba D. Se cere:

1. Precizați materialul probei:

a – alamă, b – oțel-carbon, c – bronz, d – duralumin 2p

2. Procedeul de obținere a probei a fost:

a – turnarea, b – laminarea, c – sudarea, d – sinterizarea 2p

3. Cei 2 constituenți metalografici observați în microstructură sunt:

a –  $\text{Le}_{\text{II}} + \text{Ce}_{\text{I}}$ , b –  $\alpha + \beta''$ , c –  $\text{P} + \text{F}_{\alpha}$ , d –  $\text{P} + \text{Ce}_{\text{II}}$  2p

4. Domeniul predilect de aplicabilitate al probei este:

a – construcția de mașini, b – electrotehnica, c – industria alimentară, d – electronica 2p

5. Proprietatea caracteristică materialului este:

a – conductivitatea electrică, b – inducția magnetică, c – raportul rezistență mecanică/densitate, d – plasticitatea 2p

### Rezolvare

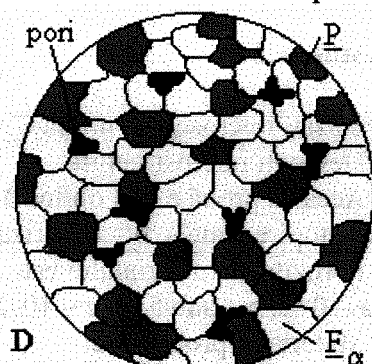
1. b

2. d

3. c

4. a

5. c



### 3. APlicații

1. Să se determine potențialul de accelerare al electronilor folosiți la ionizarea atomilor de sodiu, știind că primul potențialul de ionizare al acestui element chimic este 5,14 eV.

*Rezolvare*

Se notează cu  $V_a$  - potențialul de accelerare, cu  $e$  – sarcina electrică elementară și cu  $I_{Na}$  – potențialul de ionizare al sodiului.

Relația generală a potențialului de ionizare este:

$$I = e \cdot V_a \quad (1)$$

$$\text{Din (1)} \Rightarrow V_a = \frac{I_{Na}}{e} = 5,14 \text{ eV/e} \Rightarrow V_a = 5,14 \text{ V}$$

2. Care este potențialul de ionizare al clorului, dacă potențialul de accelerare al electronilor folosiți la ionizare este  $V_a = 12,95 \text{ V}$  iar sarcina electrică elementară este  $e = 1,60219 \cdot 10^{-19} \text{ C}$ ?

*Rezolvare*

Din relația potențialului de ionizare (1) rezultă:

$$I_{Cl} = e \cdot V_a = 12,95 \text{ eV} = 12,95 \cdot 1,60219 \cdot 10^{-19} = 2,074836 \cdot 10^{-18} \text{ J}$$

3. Știind că potențialul de ionizare al sulfului este de 10,36 eV iar cel al clorului de 12,95 eV, precum și că afinitățile pentru electroni ale celor două metaloide sunt de  $-2,06 \text{ eV}$  și respectiv  $-3,47 \text{ eV}$ , să se arate care dintre aceste elemente este mai electronegativ decât celălalt. Să se verifice afirmația calculând electronegativitățile relative (în raport cu litiul) ale celor două elemente știind că litiul are potențialul de ionizare de 5,30 eV și afinitatea pentru electroni nulă.

*Rezolvare*

Se știe că este mai electronegativ elementul cu cea mai mare valoare absolută a sumei dintre potențialul său de ionizare ( $I$ ) și afinitatea sa pentru electroni ( $A$ ).

$$\left. \begin{aligned} I_S + A_S &= 10,36 + (-2,06) = 8,3 \text{ eV} \\ I_{Cl} + A_{Cl} &= 12,95 + (-3,47) = 9,48 \text{ eV} \end{aligned} \right\} \Rightarrow I_S + A_S < I_{Cl} + A_{Cl}$$

Deci clorul este mai electronegativ decât sulful. Acest lucru se poate verifica și prin determinarea celor două electronegativități relative (față de litiu)

$$\left. \begin{aligned} X_S &= \frac{I_S - A_S}{I_{Li} - A_{Li}} = \frac{10,36 - (-2,06)}{5,39 - 0} \cong 2,3 \\ X_{Cl} &= \frac{I_{Cl} - A_{Cl}}{I_{Li} - A_{Li}} = \frac{12,95 - (-3,47)}{5,39 - 0} \cong 3 \end{aligned} \right\} \Rightarrow X_S < X_{Cl}$$

4 Electronegativitatea relativă a fierului (față de litiu) este 1,8. Știind că potențialul de accelerare al electronilor pentru ionizarea atomilor de fier este de 7,83 V, se cere să se determine în eV afinitatea pentru electroni a acestui metal. Se știe că potențialul de ionizare al litiului este  $8,64 \cdot 10^{-19}$  J iar afinitatea sa pentru electroni este nulă. Se dă  $e = 1,60219 \cdot 10^{-19}$  C

### Rezolvare

*Expresia electronegativității relative a fierului este:*

$$X_{Fe} = \frac{I_{Fe} - A_{Fe}}{I_{Li} - A_{Li}},$$

*iar expresia potențialului de ionizare al fierului este, conform relației (1):*

$$I_{Fe} = eV_a$$

*unde  $e$  este sarcina electrică elementară și  $V_a$  este potențialul de accelerare.*

*Cu aceste două relații, se obține expresia electronegativității relative a fierului:*

$$X_{Fe} = \frac{eV_a - A_{Fe}}{I_{Li} - A_{Li}} \Rightarrow A_{Fe} = eV_a - X_{Fe}(I_{Li} - A_{Li}) = 1,60219 \cdot 10^{-19} \cdot 7,83 - 1,8 (8,64 \cdot 10^{-19} - 0) = (1,60219 \cdot 7,83 - 1,8 \cdot 8,64) \cdot 10^{-19} \cong -3 \cdot 10^{-19} \text{ J} \Rightarrow A_{Fe} = -3 \cdot 10^{-19} / 1,60219 \cdot 10^{-19} \cong \cong -1,87 \text{ eV}$$

5. Ce forță de atracție electrostatică apare între un ion de clor și unul de sodiu, în cadrul clorurii de sodiu, știind că rețeaua acesteia se formează prin introducerea câte unui atom de clor la mijlocul fiecărei muchii a celulei elementare cubice cu fețe centrate a sodiului, al cărui parametru de rețea este 5,6 Å. Se dă constanta de proporționalitate pentru forță de atracție  $A = 4,5 \cdot 10^{-38}$  N·m<sup>2</sup>.

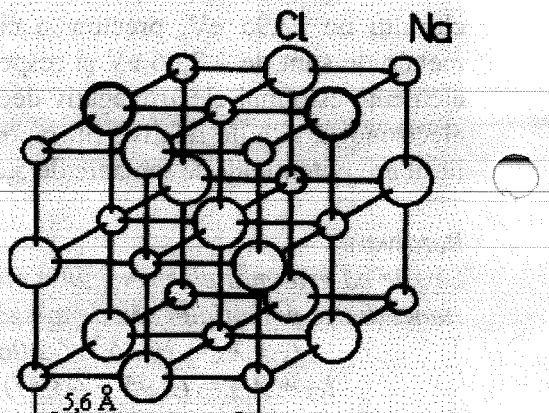
### Rezolvare

*Celula elementară a clorurii de sodiu este ilustrată alăturat. Expresia forței de atracție coulomb este:*

$$F = -\frac{A}{r^2}, \text{ unde } r = \frac{r_{Na}}{2} = \frac{5,6}{2} = 2,8 \text{ Å} = 2,8 \cdot 10^{-10} \text{ m.}$$

$$F = -\frac{4,5 \cdot 10^{-38}}{2,8 \cdot 10^{-10}} = -1,6071429 \cdot 10^{-28} \text{ N}$$

$$\Rightarrow F \cong -1,6 \cdot 10^{-28} \text{ N}$$



6. Se cere să se calculeze forța de coeziune dintre un ion de sodiu și unul de clor (din clorura de sodiu) știind că:

- distanța de echilibru dintre ioni este 2,8 Å;
- constanta de proporționalitate pentru forță de atracție este  $A = 4,5 \cdot 10^{-38}$  N·m<sup>2</sup>;

- forța de respingere este invers proporțională cu puterea a nouă a distanței dintre ioni iar cea de atracție cu puterea a două. Cum este forța de coeziune în comparație cu forța de atracție electrostatică determinată la problema nr. 5?

**Rezolvare**

Expresia generală a forței de interacțiune dintre atomi este:

$$F = -\frac{A}{r^M} + \frac{B}{r^N} \quad (2)$$

în care se cunosc:  $A = 4,5 \cdot 10^{-38} \text{ N} \cdot \text{m}^2$ ,  $M = 2$ ,  $N = 9$ ,  $r_0 = 2,8 \text{ \AA} = 2,8 \cdot 10^{-10} \text{ m}$ .

Din condiția  $F_{(r_0)} = 0 \Rightarrow B = A \cdot r_0^{N-M} = 4,5 \cdot 10^{-38} \cdot (2,8 \cdot 10^{-10})^{9-2} = 6,071805 \cdot 10^{-105} \Rightarrow B \cong 6 \cdot 10^{-105} \text{ N} \cdot \text{m}^9$ .

Forța de coeziune este forța minimă de interacțiune dintre atomi și are caracter de atracție. Distanța de corespunzătoare forței de coeziune este dată:

$$\frac{dF}{dr} = 0 \Rightarrow \frac{MA}{r^{M+1}} - \frac{BN}{r^{N+1}} = 0 \Rightarrow r = \left(\frac{BN}{MA}\right)^{\frac{1}{N-M}} = \left(\frac{6 \cdot 10^{-105} \cdot 9}{2 \cdot 4,5 \cdot 10^{-38}}\right)^{\frac{1}{7}} = 3,47527 \cdot 10^{-10} \Rightarrow$$

$$r_{coez} \cong 3,48 \cdot 10^{-10} \text{ m} = 3,48 \text{ \AA}$$

Forța de coeziune va fi:

$$F_{coez} = -\frac{4,5 \cdot 10^{-38}}{3,48^2 \cdot 10^{-20}} + \frac{6 \cdot 10^{-105}}{3,48^9 \cdot 10^{-90}} = -2,9142499 \cdot 10^{-19} \Rightarrow F_{coez} \cong -2,9 \cdot 10^{-19} \text{ N}$$

Se observă că  $F_{coez} \cong F_{atracție electrostatică} \cdot 1,8 \cdot 10^9 \text{ N}$

7. Se cere să se calculeze forța de interacțiune și natura acesteia, între doi ioni vecini, de sarcini opuse, din clorura de sodiu, când sunt deplasati cu 1 Å, față de poziția de echilibru. Se știe că:

- energia de interacțiune dintre ioni se anulează când aceștia sunt apropiati la distanța  $r_1 = 2,08 \text{ \AA}$ ;
- constanta de proporționalitate a forței de respingere este  $B = 6 \cdot 10^{-105} \text{ N} \cdot \text{m}^9$ ;
- în relația (2) a forței de interacțiune se consideră exponenții:  $M = 2$  și  $N = 9$ .

Observație: Se vor lua în considerație ambele sensuri ale deplasării atomilor.

**Rezolvare**

Integrând expresia forței de interacțiune, data de relația (2), se obține expresia energiei de interacțiune:

$$U = -\frac{A}{M-1} \cdot \frac{1}{r^{M-1}} + \frac{B}{N-1} \cdot \frac{1}{r^{N-1}}.$$

$$\text{Dacă } U(r_1) = 0 \Rightarrow -\frac{A}{M-1} \cdot \frac{1}{r_1^{M-1}} = \frac{B}{N-1} \cdot \frac{1}{r_1^{N-1}} \Rightarrow A = \frac{M-1}{N-1} Br_1^{M-N} = \frac{M-1}{N-1} \frac{B}{r_1^{N-M}} \Rightarrow$$

$$\Rightarrow A = \frac{2-1}{9-1} \cdot \frac{6 \cdot 10^{-105}}{2,08^{9-2} \cdot 10^{-10(9-2)}} = 4,4526505 \cdot 10^{-38} \Rightarrow A \cong 4,5 \cdot 10^{-38} \text{ N} \cdot \text{m}^{-2}$$

Deci expresia forței de interacțiune va avea forma:

$$F = -\frac{4,5 \cdot 10^{-38}}{r^2} + \frac{6 \cdot 10^{-105}}{r^9}. Pentru a putea calcula forța de interacțiune este necesar să se determine distanța de echilibru dintre atomi.$$

$F(r_0) = 0 \Rightarrow -\frac{A}{r_0^M} + \frac{B}{r_0^N} = 0 \Rightarrow r_0 = \left(\frac{B}{A}\right)^{\frac{1}{N-M}} = \left(\frac{6 \cdot 10^{-105}}{4,5 \cdot 10^{-38}}\right)^{\frac{1}{9-2}} = 2,79525 \cdot 10^{-10} m \Rightarrow$

$\Rightarrow r_0 \approx 2,8 \text{ \AA}. Vor trebui determinate deci } F_{(3,8\text{\AA})} \text{ și } F_{(1,8\text{\AA})}:$

$$F_{(3,8\text{\AA})} = -\frac{4,5 \cdot 10^{-38}}{3,8^2 \cdot 10^{-20}} + \frac{6 \cdot 10^{-105}}{3,8^2 \cdot 10^{-90}} = -2,7531825 \cdot 10^{-19} N \approx -2,75 \cdot 10^{-19} N$$

$$F_{(1,8\text{\AA})} = -\frac{4,5 \cdot 10^{-38}}{1,8^2 \cdot 10^{-20}} + \frac{6 \cdot 10^{-105}}{1,8^2 \cdot 10^{-90}} = 3,1637074 \cdot 10^{-17} N \approx 3,16 \cdot 10^{-17} N$$

În concluzie, atunci când ionii sunt apropiati cu 1 Å forța lor de interacțiune este de respingere iar când sunt îndepărtați cu 1 Å forța este de atracție fiind de peste 100 de ori mai mică decât în primul caz.

8. Fiind dată o funcție de undă de formă:

$$\Psi = \Psi_0 \sin(\omega t - kx)$$

în care:

$\Psi_0$  = amplitudinea funcției

$\omega$  = viteza unghiulară,  $\omega = 2\pi\nu$ ,  $\nu$  – frecvență

$k$  = numărul de undă,  $k = 2\pi/\lambda$ ,  $\lambda$  – lungimea de undă de Broglie

$x$  = drumul (distanța) parcurs de undă,

Se cere:

a) Să se deducă ecuația lui Schrödinger, în care  $k^2$  se exprimă în funcție de  $E$ , energia cinetică.

b) Ce număr de undă va avea un electron accelerat la un potențial de 50 kV?

Se dă pentru electron:  $m = 9,11 \cdot 10^{-31}$  kg,  $e = 1,60219 \cdot 10^{-19}$  C. Constanta lui Planck este  $h = 6,63 \cdot 10^{-34}$  J·s.

Rezolvare

$$a) \Psi = \Psi_0 \sin(\omega t - kx) \\ \left. \begin{aligned} \frac{d\Psi}{dx} = -k\Psi_0 \cos(\omega t - kx); \quad \frac{d^2\Psi}{dx^2} = -k^2\Psi_0 \sin(\omega t - kx) \end{aligned} \right\} \Rightarrow \frac{d^2\Psi}{dx^2} = -K^2\Psi \Rightarrow \\ \Rightarrow \frac{d^2\Psi}{dx^2} + K^2\Psi = 0$$

$$\left. \begin{aligned} K = 2\pi/\lambda \\ \lambda = h/(mv) \\ E = mv^2/2 \end{aligned} \right\} \Rightarrow K = \frac{2\pi mv}{h} \Rightarrow mv = \frac{Kh}{2\pi} \Rightarrow E = \frac{K^2 h^2}{4\pi^2 \cdot 2m} \Rightarrow K^2 = \frac{8\pi^2 m E}{h^2}$$

Deci ecuația lui Schrödinger va fi:

$$\frac{d^2\Psi}{dx^2} + \frac{8\pi^2 m E}{h^2} \Psi = 0 \quad (3)$$

b) Se consideră că toată energia potențială a electronului se transformă în energie cinetică:

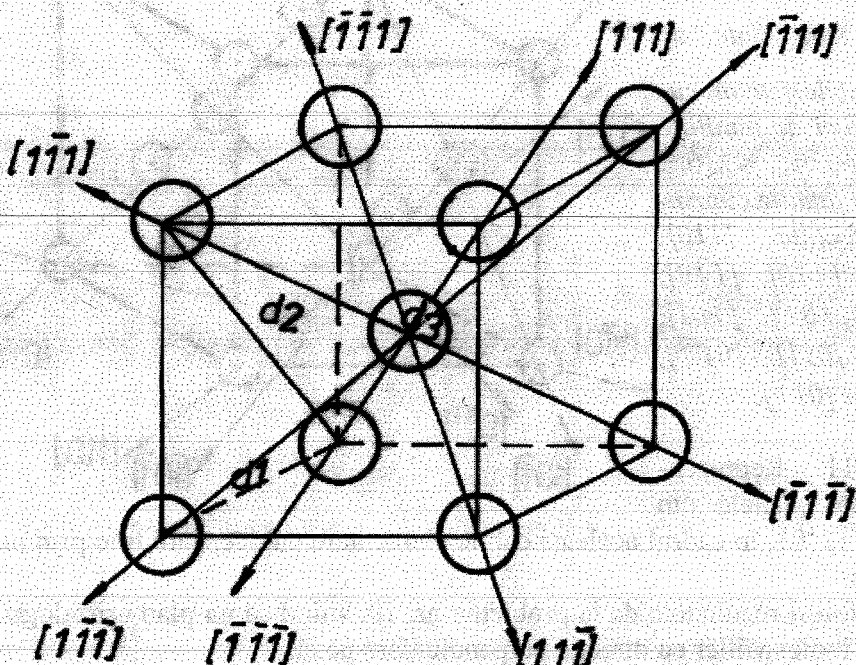
$$eU = \frac{mv^2}{2} = \frac{(mv)^2}{2m} \Rightarrow mv = \sqrt{2meU}$$

Numărul de undă este:

$$K = \frac{2\pi}{\lambda}, \text{ unde } \lambda = \frac{h}{mv} \Rightarrow K = \frac{2\pi mv}{h} \quad \left. \begin{array}{l} \Rightarrow K = \frac{2\pi}{h} \sqrt{2meU} = \frac{2\pi}{6,63 \cdot 10^{-34}} \cdot \\ \cdot \sqrt{2 \cdot 9,11 \cdot 10^{-34} \cdot 1,60219 \cdot 10^{-19} \cdot 5 \cdot 10^4} \Rightarrow \\ \Rightarrow K \cong 11,45 \cdot 10^{11} m^{-1}. \end{array} \right.$$

9. Reprezentați o schiță a celulei elementare cubice cu volum centrat. Știind că o direcție compactă este acea direcție care are cea mai mare densitate de atomi, (pe o lungime dată), calculați distanța dintre 2 atomi vecini, după fiecare dintre cele 3 familii de direcții compacte definite de atomii acestei celule. Determinați familia de direcții cu cea mai mare compactitate, notând pe celula elementară reprezentată, toate direcțiile care fac parte din familia respectivă.

Rezolvare



În reprezentarea de mai sus se observă că atomii celulei elementare cubice cu volum central nu pot defini decât 3 familii de direcții:

$\langle 100 \rangle$  - notată cu  $d_1$  (latura cubului),  $\langle 110 \rangle$  - notată cu  $d_2$  (diagonala feței) și  $\langle 111 \rangle$  - notată cu  $d_3$  (diagonala spațială).

Notând cu "a" parametrul rețelei, distanța dintre 2 atomi vecini, situați pe cele 3 direcții de mai sus, este:

$a -$  după  $d_1$   
 $a\sqrt{2} -$  după  $d_2$   
 $a\frac{\sqrt{3}}{2} -$  după  $d_3$

}  $\Rightarrow$  familia de direcții compacte, cu atomii cei mai apropiati, este  $\langle 111 \rangle$  care corespunde diagonalelor cubului, parcuse în 2 sensuri:  $[111]$ ,  $[\bar{1}\bar{1}\bar{1}]$ ,  $[\bar{1}\bar{1}1]$ ,  $[1\bar{1}\bar{1}]$ ,  $[\bar{1}1\bar{1}]$ ,  $[1\bar{1}\bar{1}]$ ,  $[\bar{1}\bar{1}\bar{1}]$  și  $[1\bar{1}\bar{1}]$

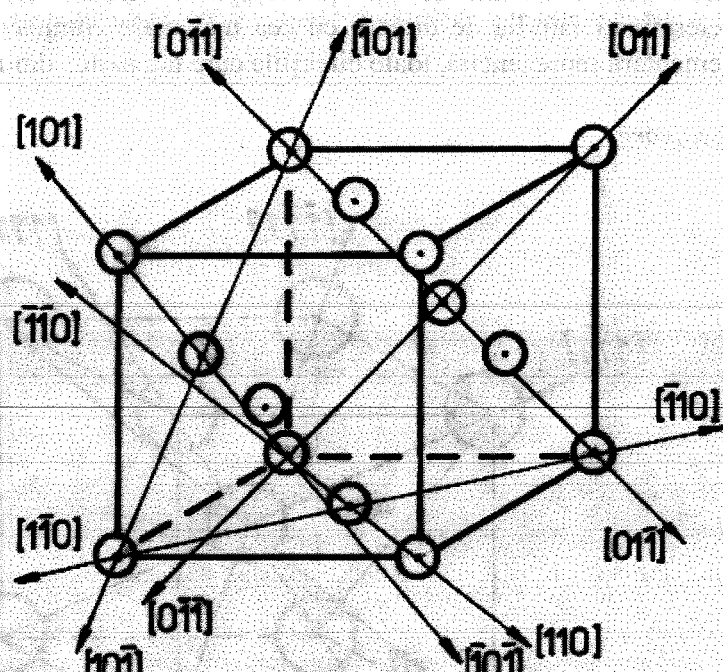
10. Reprezentați o schiță a celulei elementare cubice cu fețe centrate și determinați familia de direcții cu cea mai mare compactitate, după care trasați, pe 3 fețe ale cubului, toate direcțiile ce fac parte din ea.

Indicație: Compactitatea unei direcții depinde de densitatea de atomi iar fiecare direcție poate fi parcursă în 2 sensuri.

Rezolvare

Se observă că direcțiile care conțin cei mai apropiati atomi (la  $\frac{a\sqrt{2}}{2}$ ) sunt date de diagonalele fețelor cubului, deci de familiile de direcții  $\langle 110 \rangle$ .

Această familie cuprinde direcțiile:  $[110]$ ,  $[\bar{1}\bar{1}0]$ ,  $[\bar{1}10]$ ,  $[1\bar{1}0]$ ,  $[101]$ ,  $[\bar{1}01]$ ,  $[\bar{1}0\bar{1}]$ ,  $[10\bar{1}]$ ,  $[011]$ ,  $[0\bar{1}\bar{1}]$ ,  $[0\bar{1}1]$  și  $[01\bar{1}]$ .

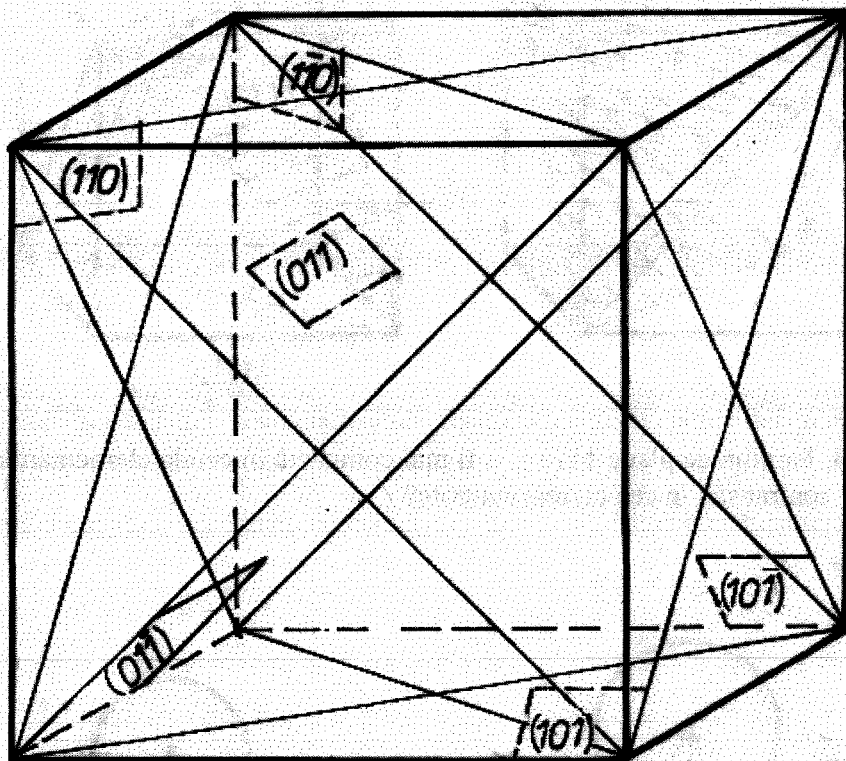


11. Reprezentați toate planele din familia  $\{110\}$ , în cadrul aceleiași celule elementare cubice, care trec prin muchiile acesteia.

Se pot folosi rezultatele de la problema nr. 10, știind că un plan cristalografic are aceeași indice Miller cu direcția perpendiculară pe el.

### Rezolvare

La problema precedentă s-au prezentat 12 direcții din familia  $\langle 110 \rangle$ .



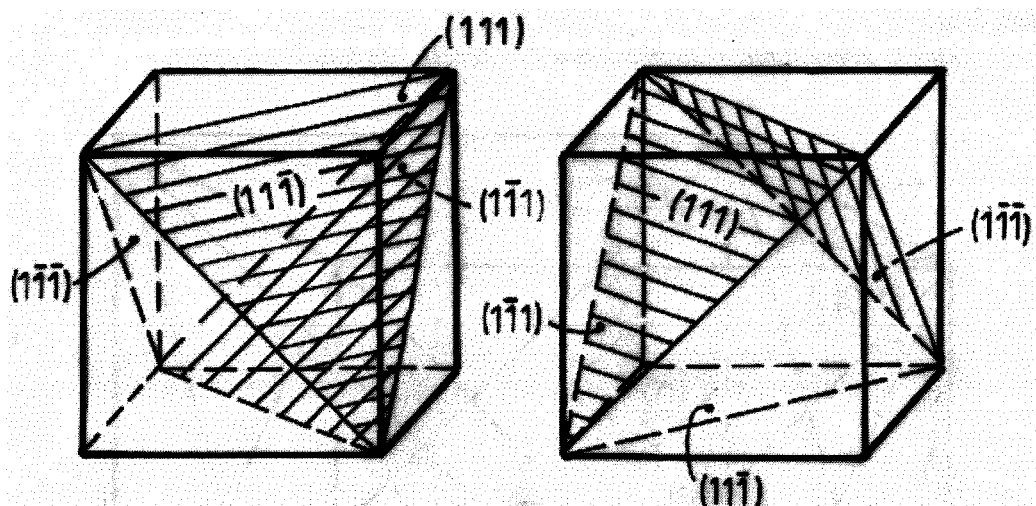
Reprezentând doar planele cuprinse în celula elementară cubică, și ținând cont că aceste plane au aceiași indicații cu direcțiile perpendiculare pe ele, sunt reșinute 6 plane:  $(110)$ ,  $(\bar{1}\bar{1}0)$ ,  $(101)$ ,  $(\bar{1}01)$ ,  $(011)$  și  $(\bar{0}\bar{1}1)$ .

Se constată că planele  $\{110\}$  sunt definite, fiecare, de câte 2 diagonale paralele ale fețelor și de câte 2 laturi ale cubului.

12. În celula primitivă cubică, Thompson a definit un tetraedru regulat, format numai din plane din familia  $\{111\}$ . Câte astfel de tetraedre se pot defini într-o celulă primitivă cubică? Reprezentați fiecare astfel de tetraedru în cîte o celulă primitivă cubică și identificați planele din componența lui.

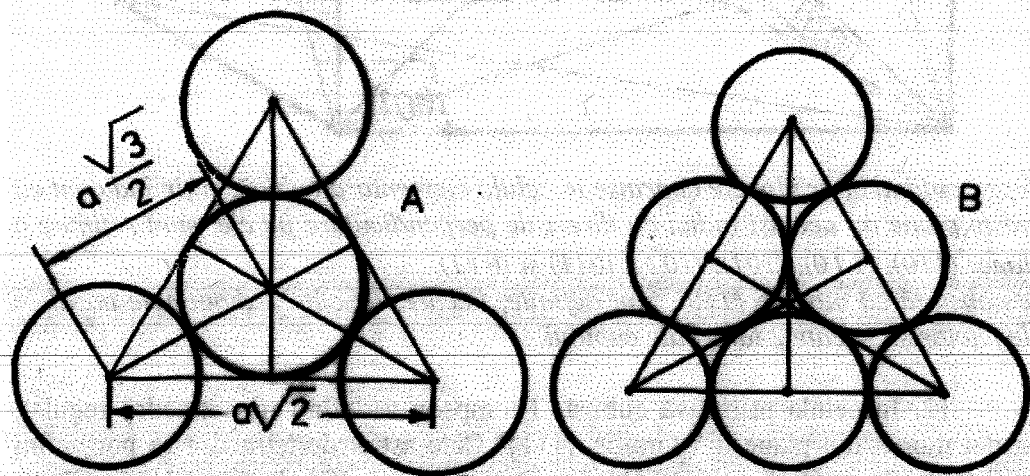
### Rezolvare

Intersecțiile planelor (muchii) tetraedrului cu celula elementară sunt diagonale ale fețelor cubului. Fiecare tetraedru are cîte 6 muchii deci numai 6 dintre diagonalele fețelor intră în componența tetraedrului. Cum, în total, sunt 12 diagonale iar aceeași diagonală nu poate fi muchie a două tetraedre diferite, rezultă că în celula primitivă cubică nu pot exista decât 2 tetraedre Thomson diferite.



13. Familia de plane  $\{111\}$  va fi mai compactă în celula elementară cubică cu volum centrat sau în cea cu fețe centrate?

*Rezolvare*

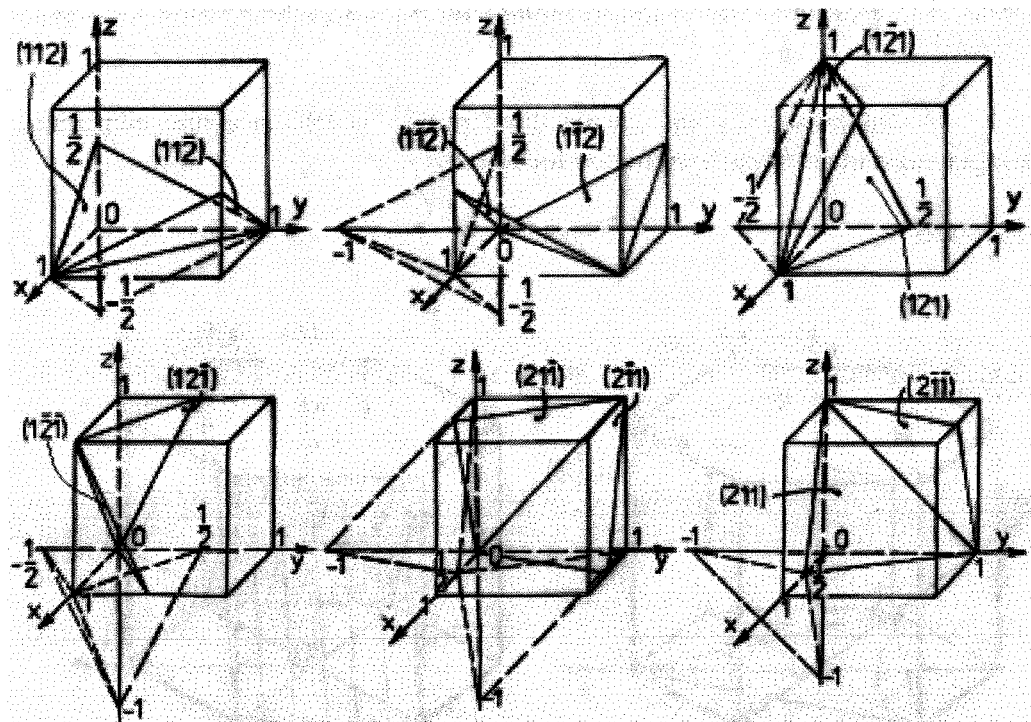


Din schițele de mai sus se observă că planele  $\{111\}$  sunt mai compacte la celula elementară c.f.c. (B) decât la c.v.c. (A).

14. Reprezentați cele 12 plane ale familiei  $\{112\}$ , câte 2 în câte o celulă primitivă cubică și identificați-le cu ajutorul indicilor Miller.

*Rezolvare*

În familia  $\{112\}$  există 24 de plane dintre care 12 sunt reprezentate mai jos:



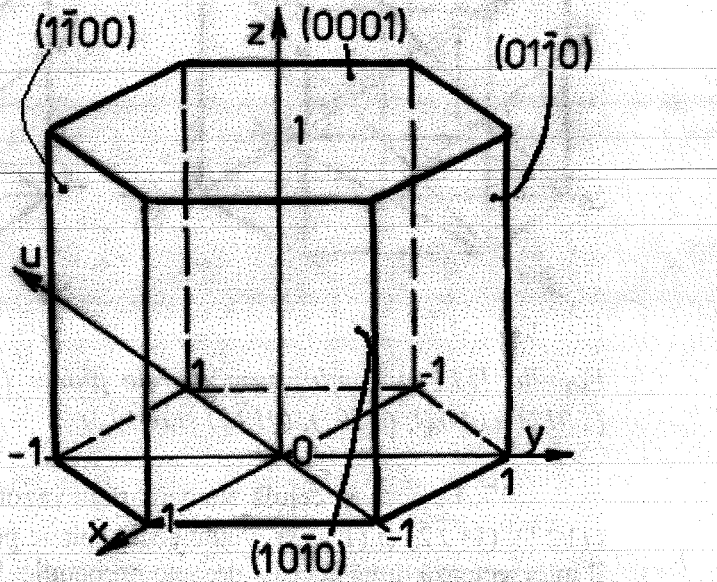
Cele 12 plane nereprezentate sunt paralele cu cele din figurile de mai sus astfel:  
 $(\bar{1}\bar{1}2)/(112)$ ;  $(\bar{1}\bar{1}2)/(1\bar{1}2)$ ;  $(\bar{1}12)/(1\bar{1}\bar{2})$ ;  $(\bar{1}1\bar{2})/(1\bar{1}2)$ ;  $(\bar{1}2\bar{1})/(1\bar{2}1)$ ;  
 $(\bar{1}2\bar{1})/(121)$ ;  $(\bar{1}21)/(1\bar{2}\bar{1})$ ;  $(\bar{1}\bar{2}1)/(12\bar{1})$ ;  $(\bar{2}\bar{1}1)/(21\bar{1})$ ,  $(\bar{2}1\bar{1})/(2\bar{1}1)$ ;  
 $(\bar{2}\bar{1}\bar{1})/(211)$ ;  $(211)/(2\bar{1}\bar{1})$

15. O celulă elementară hexagonală este definită prin 8 plane, paralele 2 câte 2. Deci din punct de vedere cristalografic există doar 4 plane. Reprezentați și identificați aceste plane. Câte plane sunt necesare pentru a defini celula primitivă a sistemului hexagonal?

*Rezolvare*

Din schița alăturată se constată că fețele laterale ale prismei sunt plane din familia  $\{1100\}$  iar fețele frontale, numite și plane de bază, au indicii  $(0001)$ .

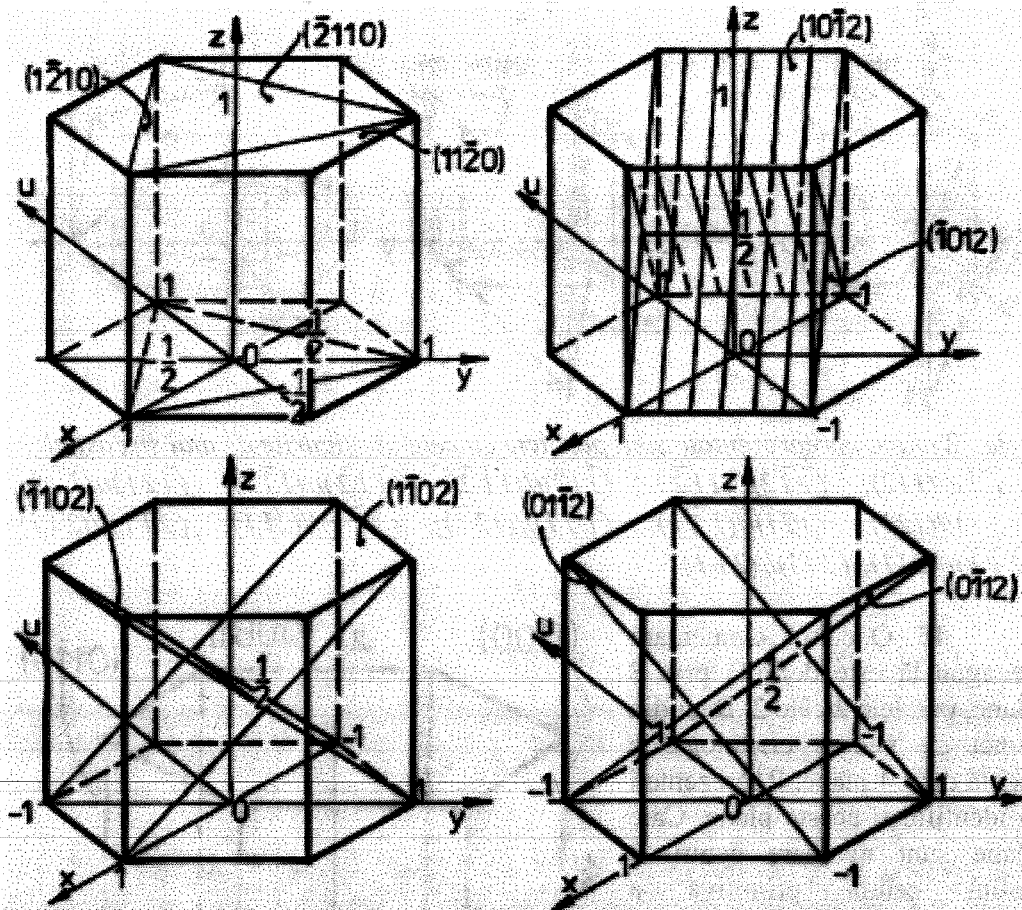
Celula primitivă a sistemului hexagonal este o prismă rombică pentru definirea



căreia sunt necesare doar 3 plane: planul de bază și alte 2 plane ale fețelor laterale.

16. Reprezentați toate planele din familia  $\{11\bar{2}0\}$  în celule elementare hexagonale și identificați-le cu indicii lor Miller.

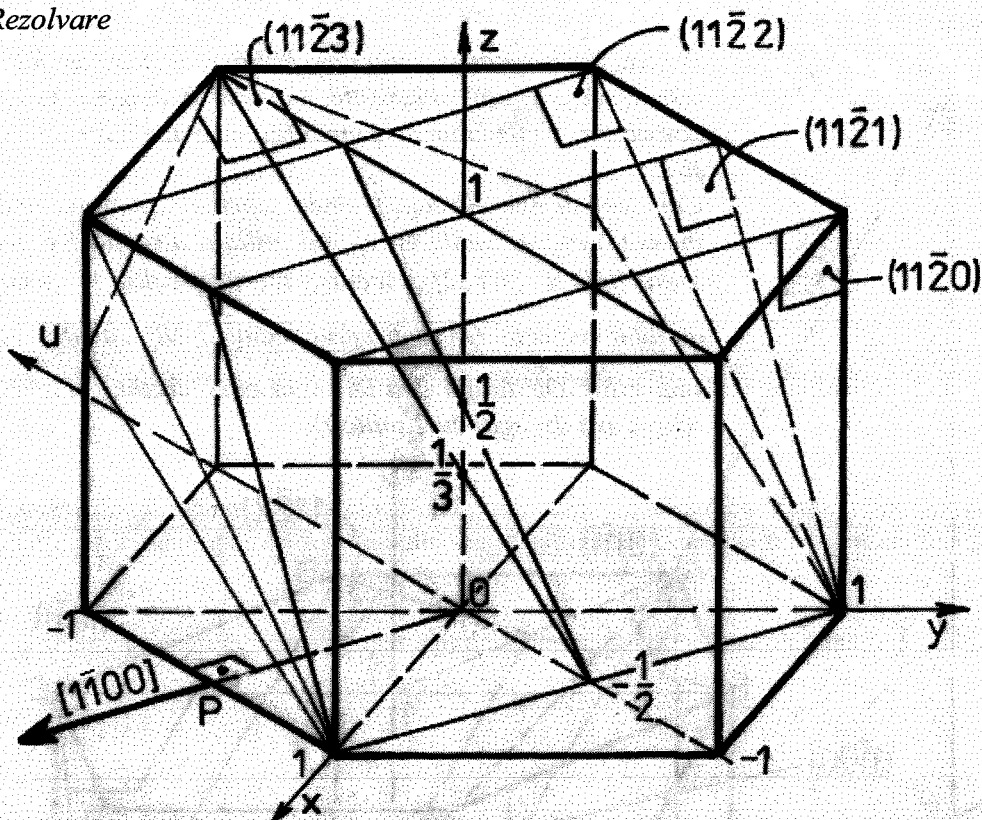
*Rezolvare*



Familia  $\{11\bar{2}0\}$  conține următoarele plane:  $(11\bar{2}0)$ ,  $(1\bar{2}10)$ ,  $(\bar{2}110)$ ,  $(10\bar{1}2)$ ,  $(\bar{1}012)$ ,  $(1\bar{1}02)$ ,  $(\bar{1}102)$ ,  $(01\bar{1}2)$  și  $(0\bar{1}12)$ .

17. Pe aceeași celulă elementară hexagonală, reprezentați planele:  $(11\bar{2}0)$ ,  $(11\bar{2}1)$ ,  $(11\bar{2}2)$  și  $(11\bar{2}3)$ . Toate aceste plane pornesc din planul de bază, pe care îl intersectează după aceeași dreaptă perpendiculară pe axa  $Ou$ . Identificați direcția acestei drepte.

Rezolvare

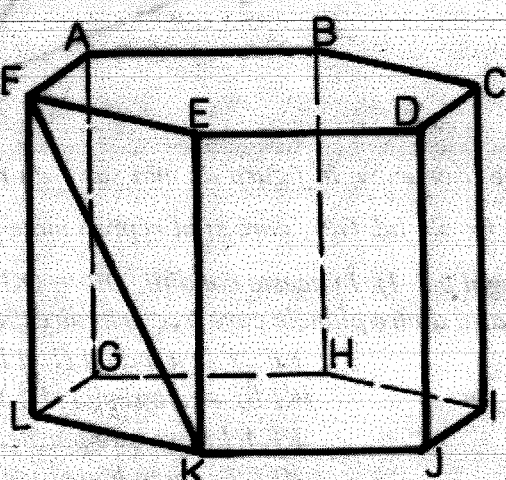


Se observă că planul  $(1\bar{1}21)$  intersectează axa  $0z$  în 1, planul  $(1\bar{1}22)$  o intersectează în  $1/2$  iar  $(1\bar{1}23)$  în  $1/3$ . De asemenea, se observă că toate cele 4 plane trec prin planul de bază prin dreapta care intersectează axele  $0x$ ,  $0y$  și  $0u$  în punctele: 1, 1 și respectiv  $-1/2$ . Pentru identificarea indicilor acestei direcții, direcția a fost translatată prin origine. Înănd cont că direcția este perpendiculară pe axa  $0u$ , coordonatele punctului de intersecție, P, cu celula elementară sunt:

1 cu axa  $0x$  și  $-1$  cu axa  $0y$ . Cum

proiecțiile pe axele  $0u$  și  $0z$  sunt nule, indicii Miller ai direcției  $OP$  sunt  $[1\bar{1}00]$ .

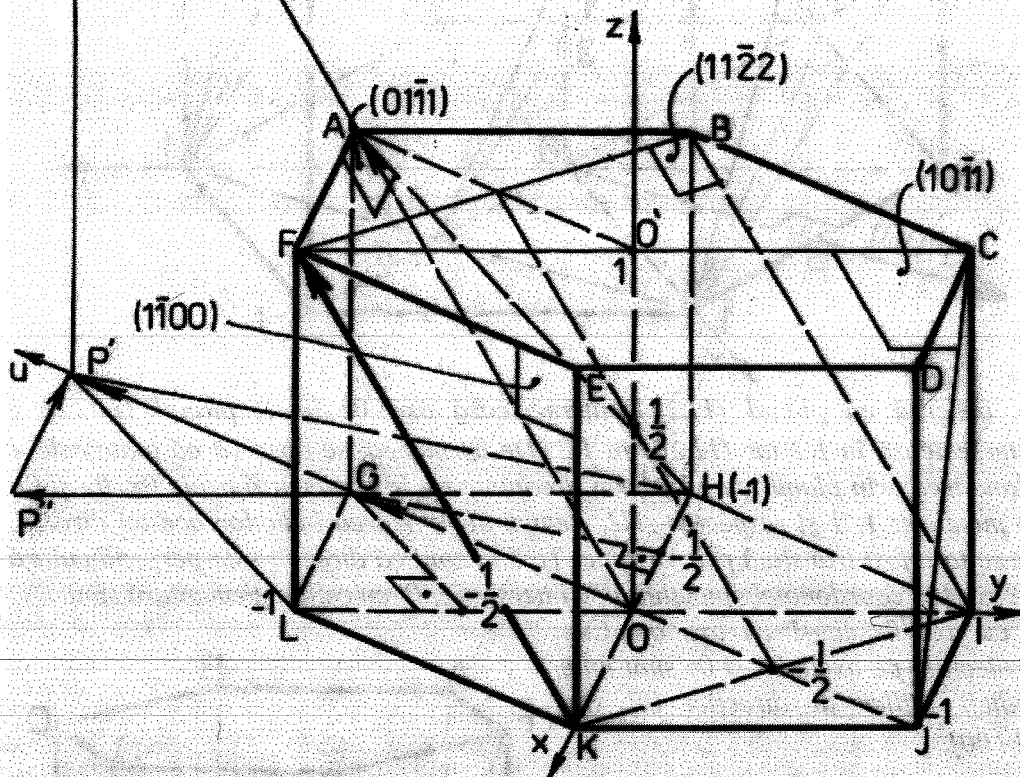
18. În celula elementară hexagonală alăturată, notată ABCDEFGHIJKL, se cere să se determine indicii Miller ai direcției KF precum și cei ai unui număr de 4 plane care trec prin aceasta. Să se reprezinte grafic metoda de determinare a indicilor.



## Rezolvare

Pentru determinarea indicilor Miller ai direcției  $KF$ , este necesar ca direcția să fie translată în origine, unde devine  $OA$ . Coordonatele punctului  $A$  sunt:  $-1/2, -1/2, 1$  și  $1$ .

Cum indicii unei direcții trebuie exprimăți prin numere întregi, proporționale cu indicii inițiali, direcția  $KF$  va avea indicii  $[1\bar{1}22]$ . Aceeași lucru rezultă și dacă dublăm vectorul  $\vec{OA}$ , obținând vectorul  $\vec{OP}$  ca sumă a vectorilor  $\vec{OP'}$  (după axa  $0u$ , egal cu 2 unități) și  $\vec{P'P}$  (după axa  $0z$ , egal cu 2 unități).



De asemenea, în figura de mai sus s-au reprezentat componente după axele  $0y$  și  $0x$  ale lui  $\vec{GP'}$ , care sunt reprezentate prin vectorii  $\vec{GP''}$  (egal cu  $-1$ ) și  $\vec{P''P'}$  (egal cu  $-1$ ). În aceste condiții,  $\vec{OP} = \vec{OG} + \vec{GP''} + \vec{P''P'} + \vec{P'P}$ .

Patru dintre planele care trec prin direcția  $KF$  sunt:

$KFCJ$  – cu indicii  $(10\bar{1}1)$ ,

$KFBI$  – cu indicii  $(11\bar{2}2)$ ,

$KFAH$ , care este paralel cu  $EBIJ$  – cu indicii  $(01\bar{1}1)$  și

$KLFE$  – cu indicii  $(1\bar{1}00)$

19. Planul de bază al celulei elementare hexagonal-compacte cuprinde 6 atomi situați în vârfurile unui hexagon regulat și al-VII-lea situat în centrul hexagonului și tangent la toți ceilalți 6. Aceștia, la rândul lor, sunt fiecare dintre ei tangenți la câte 2 atomi situați în cele 2 colțuri învecinate ale hexagonului, astfel încât diametrul atomilor este egal cu latura hexagonului. Între cei 7 atomi ai planului de bază se formează 6 gropi de potențial. În 3 dintre acestea (situate la  $120^{\circ}$ , una față de alta) se plasează cei 3 atomi din interiorul celulei. Peste aceștia se suprapun alți 7 atomi care formează planul de bază superior al celulei elementare hexagonal-compacte.

Pe baza considerentelor de mai sus, determinați gradul de compactitate al celulei elementare hexagonal-compacte.

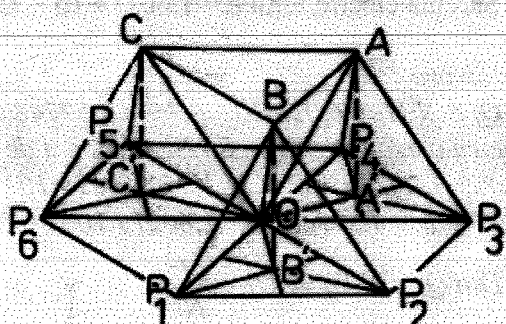
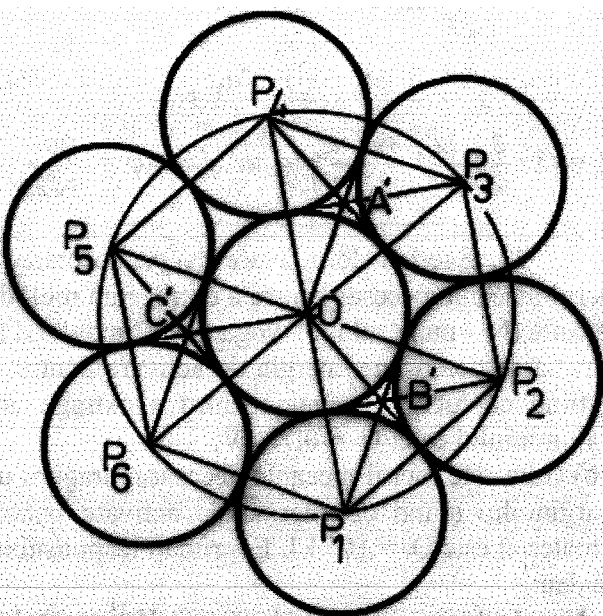
### Rezolvare

În schița alăturată s-au prezentat atomii din planul de bază și proiecțiile în acest plan (notate cu  $A'$ ,  $B'$  și  $C'$ ), ale centrelor celor 3 atomi din interiorul celulei elementare hexagonal compacte. Fiecare dintre centrele acestor atomi, din interior, împreună cu centrele celor 3 atomi corespunzători, din planul de bază, cu care vin în contact, determină câte un tetraedru regulat cu muchia egală cu latura hexagonului, după cum s-a ilustrat în schița de jos.

Pentru calculul gradului de compactitate trebuie cunoscută înălțimea celulei elementare care este egală cu  $2AA' = 2BB' = 2CC'$ . Notând cu  $a$  latura hexagonului, înălțimea prismei se calculează cu:

$$H = 2 \sqrt{a^2 - \left( \frac{a\sqrt{3}}{2} \cdot \frac{2}{3} \right)^2} = \\ = 2 \sqrt{a^2 - \frac{a^2}{3}} = 2a\sqrt{\frac{2}{3}}$$

Gradul de compactitate se calculează cu:  $\varphi = \frac{V_a}{V_c}$ , unde:



$V_a$  = volumul atomilor care aparțin exclusiv celulei elementare,  $V_c$  = volumul celulei.

$V_a = N \cdot \frac{4\pi}{3} \cdot r^3$ , unde  $N$  = numărul de atomi pe celula elementară.  $N = N_i + \frac{N_f}{2} + \frac{N_c}{6}$ . Aici  $N_i = 3$ , numărul de atomi din interiorul celulei;  $N_f = 2$ , numărul de atomi aflați pe fețele celulei și  $N_c = 12$ , numărul de atomi din colțurile celulei. De asemenea, se consideră  $r = \frac{a}{2}$  raza atomilor. Cu aceste date, se calculează volumul celulei ca sumă a 6 prisme drepte, cu baza triunghi echilateral:

$$V_c = 6 \cdot \frac{a \cdot \frac{a\sqrt{3}}{2}}{2} \cdot H = 6 \cdot \frac{a^2 \sqrt{3}}{4} \cdot 2a \sqrt{\frac{2}{3}} = 3a^3 \sqrt{2}. Pe\ de\ altă\ parte:$$

$$V_a = (3 + \frac{2}{2} + \frac{12}{6}) \cdot \frac{4\pi}{3} \left(\frac{a}{2}\right)^3 = \pi a^3. Deci \varphi = \frac{\pi a^3}{3\sqrt{2}a^3} = \frac{\pi}{3\sqrt{2}} \approx 0,74 \Rightarrow \varphi = 74\%$$

20. Energia de activare pentru formarea vacanțelor ( $Q_f$ ) se definește ca lucru mecanic necesar pentru a extrage un mol. dintr-un material, formând deci  $N$  vacanțe ( $N$  – numărul lui Avogadro). Cunoscând acest lucru, se cere:

a) Să se determine energia de activare pentru formarea vacanțelor în aluminiu știind că lucru mecanic pentru a extrage un atom din rețeaua cristalină a aluminiului este:  $U_f = 0,76$  eV;

b) Care este lucru mecanic necesar extragerii unui atom din rețeaua cristalină a argintului știind că energia de activare pentru formarea vacanțelor în acest material este  $Q_f = 105$  kJ. Exprimăți răspunsul în eV.

Se dă:

$$\text{Numărul lui Avogadro } N = 6,023 \cdot 10^{23} \text{ at./mol.}$$

$$\text{Sarcina electronului } e = 1,60219 \cdot 10^{-19} \text{ C}$$

### Rezolvare

$$a) Q_f = N \cdot U_f = 6,023 \cdot 10^{23} \cdot 0,76 = 4,57748 \cdot 10^{23} \text{ eV}$$

Pentru a exprima  $Q_f$  în S.I. se ține cont de expresia electron-voltului:

$$1 \text{ eV} = 1,60219 \cdot 10^{-19} \text{ C} \cdot 1 \text{ V} = 1,60219 \cdot 10^{-19} \text{ J}$$

$$\text{Deci } Q_{fAl} = 4,57748 \cdot 10^{23} \cdot 1,60219 \cdot 10^{-19} = 73339,926 \text{ J} \Rightarrow Q_{fAl} \approx 73,34 \text{ kJ}$$

$$b) \text{Din } Q_f = N \cdot U_f \Rightarrow U_f = \frac{Q_f}{N} \quad \left. \begin{array}{l} \\ \\ \end{array} \right\} \Rightarrow U_{fAg} = \frac{105 \cdot 10^3}{1,60219 \cdot 10^{-19} \cdot 6,023 \cdot 10^{23}} \approx 1,088 \text{ eV} \Rightarrow$$

$$\text{cum } Q_f = 105 \text{ kJ} = \frac{105 \cdot 10^3}{1,60219 \cdot 10^{-19}} \Rightarrow U_{fAg} \approx 1,09 \text{ eV}$$

21. Se cere să se calculeze în S.I. variația energiei interne provocată de vacanțe, într-un mol de cupru, aflat la temperatura camerei, știind că:

- energia de activare pentru formarea unui mol de vacanțe este  $Q_f = 20 \text{ kcal}$
- raportul dintre numărul de vacanțe în echilibru ( $n_v$ ) și numărul total de locuri din rețea, care în acest caz va fi aproimat cu numărul atomilor dintr-un mol ( $N$ ), este  $n_v/N = 4,45 \cdot 10^{-15}$

Se dau:

- temperatura camerei  $T_0 = 300 \text{ K}$
- $1 \text{ cal} = 4,18 \text{ J}$

### Rezolvare

*Variația energiei interne provocată de vacanțe este:*

*$U = n_v U_f$ , unde  $U_f$  este lucrul mecanic necesar formării unei vacanțe, calculat cu*

$$U_f = \frac{Q_f}{N} \text{ iar } n_v = 4,45 \cdot 10^{-15} \cdot N$$

$$\text{Așadar, } U = 4,45 \cdot 10^{-15} \cdot N \cdot \frac{Q_f}{N} = 4,45 \cdot 10^{-15} \cdot 20000 \cdot 4,18 = 3,7202 \cdot 10^{-10} \text{ J} \Rightarrow \\ \Rightarrow U \approx 3,72 \cdot 10^{-10} \text{ J}$$

22. În figura alăturată s-a prezentat variația energiei libere  $F$ , în funcție de numărul de vacanțe,  $n_v$ , conform relației:

$$F = n_v \cdot U_f - T \cdot S_{\text{conf}} \quad (4)$$

în care:

$U_f$  = lucrul mecanic necesar formării unei vacanțe,

$T$  = temperatura, K

$S_{\text{conf}}$  = entropia de configurație, cu expresia:

$$S_{\text{conf}} = K \cdot \ln \frac{N!}{(N - n_v)! n_v!} \quad (5)$$

Tinând cont de aproximarea lui Stirling,  $\ln N! \approx N \ln N - N$ , se obține:

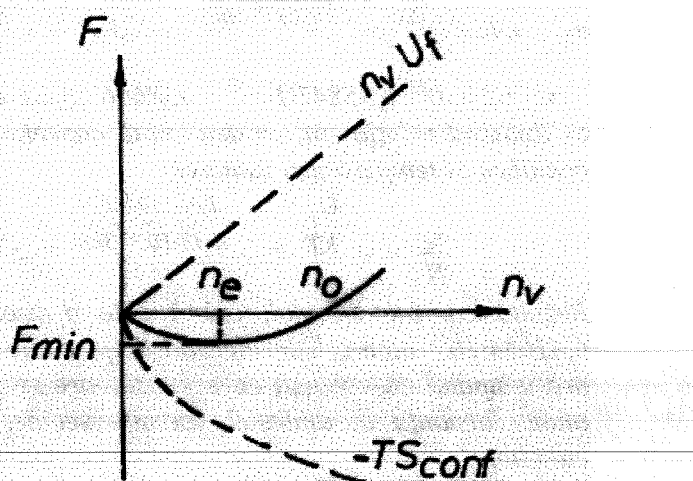
$$S_{\text{conf}} \approx K \{N \ln N - N - [(N - n_v) \ln(N - n_v) - (N - n_v) + n_v \ln n_v - n_v]\} = K [N \ln N - (N - n_v) \ln(N - n_v) - n_v \ln n_v], \text{ în care:}$$

$k = 1,38 \cdot 10^{-23} \text{ J/K}$  – constanta lui Boltzman;

$N$  = numărul total de locuri din rețeaua cristalină care, pentru un mol de substanță, este egal cu numărul lui Avogadro,  $N = 6,023 \cdot 10^{23} \text{ at./mol}$ .

Considerând un mol de substanță aflat în stare de echilibru termodinamic, la temperatura camerei, ( $T = 300 \text{ K}$ ) și știind că  $U_f = 1 \text{ eV} = 1,60219 \cdot 10^{-19} \text{ J}$ , se cere:

a) Să se determine numărul de vacanțe la echilibru,  $n_e$ .



- b) Care este distanța aproximativă,  $d$ , dintre vacanțe, exprimată în distanțe atomice?
- c) Ce se întâmplă cu valorile lui  $n_e$  și  $d$  când crește temperatura?

*Rezolvare*

a) Se consideră expresia energiei libere:

$$F = U_f n_v - KT[\ln N - (N-n_v)\ln(N-n_v) - n_v \ln n_v].$$

Pentru determinarea lui  $n_e$  este necesar ca  $dF/dn_v = 0 \Rightarrow$

$$\Rightarrow U_f - KT[\ln(N-n_v) + (N-n_v) \cdot \frac{1}{N-n_v} - \ln n_v - n_v \cdot \frac{1}{n_v}] = 0 \Rightarrow$$

$$\Rightarrow U_f - KT[\ln(N-n_v) - \ln n_v] = 0 \Rightarrow U_f - KT \cdot \ln \frac{N-n_v}{n_v} = 0 \Rightarrow \frac{N-n_v}{n_v} = e^{-\frac{U_f}{KT}}.$$

Cum  $N \gg n_v \Rightarrow N - n_v \approx N \Rightarrow$

$$\Rightarrow n_e = N \cdot e^{-\frac{U_f}{KT}} \quad (6)$$

$$n_e = 6,023 \cdot 10^{23} \cdot e^{\frac{1,60219 \cdot 10^{-19}}{1,38 \cdot 10^{-23} \cdot 300}} = 6,023 \cdot 10^{23} \cdot e^{-38,700241} =$$

$$= 6,023 \cdot 10^{23} \cdot 1,55847 \cdot 10^{-17} = 9386664,8 \Rightarrow n_e \approx 10^7 \text{ vacanțe}$$

b) Reluând relația (6), se determină concentrația de vacanțe aflate în stare de echilibru la temperatura camerei:

$$\frac{n_e}{N} = e^{-\frac{U_f}{KT}} = e^{\frac{1,60219 \cdot 10^{-19}}{1,38 \cdot 10^{-23} \cdot 300}} = e^{-38,700241} = 1,55847 \cdot 10^{-17}$$

Rezultă că, într-un mol, există câte o vacanță la fiecare  $(1,55847 \cdot 10^{-17})^{-1} \approx 6,41654 \cdot 10^{16}$  atomi. Considerând drept cubic volumul ocupat de acești atomi și presupunând că vacanța corespunzătoare se găsește plasată în centrul cubului, atunci distanța  $d$ , dintre 2 vacanțe vecine, poate fi aproximată prin latura cubului:

$d = \sqrt[3]{6,41654 \cdot 10^{16}} \approx 400344$  atomi. Deci între vacanțele aflate în stare de echilibru termodinamic la temperatura camerei există aproximativ 400000 de distanțe interatomice.

c) Din relația (6), a numărului de vacanțe la echilibru, se observă că creșterea temperaturii duce la creșterea numărului de vacanțe în echilibru ( $n_e$ ) care ocupă tot volumul unui mol, deci distanța ( $d$ ) dintre ele scade.

23. În figura de mai jos s-au reprezentat 2 etape succesive ale alunecării „sincrone” a 2 plane adiacente dintr-un cristal ipotetic, compact. Sub acțiunea tensiunii tangențiale  $\tau$ , toți atomii din planul de sus, notați A<sub>1</sub>, B<sub>1</sub>, C<sub>1</sub> și D<sub>1</sub>, se ridică din golurile (gropile de potențial), pe care le ocupă în etapa I, atingând

poziția numită „punct de șa” deasupra atomilor corespunzători din planul de jos, notați  $A_2$ ,  $B_2$ ,  $C_2$  și  $D_2$  în etapa II, după care cad din nou, în golul următor.

Se observă că efortul de forfecare este maxim în punctul de șa.

Știind că pentru producerea alunecării sincrone este necesar să se producă forfecarea pe o distanță atomică, corespunzătoare deplasării din etapa I în etapa II, se cere:

a) Să se determine, cu ajutorul legii lui Hooke, rezistența teoretică,  $\tau_{cr1}$ , la deformarea prin alunecare sincronă pentru metalele: nichel (tras la rece), cupru și aluminiu.

b) Pe lângă expresia rezistenței teoretice,  $\tau_{cr1}$ , dedusă la pct.a), pentru calculul acestei caracteristici se mai recomandă relațiile  $\tau_{cr2} = \frac{G}{2\pi}$  sau  $\tau_{cr3} = \frac{G}{30}$ . Să se compare aceste valori ale rezistenței teoretice cu cele ale rezistenței reale,  $\tau_{real}$ .

Cum se explică diferențele care apar între valorile teoretice și cele reale?

Se dau:

- pentru nichel –  $G_{Ni} = 8000 \text{ daN/mm}^2$  și  $\tau_{realNi} = 0,5 \text{ daN/mm}^2$ ;
- pentru cupru –  $G_{Cu} = 4400 \text{ daN/mm}^2$  și  $\tau_{realCu} = 0,05 \text{ daN/mm}^2$ ;
- pentru aluminiu –  $G_{Al} = 2500 \text{ daN/mm}^2$  și  $\tau_{realAl} = 0,08 \text{ daN/mm}^2$ ;

### Rezolvare

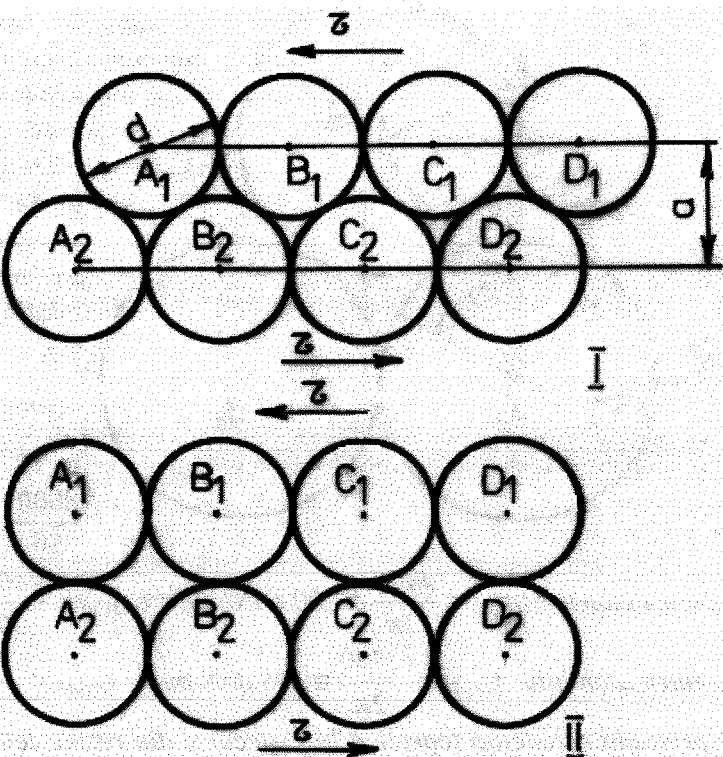
a) pentru determinarea lui  $\tau_{cr1}$  se aplică legea lui Hooke:

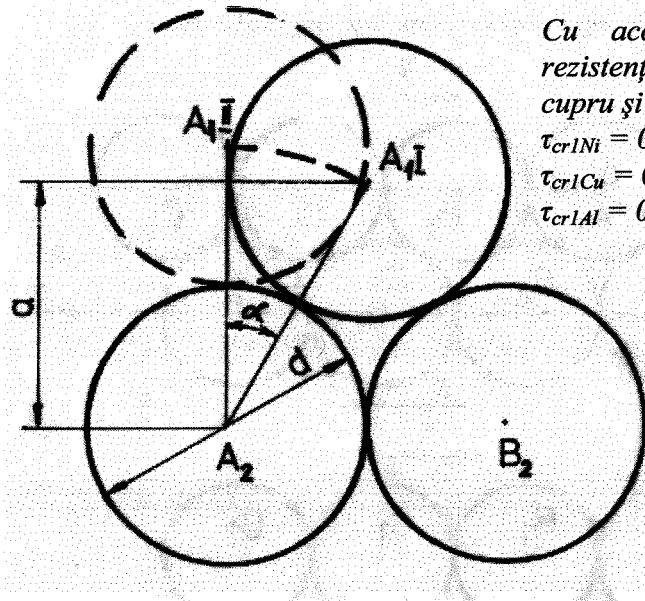
$$\tau_{cr} = G\gamma \quad (7)$$

unde  $G$  – modulul de elasticitate transversal (cunoscut) iar  $\gamma$  – deformarea unghiulară sau de forfecare (care trebuie determinată).

Din figura de mai jos reiese că deformarea la forfecare se produce prin deplasarea atomului de sus, din poziția  $A_{I1}$  în poziția  $A_{I11}$ .

În aceste condiții:  $\gamma = \tan \alpha \approx \frac{d}{2a}$ . Cum  $a \sim d \Rightarrow \gamma \approx 0,5$ .





Deci  $\tau_{cr1} = 0,5 \cdot G$ .

Cu această relație se determină rezistențele teoretice pentru nichel, cupru și aluminiu:

$$\tau_{cr1Ni} = 0,5 \cdot 8000 = 4000 \text{ daN/mm}^2$$

$$\tau_{cr1Cu} = 0,5 \cdot 4400 = 2200 \text{ daN/mm}^2$$

$$\tau_{cr1Al} = 0,5 \cdot 2500 = 1250 \text{ daN/mm}^2$$

b) Se calculează rezistențele teoretice ale celor 3 metale de mai sus, cu celelalte 2 relații, obținându-se  $\tau_{cr2}$  și  $\tau_{cr3}$ .

$$\begin{aligned} \text{- pentru nichel: } \tau_{cr2Ni} &= \frac{8000}{2\pi} \\ &\approx 1273 \text{ daN/mm}^2; \quad \tau_{cr3Ni} = \\ &\frac{8000}{30} \approx 267 \text{ daN/mm}^2 \end{aligned}$$

$$\text{- pentru cupru: } \tau_{cr2Cu} = \frac{4400}{2\pi} \approx 700 \text{ daN/mm}^2; \quad \tau_{cr3Cu} = \frac{4400}{30} \approx 147 \text{ daN/mm}^2$$

$$\text{- pentru aluminiu: } \tau_{cr2Al} = \frac{2500}{2\pi} \approx 398 \text{ daN/mm}^2; \quad \tau_{cr3Al} = \frac{2500}{30} \approx 83 \text{ daN/mm}^2$$

Exprimând rezistența teoretică la forfecare, din rezultatele de mai sus, în funcție de rezistența reală la forfecare ( $\tau_{real}$ ) se observă că:

- pentru nichel:

$$\left. \begin{array}{l} \tau_{cr1Ni} = 8000 \tau_{realNi} \\ \tau_{cr2Ni} = 2546 \tau_{realNi} \\ \tau_{cr3Ni} = 534 \tau_{realNi} \end{array} \right\} \Rightarrow \tau_{crNi} \approx (0,5 + 8) \cdot 10^3 \tau_{realNi}$$

- pentru cupru:

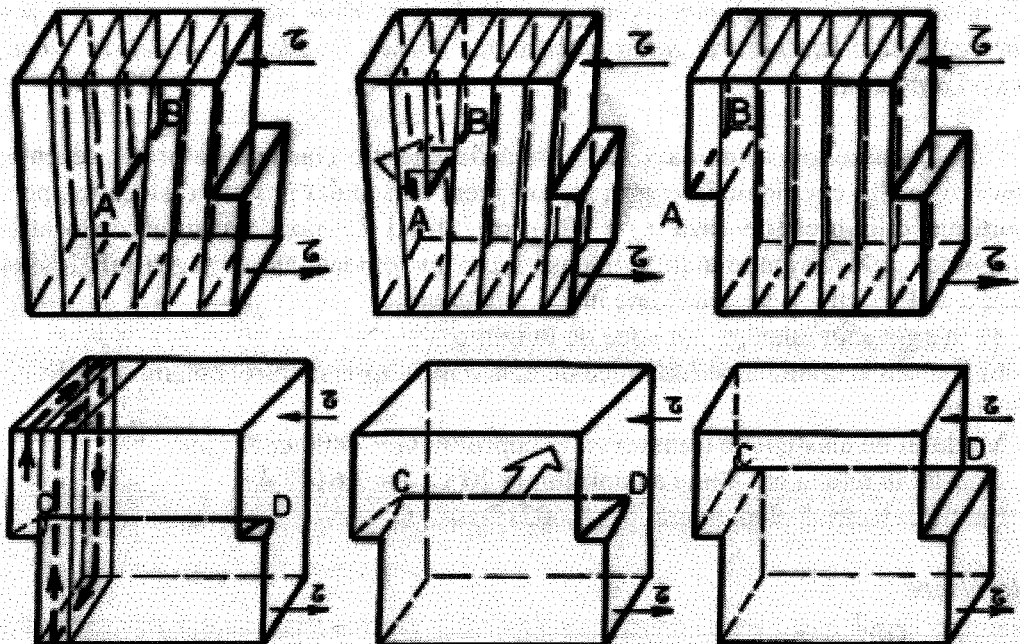
$$\left. \begin{array}{l} \tau_{cr1Cu} = 44 \cdot 10^3 \tau_{realCu} \\ \tau_{cr2Cu} = 14 \cdot 10^3 \tau_{realCu} \\ \tau_{cr3Cu} = 2940 \tau_{realCu} \end{array} \right\} \Rightarrow \tau_{crCu} \approx (3 + 44) \cdot 10^3 \tau_{realCu}$$

- pentru aluminiu:

$$\left. \begin{array}{l} \tau_{cr1Al} = 15625 \tau_{realAl} \\ \tau_{cr2Al} = 4975 \tau_{realAl} \\ \tau_{cr3Al} = 1036 \tau_{realAl} \end{array} \right\} \Rightarrow \tau_{crAl} \approx (1 + 15,6) \cdot 10^3 \tau_{realAl}$$

În concluzie, tensiunea reală de deformare este în general de 1000 până la 10000 de ori mai mică decât cea teoretică și aceasta se datorează dislocațiilor.

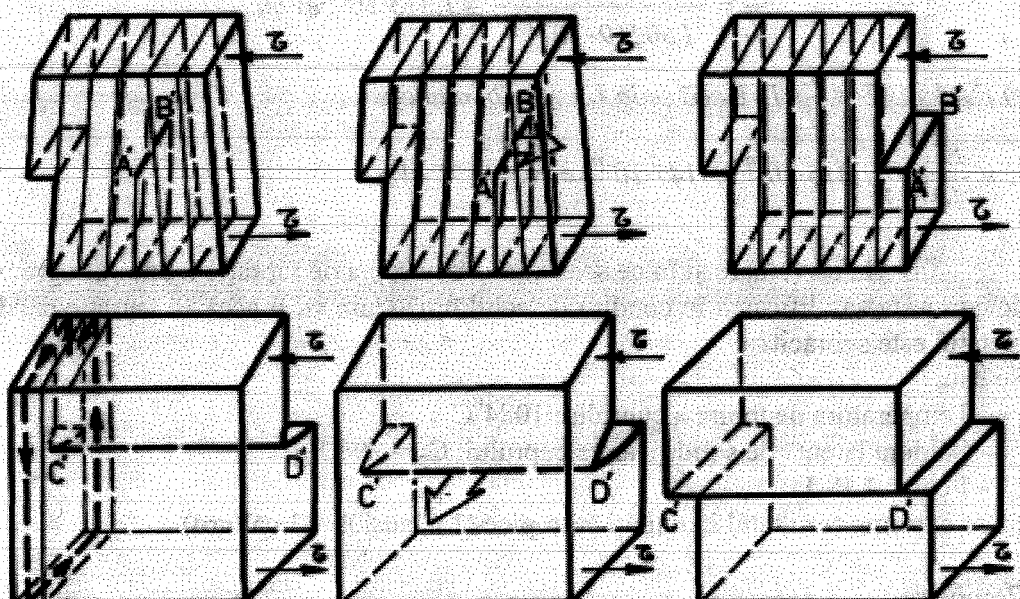
24. Schițele de mai jos arată că, sub efectul unei tensiuni de forfecare, o dislocație marginală pozitivă, AB (cu extraplanul situat deasupra planului de alunecare), se deplasează prin alunecare spre stânga iar o dislocație elicoidală pe stânga, CD (la care planele rețelei se înfășoară în jurul dislocației după o spirală „pe stânga” – astfel încât un punct material, pentru a se îndepărta de privitor, trebuie să se rotească spre stânga), se deplasează după o direcție normală pe planul hârtiei, în sensul intrării în acesta.



Prin schițe similare, determinați direcția și sensul de deplasare al unei dislocații marginale negative și al unei dislocații elicoidale pe dreapta.

#### Rezolvare

Tinând cont de definiție, se reprezintă schițe similare cu cele de mai sus, pentru cele 2 situații propuse.



Deci dislocațiile marginale negative se deplasează prin alunecare spre dreapta iar cele elicoidale pe dreapta se deplasează normal pe planul hârtiei, în sensul ieșirii din acesta.

25. Energia acumulată sub formă de energie elastică, datorită prezenței unei dislocații elicoidale în cupru, se consideră distribuită în jurul dislocației, pe o porțiune cilindrică de rază  $r = 10^{-3}$  cm. Știind că raza miezului dislocației (regiunea cu deformare atât de intensă încât nu se poate aplica legea lui Hooke) este  $r_0 = 10^{-5}$  cm, să se determine în eV următoarele:

- energia acumulată pe unitatea de lungime;
- energia acumulată pe lungimea de dislocație cuprinsă între 2 plane cristaline.

Se dau:

Modulul de elasticitate transversal al cuprului:  $G = 4400 \text{ daN/mm}^2$

Constanța rețelei cristaline a cuprului, la  $20^\circ\text{C}$ :  $a = 3,6147 \text{ Å}$

Sarcina electrică elementară:  $e = 1,60219 \cdot 10^{-19} \text{ C}$

*Rezolvare*

$$a) \frac{E}{L} = \frac{Gb^2}{4\pi} \ln \frac{r}{r_0} \quad \left. \begin{array}{l} G = 44 \cdot 10^3 \frac{N}{mm^2} = 44 \cdot 10^9 \frac{N}{m^2} \\ b = a = 3,6147 \cdot 10^{-10} m \end{array} \right\} \Rightarrow \frac{E}{L} = \frac{44 \cdot 10^9 \cdot 3,6147 \cdot 10^{-20}}{4\pi} \ln \frac{10^{-3}}{10^{-5}} = 2,1068541 \cdot 10^9 \text{ J/m}$$

Exprimând rezultatul în eV, se obține:

$$\frac{E}{L} = \frac{2,1068541 \cdot 10^{-9}}{1,60219 \cdot 10^{-19}} \approx 1,315 \cdot 10^{10} \text{ eV/m}$$

b) Evident:  $E = \frac{E}{L} \cdot L$ . Dacă se ia  $L = a = b$ , atunci:

$$E = \frac{E}{L} \cdot a = 1,315 \cdot 10^{10} \cdot 3,6147 \cdot 10^{-10} \Rightarrow E \approx 4,75 \text{ eV}$$

26. Cu ce valoare și în ce sens variază entropia de vibrație a unui kilogram de cupru, la solidificarea în condiții de echilibru? Cum va fi această variație când metalul este subrăcit?

Se dau:

- Temperatura de topire a cuprului:  $1084^\circ\text{C}$
- Căldura latentă de solidificare a cuprului:  $C_p = 204 \text{ J/g}$
- $1 \text{ cal} = 4,18 \text{ J}$

Să se exprime rezultatul în unități entropicice (1 Clausius = 1 cal/grd)

*Rezolvare*

Conform principiului al-II-lea al termodinamicii:

$$\Delta S_{revers.} = \frac{\Delta Q}{T} \quad (8)$$

unde:  $\Delta S_{revers.}$  = variația de entropie într-o transformare reversibilă  
 $\Delta Q$  = variația cantității de căldură,  $\Delta Q = C_p \cdot m$   
 $T$  = temperatura absolută

$$\Rightarrow \Delta S_{revers.} = \frac{C_p \cdot m}{T} = \frac{204 \cdot 1000}{1084 + 273} = \frac{204 \cdot 10^3}{1357} \frac{J}{grd} = \frac{204 \cdot 10^3}{4,18 \cdot 1357} \frac{cal}{grd} \Rightarrow$$

$$\Rightarrow \Delta S_{revers.} \approx 36 \frac{cal}{grd}$$

Variația de entropie de mai sus se produce, evident, în sens crescător, solidificarea fiind un proces de scădere a gradului de dezordine deci și a entropiei.

Atunci când solidificarea se produce cu subrăcire, procesul este ireversibil, deci:

$$\Delta S_{irevers.} > \frac{\Delta Q}{T} = 36 \frac{cal}{grd}.$$

27. Ecuația lui Boltzman prezintă relația dintre entropia de amestec (configurație),  $S_{conf}$ , și probabilitatea termodinamică de stare,  $W$ , a unui sistem termodinamic:

$$S_{conf} = K \cdot \ln W \quad (9)$$

Se cere:

- Să se determine, în calorii, entropia de configurație a unui aliaj Cu-Zn în care fracțiunea molară a cuprului este  $X_A = 0,1$ .
- Să se determine fracțiunea molară critică pentru care entropia de configurație este maximă și să se determine această valoare în unități entropicice (cal/grd).

Se dau:

- constanta lui Boltzman:  $k = 1,38 \cdot 10^{-23} \text{ J/grd}$ ;
- numărul lui Avogadro:  $N = 6,023 \cdot 10^{23} \text{ at/mol}$
- $1 \text{ cal} = 4,18 \text{ J}$

### Rezolvare

În relația (9), probabilitatea termodinamică de stare este  $W = \frac{N!}{(N-N_1)! N_1!}$ ,

unde  $N_1$  reprezintă numărul atomilor de solvent (cupru) dintr-un mol de aliaj. Cu ajutorul aproximăției lui Stirling,  $\ln N! \approx N \ln N - N$ , se obține:

$$\ln W = N \ln N - N - [(N-N_1) \ln (N-N_1) - (N-N_1) + N_1 \ln N_1 - N_1] = \\ = N \ln N - [(N-N_1) \ln (N-N_1) + N_1 \ln N_1]$$

Cum fracțiunea molară a cuprului este  $X_A = \frac{N_1}{N} \Rightarrow N_1 = X_A \cdot N$ , deci:

$$\ln W = N \ln N - [(N-X_A N) \ln (N-X_A N) + X_A \cdot N \ln X_A N] = \\ = N \ln N - N[(1-X_A) \ln N(1-X_A) + X_A \ln N X_A] =$$

$$= N[\ln N - (1-X_A) \ln N - (1-X_A) \ln (1-X_A) - X_A \ln N - X_A \ln X_A] \Rightarrow \\ \Rightarrow \ln W = -N[(1-X_A) \ln (1-X_A) + X_A \ln X_A]$$

Așadar:

$$S_{\text{conf}} = K \cdot \ln W = -KN[(1-X_A) \ln (1-X_A) + X_A \ln X_A] \quad (10)$$

a) Se calculează entropia de configurație pentru un aliajul Cu-Zn:

$$S_{\text{conf}} = -1,38 \cdot 10^{-23} \cdot 6,023 \cdot 10^{23} [(1-0,1) \ln (1-0,1) + 0,1 \ln 0,1] \cdot \frac{1}{4,18} \cong 0,6464 \Rightarrow \\ \Rightarrow S_{\text{conf}} \cong 0,65 \text{ cal/grd}$$

b) Pentru a determina fracțunea molară critică pentru care entropia de configurație este maximă este necesar să se deriveze și anuleze expresia  $S_{\text{conf}}$ :

$$\frac{dS_{\text{conf}}}{dX_A} = -KN[-\ln(1-X_A) - \frac{1-X_A}{1-X_A} + \ln X_A + \frac{X_A}{X_A}] = \\ = -KN[\ln X_A - \ln (1-X_A)] \quad \frac{dS_{\text{conf}}}{dX_A} = 0 \Rightarrow X_A = 1-X_A \Rightarrow X_A = 0,5 \\ S_{\text{conf max}} = -1,38 \cdot 10^{-23} \cdot 6,023 \cdot 10^{23} \ln 0,5 \cdot \frac{1}{4,18} \cong 1,3783 \Rightarrow \\ \Rightarrow S_{\text{conf max}} = S_{\text{conf}}(0,5) \cong 1,38 \text{ cal/grd}$$

28. Se consideră solidificarea, prin germinare omogenă, a unui mol de staniu  $\beta$  (alb) pur, pentru care se dau:

- temperatura de topire în condiții de echilibru:  $t_0 = 232^\circ\text{C}$ ;
- căldura latentă de solidificare:  $C_p = 14,5 \text{ cal/g}$ ;
- greutatea molară:  $M = 118,7 \text{ g/mol}$ ;
- tensiunea superficială pe interfață solid-lichid:  $\sigma = 59 \cdot 10^{-3} \text{ J/m}^2$ ;
- numărul lui Avogadro,  $N = 6,023 \cdot 10^{23} \text{ at./mol}$ ;
- volumul mediu al unui atom:  $V = 27,65 \text{ \AA}^3$ ;

Știind că  $1 \text{ cal} = 4,18 \text{ J}$  și  $1 \text{ eV} = 1,60219 \cdot 10^{-19} \text{ J}$ , se cere:

- Să se determine, în eV, variația energiei libere specifice de volum,  $\Delta F_V$ , la solidificarea staniului alb cu un grad de subrăcire  $\Delta T_1 = 10 \text{ grd}$ . În ce sens se produce această variație?
- Cu cât variază energia liberă Helmholtz când solidificarea se produce cu un grad de subrăcire  $\Delta T_2 = 20 \text{ grd}$ , considerând că germanii au atins volumul atomilor?
- Să se determine raza critică,  $r_c$ , a germanilor de cristalizare în cazul solidificării cu gradul de subrăcire  $\Delta T_2$ ?
- Ce rază vor avea germanii (embrionii) cu energie liberă Helmholtz nulă?

*Rezolvare*

*Expresia variației energiei libere de volum este:*

$$V_M \Delta F_V = Q_s \frac{\Delta T_1}{T_0} \quad (11)$$

în care:

$Q_s = 4,18C_p \cdot M, J/mol$ , este căldura latentă molară de solidificare;

$V_M = V \cdot N$  este volumul staniului solidificat (identic aici cu volumul molar);

$T_0 = t_0 + 273$  este temperatura absolută iar  $\Delta T_1 = 10$  grd.

Deci variația energiei libere la solidificarea cu un grad de subrăcire de 10 grd, raportată la unitatea de volum și exprimată în eV, are valoarea:

$$\begin{aligned}\Delta F_V &= \frac{4,18C_p M}{VN} \cdot \frac{\Delta T_1}{t_0 + 273} \cdot \frac{1}{1,69219 \cdot 10^{-19}} = \\ &= \frac{4,18 \cdot 14,5 \cdot 118,7}{27,65 \cdot 6,023 \cdot 10^{23}} \cdot \frac{10}{232 + 273} \cdot \frac{1}{1,60219 \cdot 10^{-19}} \cong 5,34 \cdot 10^{-5} \frac{eV}{\text{\AA}^3}\end{aligned}$$

Variația de mai sus se produce în sens negativ, deoarece formarea germenilor de cristalizare este însoțită de degajarea căldurii latente de solidificare deci de scăderea energiei libere.

b) Variația energiei libere Helmholtz, la solidificarea cu germinare omogenă, este dată de:

$$\Delta F = -\frac{4\pi}{3} r^3 m \Delta F'_v + 4\pi r^2 m \sigma \quad (12)$$

unde:

$r$  – raza germenilor de cristalizare, considerați sferici;

$m$  – numărul germenilor formați simultan (aici  $m = N$ );

$\Delta F'_v$  – variația energiei libere specifice de volum, în acest caz la un grad de subrăcire  $\Delta T_2 = 20$  grd.

Din (11) rezultă:  $\Delta F'_v \cdot V \cdot N = Q_s \frac{\Delta T_2}{T_0}$ , unde  $V = \frac{4}{3}\pi r^3$  și  $Q_s = 4,18C_p \cdot M, J/mol$ .

Întrucât desfășurarea ulterioară a problemei impune cunoașterea lui  $\Delta F'_v$ , se va determina valoarea acestuia, în  $J/m^3$ , din relația de mai sus:

$$\Delta F'_v = \frac{4,18 \cdot C_p M}{V \cdot N} \cdot \frac{\Delta T_2}{t_0 + 273} = \frac{4,18 \cdot 14,5 \cdot 118,7}{27,65 \cdot 10^{-30} \cdot 6,023 \cdot 10^{23}} \cdot \frac{20}{232 + 273}$$

$$\text{Deci } \Delta F'_v \cong 17109039 J/m^3 = 17,1 \cdot 10^6 J/m^3$$

Cunoscând volumul mediu al unui atom ( $V$ ) se determină raza germenilor,

$$\text{considerați sferici: } r = \sqrt[3]{\frac{3V}{4\pi}} = \sqrt[3]{\frac{3 \cdot 27,65}{4\pi}} \cong 1,876 \text{ \AA}$$

Cunoscând toți parametrii din expresia (12) a variației energiei libere Helmholtz, se poate determina valoarea acesteia:  $\Delta F = 4\pi r^2 N \left( -\frac{\Delta F'_v}{3} r + \sigma \right) =$

$$= 4\pi (1,876 \cdot 10^{-10})^2 \cdot 6,023 \cdot 10^{23} \left( -\frac{17,1 \cdot 10^6}{3} \cdot 1,876 \cdot 10^{-10} + 59 \cdot 10^3 \right) = 15431,105 J \Rightarrow$$

$$\Rightarrow \Delta F \cong 15,431 \text{ kJ}$$

c) Valoarea razei critice a germanilor se determină, cu ajutorul expresiei obținute prin anularea primei derive de la relație (12):

$$r_c = \frac{2\sigma}{\Delta F'_v} = \frac{2 \cdot 59 \cdot 10^{-3}}{17,1 \cdot 10^6} \approx 6,9 \cdot 10^{-9} \text{ m} \Rightarrow r_c \approx 69 \text{ \AA}$$

Comparând valoarea razei critice,  $r_c \approx 69 \text{ \AA}$ , cu valoarea razei medii a atomilor,  $r = 1,876 \text{ \AA}$ , se observă că raza critică este de peste 36 de ori mai mare decât raza atomilor.

$$d) \Delta F = 0 \Rightarrow r_0 = \frac{3\sigma}{\Delta F'_v} = \frac{3 \cdot 59 \cdot 10^{-3}}{17,1 \cdot 10^6} \approx 1,03508 \cdot 10^{-8} \text{ m} \Rightarrow r_0 \approx 103,5 \text{ \AA}$$

29. La solidificarea materialelor metalice topite, din cauza vitezei relativ mari de răcire, se produce fenomenul de suprarărire urmat, în general, de cel de recalescență. Acest fenomen se manifestă prin creșterea spontană a temperaturii aliajului din cauza degajării brûște a căldurii latente de solidificare de către un număr foarte mare de germani cristalini ce iau naștere în urma suprarăcirii. Creșterea momentană de temperatură, din timpul recalescenței, poate, eventual, să compenseze gradul de subrăcire, atingându-se temperatura teoretică de solidificare.

Considerând solidificarea cuprului, pentru care se dă:

- variația căldurii specifice cu temperatura (între  $298^\circ\text{C}$  și  $T_t = 1084^\circ\text{C}$ , temperatura teoretică de topire):  $c_p = 22,635 + 5,858 \cdot 10^{-3}T$ ,  $\text{J/mol}\cdot\text{grd}$ , unde  $T$  este temperatura în K;

- căldura latentă de solidificare:  $Q_s = 12960 \text{ J/mol}$ ,

se cere să se calculeze gradul teoretic maxim de subrăcire care ar permite ridicarea temperaturii metalului înapoi, până la temperatura teoretică de solidificare  $T_t = 1084^\circ\text{C}$  (presupunând că nu se pierde căldură în exteriorul materialului).

Comparați valoarea determinată cu gardul maxim de subrăcire,  $\Delta T_{ef} = 236 \text{ grd}$ , observat efectiv la solidificarea cuprului. Cum se explică diferența remarcată?

Indicație: Se va lua în considerație cantitatea de căldură pentru un gram de cupru:  $Q = c_p \Delta T$ .

### Rezolvare

Căldura latentă de solidificare a cuprului,  $Q_s$ , este o constantă, independentă de viteza de răcire, fiind cedată la solidificarea unui mol de metal. Cum căldura specifică se referă tot la un mol de cupru, înseamnă că gradul teoretic maxim de subrăcire,  $\Delta T_{max}$  reprezintă tocmai variația de temperatură care ar aduce metalul, de la temperatura de suprarăcire, la cea de echilibru, deci:

$Q_s = c_p \Delta T_{max}$ , în care:  $\Delta T_{max} = T_t - T$ , unde  $T_t = 1084 + 273 = 1357 \text{ K}$  iar  $T$  este temperatura minimă atinsă la sfârșitul suprarăcirii, care trebuie determinată.

Așadar:  $12960 = (23,635 + 5,858 \cdot 10^{-3} T)(1357 - T) \Rightarrow$

$$\Rightarrow 5,858 \cdot 10^{-3} T^2 - (1357 \cdot 5,858 \cdot 10^{-3} - 23,635)T + 12960 - 23,635 \cdot 1357 = 0 \Rightarrow$$

$$5,858 \cdot 10^{-3} T^2 + 15,685694T - 19112,695 = 0$$

$$T_{1,2} = \frac{-15,685694 \pm \sqrt{15,685694^2 + 4 \cdot 5,858 \cdot 10^{-3} \cdot 19112,695}}{2 \cdot 5,858 \cdot 10^{-3}}$$

$$T_{1,2} = \frac{-15,685694 \pm 26,341786}{2 \cdot 5,858 \cdot 10^{-3}} \Rightarrow T \cong 909,5 \text{ K}$$

Deci gradul teoretic maxim de subrăcire este:

$$\Delta T_{\max} = 1357 - 909,5 = 447,5 \text{ grd}$$

Se observă că gradul teoretic maxim de subrăcire,  $\Delta T_{\max} = 447,5 \text{ grd}$ , este mai mare decât gradul maxim de subrăcire observat efectiv la solidificarea cuprului  $\Delta T_{ef} = 236 \text{ grd}$  și această diferență poate fi efectul a 2 cauze:

- a) nu toți germenii dintr-un mol se formează în același timp și din acest motiv căldura latentă de solidificare eliberată de primii germeni se pierde în masa materialului și în exterior (față de care nu există izolație absolută);
- b) nu se pot obține viteze de răcire mai mari decât anumite valori critice

30. Să se determine raza teoretică a celor mai mici cristale de argint pur care se pot obține la solidificare, prin germinare omogenă, știindu-se:

- tensiunea superficială pe interfață solid-lichid:  $\sigma = 126 \cdot 10^{-3} \text{ J/m}^2$ ;
- temperatura de topire:  $t_0 = 960^\circ\text{C}$ ;
- căldura latentă de solidificare:  $Q_s = 11,36 \text{ kJ/mol}$ ;
- volumul molar:  $V_M = 102,75 \text{ cm}^3/\text{mol}$ ;
- gradul maxim de subrăcire observat:  $\Delta T_{\max} = 230^\circ\text{C}$ .

#### Rezolvare

Se știe că raza critică,  $r_c$ , caracterizează germenii care pot crește, deoarece această creștere presupune scăderea energiei lor libere. Cum raza critică este invers proporțională cu gradul de subrăcire, rezultă că  $r_{c\min}$  se va obține la  $\Delta T_{\max}$ .

Expresia razei critice rezultă din derivarea și anularea relației (12):  $r_c = \frac{2\sigma}{\Delta F_v}$ .

$\Delta F_v$  se determină cu relația (11) în care  $\Delta T_I$  se înlocuiește cu  $\Delta T_{\max}$ . Așadar:

$$r_c = \frac{2\sigma \cdot T_0 \cdot V_M}{Q_s \cdot \Delta T_{\max}} = \frac{2 \cdot 126 \cdot 10^{-3} (960 + 273) \cdot 102,75 \cdot 10^{-6}}{11360 \cdot 230} \cong 1,2219 \cdot 10^{-8} \text{ m} \Rightarrow \\ \Rightarrow r_{c\min} \cong 122,19 \text{ Å}$$

31. Demonstrați că variația maximă a energiei libere Helmholtz este mai mică la cristalizarea cu germinare eterogenă decât la cea cu germinare omogenă și stabiliți situația limită în care cele 2 variații sunt egale.

#### Rezolvare

Se știe că variația maximă a energiei libere (variația critică), la cristalizarea cu germinare omogenă, are expresia:

$$\Delta F_{omog. cr.} = 1/3 \cdot \sigma A_c \quad (13)$$

în care:

$\sigma$  – tensiunea superficială pe interfață lichid-germen;

$A_c$  – aria critică a germanilor (care se obține numai în cazul germanilor de rază critică,  $r_c$ , care permit creșterea):  $A_c = 4\pi r_c^2$ .

Pe de altă parte, la cristalizarea cu germinare eterogenă:

$$\Delta F_{eter. cr.} = 1/3\pi r_c^2 \sigma [2(1-\cos \theta) - \sin^2 \theta \cdot \cos \theta] \quad (14)$$

unde:

$\theta$  – unghi de contact (umectare)

Relația (14) se poate exprima sub forma:

$$\Delta F_{eter. cr.} = \frac{4\pi r_c^2}{3} \sigma (2 - 2\cos \theta - \cos \theta + \cos^3 \theta) \cdot \frac{1}{4} \text{ care, fiind cont de relația (13) și}$$

de expresia lui  $A_c$ , devine:

$$\Delta F_{eter. cr.} = \Delta F_{omog. cr.} \frac{2 - 3\cos \theta + \cos^3 \theta}{4}$$

$$\text{Cum } 2 - 3\cos \theta + \cos^3 \theta \leq 4 \Rightarrow \frac{\Delta F_{omog. cr.}}{\Delta F_{eter. cr.}} \leq 1 \Rightarrow \Delta F_{eter. cr.} \leq \Delta F_{omog. cr.}$$

În situația limită, când  $\Delta F_{eter. cr.} = \Delta F_{omog. cr.} \Rightarrow 2 - 3\cos \theta + \cos^3 \theta = 4 \Rightarrow \theta = \pi$ , caz în care germanele cristalizat nu aderă la suprafața suport, deci aceasta nu joacă rol catalitic și în acest caz germinarea se produce în mod omogen.

32. La cristalizarea unui germen ipotetic de argint pe o suprafață suport pre-existentă, apar următoarele tensiuni superficiale:

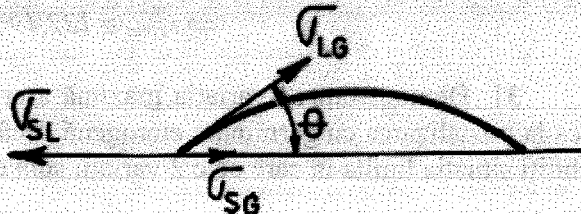
- între suport și metalul lichid:  $\sigma_{SL} = 0,4 \text{ J/m}^2$ ;
- între suport și germane:  $\sigma_{SG} = 0,19 \text{ J/m}^2$ ;
- între lichid și germane:  $\sigma_{LG} = 0,227 \text{ J/m}^2$ ,

Cu datele de mai sus, să se determine:

- unghiul de contact,  $\theta$ ;
- de câte ori este mai mare variația maximă a energiei libere la cristalizarea cu germinare omogenă față de cea cu germinare eterogenă, la același grad de subrăcire?

Rezolvare

a) La nivelul germanului, cele 3 tensiuni superficiale de mai sus sunt dispuse ca în schema alăturată. La echilibru static:



$$\sigma_{SL} = \sigma_{SG} + \sigma_{LG} \cos \theta \Rightarrow$$

$$\Rightarrow \theta = \arccos \frac{\sigma_{SL} - \sigma_{SG}}{\sigma_{LG}} = \arccos \frac{0,4 - 0,19}{0,227} \Rightarrow \theta = 22^\circ 18' 54''$$

b) S-a arătat la problema nr.30 că:

$$\Delta F_{\text{eter. cr.}} = \Delta F_{\text{omog. cr.}} \frac{2 - 3 \cos \theta + \cos^3 \theta}{4} \Rightarrow$$

$$\Rightarrow \Delta F_{\text{omog. cr.}} = \Delta F_{\text{eter. cr.}} \frac{4}{2 - 3 \cos(22^\circ 18' 54'') + \cos^3(22^\circ 18' 54'')} \Rightarrow$$

$$\Rightarrow \Delta F_{\text{omog. cr.}} = 243,8 \cdot \Delta F_{\text{eter. cr.}}$$

33. Ce apertură numerică are obiectivul unui microscop optic care, utilizând lumină albă ( $\lambda=5500 \text{ Å}$ ), are o putere de mărire de 1000:1? Se consideră că puterea de separație a ochiului omenesc obișnuit este  $d_{\text{ochi}} = 0,275 \text{ mm}$ .

### Rezolvare

Exprimând în metri lungimea de undă și puterea de separație a ochiului se obține:

$$\lambda = 5,5 \cdot 10^{-7} \text{ m și } d_{\text{ochi}} = 2,75 \cdot 10^{-4} \text{ m}$$

Puterea de separare a microscopului este:

$$M_{\text{micr.}} = \frac{d_{\text{ochi}}}{d} \quad (15)$$

în care  $d$  este puterea de separație a sistemului optic:

$$d = \frac{\lambda}{2n \cdot \sin \alpha} = \frac{\lambda}{2A} \quad (16)$$

Produsul  $n \cdot \sin \alpha = A$  reprezintă apertura numerică a sistemului optic. Rezultă:

$$M_{\text{micr.}} = \frac{d_{\text{ochi}} \cdot 2A}{\lambda} \Rightarrow A = \frac{M_{\text{micr.}} \cdot \lambda}{2d_{\text{ochi}}} = \frac{1000 \cdot 5,5 \cdot 10^{-7}}{2 \cdot 2,75 \cdot 10^{-4}} = 1$$

34. Potențialul de accelerare al unui microscop electronic este  $U = 100 \text{ kV}$ . Considerând că energia transmisă de acest potențial asupra sarcinii elementare se transformă integral în energie cinetică, se cere:

- Să se determine viteza până la care este accelerat electronul.
- Care va fi lungimea de undă a electronului care capătă acest impuls?

Se dau:

- masa electronului:  $m = 9,11 \cdot 10^{-31} \text{ kg}$ ;
- sarcina electronului:  $e = 1,60219 \cdot 10^{-19} \text{ C}$
- constanta lui Plank:  $h = 6,63 \cdot 10^{-34} \text{ J} \cdot \text{s}$

### Rezolvare

a) Aplicând legea conservării energiei, se consideră că energia electrostatică se transformă integral în energie cinetică:

$$eU = \frac{mv^2}{2} \quad (17)$$

Rezultă că viteza electronului este dată de:

$$v = \sqrt{\frac{2eU}{m}} = \sqrt{\frac{2 \cdot 1,60219 \cdot 10^{-19} \cdot 10^5}{9,11 \cdot 10^{-31}}} \cong 1,8752288 \cdot 10^8 \frac{m}{s}. \text{ Altfel spus, se poate}$$

afirma că, sub o diferență de potențial de 100000 V, dacă nu există pierderi, electronii sunt accelerati până la o viteză de aproximativ: 187523 km/s.

b) Se pornește de la lungimea de undă de Broglie:

$$\lambda = \frac{h}{mv} \quad (18)$$

Substituind expresia vitezei, determinată din relația (17), se obține:

$$\lambda = \frac{h}{m} \sqrt{\frac{m}{2eU}} = \frac{h}{\sqrt{2eUm}} = \frac{6,63 \cdot 10^{-34}}{\sqrt{2 \cdot 1,60219 \cdot 10^{-19} \cdot 9,11 \cdot 10^{-31}}} \cong 3,88 \cdot 10^{-12} m$$

35. De la un tub Roentgen cu anod de cupru se obțin raze X cu lungimea de undă  $\lambda = 1,54 \text{ \AA}$ . Aceste raze cad pe o familie de plane distanțate la  $d = 1,181 \text{ \AA}$ . Se cere să se determine unghiul de incidentă pentru care radiația Roentgen va suferi reflexia de ordinul întâi, astfel încât să se obțină interferență constructivă.

*Rezolvare*

Se aplică legea lui Bragg:

$$n\lambda = 2d \sin \theta \quad (19)$$

în care:

$n$  – ordinul de reflexie

$\lambda$  – lungimea de undă a razele X

$d$  – distanța dintre planele ce reflectă razele X

$\theta$  – unghiul de reflexie pentru interferență constructivă

Cu valorile de mai sus, introduse în relația (19) rezultă:  $\theta = \arcsin \frac{n\lambda}{2d}$ .

Pentru reflexia de ordinul întâi, se consideră  $n = 1$ . Rezultă:

$$\theta = \arcsin \frac{1 \cdot 1,54}{2 \cdot 1,181} 40,8^\circ \cong 40^\circ 48'$$

36. De la anodul de argint al unui tub Roentgen se obțin raze X cu lungimea de undă  $0,558 \text{ \AA}$ , care sunt proiectate asupra unui cristal de fier alfa, fiind reflectate de planele acestuia din familia  $\{100\}$ . Se cere să se determine:

a) Câte ordine de reflexie sunt posibile pentru a obține interferență constructivă?

b) La ce unghiuri vor apărea aceste reflexii?

Se dă parametrul rețelei fierului alfa:  $a = 2,8664 \text{ \AA}$ .

*Rezolvare*

Din relația (19) se obține expresia sinusului unghiului de incidentă:

$\sin \theta = \frac{n\lambda}{2d}$ . Ordinele de reflexie au sens atât timp cât sinusul rămâne subunitar:

$$n = 1 \Rightarrow \sin \theta_1 = \frac{1 \cdot 0,558}{2 \cdot 2,8664} = \frac{0,558}{5,7328} < 1$$

$$n = 2 \Rightarrow \sin \theta_2 = \frac{2 \cdot 0,558}{2 \cdot 2,8664} = \frac{1,116}{5,7328} < 1$$

$$n = 3 \Rightarrow \sin \theta_3 = \frac{3 \cdot 0,558}{2 \cdot 2,8664} = \frac{1,674}{5,7328} < 1$$

$$n = 4 \Rightarrow \sin \theta_4 = \frac{4 \cdot 0,558}{2 \cdot 2,8664} = \frac{2,232}{5,7328} < 1$$

$$n = 5 \Rightarrow \sin \theta_5 = \frac{5 \cdot 0,558}{2 \cdot 2,8664} = \frac{2,79}{5,7328} < 1$$

$$n = 6 \Rightarrow \sin \theta_6 = \frac{6 \cdot 0,558}{2 \cdot 2,8664} = \frac{3,348}{5,7328} < 1$$

$$n = 7 \Rightarrow \sin \theta_7 = \frac{7 \cdot 0,558}{2 \cdot 2,8664} = \frac{3,906}{5,7328} < 1$$

$$n = 8 \Rightarrow \sin \theta_8 = \frac{8 \cdot 0,558}{2 \cdot 2,8664} = \frac{4,464}{5,7328} < 1$$

$$n = 9 \Rightarrow \sin \theta_9 = \frac{9 \cdot 0,558}{2 \cdot 2,8664} = \frac{5,022}{5,7328} < 1$$

$$n = 10 \Rightarrow \sin \theta_{10} = \frac{10 \cdot 0,558}{2 \cdot 2,8664} = \frac{5,58}{5,7328} < 1$$

$$n = 11 \Rightarrow \sin \theta_{11} = \frac{11 \cdot 0,558}{2 \cdot 2,8664} = \frac{6,138}{5,7328} > 1$$

Deci sunt posibile 10 ordine de reflexie.

b) valorile unghiurilor la care apar cele 10 ordine de reflexie sunt:

$$\theta_1 = \arcsin \frac{0,558}{5,7328} = 5,5857^0 \cong 5^0 35' 9''$$

$$\theta_2 = \arcsin \frac{1,116}{5,7328} = 11,2254^0 \cong 11^0 13' 3''$$

$$\theta_3 = \arcsin \frac{1,674}{5,7328} = 16,978^0 \cong 16^0 58' 41''$$

$$\theta_4 = \arcsin \frac{2,232}{5,7328} = 22,9133^0 \cong 22^0 54' 48''$$

$$\theta_5 = \arcsin \frac{2,79}{5,7328} = 29,1221^0 \cong 29^0 7' 20''$$

$$\theta_6 = \arcsin \frac{3,348}{5,7328} = 35,7329^0 \cong 35^0 43' 58''$$

$$\theta_7 = \arcsin \frac{3,906}{5,7328} = 42,9486^0 \cong 42^0 56' 55''$$

$$\theta_8 = \arcsin \frac{4,464}{5,7328} = 51,1396^0 \cong 51^0 8' 23''$$

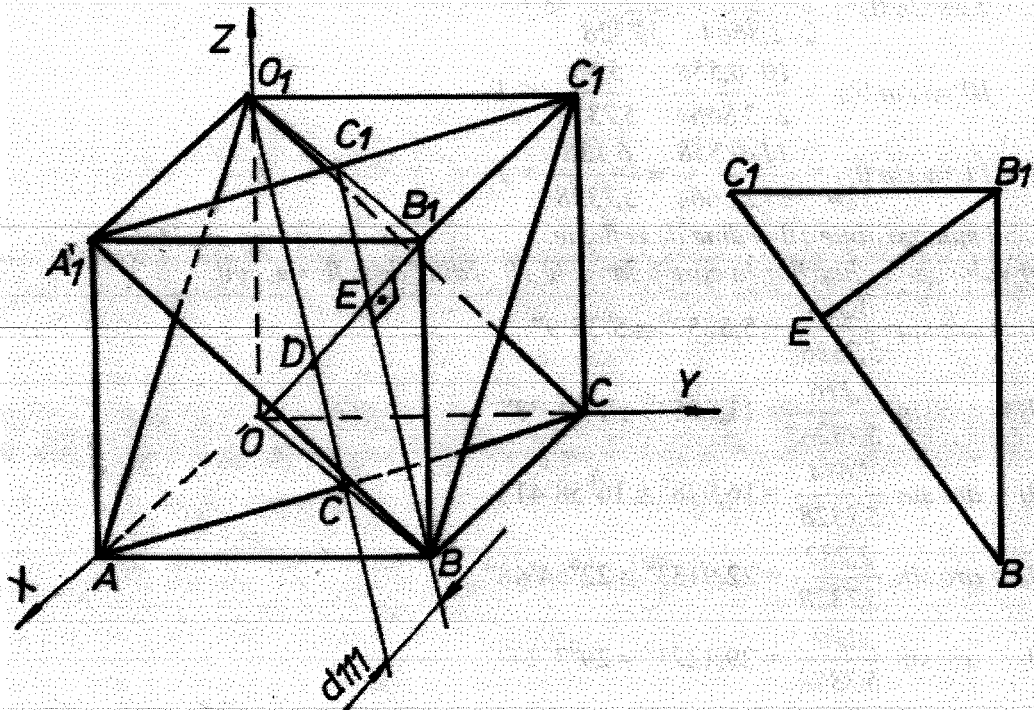
$$\theta_9 = \arcsin \frac{5,022}{5,7328} = 61,1649^0 \cong 61^0 9' 54''$$

$$\theta_{10} = \arcsin \frac{5,58}{5,7328} = 76,7418^0 \cong 76^0 44' 30''$$

37. Se cere să se determine unghiul la care trebuie să se încline, față de axa unui tub Roentgen cu anod de cupru (care emite raze X cu lungimea de undă  $\lambda=1,54$  Å), suprafața unui monocrystal de argint prelucrată paralel cu planele {111}, astfel încât să se obțină interferență constructivă de ordinul trei a razelor X. Parametrul celulei c.f.c. a argintului este  $a = 4,078$  Å.

## *Rezolvare*

Pentru a determina unghiul  $\theta_3$ , cu ajutorul legii lui Bragg (19) în care se ia  $n = 3$ , este necesar să se cunoască distanța dintre planele  $\{111\}$ . Această determinare se bazează pe schițele de mai jos și pe definiția parametrului oricărei rețele cubice care este egal cu distanța dintre planele  $\{100\}$ :  $d_{100} = a$



Din cele 2 schițe de mai sus se observă că  $d_{III}=EB_1$ , care se determină din triunghiul  $BB_1C_1$ , în care se cunosc:

$$BB_1 = a; C_1B_1 = O_1C_1 = \frac{a\sqrt{2}}{2}, \text{ Deci } BC_1 = \sqrt{BB_1^2 + C_1B_1^2} = \sqrt{a^2 + \frac{a^2}{2}} \Rightarrow$$

$\Rightarrow BC_1 = a\sqrt{\frac{3}{2}}$ . Exprimând aria triunghiului  $BB_1C_1$  în 2 moduri rezultă:

$$\frac{BB_1 \cdot C_1B_1}{2} = \frac{BC_1 \cdot EB_1}{2} \Rightarrow EB_1 = \frac{BB_1 \cdot C_1B_1}{BC_1} = \frac{a \cdot \frac{a}{\sqrt{2}}}{a\sqrt{\frac{3}{2}}} \Rightarrow$$

$$d_{111} = EB_1 = \frac{a}{\sqrt{3}} = \frac{4,078}{\sqrt{3}}$$

Scriind legea lui Bragg din relația (19) sub forma:  $n \cdot \lambda = 2 \cdot d_{111} \cdot \sin \theta_3 \Rightarrow$

$$\Rightarrow \theta_3 = \arcsin \frac{n\lambda}{2d_{111}}, \text{ în care } n = 3. \text{ Rezultă:}$$

$$\theta_3 = \arcsin \frac{3 \cdot 1,54 \cdot \sqrt{3}}{2 \cdot 4,078} = 78,8509^\circ \cong 78^\circ 51' 3''$$

38. Considerând că masa electronilor provenind de la tunul unui microscop electronic este constantă,  $m_e = 9,11 \cdot 10^{-31} \text{ kg}$ , se cere:

- a) Ce potențial de accelerare ar fi necesar pentru ca fasciculul de electroni să atingă viteza luminii?
- b) Ce lungime de undă ar avea electronii în acest caz?

Se dau: sarcina electronului:  $e = 1,60219 \cdot 10^{-19} \text{ C}$ , viteza luminii:  $c = 3 \cdot 10^8 \frac{\text{m}}{\text{s}}$  și

constanta lui Plank:  $h = 6,63 \cdot 10^{-34} \text{ J} \cdot \text{s}$

### Rezolvare

a) Se aplică relația (17), care descrie transformarea integrală a energiei electrostatice în energie cinetică (fapt plauzibil, mai ales în condițiile vidului înaintat din tubul microscopului electronic), unde se iau în considerație viteza luminii și masa electronului:

$$eU = \frac{m_e c^2}{2} \Rightarrow U = \frac{m_e c^2}{2e} = \frac{9,11 \cdot 10^{-31} \cdot (3 \cdot 10^8)^2}{2 \cdot 1,60219 \cdot 10^{-19}} = \frac{81,9}{3,2} \cdot 10^4 \cong 255937,5 \text{ V}$$

Rezultă că ar fi necesară o tensiune  $U \cong 256 \text{ kV}$

b) Lungimea de undă se determină cu relația de Broglie (18):

$$\lambda = \frac{h}{mv} = \frac{6,63 \cdot 10^{-34}}{9,11 \cdot 10^{-31} \cdot 3 \cdot 10^8} = \frac{6,63}{27,3} 10^{-11} = 2,4285714 \cdot 10^{-12} \text{ m}$$

Deci lungimea de undă a electronilor accelerati până la viteza luminii ar fi:

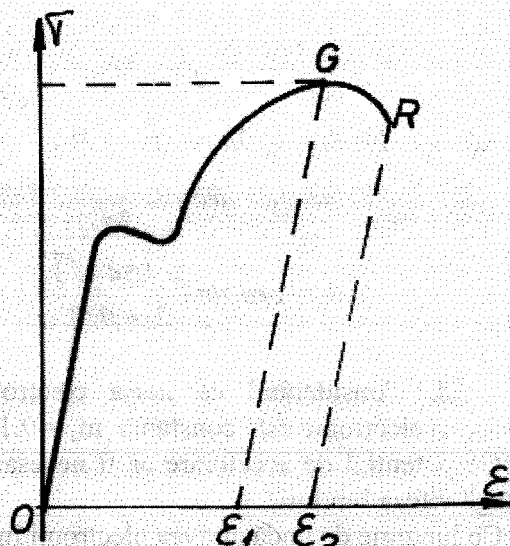
$$\lambda \cong 0,024 \text{ Å}$$

39. Desenați o curbă schematică convențională la tracțiune a unui material tenace (care prezintă gătuire la rupere), cu palier de curgere aparentă. Pe aceasta, marcați punctul de apariție a gătuirii. Precizați dacă lungimea totală a unei epruvete rupte (determinată prin așezarea cap-la-cap a celor 2 segmente rupte) este egală sau mai mare decât lungimea unei epruvete identice, la care solicitarea a fost întreruptă în momentul apariției gătuirii.

#### Rezolvare

Pe curba schematică, convențională, alăturată, s-a marcat cu  $G$  punctul de apariție a gătuirii, care corespunde și forței de tracțiune maxime și cu  $R$  punctul în care apare ruperea. Dacă solicitarea începează în punctul  $G$ , se obține o alungire remanentă specifică  $\varepsilon_1$ . După rupere, alungirea specifică este  $\varepsilon_2$ .

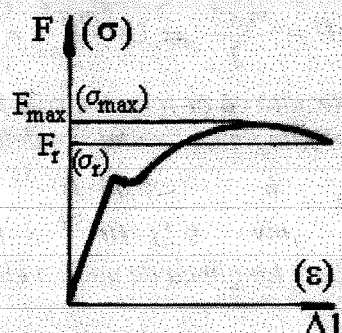
Cum  $\varepsilon_1 < \varepsilon_2$ , este evident că, din momentul apariției gătuirii, epruveta suferă o alungire suplimentară, egală cu  $\varepsilon_2 - \varepsilon_1$ . Deci lungimea totală a unei epruvete rupte este mai mare decât cea a epruvetei la care solicitarea s-a întrerupt în momentul apariției gătuirii (la atingerea forței de tracțiune maxime).



40. Pe orice curbă convențională de tracțiune, a unui material cu gătuire la rupere, se observă o scădere a forței de tracțiune (și implicit a tensiunii convenționale) din momentul apariției gătuirii și până la rupere. Explicați care este motivul acestei scăderi și precizați modul de variație a tensiunii reale, în zona gătuită (calculată ca raportul dintre forță de tracțiune și secțiunea efectivă epruvetei în zona gătuită).

#### Rezolvare

Din momentul apariție gătuirii și până la rupere, forța de tracțiune scade de la  $F_{max}$  la  $F_r$  și tensiunea convențională de întindere de la  $\sigma_{max}$  la  $\sigma_r$ . Acest lucru se datorează scăderii pronunțate a secțiunii în zona gătuită. Cum  $\sigma = \frac{F}{S_0}$ , scăderea forței de tracțiune (atribuită reducerii rezistenței în zona de deformare, pe care o are de invins), va duce în mod



evidență scăderea tensiunii convenționale de întindere, deoarece secțiunea inițială se consideră constantă. Tensiunea reală de întindere,  $\sigma_{real} = \frac{F}{S}$  se

calculează prin raportare la secțiunea reală. Cum scăderea acesteia este mult mai rapidă decât scăderea forței de tracțiune, rezultă că, în realitate, tensiunea crește continuu, în timpul solicitării.

41. Pe diagrama de echilibru alăturată, a unui sistem ipotetic de aliaje A-B, cu solubilitate totală în stare lichidă și solidă, s-au marcat punctele a, b, c și d, pe izoterma dusă la  $1000^{\circ}\text{C}$ , în intervalul de solidificare. Se cere să se determine pentru fiecare punct în parte natura, cantitatea și compoziția constituenților metalografici:

#### Rezolvare

În punctul a există aliaj cu concentrația de 40 %B.

Toată cantitatea de B este dizolvată în cele 60 %A, formând soluția solidă a, de B dizolvat substituțional (deoarece există solubilitatea totală) în A.

Punctul b corespunde unui aliaj A-50 %B, bifazic, conținând  $\alpha + L$ , în proporția:  $\frac{G_\alpha}{G_L} = \frac{bd}{ba} = \frac{20}{10} = \frac{2}{1}$ . Faza lichidă (L) conține 70 %B iar soluția solidă

(a) conține 40 %B.

Punctul c corespunde aliajului A-60 %B care, conține 2/3 (ca/ad) fază lichidă, cu 70 %B și 1/3 (cd/ad) soluție solidă, cu 40 %B.

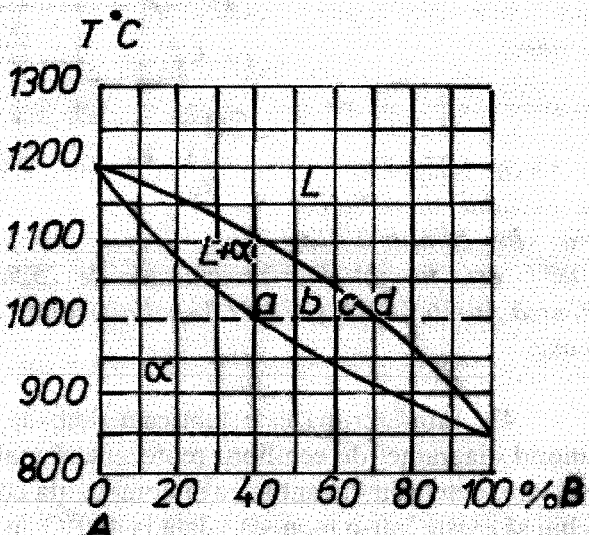
În punctul d întreg aliajul A-70 %B se află în stare lichidă.

42. Cu ajutorul diagramei de echilibru a sistemului de aliaje Au-Ni, din figura de mai jos, se cere să se determine constituenții metalografici și compoziția acestora pentru un aliaj Au-40 %Ni, aflat la  $1000^{\circ}\text{C}$ .

#### Rezolvare

Starea aliajului analizat a fost marcată pe diagrama de mai jos, prin punctul b. În acest punct aliajul este format dintr-un amestec de fază lichidă (L) și soluție solidă (a). Compoziția celor 2 faze este dată de regula orizontalei:

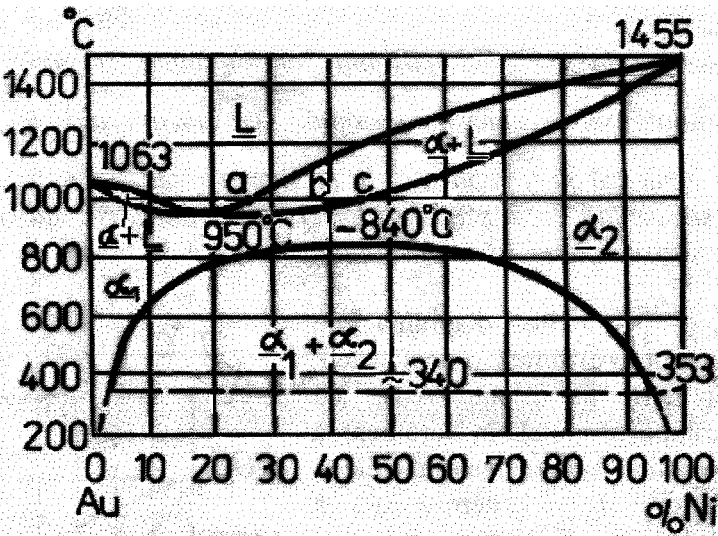
- fază lichidă conține cantitatea procentuală de nichel corespunzătoare punctului a, ~ 26,7 %Ni;



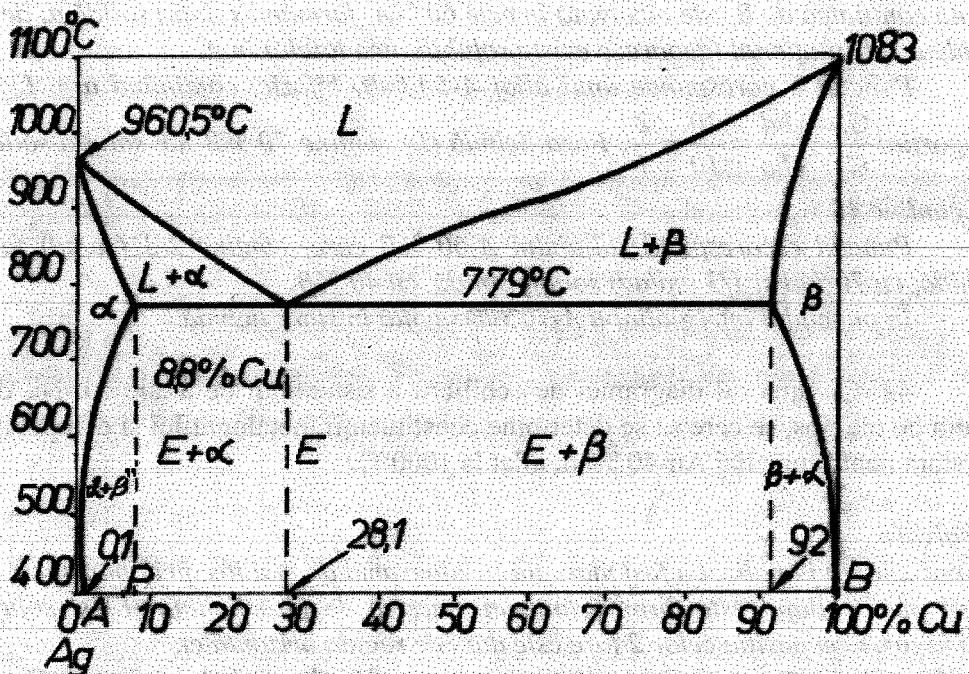
- soluția solidă conține un procent de nichel corespunzător punctului c, ~45 %Ni  
 Cantitățile procentuale ocupate de cele 2 faze,  $G_L$  și  $G_a$  ( $G_L+G_a=1$ ), sunt date de regula pârghiei:

$$G_L = \frac{bc}{ac} = \frac{3,5 \text{ mm}}{13,5 \text{ mm}} \Rightarrow \\ \Rightarrow G_L = 25,93 \%$$

Deci aliajul Au-40 %Ni, aflat în echilibru la  $1000^\circ\text{C}$  este format dintr-un amestec de 25,93 % fază lichidă, cu compoziția chimică Au-26,7 %Ni și 74,07 % soluție solidă de 45 %Ni dizolvat substituțional în aur.



43. Lira sterlină este fabricată dintr-un aliaj de argint cu 7,5 %Cu. Cu ajutorul diagramei de echilibru reprezentată mai jos, neglijând celelalte elemente de aliere, determinați cantitatea și compoziția constituenților metalografici care ar trebui să existe într-o monedă aflată la  $400^\circ\text{C}$ , în stare de echilibru termodinamic.



### Rezolvare

Pe diagramă s-au marcat punctele:

P – corespunde aliajului în echilibru (7,5 %Cu);

A – corespunde cantității maxime de cupru dizolvată în argint, la  $400^{\circ}\text{C}$ , în cadrul soluție solide  $\alpha$  (0,1 %Cu);

B – corespunde cantității maxime de cupru dizolvată în argint, la  $400^{\circ}\text{C}$ , în cadrul soluție solide  $\beta$  (~100 %Cu, deci practic  $\beta$  este cupru pur).

Deoarece aliajul din punctul P se compune din soluțiile solide  $\alpha$  și  $\beta$ , pentru determinarea cantităților lor procentuale se aplică regula pârghiei pe segmentul AB:

$$G_{\alpha} = \frac{PB}{AB} = \frac{92,5}{99,9} \cdot 100 \cong 92,6 \% \text{ și } G_{\beta} = \frac{AP}{AB} = \frac{7,4}{99,9} \cdot 100 \cong 7,4 \%$$

În concluzie, dacă se consideră moneda de 1 liră sterlină drept un aliaj binar Ag-7,5 %Cu, aflat în echilibru termodinamic la  $400^{\circ}\text{C}$ , atunci ea va conține 92,6 % soluție solidă  $\alpha$ , cu 0,1 %Cu și 7,4 % Cu pur.

Observatie: în realitate orice metal se dizolvă în alt metal, în urma unei răciri lente, deci concentrația punctului B trebuie să fie  $< 100 \%$  iar soluția solidă  $\beta$  trebuie să conțină o anumită cantitate de argint, indiferent cât de mică ar fi aceasta.

44. Se consideră procesul de autodifuzie în aur. Admitând că salturile atomice se produc în plane din familia {111} pe intervale egale cu distanța minimă dintre atomii acestor plane și cunoscându-se:

- constanta rețelei cristaline a aurului:  $a = 4,0788 \text{ \AA}$ ;
- frecvența de vibrație a atomilor de aur:  $v = 1,31 \cdot 10^{15} \text{ Hz}$ ;
- energia de activare necesară procesului de autodifuzie:  $E_a = 41,7 \text{ kcal/mol}$ ,

să se determine:

- Factorul de frecvență,  $D_0$ , în procesul de autodifuzie, în  $\text{cm}^2/\text{s}$ .
- Coeficientul de difuzie, D, la  $900^{\circ}\text{C}$ .

Se dau:

- constanta universală a gazelor:  $R = 2 \text{ cal/mol}$ ;
- 1 cal = 4,18 J.

### Observații:

1 – la determinarea numărului direcțiilor posibile de deplasare a unui atom în cadrul autodifuziei,  $\beta$ , se va considera numărul de coordonate al celulei elementare c.f.c. (cum este cea a aurului);

2 – mărimea unui salt atomic, la autodifuzie, b, se consideră egală cu jumătate din diagonala feței cubului;

3 – temperatura, T, se va considera în valoare absolută.

### Rezolvare

a) factorul de frecvență este dat de relația:

$$D_0 = \beta \cdot v \cdot b^2, \text{ cm}^2/\text{s} \quad (20)$$

în care se determină:

$\beta$  - numărului direcțiilor posibile de deplasare a unui atom.  $\beta = \frac{1}{z}$ , unde  $z$  este

numărul de coordinație. La celula c.f.c.:  $z = 12 \Rightarrow \beta = \frac{1}{12}$

$$b = \frac{a\sqrt{2}}{2} = \frac{a}{\sqrt{2}} \text{ (vezi problema nr. 10). } b = \frac{4,0788 \cdot 10^{-8}}{\sqrt{2}} \text{ cm}$$

Cu datele de mai sus, introduse în (20) se obține:

$$D_0 = \frac{1}{12} \cdot 1,31 \cdot 10^{15} \left( \frac{4,0788 \cdot 10^{-8}}{\sqrt{2}} \right)^2 \cong 0,091 \frac{\text{cm}^2}{\text{s}}$$

b) Coeficientul de difuzie se determină cu relația:

$$D = D_0 \cdot e^{-\frac{E_a}{RT}} \quad (21)$$

în care se introduc datele și rezultatele problemei iar temperatura se consideră  $T=900+273=1173 \text{ K}$ . Rezultă:

$$D = 0,091 \cdot e^{-\frac{41700}{2 \cdot 1173}} \cong 1,74 \cdot 10^{-9} \frac{\text{cm}^2}{\text{s}}$$

45. Un cuplu de difuzie se obține, în general, prin sudarea a 2 metale diferite, A și B, astfel încât să se obțină un bloc de metal, ca în schița alăturată. Studiul difuziei se realizează cu acest cuplu, după ce a fost încălzit, până în apropierea temperaturilor de topire ale celor 2 metale, menținut și readus la temperatura ambientă. Se presupune că în cuprul de difuzie se fac 2 secțiuni, YY și ZZ, situate la distanța 0,2 mm una față de alta. Analizând compoziția chimică a celor 2 secțiuni, se constată că fracțiunea molară de element A, determinată ca  $x_A = N_A/N$ , a variat de la 0,8 % în YY la 0,2 % în ZZ. Se cere să se calculeze, pentru un mol, care este fluxul de atomi A care a produs această variație de concentrație, știind că:

- factorul de frecvență este  $D_0 = 1 \frac{\text{cm}^2}{\text{s}}$ ;

- energia de activare a difuziei este  $E_a = 2 \text{ eV/atom}$ ;

- cuprul de difuzie a fost încălzit la  $1000^\circ\text{C}$

- numărul lui Avogadro este  $N = 6,023 \cdot 10^{23}$  atomi.

Se dau:

Constanta universală a gazelor:  $R = 2 \text{ cal/mol}$ ;

$$1 \text{ eV} = 1,60219 \cdot 10^{-19} \text{ C};$$

$$1 \text{ cal} = 4,18 \text{ J}.$$

Se va considera temperatura absolută.

*Rezolvare*

*Fluxul de difuzie se calculează cu legea a-I-a a lui Fick:*

$$J = -D \cdot \frac{dc}{dx} \quad (22)$$

în care:

$$\frac{dc}{dx} = \text{gradientul de concentrație, calculat astfel: } \frac{dc}{dx} = \frac{0,2 - 0,8}{0,02} = - 30 \text{ cm}^{-4}$$

(deoarece  $\frac{dc}{dx}$  are dimensiunea  $L^{-4}$  iar  $dx$  se exprimă în cm).

*D se calculează cu relația (21) în care parametrii trebuie exprimați în S.I.:*

*Energia de activare se calculează pentru un mol:*

$$E_a = 2 \cdot 1,60219 \cdot 10^{19} \cdot 6,023 \cdot 10^{23} = 192999,81 \text{ J/mol};$$

$$T = 1000 + 273 = 1273 \text{ K}$$

$$R = 2 \cdot 4,18 = 8,36 \text{ J}$$

În aceste condiții fluxul de atomi care a produs difuzia este:

$$J = -D_0 e^{-\frac{E_a}{RT}} \cdot \frac{dc}{dx} = -1 \cdot e^{-\frac{192999,81}{8,36 \cdot 1273}} (-30) \Rightarrow J \approx -4 \cdot 10^{-7} \frac{\text{atomi}}{\text{cm}^2 \cdot \text{s}}$$

46. La studiul experimental al difuziei, într-un mol de aliaj metalic, s-au obținut:

$$\text{- la } T_1 = 1000 \text{ K} - \text{coeficientul de difuzie } D_1 = 3,059 \cdot 10^{-6} \frac{\text{cm}^2}{\text{s}};$$

$$\text{- la } T_2 = 1200 \text{ K} - \text{coeficientul de difuzie } D_2 = 3,727 \cdot 10^{-5} \frac{\text{cm}^2}{\text{s}};$$

Utilizând metoda „dreptei Arhenius”, se cere:

a) Să se determine energia de activare a difuziei, în cal.

b) Să se determine factorul de frecvență  $D_0$ , în  $\frac{\text{cm}^2}{\text{s}}$ .

c) Să se determine ecuația „dreptei Arhenius” și să se schițeze aceasta, calculând valoarea ipotetică a temperaturii, pentru care coeficientul de difuzie atinge

valoarea de  $1 \frac{\text{cm}^2}{\text{s}}$ . Ce semnificație are acum  $D_0$ ?

Se dă  $R = 2 \frac{\text{cal}}{\text{grd} \cdot \text{mol}}$ .

Indicație: Pe abscisă se va lăsa drept variabilă  $\frac{1}{T} \cdot 10^{-4}$ . Dreapta Arhenius se duce cu linii continue între  $T_1$  și  $T_2$  și cu linie întreruptă la  $T > T_2$ .

*Rezolvare*

a) Ecuația dreptei Arhenius se obține din expresia (21), a coeficientului de difuzie, prin logaritmare:  $\ln D = \ln D_0 - \left( \frac{E_a}{R} \cdot \frac{1}{T} \right)$ , care se poate exprima sub forma:  $\ln D = -\left( \frac{E_a}{R} \cdot \frac{1}{T} \right) + \ln D_0$ .

Aceasta este o dependență liniară de tip  $y = ax + b$  unde:

$$y = \ln D, a = -\frac{E_a}{R}, x = \frac{1}{T} \text{ iar } b = \ln D_0.$$

Cu ajutorul valorilor date în problemă, se poate scrie:

$$\begin{aligned} \ln D_1 &= -\frac{E_a}{R} \cdot \frac{1}{T_1} + \ln D_0 \\ \ln D_2 &= -\frac{E_a}{R} \cdot \frac{1}{T_2} + \ln D_0 \end{aligned} \quad \Rightarrow \ln \frac{D_2}{D_1} = \frac{E_a}{R} \left( \frac{1}{T_1} - \frac{1}{T_2} \right) \Rightarrow$$

$$\Rightarrow E_a = \frac{R \cdot \ln \frac{D_2}{D_1}}{\frac{1}{T_1} - \frac{1}{T_2}} = \frac{2 \cdot \ln \frac{3727 \cdot 10^{-5}}{3059 \cdot 10^{-6}}}{\frac{1}{1000} - \frac{1}{1200}} \cong 30000 \text{ cal.}$$

Deci  $E_a \cong 30 \text{ kcal}$

$$b) \ln D_0 = \ln D + \frac{E_a}{R} \cdot \frac{1}{T_1} = \ln 3,059 \cdot 10^{-6} + \frac{30000}{2} \cdot \frac{1}{1000} = 2,3025775 \Rightarrow$$

$$\Rightarrow D_0 = e^{2,3025775} = 9,9999241 \Rightarrow D_0 \cong 10 \frac{\text{cm}^2}{\text{s}}$$

c) Sintetizând datele de mai sus, rezultă următoarea ecuație:

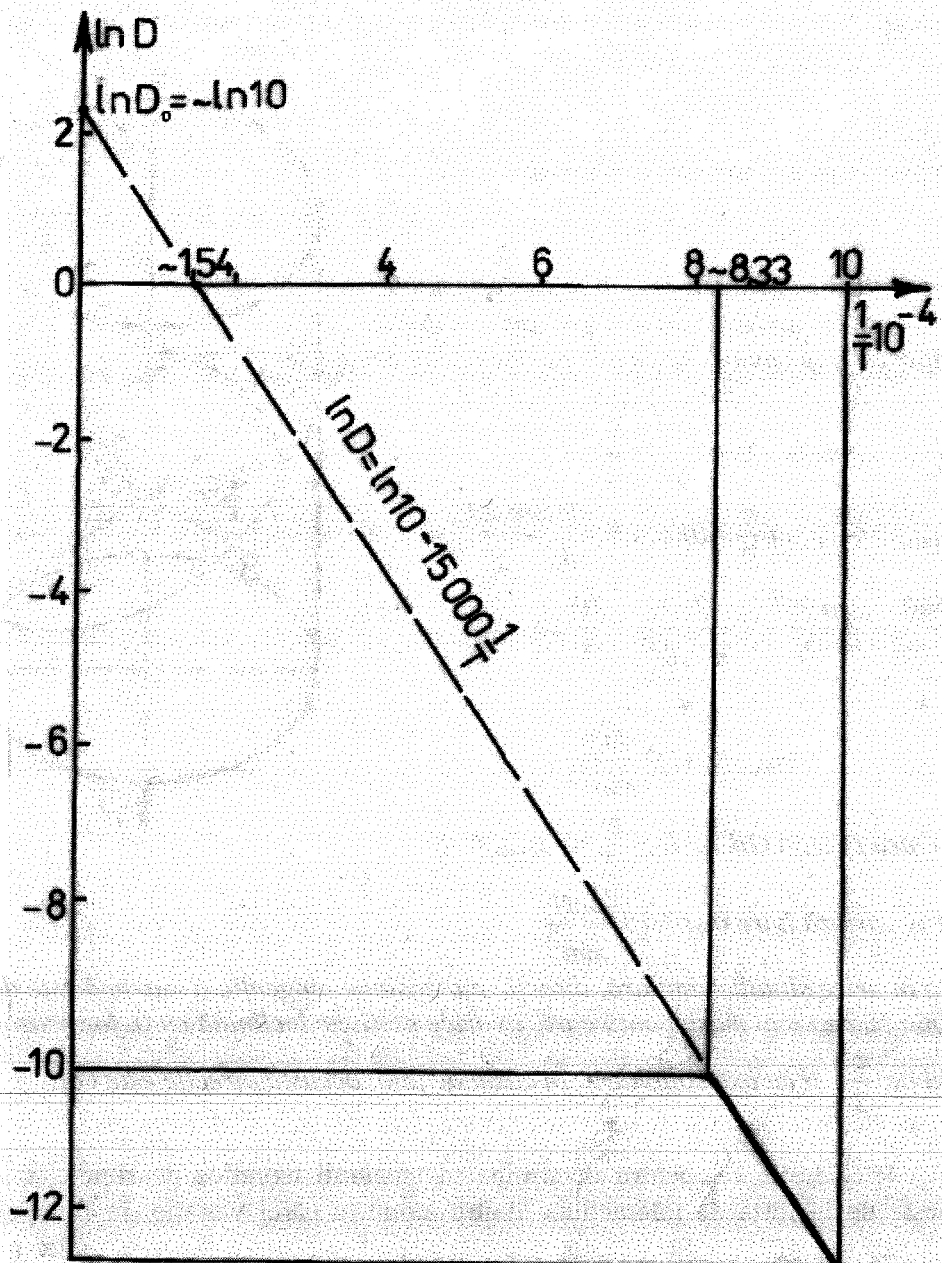
$$\ln D = \ln 10 - \frac{30000}{2} \cdot \frac{1}{T}, \text{ care capătă forma aproximativă:}$$

$$\ln D = -15000 \cdot \frac{1}{T} + 2,3025851, \text{ ilustrată grafic mai jos}$$

$$\text{Considerând că } D = 1 \Rightarrow \ln D = 0 \Rightarrow \frac{1}{T} = \frac{\ln 10}{15000} \Rightarrow T = \frac{15000}{\ln 10} \cong 6514 \text{ K} \Rightarrow$$

$$\Rightarrow T \cong 6241^\circ \text{C}$$

Se observă că valorile mai mari ale coeficientului de difuzie corespund unor temperaturi deosebit de ridicate. Din acest motiv dreapta Arhenius este trasată cu linie întreruptă pentru  $T > T_2$ . În aceste condiții, factorul de frecvență  $D_0$  poate fi considerat drept coeficientul de difuzie la o temperatură infinită.



47. Se consideră o bară din cupru, cu diametrul  $D=10$  mm, care este supusă la tracțiune, sub acțiunea unei forțe  $F=500$  daN. Considerând o secțiune efectuată la un unghi  $\theta=45^0$ , față de axa barei, se cere:

- Să se arate între ce limite poate varia valoarea tensiunii tangențiale în această secțiune.
- Să se execute o schiță în care să se reprezinte direcția, din secțiunea dată, după care valoarea tensiunii tangențiale este maximă.

Observatie: la analiza diferitelor direcții din secțiunea dată nu se va ține cont de sensul de parcurgere a acestora.

*Rezolvare*

a) Se pornește de la legea lui Schmid:

$$\tau_R = \frac{P}{A} \cos \lambda \cos \theta \quad (23)$$

Cunoscând  $\theta = 45^\circ$ , rezultă că singura variabilă este  $\lambda$  care depinde de poziția pe care o adoptă direcția de alunecare, în jurul punctului O. Se observă că pozițiile extreme sunt OA și OB.

- pentru poziția OA  $\Rightarrow \lambda = \frac{\pi}{2} - \theta \Rightarrow$

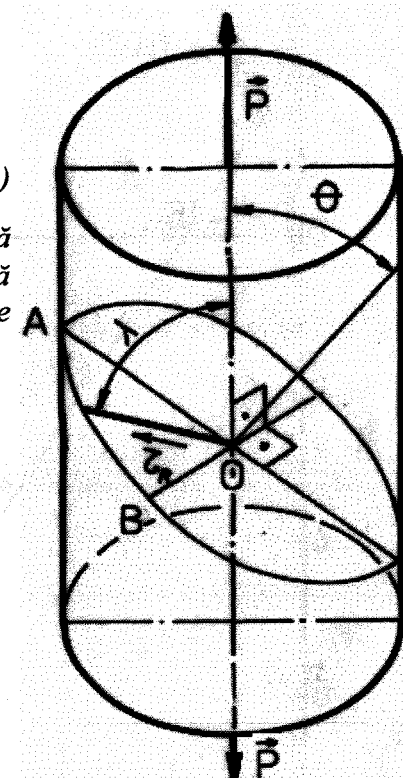
$$\Rightarrow \tau_{Rmax} = \frac{P}{A} \cos \left( \frac{\pi}{2} - \theta \right) \cos \theta = \frac{P}{A} \frac{\sin 2\theta}{2} = \\ = \frac{500}{\pi \cdot D^2} \cdot \frac{\sin 90^\circ}{2} = \frac{250}{\pi \cdot 10^2} = \frac{10}{\pi} \Rightarrow$$

$$\tau_{Rmax} \approx 3,18 \frac{daN}{mm^2}$$

- pentru poziția OB  $\Rightarrow \lambda = \frac{\pi}{2} \Rightarrow \tau_{Rmin} = 0$

Deci  $\tau_R$  variază între 0 și  $3,18 \frac{daN}{mm^2}$ .

b) Ca în orice situație similară, direcția cu tensiune tangențială maximă este dată de linia cu cea mai mare pantă care, în orice secțiune înclinată cu  $\theta$ , formează un unghi de  $\frac{\pi}{2} - \theta$  cu axa solicitării. În cazul de față, această direcție este OA.



48. Se știe că, pentru determinarea tensiunii teoretice de rupere,  $\sigma_t$ , se pornește de la forța de interacțiune dintre atomi, a cărei variație, în funcție de distanța dintre atomi, r, poate fi aproximată printr-o sinusoidă  $\sigma = \sigma_t \sin \frac{2\pi \cdot r}{\lambda}$  cu originea translată în punctul  $r = r_0$ , ca în figura de mai jos. Considerând cazul cuprului, pentru care se dă:

- modulul de elasticitate longitudinal:  $E = 13,2 \cdot 10^{10} \frac{N}{m^2}$ ;

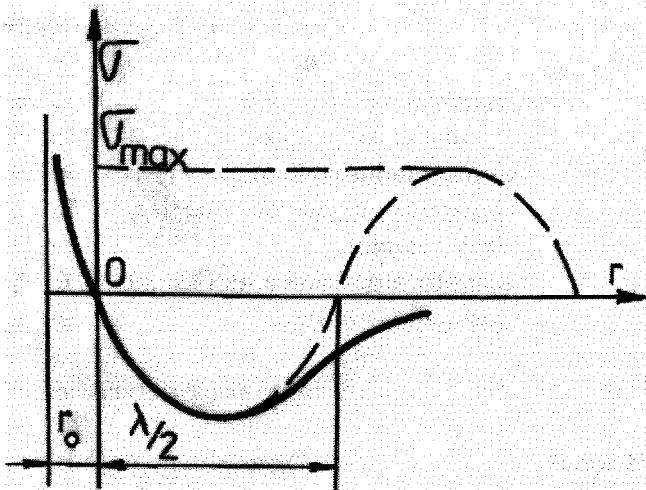
- energia superficială a suprafețelor nou-create prin rupere:  $\gamma = 0,3 \frac{J}{m^2}$ ;

- distanța interatomică medie:  $r_0 = 2,6 \text{ \AA}$ ,  
se cere să se determine ecuația sinusoidei.

Indicații:

1. Se va considera legea lui Hooke sub forma  $\sigma = E \cdot \frac{r}{r_0}$ .

2. Deoarece distanța interatomică este foarte mică, se poate folosi aproximarea:  $\sin \frac{2\pi r}{\lambda} \approx \frac{2\pi r}{\lambda}$ .



Rezolvare

*Relația de calcul a tensiunii teoretice de rupere este:*

$$\sigma_t = \sqrt{\frac{E \cdot \gamma}{r_0}} \quad (24)$$

Făcând înlocuirea se obține:

$$\sigma_t = \sqrt{\frac{13,2 \cdot 10^{10} \cdot 0,3}{2,6 \cdot 10^{-10}}} \approx 1,23 \cdot 10^{10} \frac{\text{N}}{\text{m}^2}$$

Tinând cont de indicațiile din enunț și de rezultatele obținute, se exprimă tensiunea prin aproximarea formulei sinusoidei și prin legea lui Hooke:

$$\sigma = \sigma_t \sin \frac{2\pi \cdot r}{\lambda} \approx \sigma_t \frac{2\pi \cdot r}{\lambda} = E \cdot \frac{r}{r_0} \Rightarrow$$

$$\Rightarrow \lambda = \frac{2\pi \cdot r_0 \sigma_t}{E} = \frac{2\pi \cdot 2,6 \cdot 10^{-10} \cdot 1,23 \cdot 10^{10}}{13,2 \cdot 10^{10}} \approx 1,52 \cdot 10^{-10} \text{ m} = 1,52 \text{ \AA}.$$

S-a obținut următoarea ecuație a sinusoidei:

$$\sigma = 1,23 \cdot 10^{10} \cdot \sin \frac{2\pi}{1,52 \cdot 10^{-10}} r, \frac{\text{N}}{\text{m}^2}.$$

## SINTEZA DATELOR PREZENTATE ÎN APLICAȚII

### Constante universale

Denumirea	Simbol	Valoare
0	1	2
Sarcina electronului	e	$1,60219 \cdot 10^{-19} \text{ C}$
Masa electronului	$m_e$	$9,11 \cdot 10^{-31} \text{ kg}$

**- Constante universale (continuare) -**

<b>0</b>	<b>1</b>	<b>2</b>
Numărul lui Avogadro	N $6,023 \cdot 10^{23}$ atomi/mol	
Constanta lui Planck	h $6,63 \cdot 10^{-34}$ J·s	
Constanta lui Boltzman	k $1,38 \cdot 10^{-23}$ J/K	
Constanta universală a gazelor	R 2 cal/mol	
Viteza luminii	c $3 \cdot 10^8$ m/s	
Lungimea de undă a luminii albe	$\lambda$ 5500 Å	
Constanta cercului	$\pi$ 3,1415927	

**Constante și caracteristici de material**

Material	Denumirea (simbol)	Valoarea
		<b>2</b>
Na	Potențialul de ionizare	5,15 eV
	Parametrul rețelei cristaline (a)	5,6 Å
S	Potențialul de ionizare	10,36 eV
	Afinitatea față de electroni	-2,06 eV
Cl	Potențialul de ionizare	12,95 eV
	Afinitatea față de electroni	-3,47 eV
NaCl	Constanta de proporționalitate a forței de atracție între un ion de Na și unul de Cl	$4,5 \cdot 10^{-38}$ N·m <sup>2</sup>
	Constanta de proporționalitate a forței de respingere dintre un ion de Na și unul de Cl	$6 \cdot 10^{-105}$ N·m <sup>9</sup>
	Distanța de coeziune între un ion de Na și unul de Cl	3,48 Å
Li	Potențialul de ionizare	5,39 eV
	Afinitatea față de electroni	0 eV
	Lucrul mecanic consumat pentru extragerea unui electron din rețeaua cristalină a aluminiului	0,76 eV
Al	Energia de activare pentru formarea unui mol de vacanțe	73,34 kJ
	Modulul de elasticitate transversal (G)	2500 daN/mm <sup>2</sup>
	Rezistența la forfecare ( $\tau$ )	0,08 daN/mm <sup>2</sup>
	Lucrul mecanic consumat pentru extragerea unui electron din rețeaua cristalină a argintului	1,09 eV
	Energia de activare pentru formarea unui mol de vacanțe	105 kJ
Ag	Temperatura de topire	960°C
	Căldura latentă de solidificare	11,36 kJ/mol
	Volumul molar	102,75 cm <sup>3</sup> /mol
	Gradul maxim de subrăcire la solidificare	230 grd
	Lungimea de undă a razelor X caracteristice	0,558 Å
	Parametrul rețelei cristaline (a)	4,078 Å

- Constante și caracteristici de material (continuare) -

	0	1	2
Ag	Tensiunea superficială pe interfața solid-lichid		$126 \cdot 10^{-3}$ J/m <sup>2</sup>
	Raza critică a germenilor de cristalizare		122 Å
	Energia de activare pentru formarea unui mol de vacanțe în cupru		20000 cal
	Modulul de elasticitate longitudinal		$13,2 \cdot 10^{10}$ N/m <sup>2</sup>
Cu	Modulul de elasticitate transversal (G)		4400 daN/mm <sup>2</sup>
	Rezistența la forfecare ( $\tau$ )		0,05 daN/mm <sup>2</sup>
	Lungimea de undă a razelor X caracteristice		1,54 Å
	Parametrul rețelei cristaline (a)		3,6147 Å
Ni (tras la rece)	Temperatura de topire		1084°C
	Căldura latentă de solidificare		204 J/g
	Căldura specifică		$22,635 + 5,858 \cdot 10^{-3} T$ J/mol·grd
	Gradul maxim de subrăcire la solidificarea cuprului		236 grd
Au	Modulul de elasticitate transversal (G)		8000 daN/mm <sup>2</sup>
	Rezistența la forfecare ( $\tau$ )		0,5 daN/mm <sup>2</sup>
	Factorul de frecvență, la autodifuzia aurului		0,091 cm <sup>2</sup> /s
	Parametrul rețelei cristaline (a)		4,0788 Å
Sn	Frecvența proprie de vibrație a atomilor		$1,31 \cdot 10^{15}$ Hz
	Energia de activare a autodifuziei		41,7 kcal/mol
	Temperatura de topire a staniului		232°C
	Căldura latentă de solidificare		14,5 cal/g
Fe <sub>α</sub>	Greutatea molară		118,7 g/mol
	Tensiunea superficială pe interfața solid-lichid		$59 \cdot 10^{-3}$ J/m <sup>2</sup>
	Raza critică a germenilor de cristalizare		69 Å
	Raza medie a unui atom de staniu		1,876 Å
	Volumul mediu al unui atom de staniu		27,65 Å <sup>3</sup>
	Parametrul rețelei cristaline (a)		2,8664 Å

Conversia unităților de măsură, utilizate în aplicații, în unități din S.I.

$$1 \text{ eV} = 1,60219 \cdot 10^{-19} \text{ J}$$

$$1 \text{ Å} = 10^{-10} \text{ m}$$

$$1 \text{ cal} = 4,18 \text{ J}$$

$$1 \text{ daN/mm}^2 = 10 \text{ MPa}$$

## BIBLIOGRAFIE

- [1] Bujoreanu, L.G., Roșescu, G. și Avram, I. - *Studiul materialelor din construcția de mașini*, Editura Științifică "Fundată Metalurgia Română", București, 1998, ISBN 973-98314-5-1
- [2] Baciu, C., Alexandru, I., Popovici, R și Baciu Maria – *Ştiința materialelor metalice*, Editura didactică și Pedagogică, București, 1996, ISBN 973-30-5409-7
- [3] Baciu, C., Munteanu, C., Rusu, I., Bujoreanu, L.G., Baciu, Maria și Apachiței, I. - *Îndrumar pentru laborator. Studiul metalelor, Vol. I*, Rotaprint, I.P.Iași, 1992
- [4] Reed-Hill, R.E. –*Physical Metallurgy Principles*, Brooks/Cole Engineering Division, Monterey, California, S.U.A., 1973
- [5] Schumann, H. – *Metalurgie fizică* (traducere din limba germană), Editura Tehnică, București, 1962
- [6] Geru, N. – *Metalurgie fizică*, Editura didactică și pedagogică, București 1981
- [7] Colan, H., Tudoran, P., Ailincăi, G., Marcu, M. și Drugescu, Elena –*Studiul metalelor*, Editura didactică și pedagogică, București, 1983
- [8] Sinha, A.K. –*Ferrous Physical Metallurgy*, Butterworth, Boston, 1989, ISBN 0-409-90139-3
- [9] Gădea, Suzana și Petrescu, Maria – *Metalurgie fizică și studiul metalelor*, Editura didactică și pedagogică, București, Vol.I, 1979; Vol.II, 1981; Vol.III, 1983
- [10] Ailincăi, G. și Alexandru, I – *Studiul metalelor*, Institutul Politehnic Iași, Partea I, 1977; Partea a-II-a, 1978
- [11] Rădulescu, Maria - *Studiul metalelor*, Editura didactică și pedagogică, București, 1982
- [12] Coman, G. – *Studiul metalelor*, Institutul Politehnic Iași, Vol. I, 1986; Vol. II, 1987